

Lavori di ristrutturazione di un edificio condominiale in via Pantelleria,
realizzazione di due campi di calcetto con sistemazione delle aree di
pertinenza in via Omero e in via 29 nel Comune di Trapani

Relazione tecnica canne fumarie

Tav.10a



REDATTO:

Progetto principale e Architettonico:
Geom. Antonio Allotta
F.TO



COLLABORATORI :

Ing. Marco Imprima
F.TO



Ing. Piero Passalacqua
F.TO



IL RUP :

Arch. G. Maltese
F.TO



DATA:

Comune di TRAPANI (TP)

PROGETTAZIONE E DIMENSIONAMENTO DI UN CAMINO ASSERVITO A PIU' APPARECCHI DI RISCALDAMENTO

Relazione tecnica

Edificio: PALAZZINA B

Committente: IACP TRAPANI

Indirizzo: VIA PANTELLERIA, 45 - TRAPANI (TP)

TRAPANI, 05/04/2018

Il Tecnico
(Geom. Antonio Allotta)
F.TO

IACP TRAPANI
Geom. Antonio Allotta
PIAZZA FALCONE E BORSELLINO
91100 - TRAPANI
Tel: 09230822311 – fax 0923 873906 – P.I. 00081330813
Sito internet www.iacptrapani.it – info@iacptrapani.it

DATI GENERALI

Committente

Ragione Sociale
P. IVA

IACP TRAPANI
00081330813

Indirizzo
CAP - Comune
Telefono
Fax
E-mail

PIAZZA FALCONE E BORSELLINO
91100 - TRAPANI (TP)
0923 823111
0923 873906
info@iacptrapani.it

Ruolo

ENTE PUBBLICO

Tecnico

Ragione Sociale

IACP TRAPANI

Nome Cognome
Qualifica
Codice Fiscale

ANTONIO ALLOTTA
GEOMETRA
00081330813

Indirizzo
CAP - Comune
Telefono
Fax
E-mail

PIAZZA FALCONE E BORSELLINO
91100 - TRAPANI (TP)
0923 823111
0923 873906
antonio.allotta@iacptrapani.it

Edificio

Denominazione
Descrizione

PALAZZINA B
EDIFICIO CONDOMINIALE DESTINATO AD
ABITAZIONE E PORTIERATO SOCIALE

Indirizzo
CAP - Comune
Altitudine

VIA PANTELLERIA, 45
91100 - TRAPANI (TP)
3 m s.l.m.m.

PREMESSA

Normativa di riferimento e inquadramento dell'intervento

Il progetto è stato realizzato nel rispetto delle normative urbanistiche e tecniche vigenti:

REGOLAMENTO EDILIZIO DI TRAPANI (con le modifiche introdotte dal D.D.G. ARTA DRU n° 42 del 12/02/2010)

Art. 76 - Camini – Forni – Focolari – Condotti di calore – Canne fumarie e scarichi di vapore a gas

UNI EN 13384-1

Camini - Metodi di calcolo termico e fluido dinamico. Parte 1: Camini asserviti a un solo apparecchio.

UNI EN 13384-2

Camini - Metodi di calcolo termico e fluido dinamico. Parte 2: Camini asserviti a più apparecchi di riscaldamento.

L'intervento verrà eseguito nel Comune di Trapani, in un edificio residenziale ed in parte adibito a portierato sociale denominato "Palazzina B".

L'edificio è costituito da 1 scale che da accesso al 24 unità immobiliari complessivamente.

La scelta progettuale prevede che i generatori di calore dei piani tipo siano collegati con una canna fumaria collettiva del tipo ramificato con sbocco dei fumi in copertura. Per quanto riguarda i generatori al sesto piano, trovandosi al livello più alto dell'edificio, non è stato previsto alcun dimensionamento poiché si trovano in condizioni standard ed è sufficiente l'installazione del kit di scarico fumi fornito di serie.



Figura 1-Inquadramento territoriale dell'intervento

Dal punto di vista urbanistico, il comma 1 dell'art. 76 del regolamento edilizio del comune di Trapani recita:

“1. Gli impianti collettivi di riscaldamento, come quelli singoli, nonché gli scaldabagni a gas, le stufe, cu-cine, focolai e camini, devono essere muniti di canne fumarie indipendenti, opportunamente isolate, pro-lungate al di sopra del tetto o terrazza di almeno due metri; la fuoriuscita dei fumi deve verificarsi a non meno di venti metri da qualsiasi finestra a quota uguale o superiore”.

Il requisito in oggetto è pienamente soddisfatto poiché negli edifici vicini non si trovano finestre a quota uguale o superiore all'uscita dei fumi.

Gli impianti, inoltre, devono essere realizzati a regola d'arte, come prescritto dalle normative vigenti, ed in particolare dal D.M. 22 gennaio 2008, n. 37.

Le caratteristiche degli impianti stessi, e dei loro componenti, devono essere in accordo con le norme di legge e di regolamento vigenti ed in particolare devono essere conformi:

- alle prescrizioni di autorità locali, comprese quelle dei VVF;
- alle norme CEI (Comitato Elettrotecnico Italiano).

DIMENSIONAMENTO DELL'IMPIANTO

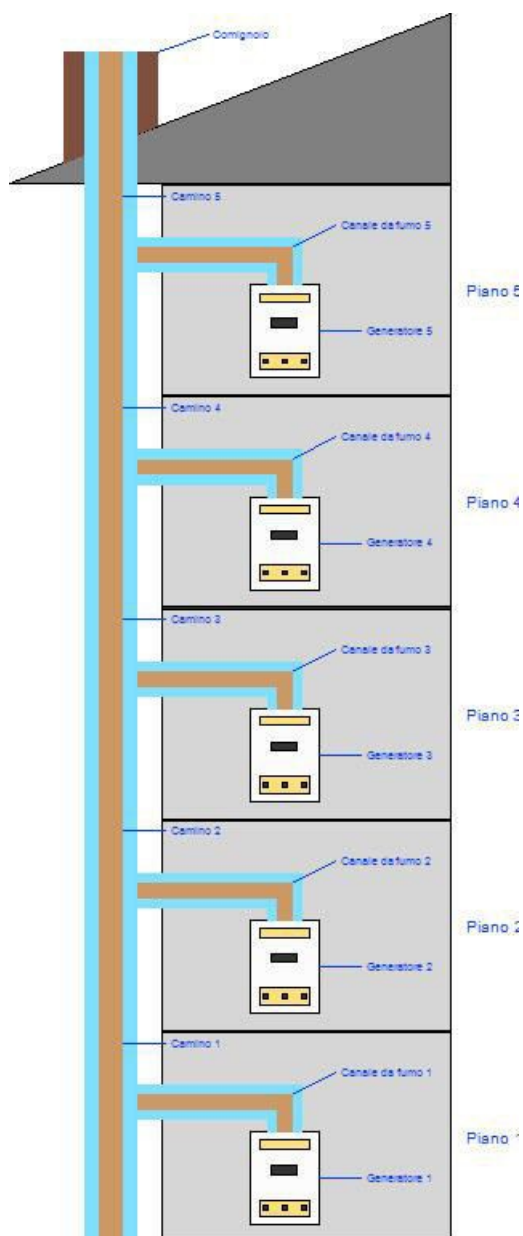
Descrizione dell'intervento

L'impianto è a Flusso bilanciato ed è costituito da 5 generatori. Il canale da fumo e di adduzione aria sono Concentrici; il camino e il condotto di adduzione aria sono Concentrici. Il funzionamento è a Tiraggio forzato (pressione positiva); la verifica effettuata è a umido (con condensazione).

Di seguito è descritto l'intervento realizzato.

REALIZZAZIONE DI CANNA FUMARIA "COLLETTIVA"

Configurazione



Dati generali

Temperatura dell'aria esterna	
Temperatura aria esterna massima T_L max	30 °C
Temperatura aria esterna minima T_L min	10 °C

Generatore 1

Dati tecnici	
Marca	Riello
Modello	Family AR 25 KIS
Tipo generatore	Caldaia
Combustibile	Metano
Diametro scarico fumi	80.0 mm
Dati caldaia	
Tipo combustione	Forzata
Generatore a condensazione	Si
Potenza	Variabile
Rendimento	94.5 %
Potenza nominale (QN)	24.0 kW
Portata termica nominale (QF)	25.0 kW
Potenza minima (QNmin)	8.0 kW
Portata termica minima (QFmin)	7.5 kW
Caratteristiche fumi (potenza nominale)	
Portata massica (Mw)	0.01648 kg/s
Temperatura fumi (Tw)	42.0 °C
Tenore di CO2 ($\sigma(\text{CO}_2)$)	6.2 %
Pressione differenziale (Pwo)	150.0 Pa
Pressione differenziale min (Pwomin)	0.0 Pa
Caratteristiche fumi (potenza minima)	
Portata massica (Mw)	0.00859 kg/s
Temperatura fumi (Tw)	34.0 °C
Tenore di CO2 ($\sigma(\text{CO}_2)$)	4.0 %
Pressione differenziale (Pwo)	150.0 Pa
Pressione differenziale min (Pwomin)	0.0 Pa

Generatore 2

Dati tecnici	
Marca	Riello
Modello	Family AR 25 KIS
Tipo generatore	Caldaia
Combustibile	Metano
Diametro scarico fumi	80.0 mm
Dati caldaia	
Tipo combustione	Forzata
Generatore a condensazione	Si
Potenza	Variabile
Rendimento	94.5 %
Potenza nominale (QN)	24.0 kW
Portata termica nominale (QF)	25.0 kW
Potenza minima (QNmin)	8.0 kW
Portata termica minima (QFmin)	7.5 kW
Caratteristiche fumi (potenza nominale)	
Portata massica (Mw)	0.01648 kg/s
Temperatura fumi (Tw)	42.0 °C
Tenore di CO2 ($\sigma(\text{CO}_2)$)	6.2 %
Pressione differenziale (Pwo)	150.0 Pa
Pressione differenziale min (Pwomin)	0.0 Pa
Caratteristiche fumi (potenza minima)	
Portata massica (Mw)	0.00859 kg/s
Temperatura fumi (Tw)	34.0 °C
Tenore di CO2 ($\sigma(\text{CO}_2)$)	4.0 %
Pressione differenziale (Pwo)	150.0 Pa
Pressione differenziale min (Pwomin)	0.0 Pa

Generatore 3

Dati tecnici	
Marca	Riello
Modello	Family AR 25 KIS
Tipo generatore	Caldaia
Combustibile	Metano
Diametro scarico fumi	80.0 mm
Dati caldaia	
Tipo combustione	Forzata
Generatore a condensazione	Si
Potenza	Variabile
Rendimento	94.5 %
Potenza nominale (QN)	24.0 kW
Portata termica nominale (QF)	25.0 kW
Potenza minima (QNmin)	8.0 kW
Portata termica minima (QFmin)	7.5 kW
Caratteristiche fumi (potenza nominale)	
Portata massica (Mw)	0.01648 kg/s
Temperatura fumi (Tw)	42.0 °C
Tenore di CO2 ($\sigma(\text{CO}_2)$)	6.2 %
Pressione differenziale (Pwo)	150.0 Pa
Pressione differenziale min (Pwomin)	0.0 Pa
Caratteristiche fumi (potenza minima)	
Portata massica (Mw)	0.00859 kg/s
Temperatura fumi (Tw)	34.0 °C
Tenore di CO2 ($\sigma(\text{CO}_2)$)	4.0 %
Pressione differenziale (Pwo)	150.0 Pa
Pressione differenziale min (Pwomin)	0.0 Pa

Generatore 4

Dati tecnici	
Marca	Riello
Modello	Family AR 25 KIS
Tipo generatore	Caldaia
Combustibile	Metano
Diametro scarico fumi	80.0 mm
Dati caldaia	
Tipo combustione	Forzata
Generatore a condensazione	Si
Potenza	Variabile
Rendimento	94.5 %
Potenza nominale (QN)	24.0 kW
Portata termica nominale (QF)	25.0 kW
Potenza minima (QNmin)	8.0 kW
Portata termica minima (QFmin)	7.5 kW
Caratteristiche fumi (potenza nominale)	
Portata massica (Mw)	0.01648 kg/s
Temperatura fumi (Tw)	42.0 °C
Tenore di CO2 ($\sigma(\text{CO}_2)$)	6.2 %
Pressione differenziale (Pwo)	150.0 Pa
Pressione differenziale min (Pwomin)	0.0 Pa
Caratteristiche fumi (potenza minima)	
Portata massica (Mw)	0.00859 kg/s
Temperatura fumi (Tw)	34.0 °C
Tenore di CO2 ($\sigma(\text{CO}_2)$)	4.0 %
Pressione differenziale (Pwo)	150.0 Pa
Pressione differenziale min (Pwomin)	0.0 Pa

Generatore 5

Dati tecnici	
Marca	Riello
Modello	Family AR 25 KIS
Tipo generatore	Caldaia
Combustibile	Metano
Diametro scarico fumi	80.0 mm
Dati caldaia	
Tipo combustione	Forzata
Generatore a condensazione	Si
Potenza	Variabile
Rendimento	94.5 %
Potenza nominale (QN)	24.0 kW
Portata termica nominale (QF)	25.0 kW
Potenza minima (QNmin)	8.0 kW
Portata termica minima (QFmin)	7.5 kW
Caratteristiche fumi (potenza nominale)	
Portata massica (Mw)	0.01648 kg/s
Temperatura fumi (Tw)	42.0 °C
Tenore di CO2 ($\sigma(\text{CO}_2)$)	6.2 %
Pressione differenziale (Pwo)	150.0 Pa
Pressione differenziale min (Pwomin)	0.0 Pa
Caratteristiche fumi (potenza minima)	
Portata massica (Mw)	0.00859 kg/s
Temperatura fumi (Tw)	34.0 °C
Tenore di CO2 ($\sigma(\text{CO}_2)$)	4.0 %
Pressione differenziale (Pwo)	150.0 Pa
Pressione differenziale min (Pwomin)	0.0 Pa

Canale da fumo 1

Dati tecnici	
Marca	Stabile
Modello	PD
Descrizione	Camino a doppia parete metallica isolato con lana di roccia di sp. 25 e 50 mm, parete interna in acciaio 1.4404 di spessore 0.5 - 0.6 - 0.8 - 1 mm e parte esterna in acciaio inox
Geometria	
Altezza efficace - Hv	0.5 m
Lunghezza - Lv	1.5 m
Coefficiente di resistenza al flusso - Zeta	0.25 m
Forma	Circolare
Diametro idraulico interno	80 mm
Spessore	26.5 mm
Diametro esterno	133 mm
Area interna	50.27 cm ²
Caratteristiche tecniche	
Tipo	Monostrato
Rugosità	1.0 mm
Resistenza termica - RT	0.54949 m ² K/W
Pressione massima ammessa dal condotto	200 Pa
Esposizione area della superficie esterna del condotto	
Nel locale caldaia	100 %
Nelle aree riscaldate	0 %
Nelle aree non riscaldate interne all'edificio	0 %
Esterna all'edificio	0 %

Elementi di resistenza al flusso

Descrizione	Resistenza (m)	Quantità
Curva 90° - R = 1,0 x Dh - Ld / Dh >= 30	0.25	1
Totale	0.25	

Strati del condotto (dall'interno verso l'esterno)

Materiale	Diam. int. (mm)	Spessore (mm)	λ (W/(mK))	Rt (m ² K/W)
Acciaio inossidabile	80.0	0.5	17.000	0.00003
Lana di roccia	81.0	25.0	0.035	0.55629
Acciaio inossidabile	131.0	1.0	17.000	0.00006



Canale da fumo 2

Dati tecnici	
Marca	Stabile
Modello	PD
Descrizione	Camino a doppia parete metallica isolato con lana di roccia di sp. 25 e 50 mm, parete interna in acciaio 1.4404 di spessore 0.5 - 0.6 - 0.8 - 1 mm e parte esterna in acciaio inox
Geometria	
Altezza efficace - Hv	0.5 m
Lunghezza - Lv	1.5 m
Coefficiente di resistenza al flusso - Zeta	0.25 m
Forma	Circolare
Diametro idraulico interno	80 mm
Spessore	26.5 mm
Diametro esterno	133 mm
Area interna	50.27 cm ²
Caratteristiche tecniche	
Tipo	Monostrato
Rugosità	1.0 mm
Resistenza termica - RT	0.54949 m ² K/W
Pressione massima ammessa dal condotto	200 Pa
Esposizione area della superficie esterna del condotto	
Nel locale caldaia	100 %
Nelle aree riscaldate	0 %
Nelle aree non riscaldate interne all'edificio	0 %
Esterna all'edificio	0 %

Elementi di resistenza al flusso

Descrizione	Resistenza (m)	Quantità
Curva 90° - $R = 1,0 \times D_h - L_d / D_h \geq 30$	0.25	1
Totale	0.25	

Strati del condotto (dall'interno verso l'esterno)

Materiale	Diam. int. (mm)	Spessore (mm)	λ (W/(mK))	Rt (m ² K/W)

Acciaio inossidabile	80.0	0.5	17.000	0.00003
Lana di roccia	81.0	25.0	0.035	0.55629
Acciaio inossidabile	131.0	1.0	17.000	0.00006



Canale da fumo 3

Dati tecnici	
Marca	Stabile
Modello	PD
Descrizione	Camino a doppia parete metallica isolato con lana di roccia di sp. 25 e 50 mm, parete interna in acciaio 1.4404 di spessore 0.5 - 0.6 - 0.8 - 1 mm e parte esterna in acciaio inox
Geometria	
Altezza efficace - Hv	0.5 m
Lunghezza - Lv	1.5 m
Coefficiente di resistenza al flusso - Zeta	0.25 m
Forma	Circolare
Diametro idraulico interno	80 mm
Spessore	26.5 mm
Diametro esterno	133 mm
Area interna	50.27 cm ²
Caratteristiche tecniche	
Tipo	Monostrato
Rugosità	1.0 mm
Resistenza termica - RT	0.54949 m ² K/W
Pressione massima ammessa dal condotto	200 Pa
Esposizione area della superficie esterna del condotto	
Nel locale caldaia	100 %
Nelle aree riscaldate	0 %
Nelle aree non riscaldate interne all'edificio	0 %
Esterna all'edificio	0 %

Elementi di resistenza al flusso

Descrizione	Resistenza (m)	Quantità
Curva 90° - $R = 1,0 \times D_h - L_d / D_h \geq 30$	0.25	1
Totale	0.25	

Strati del condotto (dall'interno verso l'esterno)

Materiale	Diam. int. (mm)	Spessore (mm)	λ (W/(mK))	Rt (m ² K/W)

Acciaio inossidabile	80.0	0.5	17.000	0.00003
Lana di roccia	81.0	25.0	0.035	0.55629
Acciaio inossidabile	131.0	1.0	17.000	0.00006



Canale da fumo 4

Dati tecnici	
Marca	Stabile
Modello	PD
Descrizione	Camino a doppia parete metallica isolato con lana di roccia di sp. 25 e 50 mm, parete interna in acciaio 1.4404 di spessore 0.5 - 0.6 - 0.8 - 1 mm e parte esterna in acciaio inox
Geometria	
Altezza efficace - Hv	0.5 m
Lunghezza - Lv	1.5 m
Coefficiente di resistenza al flusso - Zeta	0.25 m
Forma	Circolare
Diametro idraulico interno	80 mm
Spessore	26.5 mm
Diametro esterno	133 mm
Area interna	50.27 cm ²
Caratteristiche tecniche	
Tipo	Monostrato
Rugosità	1.0 mm
Resistenza termica - RT	0.54949 m ² K/W
Pressione massima ammessa dal condotto	200 Pa
Esposizione area della superficie esterna del condotto	
Nel locale caldaia	100 %
Nelle aree riscaldate	0 %
Nelle aree non riscaldate interne all'edificio	0 %
Esterna all'edificio	0 %

Elementi di resistenza al flusso

Descrizione	Resistenza (m)	Quantità
Curva 90° - $R = 1,0 \times D_h - L_d / D_h \geq 30$	0.25	1
Totale	0.25	

Strati del condotto (dall'interno verso l'esterno)

Materiale	Diam. int. (mm)	Spessore (mm)	λ (W/(mK))	Rt (m ² K/W)

Acciaio inossidabile	80.0	0.5	17.000	0.00003
Lana di roccia	81.0	25.0	0.035	0.55629
Acciaio inossidabile	131.0	1.0	17.000	0.00006



Canale da fumo 5

Dati tecnici	
Marca	Stabile
Modello	PD
Descrizione	Camino a doppia parete metallica isolato con lana di roccia di sp. 25 e 50 mm, parete interna in acciaio 1.4404 di spessore 0.5 - 0.6 - 0.8 - 1 mm e parte esterna in acciaio inox
Geometria	
Altezza efficace - Hv	0.5 m
Lunghezza - Lv	1.5 m
Coefficiente di resistenza al flusso - Zeta	0.25 m
Forma	Circolare
Diametro idraulico interno	80 mm
Spessore	26.5 mm
Diametro esterno	133 mm
Area interna	50.27 cm ²
Caratteristiche tecniche	
Tipo	Monostrato
Rugosità	1.0 mm
Resistenza termica - RT	0.54949 m ² K/W
Pressione massima ammessa dal condotto	200 Pa
Esposizione area della superficie esterna del condotto	
Nel locale caldaia	100 %
Nelle aree riscaldate	0 %
Nelle aree non riscaldate interne all'edificio	0 %
Esterna all'edificio	0 %

Elementi di resistenza al flusso

Descrizione	Resistenza (m)	Quantità
Curva 90° - $R = 1,0 \times D_h - L_d / D_h \geq 30$	0.25	1
Totale	0.25	

Strati del condotto (dall'interno verso l'esterno)

Materiale	Diam. int. (mm)	Spessore (mm)	λ (W/(mK))	Rt (m ² K/W)

Acciaio inossidabile	80.0	0.5	17.000	0.00003
Lana di roccia	81.0	25.0	0.035	0.55629
Acciaio inossidabile	131.0	1.0	17.000	0.00006



Canale adduzione aria 1

Dati tecnici	
Marca	Stabile
Modello	PD
Descrizione	Camino a doppia parete metallica isolato con lana di roccia di sp. 25 e 50 mm, parete interna in acciaio 1.4404 di spessore 0.5 - 0.6 - 0.8 - 1 mm e parte esterna in acciaio inox
Geometria	
Altezza efficace - Hv	0.5 m
Lunghezza - Lv	1.5 m
Coefficiente di resistenza al flusso - Zeta	0.25 m
Forma	Circolare
Diametro idraulico interno	160 mm
Spessore	26.5 mm
Diametro esterno	213 mm
Area interna	62.13 cm ²
Caratteristiche tecniche	
Tipo	Monostrato
Rugosità	1.0 mm
Resistenza termica - RT	0.61825 m ² K/W
Pressione massima ammessa dal condotto	200 Pa
Esposizione area della superficie esterna del condotto	
Nel locale caldaia	100 %
Nelle aree riscaldate	0 %
Nelle aree non riscaldate interne all'edificio	0 %
Esterna all'edificio	0 %

Elementi di resistenza al flusso

Descrizione	Resistenza (m)	Quantità
Curva 90° - $R = 1,0 \times D_h - L_d / D_h \geq 30$	0.25	1
Totale	0.25	

Strati del condotto (dall'interno verso l'esterno)

Materiale	Diam. int. (mm)	Spessore (mm)	λ (W/(mK))	Rt (m ² K/W)

Acciaio inossidabile	160.0	0.5	17.000	0.00003
Lana di roccia	161.0	25.0	0.035	0.62204
Acciaio inossidabile	211.0	1.0	17.000	0.00006



Canale adduzione aria 2

Dati tecnici	
Marca	Stabile
Modello	PD
Descrizione	Camino a doppia parete metallica isolato con lana di roccia di sp. 25 e 50 mm, parete interna in acciaio 1.4404 di spessore 0.5 - 0.6 - 0.8 - 1 mm e parte esterna in acciaio inox
Geometria	
Altezza efficace - Hv	0.5 m
Lunghezza - Lv	1.5 m
Coefficiente di resistenza al flusso - Zeta	0.25 m
Forma	Circolare
Diametro idraulico interno	160 mm
Spessore	26.5 mm
Diametro esterno	213 mm
Area interna	62.13 cm ²
Caratteristiche tecniche	
Tipo	Monostrato
Rugosità	1.0 mm
Resistenza termica - RT	0.61825 m ² K/W
Pressione massima ammessa dal condotto	200 Pa
Esposizione area della superficie esterna del condotto	
Nel locale caldaia	100 %
Nelle aree riscaldate	0 %
Nelle aree non riscaldate interne all'edificio	0 %
Esterna all'edificio	0 %

Elementi di resistenza al flusso

Descrizione	Resistenza (m)	Quantità
Curva 90° - $R = 1,0 \times D_h - L_d / D_h \geq 30$	0.25	1
Totale	0.25	

Strati del condotto (dall'interno verso l'esterno)

Materiale	Diam. int. (mm)	Spessore (mm)	λ (W/(mK))	Rt (m ² K/W)

Acciaio inossidabile	160.0	0.5	17.000	0.00003
Lana di roccia	161.0	25.0	0.035	0.62204
Acciaio inossidabile	211.0	1.0	17.000	0.00006



Canale adduzione aria 3

Dati tecnici	
Marca	Stabile
Modello	PD
Descrizione	Camino a doppia parete metallica isolato con lana di roccia di sp. 25 e 50 mm, parete interna in acciaio 1.4404 di spessore 0.5 - 0.6 - 0.8 - 1 mm e parte esterna in acciaio inox
Geometria	
Altezza efficace - Hv	0.5 m
Lunghezza - Lv	1.5 m
Coefficiente di resistenza al flusso - Zeta	0.25 m
Forma	Circolare
Diametro idraulico interno	160 mm
Spessore	26.5 mm
Diametro esterno	213 mm
Area interna	62.13 cm ²
Caratteristiche tecniche	
Tipo	Monostrato
Rugosità	1.0 mm
Resistenza termica - RT	0.61825 m ² K/W
Pressione massima ammessa dal condotto	200 Pa
Esposizione area della superficie esterna del condotto	
Nel locale caldaia	100 %
Nelle aree riscaldate	0 %
Nelle aree non riscaldate interne all'edificio	0 %
Esterna all'edificio	0 %

Elementi di resistenza al flusso

Descrizione	Resistenza (m)	Quantità
Curva 90° - $R = 1,0 \times D_h - L_d / D_h \geq 30$	0.25	1
Totale	0.25	

Strati del condotto (dall'interno verso l'esterno)

Materiale	Diam. int. (mm)	Spessore (mm)	λ (W/(mK))	Rt (m ² K/W)

Acciaio inossidabile	160.0	0.5	17.000	0.00003
Lana di roccia	161.0	25.0	0.035	0.62204
Acciaio inossidabile	211.0	1.0	17.000	0.00006



Canale adduzione aria 4

Dati tecnici	
Marca	Stabile
Modello	PD
Descrizione	Camino a doppia parete metallica isolato con lana di roccia di sp. 25 e 50 mm, parete interna in acciaio 1.4404 di spessore 0.5 - 0.6 - 0.8 - 1 mm e parte esterna in acciaio inox
Geometria	
Altezza efficace - Hv	0.5 m
Lunghezza - Lv	1.5 m
Coefficiente di resistenza al flusso - Zeta	0.25 m
Forma	Circolare
Diametro idraulico interno	160 mm
Spessore	26.5 mm
Diametro esterno	213 mm
Area interna	62.13 cm ²
Caratteristiche tecniche	
Tipo	Monostrato
Rugosità	1.0 mm
Resistenza termica - RT	0.61825 m ² K/W
Pressione massima ammessa dal condotto	200 Pa
Esposizione area della superficie esterna del condotto	
Nel locale caldaia	100 %
Nelle aree riscaldate	0 %
Nelle aree non riscaldate interne all'edificio	0 %
Esterna all'edificio	0 %

Elementi di resistenza al flusso

Descrizione	Resistenza (m)	Quantità
Curva 90° - $R = 1,0 \times D_h - L_d / D_h \geq 30$	0.25	1
Totale	0.25	

Strati del condotto (dall'interno verso l'esterno)

Materiale	Diam. int. (mm)	Spessore (mm)	λ (W/(mK))	Rt (m ² K/W)

Acciaio inossidabile	160.0	0.5	17.000	0.00003
Lana di roccia	161.0	25.0	0.035	0.62204
Acciaio inossidabile	211.0	1.0	17.000	0.00006



Canale adduzione aria 5

Dati tecnici	
Marca	Stabile
Modello	PD
Descrizione	Camino a doppia parete metallica isolato con lana di roccia di sp. 25 e 50 mm, parete interna in acciaio 1.4404 di spessore 0.5 - 0.6 - 0.8 - 1 mm e parte esterna in acciaio inox
Geometria	
Altezza efficace - Hv	0.5 m
Lunghezza - Lv	1.5 m
Coefficiente di resistenza al flusso - Zeta	0.25 m
Forma	Circolare
Diametro idraulico interno	160 mm
Spessore	26.5 mm
Diametro esterno	213 mm
Area interna	62.13 cm ²
Caratteristiche tecniche	
Tipo	Monostrato
Rugosità	1.0 mm
Resistenza termica - RT	0.61825 m ² K/W
Pressione massima ammessa dal condotto	200 Pa
Esposizione area della superficie esterna del condotto	
Nel locale caldaia	100 %
Nelle aree riscaldate	0 %
Nelle aree non riscaldate interne all'edificio	0 %
Esterna all'edificio	0 %

Elementi di resistenza al flusso

Descrizione	Resistenza (m)	Quantità
Curva 90° - $R = 1,0 \times D_h - L_d / D_h \geq 30$	0.25	1
Totale	0.25	

Strati del condotto (dall'interno verso l'esterno)

Materiale	Diam. int. (mm)	Spessore (mm)	λ (W/(mK))	Rt (m ² K/W)

Acciaio inossidabile	160.0	0.5	17.000	0.00003
Lana di roccia	161.0	25.0	0.035	0.62204
Acciaio inossidabile	211.0	1.0	17.000	0.00006



Camino 1

Dati tecnici	
Marca	Cordivari
Modello	Doppia parete
Descrizione	Camino doppia parete. Acciaio inox - lana di roccia - acciaio inox
Geometria	
Altezza efficace - Hc	3.0 m
Lunghezza - Lc	3.0 m
Coefficiente di resistenza al flusso - Zeta	0.00 m
Forma	Circolare
Diametro idraulico interno	180 mm
Spessore	25.8 mm
Diametro esterno	232 mm
Area interna	254.47 cm ²
Caratteristiche tecniche	
Tipo	Monostrato
Rugosità	1.0 mm
Resistenza termica - RT	0.39243 m ² K/W
Pressione massima ammessa dal condotto	200 Pa
Esposizione area della superficie esterna del condotto	
Nel locale caldaia	0 %
Nelle aree riscaldate	0 %
Nelle aree non riscaldate interne all'edificio	100 %
Esterna all'edificio	0 %

Strati del condotto (dall'interno verso l'esterno)

Materiale	Diam. int. (mm)	Spessore (mm)	λ (W/(mK))	Rt (m ² K/W)
Acciaio inossidabile	180.0	0.4	17.000	0.00002
Lana di roccia	180.8	25.0	0.056	0.39414
Acciaio inossidabile	230.8	0.4	17.000	0.00002

Camino 2

Dati tecnici	
Marca	Cordivari
Modello	Doppia parete
Descrizione	Camino doppia parete. Acciaio inox - lana di roccia - acciaio inox
Geometria	
Altezza efficace - Hc	3.0 m
Lunghezza - Lc	3.0 m
Coefficiente di resistenza al flusso - Zeta	0.00 m
Forma	Circolare
Diametro idraulico interno	180 mm
Spessore	25.8 mm
Diametro esterno	232 mm
Area interna	254.47 cm ²
Caratteristiche tecniche	
Tipo	Monostrato
Rugosità	1.0 mm
Resistenza termica - RT	0.39243 m ² K/W
Pressione massima ammessa dal condotto	200 Pa
Esposizione area della superficie esterna del condotto	
Nel locale caldaia	0 %
Nelle aree riscaldate	0 %
Nelle aree non riscaldate interne all'edificio	100 %
Esterna all'edificio	0 %

Strati del condotto (dall'interno verso l'esterno)

Materiale	Diam. int. (mm)	Spessore (mm)	λ (W/(mK))	Rt (m ² K/W)
Acciaio inossidabile	180.0	0.4	17.000	0.00002
Lana di roccia	180.8	25.0	0.056	0.39414
Acciaio inossidabile	230.8	0.4	17.000	0.00002

Camino 3

Dati tecnici	
Marca	Cordivari
Modello	Doppia parete
Descrizione	Camino doppia parete. Acciaio inox - lana di roccia - acciaio inox
Geometria	
Altezza efficace - Hc	3.0 m
Lunghezza - Lc	3.0 m
Coefficiente di resistenza al flusso - Zeta	0.00 m
Forma	Circolare
Diametro idraulico interno	180 mm
Spessore	25.8 mm
Diametro esterno	232 mm
Area interna	254.47 cm ²
Caratteristiche tecniche	
Tipo	Monostrato
Rugosità	1.0 mm
Resistenza termica - RT	0.39243 m ² K/W
Pressione massima ammessa dal condotto	200 Pa
Esposizione area della superficie esterna del condotto	
Nel locale caldaia	0 %
Nelle aree riscaldate	0 %
Nelle aree non riscaldate interne all'edificio	100 %
Esterna all'edificio	0 %

Strati del condotto (dall'interno verso l'esterno)

Materiale	Diam. int. (mm)	Spessore (mm)	λ (W/(mK))	Rt (m ² K/W)
Acciaio inossidabile	180.0	0.4	17.000	0.00002
Lana di roccia	180.8	25.0	0.056	0.39414
Acciaio inossidabile	230.8	0.4	17.000	0.00002

Camino 4

Dati tecnici	
Marca	Cordivari
Modello	Doppia parete
Descrizione	Camino doppia parete. Acciaio inox - lana di roccia - acciaio inox
Geometria	
Altezza efficace - Hc	3.0 m
Lunghezza - Lc	3.0 m
Coefficiente di resistenza al flusso - Zeta	0.00 m
Forma	Circolare
Diametro idraulico interno	180 mm
Spessore	25.8 mm
Diametro esterno	232 mm
Area interna	254.47 cm ²
Caratteristiche tecniche	
Tipo	Monostrato
Rugosità	1.0 mm
Resistenza termica - RT	0.39243 m ² K/W
Pressione massima ammessa dal condotto	200 Pa
Esposizione area della superficie esterna del condotto	
Nel locale caldaia	0 %
Nelle aree riscaldate	0 %
Nelle aree non riscaldate interne all'edificio	100 %
Esterna all'edificio	0 %

Strati del condotto (dall'interno verso l'esterno)

Materiale	Diam. int. (mm)	Spessore (mm)	λ (W/(mK))	Rt (m ² K/W)
Acciaio inossidabile	180.0	0.4	17.000	0.00002
Lana di roccia	180.8	25.0	0.056	0.39414
Acciaio inossidabile	230.8	0.4	17.000	0.00002

Camino 5

Dati tecnici	
Marca	Cordivari
Modello	Doppia parete
Descrizione	Camino doppia parete. Acciaio inox - lana di roccia - acciaio inox
Geometria	
Altezza efficace - Hc	3.0 m
Lunghezza - Lc	3.0 m
Coefficiente di resistenza al flusso - Zeta	0.00 m
Forma	Circolare
Diametro idraulico interno	180 mm
Spessore	25.8 mm
Diametro esterno	232 mm
Area interna	254.47 cm ²
Caratteristiche tecniche	
Tipo	Monostrato
Rugosità	1.0 mm
Resistenza termica - RT	0.39243 m ² K/W
Pressione massima ammessa dal condotto	200 Pa
Esposizione area della superficie esterna del condotto	
Nel locale caldaia	0 %
Nelle aree riscaldate	0 %
Nelle aree non riscaldate interne all'edificio	100 %
Esterna all'edificio	0 %

Strati del condotto (dall'interno verso l'esterno)

Materiale	Diam. int. (mm)	Spessore (mm)	λ (W/(mK))	Rt (m ² K/W)
Acciaio inossidabile	180.0	0.4	17.000	0.00002
Lana di roccia	180.8	25.0	0.056	0.39414
Acciaio inossidabile	230.8	0.4	17.000	0.00002

Condotto adduzione aria 1

Dati tecnici	
Marca	Cordivari
Modello	Doppia parete
Descrizione	Camino doppia parete. Acciaio inox - lana di roccia - acciaio inox
Geometria	
Altezza efficace - Hc	3.0 m
Lunghezza - Lc	3.0 m
Coefficiente di resistenza al flusso - Zeta	0.00 m
Forma	Circolare
Diametro idraulico interno	300 mm
Spessore	25.8 mm
Diametro esterno	352 mm
Area interna	285.58 cm ²
Caratteristiche tecniche	
Tipo	Monostrato
Rugosità	1.0 mm
Resistenza termica - RT	0.41192 m ² K/W
Pressione massima ammessa dal condotto	200 Pa
Esposizione area della superficie esterna del condotto	
Nel locale caldaia	0 %
Nelle aree riscaldate	0 %
Nelle aree non riscaldate interne all'edificio	100 %
Esterna all'edificio	0 %

Strati del condotto (dall'interno verso l'esterno)

Materiale	Diam. int. (mm)	Spessore (mm)	λ (W/(mK))	Rt (m ² K/W)
Acciaio inossidabile	300.0	0.4	17.000	0.00002
Lana di roccia	300.8	25.0	0.056	0.41298
Acciaio inossidabile	350.8	0.4	17.000	0.00002

Condotto adduzione aria 2

Dati tecnici	
Marca	Cordivari
Modello	Doppia parete
Descrizione	Camino doppia parete. Acciaio inox - lana di roccia - acciaio inox
Geometria	
Altezza efficace - Hc	3.0 m
Lunghezza - Lc	3.0 m
Coefficiente di resistenza al flusso - Zeta	0.00 m
Forma	Circolare
Diametro idraulico interno	300 mm
Spessore	25.8 mm
Diametro esterno	352 mm
Area interna	285.58 cm ²
Caratteristiche tecniche	
Tipo	Monostrato
Rugosità	1.0 mm
Resistenza termica - RT	0.41192 m ² K/W
Pressione massima ammessa dal condotto	200 Pa
Esposizione area della superficie esterna del condotto	
Nel locale caldaia	0 %
Nelle aree riscaldate	0 %
Nelle aree non riscaldate interne all'edificio	100 %
Esterna all'edificio	0 %

Strati del condotto (dall'interno verso l'esterno)

Materiale	Diam. int. (mm)	Spessore (mm)	λ (W/(mK))	Rt (m ² K/W)
Acciaio inossidabile	300.0	0.4	17.000	0.00002
Lana di roccia	300.8	25.0	0.056	0.41298
Acciaio inossidabile	350.8	0.4	17.000	0.00002

Condotto adduzione aria 3

Dati tecnici	
Marca	Cordivari
Modello	Doppia parete
Descrizione	Camino doppia parete. Acciaio inox - lana di roccia - acciaio inox
Geometria	
Altezza efficace - Hc	3.0 m
Lunghezza - Lc	3.0 m
Coefficiente di resistenza al flusso - Zeta	0.00 m
Forma	Circolare
Diametro idraulico interno	300 mm
Spessore	25.8 mm
Diametro esterno	352 mm
Area interna	285.58 cm ²
Caratteristiche tecniche	
Tipo	Monostrato
Rugosità	1.0 mm
Resistenza termica - RT	0.41192 m ² K/W
Pressione massima ammessa dal condotto	200 Pa
Esposizione area della superficie esterna del condotto	
Nel locale caldaia	0 %
Nelle aree riscaldate	0 %
Nelle aree non riscaldate interne all'edificio	100 %
Esterna all'edificio	0 %

Strati del condotto (dall'interno verso l'esterno)

Materiale	Diam. int. (mm)	Spessore (mm)	λ (W/(mK))	Rt (m ² K/W)
Acciaio inossidabile	300.0	0.4	17.000	0.00002
Lana di roccia	300.8	25.0	0.056	0.41298
Acciaio inossidabile	350.8	0.4	17.000	0.00002

Condotto adduzione aria 4

Dati tecnici	
Marca	Cordivari
Modello	Doppia parete
Descrizione	Camino doppia parete. Acciaio inox - lana di roccia - acciaio inox
Geometria	
Altezza efficace - Hc	3.0 m
Lunghezza - Lc	3.0 m
Coefficiente di resistenza al flusso - Zeta	0.00 m
Forma	Circolare
Diametro idraulico interno	300 mm
Spessore	25.8 mm
Diametro esterno	352 mm
Area interna	285.58 cm ²
Caratteristiche tecniche	
Tipo	Monostrato
Rugosità	1.0 mm
Resistenza termica - RT	0.41192 m ² K/W
Pressione massima ammessa dal condotto	200 Pa
Esposizione area della superficie esterna del condotto	
Nel locale caldaia	0 %
Nelle aree riscaldate	0 %
Nelle aree non riscaldate interne all'edificio	100 %
Esterna all'edificio	0 %

Strati del condotto (dall'interno verso l'esterno)

Materiale	Diam. int. (mm)	Spessore (mm)	λ (W/(mK))	Rt (m ² K/W)
Acciaio inossidabile	300.0	0.4	17.000	0.00002
Lana di roccia	300.8	25.0	0.056	0.41298
Acciaio inossidabile	350.8	0.4	17.000	0.00002

Condotto adduzione aria 5

Dati tecnici	
Marca	Cordivari
Modello	Doppia parete
Descrizione	Camino doppia parete. Acciaio inox - lana di roccia - acciaio inox
Geometria	
Altezza efficace - Hc	3.0 m
Lunghezza - Lc	3.0 m
Coefficiente di resistenza al flusso - Zeta	0.00 m
Forma	Circolare
Diametro idraulico interno	300 mm
Spessore	25.8 mm
Diametro esterno	352 mm
Area interna	285.58 cm ²
Caratteristiche tecniche	
Tipo	Monostrato
Rugosità	1.0 mm
Resistenza termica - RT	0.41192 m ² K/W
Pressione massima ammessa dal condotto	200 Pa
Esposizione area della superficie esterna del condotto	
Nel locale caldaia	0 %
Nelle aree riscaldate	0 %
Nelle aree non riscaldate interne all'edificio	100 %
Esterna all'edificio	0 %

Strati del condotto (dall'interno verso l'esterno)

Materiale	Diam. int. (mm)	Spessore (mm)	λ (W/(mK))	Rt (m ² K/W)
Acciaio inossidabile	300.0	0.4	17.000	0.00002
Lana di roccia	300.8	25.0	0.056	0.41298
Acciaio inossidabile	350.8	0.4	17.000	0.00002

Comignolo

Comignolo	
Ubicazione	
Tipo regione	Interna
In zona reflusso	No
Pressione generata dalla velocità del vento - PL	0.0 Pa

RISULTATI DI CALCOLO

Verifiche

Tutti i generatori accesi

Verifiche generatore 1			
Verifica	Valori	U.M.	Ver.
Condizione A (generatori a pot. nominale e temp. esterna max)			
$m_{wc} \geq m_w$	$0.02312 \geq 0.01648$	kg/s	Si
$P_{ZO} \leq P_{Zeccesso}$	$34.7 \leq 200.0$	Pa	Si
$P_{ZO} + P_{FV} \leq P_{ZVeccesso}$	$47.2 \leq 200.0$	Pa	Si
$T_{iob} \geq T_g$	$37.4 \geq 0.0$	°C	Si
Condizione B (generatori a pot. min e temp. esterna max)			
$m_{wc} \geq m_w$	$0.01906 \geq 0.00859$	kg/s	Si
$P_{ZO} \leq P_{Zeccesso}$	$23.6 \leq 200.0$	Pa	Si
$P_{ZO} + P_{FV} \leq P_{ZVeccesso}$	$32.0 \leq 200.0$	Pa	Si
$T_{iob} \geq T_g$	$32.3 \geq 0.0$	°C	Si
Condizione C (generatori a pot. nominale e temp. esterna min)			
$m_{wc} \geq m_w$	$0.02312 \geq 0.01648$	kg/s	Si
$P_{ZO} \leq P_{Zeccesso}$	$34.7 \leq 200.0$	Pa	Si
$P_{ZO} + P_{FV} \leq P_{ZVeccesso}$	$47.2 \leq 200.0$	Pa	Si
$T_{iob} \geq T_g$	$37.4 \geq 0.0$	°C	Si
Condizione D (generatori a pot. min e temp. esterna min)			
$m_{wc} \geq m_w$	$0.01906 \geq 0.00859$	kg/s	Si
$P_{ZO} \leq P_{Zeccesso}$	$23.6 \leq 200.0$	Pa	Si
$P_{ZO} + P_{FV} \leq P_{ZVeccesso}$	$32.0 \leq 200.0$	Pa	Si
$T_{iob} \geq T_g$	$32.3 \geq 0.0$	°C	Si

Verifiche generatore 2			
Verifica	Valori	U.M.	Ver.
Condizione A (generatori a pot. nominale e temp. esterna max)			
$m_{wc} \geq m_w$	$0.02322 \geq 0.01648$	kg/s	Si
$P_{ZO} \leq P_{Zeccesso}$	$32.9 \leq 200.0$	Pa	Si
$P_{ZO} + P_{FV} \leq P_{ZVeccesso}$	$47.1 \leq 200.0$	Pa	Si
$T_{iob} \geq T_g$	$38.6 \geq 0.0$	°C	Si
Condizione B (generatori a pot. min e temp. esterna max)			
$m_{wc} \geq m_w$	$0.01913 \geq 0.00859$	kg/s	Si
$P_{ZO} \leq P_{Zeccesso}$	$22.0 \leq 200.0$	Pa	Si
$P_{ZO} + P_{FV} \leq P_{ZVeccesso}$	$31.5 \leq 200.0$	Pa	Si
$T_{iob} \geq T_g$	$32.7 \geq 0.0$	°C	Si
Condizione C (generatori a pot. nominale e temp. esterna min)			
$m_{wc} \geq m_w$	$0.02322 \geq 0.01648$	kg/s	Si
$P_{ZO} \leq P_{Zeccesso}$	$32.9 \leq 200.0$	Pa	Si
$P_{ZO} + P_{FV} \leq P_{ZVeccesso}$	$47.1 \leq 200.0$	Pa	Si
$T_{iob} \geq T_g$	$38.6 \geq 0.0$	°C	Si
Condizione D (generatori a pot. min e temp. esterna min)			
$m_{wc} \geq m_w$	$0.01913 \geq 0.00859$	kg/s	Si
$P_{ZO} \leq P_{Zeccesso}$	$22.0 \leq 200.0$	Pa	Si
$P_{ZO} + P_{FV} \leq P_{ZVeccesso}$	$31.5 \leq 200.0$	Pa	Si
$T_{iob} \geq T_g$	$32.7 \geq 0.0$	°C	Si

Verifiche generatore 3			
Verifica	Valori	U.M.	Ver.
Condizione A (generatori a pot. nominale e temp. esterna max)			
$m_{wc} \geq m_w$	$0.02397 \geq 0.01648$	kg/s	Si
$P_{ZO} \leq P_{Zeccesso}$	$28.4 \leq 200.0$	Pa	Si
$P_{ZO} + P_{FV} \leq P_{ZVeccesso}$	$45.0 \leq 200.0$	Pa	Si
$T_{iob} \geq T_g$	$39.1 \geq 0.0$	°C	Si
Condizione B (generatori a pot. min e temp. esterna max)			
$m_{wc} \geq m_w$	$0.01948 \geq 0.00859$	kg/s	Si
$P_{ZO} \leq P_{Zeccesso}$	$18.6 \leq 200.0$	Pa	Si
$P_{ZO} + P_{FV} \leq P_{ZVeccesso}$	$29.5 \leq 200.0$	Pa	Si
$T_{iob} \geq T_g$	$32.9 \geq 0.0$	°C	Si
Condizione C (generatori a pot. nominale e temp. esterna min)			
$m_{wc} \geq m_w$	$0.02397 \geq 0.01648$	kg/s	Si
$P_{ZO} \leq P_{Zeccesso}$	$28.4 \leq 200.0$	Pa	Si
$P_{ZO} + P_{FV} \leq P_{ZVeccesso}$	$45.0 \leq 200.0$	Pa	Si
$T_{iob} \geq T_g$	$39.1 \geq 0.0$	°C	Si
Condizione D (generatori a pot. min e temp. esterna min)			
$m_{wc} \geq m_w$	$0.01948 \geq 0.00859$	kg/s	Si
$P_{ZO} \leq P_{Zeccesso}$	$18.6 \leq 200.0$	Pa	Si
$P_{ZO} + P_{FV} \leq P_{ZVeccesso}$	$29.5 \leq 200.0$	Pa	Si
$T_{iob} \geq T_g$	$32.9 \geq 0.0$	°C	Si

Verifiche generatore 4			
Verifica	Valori	U.M.	Ver.
Condizione A (generatori a pot. nominale e temp. esterna max)			
$m_{wc} \geq m_w$	$0.02558 \geq 0.01648$	kg/s	Si
$P_{ZO} \leq P_{Zeccesso}$	$20.0 \leq 200.0$	Pa	Si
$P_{ZO} + P_{FV} \leq P_{ZVeccesso}$	$40.4 \leq 200.0$	Pa	Si
$T_{iob} \geq T_g$	$39.4 \geq 0.0$	°C	Si
Condizione B (generatori a pot. min e temp. esterna max)			
$m_{wc} \geq m_w$	$0.02021 \geq 0.00859$	kg/s	Si
$P_{ZO} \leq P_{Zeccesso}$	$12.9 \leq 200.0$	Pa	Si
$P_{ZO} + P_{FV} \leq P_{ZVeccesso}$	$25.5 \leq 200.0$	Pa	Si
$T_{iob} \geq T_g$	$33.0 \geq 0.0$	°C	Si
Condizione C (generatori a pot. nominale e temp. esterna min)			
$m_{wc} \geq m_w$	$0.02558 \geq 0.01648$	kg/s	Si
$P_{ZO} \leq P_{Zeccesso}$	$20.0 \leq 200.0$	Pa	Si
$P_{ZO} + P_{FV} \leq P_{ZVeccesso}$	$40.4 \leq 200.0$	Pa	Si
$T_{iob} \geq T_g$	$39.4 \geq 0.0$	°C	Si
Condizione D (generatori a pot. min e temp. esterna min)			
$m_{wc} \geq m_w$	$0.02021 \geq 0.00859$	kg/s	Si
$P_{ZO} \leq P_{Zeccesso}$	$12.9 \leq 200.0$	Pa	Si
$P_{ZO} + P_{FV} \leq P_{ZVeccesso}$	$25.5 \leq 200.0$	Pa	Si
$T_{iob} \geq T_g$	$33.0 \geq 0.0$	°C	Si

Verifiche generatore 5			
Verifica	Valori	U.M.	Ver.
Condizione A (generatori a pot. nominale e temp. esterna max)			
$m_{wc} \geq m_w$	$0.02824 \geq 0.01648$	kg/s	Si
$P_{ZO} \leq P_{Zeccesso}$	$6.2 \leq 200.0$	Pa	Si
$P_{ZO} + P_{FV} \leq P_{ZVeccesso}$	$32.3 \leq 200.0$	Pa	Si
$T_{iob} \geq T_g$	$39.6 \geq 0.0$	°C	Si
Condizione B (generatori a pot. min e temp. esterna max)			
$m_{wc} \geq m_w$	$0.02137 \geq 0.00859$	kg/s	Si
$P_{ZO} \leq P_{Zeccesso}$	$4.2 \leq 200.0$	Pa	Si
$P_{ZO} + P_{FV} \leq P_{ZVeccesso}$	$19.2 \leq 200.0$	Pa	Si
$T_{iob} \geq T_g$	$33.1 \geq 0.0$	°C	Si
Condizione C (generatori a pot. nominale e temp. esterna min)			
$m_{wc} \geq m_w$	$0.02824 \geq 0.01648$	kg/s	Si
$P_{ZO} \leq P_{Zeccesso}$	$6.2 \leq 200.0$	Pa	Si
$P_{ZO} + P_{FV} \leq P_{ZVeccesso}$	$32.3 \leq 200.0$	Pa	Si
$T_{iob} \geq T_g$	$39.6 \geq 0.0$	°C	Si
Condizione D (generatori a pot. min e temp. esterna min)			
$m_{wc} \geq m_w$	$0.02137 \geq 0.00859$	kg/s	Si
$P_{ZO} \leq P_{Zeccesso}$	$4.2 \leq 200.0$	Pa	Si
$P_{ZO} + P_{FV} \leq P_{ZVeccesso}$	$19.2 \leq 200.0$	Pa	Si
$T_{iob} \geq T_g$	$33.1 \geq 0.0$	°C	Si

Generatore 1 acceso e tutti gli altri spenti

Verifiche generatore 1			
Verifica	Valori	U.M.	Ver.
Condizione A (gen. 1 a pot. nominale e temp. esterna max)			
$m_{wc} \geq m_w$	$0.03256 \geq 0.01648$	kg/s	Si
$P_{ZO} \leq P_{Zeccesso}$	$-1.5 \leq 200.0$	Pa	Si
$P_{ZO} + P_{FV} \leq P_{ZVeccesso}$	$23.3 \leq 200.0$	Pa	Si
$T_{iob} \geq T_g$	$37.7 \geq 0.0$	°C	Si
Condizione B (gen. 1 a pot. min e temp. esterna max)			
$m_{wc} \geq m_w$	$0.02333 \geq 0.00859$	kg/s	Si
$P_{ZO} \leq P_{Zeccesso}$	$0.7 \leq 200.0$	Pa	Si
$P_{ZO} + P_{FV} \leq P_{ZVeccesso}$	$13.2 \leq 200.0$	Pa	Si
$T_{iob} \geq T_g$	$31.9 \geq 0.0$	°C	Si
Condizione C (gen. 1 a pot. nominale e temp. esterna min)			
$m_{wc} \geq m_w$	$0.03256 \geq 0.01648$	kg/s	Si
$P_{ZO} \leq P_{Zeccesso}$	$-1.5 \leq 200.0$	Pa	Si
$P_{ZO} + P_{FV} \leq P_{ZVeccesso}$	$23.3 \leq 200.0$	Pa	Si
$T_{iob} \geq T_g$	$37.7 \geq 0.0$	°C	Si
Condizione D (gen. 1 a pot. min e temp. esterna min)			
$m_{wc} \geq m_w$	$0.02333 \geq 0.00859$	kg/s	Si
$P_{ZO} \leq P_{Zeccesso}$	$0.7 \leq 200.0$	Pa	Si
$P_{ZO} + P_{FV} \leq P_{ZVeccesso}$	$13.2 \leq 200.0$	Pa	Si
$T_{iob} \geq T_g$	$31.9 \geq 0.0$	°C	Si

Verifiche generatore 2			
Verifica	Valori	U.M.	Ver.
Condizione A (gen. 1 a pot. nominale e temp. esterna max)			
$m_{wc} \geq m_w$	$0.00000 \geq 0.00000$	kg/s	Si
$P_{ZO} \leq P_{Zeccesso}$	$-0.9 \leq 200.0$	Pa	Si
$P_{ZO} + P_{FV} \leq P_{ZVeccesso}$	$-0.7 \leq 200.0$	Pa	Si
$T_{iob} \geq T_g$	$36.6 \geq 0.0$	°C	Si
Condizione B (gen. 1 a pot. min e temp. esterna max)			
$m_{wc} \geq m_w$	$0.00000 \geq 0.00000$	kg/s	Si
$P_{ZO} \leq P_{Zeccesso}$	$0.8 \leq 200.0$	Pa	Si
$P_{ZO} + P_{FV} \leq P_{ZVeccesso}$	$0.9 \leq 200.0$	Pa	Si
$T_{iob} \geq T_g$	$31.2 \geq 0.0$	°C	Si
Condizione C (gen. 1 a pot. nominale e temp. esterna min)			
$m_{wc} \geq m_w$	$0.00000 \geq 0.00000$	kg/s	Si
$P_{ZO} \leq P_{Zeccesso}$	$-0.9 \leq 200.0$	Pa	Si
$P_{ZO} + P_{FV} \leq P_{ZVeccesso}$	$-0.7 \leq 200.0$	Pa	Si
$T_{iob} \geq T_g$	$36.6 \geq 0.0$	°C	Si
Condizione D (gen. 1 a pot. min e temp. esterna min)			
$m_{wc} \geq m_w$	$0.00000 \geq 0.00000$	kg/s	Si
$P_{ZO} \leq P_{Zeccesso}$	$0.8 \leq 200.0$	Pa	Si
$P_{ZO} + P_{FV} \leq P_{ZVeccesso}$	$0.9 \leq 200.0$	Pa	Si
$T_{iob} \geq T_g$	$31.2 \geq 0.0$	°C	Si

Verifiche generatore 3			
Verifica	Valori	U.M.	Ver.
Condizione A (gen. 1 a pot. nominale e temp. esterna max)			
$m_{wc} \geq m_w$	$0.00000 \geq 0.00000$	kg/s	Si
$P_{ZO} \leq P_{Zeccesso}$	$-0.5 \leq 200.0$	Pa	Si
$P_{ZO} + P_{FV} \leq P_{ZVeccesso}$	$-0.3 \leq 200.0$	Pa	Si
$T_{iob} \geq T_g$	$35.5 \geq 0.0$	°C	Si
Condizione B (gen. 1 a pot. min e temp. esterna max)			
$m_{wc} \geq m_w$	$0.00000 \geq 0.00000$	kg/s	Si
$P_{ZO} \leq P_{Zeccesso}$	$0.8 \leq 200.0$	Pa	Si
$P_{ZO} + P_{FV} \leq P_{ZVeccesso}$	$0.9 \leq 200.0$	Pa	Si
$T_{iob} \geq T_g$	$30.5 \geq 0.0$	°C	Si
Condizione C (gen. 1 a pot. nominale e temp. esterna min)			
$m_{wc} \geq m_w$	$0.00000 \geq 0.00000$	kg/s	Si
$P_{ZO} \leq P_{Zeccesso}$	$-0.5 \leq 200.0$	Pa	Si
$P_{ZO} + P_{FV} \leq P_{ZVeccesso}$	$-0.3 \leq 200.0$	Pa	Si
$T_{iob} \geq T_g$	$35.5 \geq 0.0$	°C	Si
Condizione D (gen. 1 a pot. min e temp. esterna min)			
$m_{wc} \geq m_w$	$0.00000 \geq 0.00000$	kg/s	Si
$P_{ZO} \leq P_{Zeccesso}$	$0.8 \leq 200.0$	Pa	Si
$P_{ZO} + P_{FV} \leq P_{ZVeccesso}$	$0.9 \leq 200.0$	Pa	Si
$T_{iob} \geq T_g$	$30.5 \geq 0.0$	°C	Si

Verifiche generatore 4			
Verifica	Valori	U.M.	Ver.
Condizione A (gen. 1 a pot. nominale e temp. esterna max)			
$m_{wc} \geq m_w$	$0.00000 \geq 0.00000$	kg/s	Si
$P_{ZO} \leq P_{Zeccesso}$	$-0.2 \leq 200.0$	Pa	Si
$P_{ZO} + P_{FV} \leq P_{ZVeccesso}$	$0.0 \leq 200.0$	Pa	Si
$T_{iob} \geq T_g$	$34.6 \geq 0.0$	°C	Si
Condizione B (gen. 1 a pot. min e temp. esterna max)			
$m_{wc} \geq m_w$	$0.00000 \geq 0.00000$	kg/s	Si
$P_{ZO} \leq P_{Zeccesso}$	$0.6 \leq 200.0$	Pa	Si
$P_{ZO} + P_{FV} \leq P_{ZVeccesso}$	$0.7 \leq 200.0$	Pa	Si
$T_{iob} \geq T_g$	$29.9 \geq 0.0$	°C	Si
Condizione C (gen. 1 a pot. nominale e temp. esterna min)			
$m_{wc} \geq m_w$	$0.00000 \geq 0.00000$	kg/s	Si
$P_{ZO} \leq P_{Zeccesso}$	$-0.2 \leq 200.0$	Pa	Si
$P_{ZO} + P_{FV} \leq P_{ZVeccesso}$	$0.0 \leq 200.0$	Pa	Si
$T_{iob} \geq T_g$	$34.6 \geq 0.0$	°C	Si
Condizione D (gen. 1 a pot. min e temp. esterna min)			
$m_{wc} \geq m_w$	$0.00000 \geq 0.00000$	kg/s	Si
$P_{ZO} \leq P_{Zeccesso}$	$0.6 \leq 200.0$	Pa	Si
$P_{ZO} + P_{FV} \leq P_{ZVeccesso}$	$0.7 \leq 200.0$	Pa	Si
$T_{iob} \geq T_g$	$29.9 \geq 0.0$	°C	Si

Verifiche generatore 5			
Verifica	Valori	U.M.	Ver.
Condizione A (gen. 1 a pot. nominale e temp. esterna max)			
$m_{wc} \geq m_w$	$0.00000 \geq 0.00000$	kg/s	Si
$P_{ZO} \leq P_{Zeccesso}$	$0.0 \leq 200.0$	Pa	Si
$P_{ZO} + P_{FV} \leq P_{ZVeccesso}$	$0.2 \leq 200.0$	Pa	Si
$T_{iob} \geq T_g$	$33.8 \geq 0.0$	°C	Si
Condizione B (gen. 1 a pot. min e temp. esterna max)			
$m_{wc} \geq m_w$	$0.00000 \geq 0.00000$	kg/s	Si
$P_{ZO} \leq P_{Zeccesso}$	$0.3 \leq 200.0$	Pa	Si
$P_{ZO} + P_{FV} \leq P_{ZVeccesso}$	$0.4 \leq 200.0$	Pa	Si
$T_{iob} \geq T_g$	$29.4 \geq 0.0$	°C	Si
Condizione C (gen. 1 a pot. nominale e temp. esterna min)			
$m_{wc} \geq m_w$	$0.00000 \geq 0.00000$	kg/s	Si
$P_{ZO} \leq P_{Zeccesso}$	$0.0 \leq 200.0$	Pa	Si
$P_{ZO} + P_{FV} \leq P_{ZVeccesso}$	$0.2 \leq 200.0$	Pa	Si
$T_{iob} \geq T_g$	$33.8 \geq 0.0$	°C	Si
Condizione D (gen. 1 a pot. min e temp. esterna min)			
$m_{wc} \geq m_w$	$0.00000 \geq 0.00000$	kg/s	Si
$P_{ZO} \leq P_{Zeccesso}$	$0.3 \leq 200.0$	Pa	Si
$P_{ZO} + P_{FV} \leq P_{ZVeccesso}$	$0.4 \leq 200.0$	Pa	Si
$T_{iob} \geq T_g$	$29.4 \geq 0.0$	°C	Si

Generatore 2 acceso e tutti gli altri spenti

Verifiche generatore 1			
Verifica	Valori	U.M.	Ver.
Condizione A (gen. 2 a pot. nominale e temp. esterna max)			
$m_{wc} \geq m_w$	$0.00000 \geq 0.00000$	kg/s	Si
$P_{ZO} \leq P_{Zeccesso}$	$0.3 \leq 200.0$	Pa	Si
$P_{ZO} + P_{FV} \leq P_{ZVeccesso}$	$0.3 \leq 200.0$	Pa	Si
$T_{iob} \geq T_g$	$30.0 \geq 0.0$	°C	Si
Condizione B (gen. 2 a pot. min e temp. esterna max)			
$m_{wc} \geq m_w$	$0.00000 \geq 0.00000$	kg/s	Si
$P_{ZO} \leq P_{Zeccesso}$	$1.3 \leq 200.0$	Pa	Si
$P_{ZO} + P_{FV} \leq P_{ZVeccesso}$	$1.3 \leq 200.0$	Pa	Si
$T_{iob} \geq T_g$	$30.0 \geq 0.0$	°C	Si
Condizione C (gen. 2 a pot. nominale e temp. esterna min)			
$m_{wc} \geq m_w$	$0.00000 \geq 0.00000$	kg/s	Si
$P_{ZO} \leq P_{Zeccesso}$	$0.3 \leq 200.0$	Pa	Si
$P_{ZO} + P_{FV} \leq P_{ZVeccesso}$	$0.3 \leq 200.0$	Pa	Si
$T_{iob} \geq T_g$	$30.0 \geq 0.0$	°C	Si
Condizione D (gen. 2 a pot. min e temp. esterna min)			
$m_{wc} \geq m_w$	$0.00000 \geq 0.00000$	kg/s	Si
$P_{ZO} \leq P_{Zeccesso}$	$1.3 \leq 200.0$	Pa	Si
$P_{ZO} + P_{FV} \leq P_{ZVeccesso}$	$1.3 \leq 200.0$	Pa	Si
$T_{iob} \geq T_g$	$30.0 \geq 0.0$	°C	Si

Verifiche generatore 2			
Verifica	Valori	U.M.	Ver.
Condizione A (gen. 2 a pot. nominale e temp. esterna max)			
$m_{wc} \geq m_w$	$0.03262 \geq 0.01648$	kg/s	Si
$P_{ZO} \leq P_{Zeccesso}$	$-1.5 \leq 200.0$	Pa	Si
$P_{ZO} + P_{FV} \leq P_{ZVeccesso}$	$23.4 \leq 200.0$	Pa	Si
$T_{iob} \geq T_g$	$37.7 \geq 0.0$	°C	Si
Condizione B (gen. 2 a pot. min e temp. esterna max)			
$m_{wc} \geq m_w$	$0.02334 \geq 0.00859$	kg/s	Si
$P_{ZO} \leq P_{Zeccesso}$	$0.4 \leq 200.0$	Pa	Si
$P_{ZO} + P_{FV} \leq P_{ZVeccesso}$	$12.9 \leq 200.0$	Pa	Si
$T_{iob} \geq T_g$	$31.9 \geq 0.0$	°C	Si
Condizione C (gen. 2 a pot. nominale e temp. esterna min)			
$m_{wc} \geq m_w$	$0.03262 \geq 0.01648$	kg/s	Si
$P_{ZO} \leq P_{Zeccesso}$	$-1.5 \leq 200.0$	Pa	Si
$P_{ZO} + P_{FV} \leq P_{ZVeccesso}$	$23.4 \leq 200.0$	Pa	Si
$T_{iob} \geq T_g$	$37.7 \geq 0.0$	°C	Si
Condizione D (gen. 2 a pot. min e temp. esterna min)			
$m_{wc} \geq m_w$	$0.02334 \geq 0.00859$	kg/s	Si
$P_{ZO} \leq P_{Zeccesso}$	$0.4 \leq 200.0$	Pa	Si
$P_{ZO} + P_{FV} \leq P_{ZVeccesso}$	$12.9 \leq 200.0$	Pa	Si
$T_{iob} \geq T_g$	$31.9 \geq 0.0$	°C	Si

Verifiche generatore 3			
Verifica	Valori	U.M.	Ver.
Condizione A (gen. 2 a pot. nominale e temp. esterna max)			
$m_{wc} \geq m_w$	$0.00000 \geq 0.00000$	kg/s	Si
$P_{ZO} \leq P_{Zeccesso}$	$-0.9 \leq 200.0$	Pa	Si
$P_{ZO} + P_{FV} \leq P_{ZVeccesso}$	$-0.7 \leq 200.0$	Pa	Si
$T_{iob} \geq T_g$	$36.6 \geq 0.0$	°C	Si
Condizione B (gen. 2 a pot. min e temp. esterna max)			
$m_{wc} \geq m_w$	$0.00000 \geq 0.00000$	kg/s	Si
$P_{ZO} \leq P_{Zeccesso}$	$0.5 \leq 200.0$	Pa	Si
$P_{ZO} + P_{FV} \leq P_{ZVeccesso}$	$0.6 \leq 200.0$	Pa	Si
$T_{iob} \geq T_g$	$31.2 \geq 0.0$	°C	Si
Condizione C (gen. 2 a pot. nominale e temp. esterna min)			
$m_{wc} \geq m_w$	$0.00000 \geq 0.00000$	kg/s	Si
$P_{ZO} \leq P_{Zeccesso}$	$-0.9 \leq 200.0$	Pa	Si
$P_{ZO} + P_{FV} \leq P_{ZVeccesso}$	$-0.7 \leq 200.0$	Pa	Si
$T_{iob} \geq T_g$	$36.6 \geq 0.0$	°C	Si
Condizione D (gen. 2 a pot. min e temp. esterna min)			
$m_{wc} \geq m_w$	$0.00000 \geq 0.00000$	kg/s	Si
$P_{ZO} \leq P_{Zeccesso}$	$0.5 \leq 200.0$	Pa	Si
$P_{ZO} + P_{FV} \leq P_{ZVeccesso}$	$0.6 \leq 200.0$	Pa	Si
$T_{iob} \geq T_g$	$31.2 \geq 0.0$	°C	Si

Verifiche generatore 4			
Verifica	Valori	U.M.	Ver.
Condizione A (gen. 2 a pot. nominale e temp. esterna max)			
$m_{wc} \geq m_w$	$0.00000 \geq 0.00000$	kg/s	Si
$P_{ZO} \leq P_{Zeccesso}$	$-0.5 \leq 200.0$	Pa	Si
$P_{ZO} + P_{FV} \leq P_{ZVeccesso}$	$-0.3 \leq 200.0$	Pa	Si
$T_{iob} \geq T_g$	$35.5 \geq 0.0$	°C	Si
Condizione B (gen. 2 a pot. min e temp. esterna max)			
$m_{wc} \geq m_w$	$0.00000 \geq 0.00000$	kg/s	Si
$P_{ZO} \leq P_{Zeccesso}$	$0.5 \leq 200.0$	Pa	Si
$P_{ZO} + P_{FV} \leq P_{ZVeccesso}$	$0.6 \leq 200.0$	Pa	Si
$T_{iob} \geq T_g$	$30.5 \geq 0.0$	°C	Si
Condizione C (gen. 2 a pot. nominale e temp. esterna min)			
$m_{wc} \geq m_w$	$0.00000 \geq 0.00000$	kg/s	Si
$P_{ZO} \leq P_{Zeccesso}$	$-0.5 \leq 200.0$	Pa	Si
$P_{ZO} + P_{FV} \leq P_{ZVeccesso}$	$-0.3 \leq 200.0$	Pa	Si
$T_{iob} \geq T_g$	$35.5 \geq 0.0$	°C	Si
Condizione D (gen. 2 a pot. min e temp. esterna min)			
$m_{wc} \geq m_w$	$0.00000 \geq 0.00000$	kg/s	Si
$P_{ZO} \leq P_{Zeccesso}$	$0.5 \leq 200.0$	Pa	Si
$P_{ZO} + P_{FV} \leq P_{ZVeccesso}$	$0.6 \leq 200.0$	Pa	Si
$T_{iob} \geq T_g$	$30.5 \geq 0.0$	°C	Si

Verifiche generatore 5			
Verifica	Valori	U.M.	Ver.
Condizione A (gen. 2 a pot. nominale e temp. esterna max)			
$m_{wc} \geq m_w$	$0.00000 \geq 0.00000$	kg/s	Si
$P_{ZO} \leq P_{Zeccesso}$	$-0.1 \leq 200.0$	Pa	Si
$P_{ZO} + P_{FV} \leq P_{ZVeccesso}$	$0.1 \leq 200.0$	Pa	Si
$T_{iob} \geq T_g$	$34.6 \geq 0.0$	°C	Si
Condizione B (gen. 2 a pot. min e temp. esterna max)			
$m_{wc} \geq m_w$	$0.00000 \geq 0.00000$	kg/s	Si
$P_{ZO} \leq P_{Zeccesso}$	$0.3 \leq 200.0$	Pa	Si
$P_{ZO} + P_{FV} \leq P_{ZVeccesso}$	$0.4 \leq 200.0$	Pa	Si
$T_{iob} \geq T_g$	$29.9 \geq 0.0$	°C	Si
Condizione C (gen. 2 a pot. nominale e temp. esterna min)			
$m_{wc} \geq m_w$	$0.00000 \geq 0.00000$	kg/s	Si
$P_{ZO} \leq P_{Zeccesso}$	$-0.1 \leq 200.0$	Pa	Si
$P_{ZO} + P_{FV} \leq P_{ZVeccesso}$	$0.1 \leq 200.0$	Pa	Si
$T_{iob} \geq T_g$	$34.6 \geq 0.0$	°C	Si
Condizione D (gen. 2 a pot. min e temp. esterna min)			
$m_{wc} \geq m_w$	$0.00000 \geq 0.00000$	kg/s	Si
$P_{ZO} \leq P_{Zeccesso}$	$0.3 \leq 200.0$	Pa	Si
$P_{ZO} + P_{FV} \leq P_{ZVeccesso}$	$0.4 \leq 200.0$	Pa	Si
$T_{iob} \geq T_g$	$29.9 \geq 0.0$	°C	Si

Generatore 3 acceso e tutti gli altri spenti

Verifiche generatore 1			
Verifica	Valori	U.M.	Ver.
Condizione A (gen. 3 a pot. nominale e temp. esterna max)			
$m_{wc} \geq m_w$	$0.00000 \geq 0.00000$	kg/s	Si
$P_{ZO} \leq P_{Zeccesso}$	$0.4 \leq 200.0$	Pa	Si
$P_{ZO} + P_{FV} \leq P_{ZVeccesso}$	$0.4 \leq 200.0$	Pa	Si
$T_{iob} \geq T_g$	$30.0 \geq 0.0$	°C	Si
Condizione B (gen. 3 a pot. min e temp. esterna max)			
$m_{wc} \geq m_w$	$0.00000 \geq 0.00000$	kg/s	Si
$P_{ZO} \leq P_{Zeccesso}$	$1.0 \leq 200.0$	Pa	Si
$P_{ZO} + P_{FV} \leq P_{ZVeccesso}$	$1.0 \leq 200.0$	Pa	Si
$T_{iob} \geq T_g$	$30.0 \geq 0.0$	°C	Si
Condizione C (gen. 3 a pot. nominale e temp. esterna min)			
$m_{wc} \geq m_w$	$0.00000 \geq 0.00000$	kg/s	Si
$P_{ZO} \leq P_{Zeccesso}$	$0.4 \leq 200.0$	Pa	Si
$P_{ZO} + P_{FV} \leq P_{ZVeccesso}$	$0.4 \leq 200.0$	Pa	Si
$T_{iob} \geq T_g$	$30.0 \geq 0.0$	°C	Si
Condizione D (gen. 3 a pot. min e temp. esterna min)			
$m_{wc} \geq m_w$	$0.00000 \geq 0.00000$	kg/s	Si
$P_{ZO} \leq P_{Zeccesso}$	$1.0 \leq 200.0$	Pa	Si
$P_{ZO} + P_{FV} \leq P_{ZVeccesso}$	$1.0 \leq 200.0$	Pa	Si
$T_{iob} \geq T_g$	$30.0 \geq 0.0$	°C	Si

Verifiche generatore 2			
Verifica	Valori	U.M.	Ver.
Condizione A (gen. 3 a pot. nominale e temp. esterna max)			
$m_{wc} \geq m_w$	$0.00000 \geq 0.00000$	kg/s	Si
$P_{ZO} \leq P_{Zeccesso}$	$0.4 \leq 200.0$	Pa	Si
$P_{ZO} + P_{FV} \leq P_{ZVeccesso}$	$0.4 \leq 200.0$	Pa	Si
$T_{iob} \geq T_g$	$30.0 \geq 0.0$	°C	Si
Condizione B (gen. 3 a pot. min e temp. esterna max)			
$m_{wc} \geq m_w$	$0.00000 \geq 0.00000$	kg/s	Si
$P_{ZO} \leq P_{Zeccesso}$	$1.0 \leq 200.0$	Pa	Si
$P_{ZO} + P_{FV} \leq P_{ZVeccesso}$	$1.0 \leq 200.0$	Pa	Si
$T_{iob} \geq T_g$	$30.0 \geq 0.0$	°C	Si
Condizione C (gen. 3 a pot. nominale e temp. esterna min)			
$m_{wc} \geq m_w$	$0.00000 \geq 0.00000$	kg/s	Si
$P_{ZO} \leq P_{Zeccesso}$	$0.4 \leq 200.0$	Pa	Si
$P_{ZO} + P_{FV} \leq P_{ZVeccesso}$	$0.4 \leq 200.0$	Pa	Si
$T_{iob} \geq T_g$	$30.0 \geq 0.0$	°C	Si
Condizione D (gen. 3 a pot. min e temp. esterna min)			
$m_{wc} \geq m_w$	$0.00000 \geq 0.00000$	kg/s	Si
$P_{ZO} \leq P_{Zeccesso}$	$1.0 \leq 200.0$	Pa	Si
$P_{ZO} + P_{FV} \leq P_{ZVeccesso}$	$1.0 \leq 200.0$	Pa	Si
$T_{iob} \geq T_g$	$30.0 \geq 0.0$	°C	Si

Verifiche generatore 3			
Verifica	Valori	U.M.	Ver.
Condizione A (gen. 3 a pot. nominale e temp. esterna max)			
$m_{wc} \geq m_w$	$0.03268 \geq 0.01648$	kg/s	Si
$P_{ZO} \leq P_{Zeccesso}$	$-1.4 \leq 200.0$	Pa	Si
$P_{ZO} + P_{FV} \leq P_{ZVeccesso}$	$23.6 \leq 200.0$	Pa	Si
$T_{iob} \geq T_g$	$37.7 \geq 0.0$	°C	Si
Condizione B (gen. 3 a pot. min e temp. esterna max)			
$m_{wc} \geq m_w$	$0.02337 \geq 0.00859$	kg/s	Si
$P_{ZO} \leq P_{Zeccesso}$	$0.1 \leq 200.0$	Pa	Si
$P_{ZO} + P_{FV} \leq P_{ZVeccesso}$	$12.7 \leq 200.0$	Pa	Si
$T_{iob} \geq T_g$	$31.9 \geq 0.0$	°C	Si
Condizione C (gen. 3 a pot. nominale e temp. esterna min)			
$m_{wc} \geq m_w$	$0.03268 \geq 0.01648$	kg/s	Si
$P_{ZO} \leq P_{Zeccesso}$	$-1.4 \leq 200.0$	Pa	Si
$P_{ZO} + P_{FV} \leq P_{ZVeccesso}$	$23.6 \leq 200.0$	Pa	Si
$T_{iob} \geq T_g$	$37.7 \geq 0.0$	°C	Si
Condizione D (gen. 3 a pot. min e temp. esterna min)			
$m_{wc} \geq m_w$	$0.02337 \geq 0.00859$	kg/s	Si
$P_{ZO} \leq P_{Zeccesso}$	$0.1 \leq 200.0$	Pa	Si
$P_{ZO} + P_{FV} \leq P_{ZVeccesso}$	$12.7 \leq 200.0$	Pa	Si
$T_{iob} \geq T_g$	$31.9 \geq 0.0$	°C	Si

Verifiche generatore 4			
Verifica	Valori	U.M.	Ver.
Condizione A (gen. 3 a pot. nominale e temp. esterna max)			
$m_{wc} \geq m_w$	$0.00000 \geq 0.00000$	kg/s	Si
$P_{ZO} \leq P_{Zeccesso}$	$-0.8 \leq 200.0$	Pa	Si
$P_{ZO} + P_{FV} \leq P_{ZVeccesso}$	$-0.5 \leq 200.0$	Pa	Si
$T_{iob} \geq T_g$	$36.6 \geq 0.0$	°C	Si
Condizione B (gen. 3 a pot. min e temp. esterna max)			
$m_{wc} \geq m_w$	$0.00000 \geq 0.00000$	kg/s	Si
$P_{ZO} \leq P_{Zeccesso}$	$0.2 \leq 200.0$	Pa	Si
$P_{ZO} + P_{FV} \leq P_{ZVeccesso}$	$0.3 \leq 200.0$	Pa	Si
$T_{iob} \geq T_g$	$31.2 \geq 0.0$	°C	Si
Condizione C (gen. 3 a pot. nominale e temp. esterna min)			
$m_{wc} \geq m_w$	$0.00000 \geq 0.00000$	kg/s	Si
$P_{ZO} \leq P_{Zeccesso}$	$-0.8 \leq 200.0$	Pa	Si
$P_{ZO} + P_{FV} \leq P_{ZVeccesso}$	$-0.5 \leq 200.0$	Pa	Si
$T_{iob} \geq T_g$	$36.6 \geq 0.0$	°C	Si
Condizione D (gen. 3 a pot. min e temp. esterna min)			
$m_{wc} \geq m_w$	$0.00000 \geq 0.00000$	kg/s	Si
$P_{ZO} \leq P_{Zeccesso}$	$0.2 \leq 200.0$	Pa	Si
$P_{ZO} + P_{FV} \leq P_{ZVeccesso}$	$0.3 \leq 200.0$	Pa	Si
$T_{iob} \geq T_g$	$31.2 \geq 0.0$	°C	Si

Verifiche generatore 5			
Verifica	Valori	U.M.	Ver.
Condizione A (gen. 3 a pot. nominale e temp. esterna max)			
$m_{wc} \geq m_w$	$0.00000 \geq 0.00000$	kg/s	Si
$P_{ZO} \leq P_{Zeccesso}$	$-0.3 \leq 200.0$	Pa	Si
$P_{ZO} + P_{FV} \leq P_{ZVeccesso}$	$-0.1 \leq 200.0$	Pa	Si
$T_{iob} \geq T_g$	$35.6 \geq 0.0$	°C	Si
Condizione B (gen. 3 a pot. min e temp. esterna max)			
$m_{wc} \geq m_w$	$0.00000 \geq 0.00000$	kg/s	Si
$P_{ZO} \leq P_{Zeccesso}$	$0.2 \leq 200.0$	Pa	Si
$P_{ZO} + P_{FV} \leq P_{ZVeccesso}$	$0.3 \leq 200.0$	Pa	Si
$T_{iob} \geq T_g$	$30.5 \geq 0.0$	°C	Si
Condizione C (gen. 3 a pot. nominale e temp. esterna min)			
$m_{wc} \geq m_w$	$0.00000 \geq 0.00000$	kg/s	Si
$P_{ZO} \leq P_{Zeccesso}$	$-0.3 \leq 200.0$	Pa	Si
$P_{ZO} + P_{FV} \leq P_{ZVeccesso}$	$-0.1 \leq 200.0$	Pa	Si
$T_{iob} \geq T_g$	$35.6 \geq 0.0$	°C	Si
Condizione D (gen. 3 a pot. min e temp. esterna min)			
$m_{wc} \geq m_w$	$0.00000 \geq 0.00000$	kg/s	Si
$P_{ZO} \leq P_{Zeccesso}$	$0.2 \leq 200.0$	Pa	Si
$P_{ZO} + P_{FV} \leq P_{ZVeccesso}$	$0.3 \leq 200.0$	Pa	Si
$T_{iob} \geq T_g$	$30.5 \geq 0.0$	°C	Si

Generatore 4 acceso e tutti gli altri spenti

Verifiche generatore 1			
Verifica	Valori	U.M.	Ver.
Condizione A (gen. 4 a pot. nominale e temp. esterna max)			
$m_{wc} \geq m_w$	$0.00000 \geq 0.00000$	kg/s	Si
$P_{ZO} \leq P_{Zeccesso}$	$0.7 \leq 200.0$	Pa	Si
$P_{ZO} + P_{FV} \leq P_{ZVeccesso}$	$0.7 \leq 200.0$	Pa	Si
$T_{iob} \geq T_g$	$30.0 \geq 0.0$	°C	Si
Condizione B (gen. 4 a pot. min e temp. esterna max)			
$m_{wc} \geq m_w$	$0.00000 \geq 0.00000$	kg/s	Si
$P_{ZO} \leq P_{Zeccesso}$	$0.8 \leq 200.0$	Pa	Si
$P_{ZO} + P_{FV} \leq P_{ZVeccesso}$	$0.8 \leq 200.0$	Pa	Si
$T_{iob} \geq T_g$	$30.0 \geq 0.0$	°C	Si
Condizione C (gen. 4 a pot. nominale e temp. esterna min)			
$m_{wc} \geq m_w$	$0.00000 \geq 0.00000$	kg/s	Si
$P_{ZO} \leq P_{Zeccesso}$	$0.7 \leq 200.0$	Pa	Si
$P_{ZO} + P_{FV} \leq P_{ZVeccesso}$	$0.7 \leq 200.0$	Pa	Si
$T_{iob} \geq T_g$	$30.0 \geq 0.0$	°C	Si
Condizione D (gen. 4 a pot. min e temp. esterna min)			
$m_{wc} \geq m_w$	$0.00000 \geq 0.00000$	kg/s	Si
$P_{ZO} \leq P_{Zeccesso}$	$0.8 \leq 200.0$	Pa	Si
$P_{ZO} + P_{FV} \leq P_{ZVeccesso}$	$0.8 \leq 200.0$	Pa	Si
$T_{iob} \geq T_g$	$30.0 \geq 0.0$	°C	Si

Verifiche generatore 2			
Verifica	Valori	U.M.	Ver.
Condizione A (gen. 4 a pot. nominale e temp. esterna max)			
$m_{wc} \geq m_w$	$0.00000 \geq 0.00000$	kg/s	Si
$P_{ZO} \leq P_{Zeccesso}$	$0.7 \leq 200.0$	Pa	Si
$P_{ZO} + P_{FV} \leq P_{ZVeccesso}$	$0.7 \leq 200.0$	Pa	Si
$T_{iob} \geq T_g$	$30.0 \geq 0.0$	°C	Si
Condizione B (gen. 4 a pot. min e temp. esterna max)			
$m_{wc} \geq m_w$	$0.00000 \geq 0.00000$	kg/s	Si
$P_{ZO} \leq P_{Zeccesso}$	$0.8 \leq 200.0$	Pa	Si
$P_{ZO} + P_{FV} \leq P_{ZVeccesso}$	$0.8 \leq 200.0$	Pa	Si
$T_{iob} \geq T_g$	$30.0 \geq 0.0$	°C	Si
Condizione C (gen. 4 a pot. nominale e temp. esterna min)			
$m_{wc} \geq m_w$	$0.00000 \geq 0.00000$	kg/s	Si
$P_{ZO} \leq P_{Zeccesso}$	$0.7 \leq 200.0$	Pa	Si
$P_{ZO} + P_{FV} \leq P_{ZVeccesso}$	$0.7 \leq 200.0$	Pa	Si
$T_{iob} \geq T_g$	$30.0 \geq 0.0$	°C	Si
Condizione D (gen. 4 a pot. min e temp. esterna min)			
$m_{wc} \geq m_w$	$0.00000 \geq 0.00000$	kg/s	Si
$P_{ZO} \leq P_{Zeccesso}$	$0.8 \leq 200.0$	Pa	Si
$P_{ZO} + P_{FV} \leq P_{ZVeccesso}$	$0.8 \leq 200.0$	Pa	Si
$T_{iob} \geq T_g$	$30.0 \geq 0.0$	°C	Si

Verifiche generatore 3			
Verifica	Valori	U.M.	Ver.
Condizione A (gen. 4 a pot. nominale e temp. esterna max)			
$m_{wc} \geq m_w$	$0.00000 \geq 0.00000$	kg/s	Si
$P_{ZO} \leq P_{Zeccesso}$	$0.7 \leq 200.0$	Pa	Si
$P_{ZO} + P_{FV} \leq P_{ZVeccesso}$	$0.7 \leq 200.0$	Pa	Si
$T_{iob} \geq T_g$	$30.0 \geq 0.0$	°C	Si
Condizione B (gen. 4 a pot. min e temp. esterna max)			
$m_{wc} \geq m_w$	$0.00000 \geq 0.00000$	kg/s	Si
$P_{ZO} \leq P_{Zeccesso}$	$0.8 \leq 200.0$	Pa	Si
$P_{ZO} + P_{FV} \leq P_{ZVeccesso}$	$0.8 \leq 200.0$	Pa	Si
$T_{iob} \geq T_g$	$30.0 \geq 0.0$	°C	Si
Condizione C (gen. 4 a pot. nominale e temp. esterna min)			
$m_{wc} \geq m_w$	$0.00000 \geq 0.00000$	kg/s	Si
$P_{ZO} \leq P_{Zeccesso}$	$0.7 \leq 200.0$	Pa	Si
$P_{ZO} + P_{FV} \leq P_{ZVeccesso}$	$0.7 \leq 200.0$	Pa	Si
$T_{iob} \geq T_g$	$30.0 \geq 0.0$	°C	Si
Condizione D (gen. 4 a pot. min e temp. esterna min)			
$m_{wc} \geq m_w$	$0.00000 \geq 0.00000$	kg/s	Si
$P_{ZO} \leq P_{Zeccesso}$	$0.8 \leq 200.0$	Pa	Si
$P_{ZO} + P_{FV} \leq P_{ZVeccesso}$	$0.8 \leq 200.0$	Pa	Si
$T_{iob} \geq T_g$	$30.0 \geq 0.0$	°C	Si

Verifiche generatore 4			
Verifica	Valori	U.M.	Ver.
Condizione A (gen. 4 a pot. nominale e temp. esterna max)			
$m_{wc} \geq m_w$	$0.03271 \geq 0.01648$	kg/s	Si
$P_{ZO} \leq P_{Zeccesso}$	$-1.0 \leq 200.0$	Pa	Si
$P_{ZO} + P_{FV} \leq P_{ZVeccesso}$	$24.0 \leq 200.0$	Pa	Si
$T_{iob} \geq T_g$	$37.7 \geq 0.0$	°C	Si
Condizione B (gen. 4 a pot. min e temp. esterna max)			
$m_{wc} \geq m_w$	$0.02337 \geq 0.00859$	kg/s	Si
$P_{ZO} \leq P_{Zeccesso}$	$-0.1 \leq 200.0$	Pa	Si
$P_{ZO} + P_{FV} \leq P_{ZVeccesso}$	$12.5 \leq 200.0$	Pa	Si
$T_{iob} \geq T_g$	$31.9 \geq 0.0$	°C	Si
Condizione C (gen. 4 a pot. nominale e temp. esterna min)			
$m_{wc} \geq m_w$	$0.03271 \geq 0.01648$	kg/s	Si
$P_{ZO} \leq P_{Zeccesso}$	$-1.0 \leq 200.0$	Pa	Si
$P_{ZO} + P_{FV} \leq P_{ZVeccesso}$	$24.0 \leq 200.0$	Pa	Si
$T_{iob} \geq T_g$	$37.7 \geq 0.0$	°C	Si
Condizione D (gen. 4 a pot. min e temp. esterna min)			
$m_{wc} \geq m_w$	$0.02337 \geq 0.00859$	kg/s	Si
$P_{ZO} \leq P_{Zeccesso}$	$-0.1 \leq 200.0$	Pa	Si
$P_{ZO} + P_{FV} \leq P_{ZVeccesso}$	$12.5 \leq 200.0$	Pa	Si
$T_{iob} \geq T_g$	$31.9 \geq 0.0$	°C	Si

Verifiche generatore 5			
Verifica	Valori	U.M.	Ver.
Condizione A (gen. 4 a pot. nominale e temp. esterna max)			
$m_{wc} \geq m_w$	$0.00000 \geq 0.00000$	kg/s	Si
$P_{ZO} \leq P_{Zeccesso}$	$-0.4 \leq 200.0$	Pa	Si
$P_{ZO} + P_{FV} \leq P_{ZVeccesso}$	$-0.2 \leq 200.0$	Pa	Si
$T_{iob} \geq T_g$	$36.6 \geq 0.0$	°C	Si
Condizione B (gen. 4 a pot. min e temp. esterna max)			
$m_{wc} \geq m_w$	$0.00000 \geq 0.00000$	kg/s	Si
$P_{ZO} \leq P_{Zeccesso}$	$0.0 \leq 200.0$	Pa	Si
$P_{ZO} + P_{FV} \leq P_{ZVeccesso}$	$0.1 \leq 200.0$	Pa	Si
$T_{iob} \geq T_g$	$31.2 \geq 0.0$	°C	Si
Condizione C (gen. 4 a pot. nominale e temp. esterna min)			
$m_{wc} \geq m_w$	$0.00000 \geq 0.00000$	kg/s	Si
$P_{ZO} \leq P_{Zeccesso}$	$-0.4 \leq 200.0$	Pa	Si
$P_{ZO} + P_{FV} \leq P_{ZVeccesso}$	$-0.2 \leq 200.0$	Pa	Si
$T_{iob} \geq T_g$	$36.6 \geq 0.0$	°C	Si
Condizione D (gen. 4 a pot. min e temp. esterna min)			
$m_{wc} \geq m_w$	$0.00000 \geq 0.00000$	kg/s	Si
$P_{ZO} \leq P_{Zeccesso}$	$0.0 \leq 200.0$	Pa	Si
$P_{ZO} + P_{FV} \leq P_{ZVeccesso}$	$0.1 \leq 200.0$	Pa	Si
$T_{iob} \geq T_g$	$31.2 \geq 0.0$	°C	Si

Generatore 5 acceso e tutti gli altri spenti

Verifiche generatore 1			
Verifica	Valori	U.M.	Ver.
Condizione A (gen. 5 a pot. nominale e temp. esterna max)			
$m_{wc} \geq m_w$	$0.00000 \geq 0.00000$	kg/s	Si
$P_{ZO} \leq P_{Zeccesso}$	$1.1 \leq 200.0$	Pa	Si
$P_{ZO} + P_{FV} \leq P_{ZVeccesso}$	$1.1 \leq 200.0$	Pa	Si
$T_{iob} \geq T_g$	$30.0 \geq 0.0$	°C	Si
Condizione B (gen. 5 a pot. min e temp. esterna max)			
$m_{wc} \geq m_w$	$0.00000 \geq 0.00000$	kg/s	Si
$P_{ZO} \leq P_{Zeccesso}$	$0.8 \leq 200.0$	Pa	Si
$P_{ZO} + P_{FV} \leq P_{ZVeccesso}$	$0.8 \leq 200.0$	Pa	Si
$T_{iob} \geq T_g$	$30.0 \geq 0.0$	°C	Si
Condizione C (gen. 5 a pot. nominale e temp. esterna min)			
$m_{wc} \geq m_w$	$0.00000 \geq 0.00000$	kg/s	Si
$P_{ZO} \leq P_{Zeccesso}$	$1.1 \leq 200.0$	Pa	Si
$P_{ZO} + P_{FV} \leq P_{ZVeccesso}$	$1.1 \leq 200.0$	Pa	Si
$T_{iob} \geq T_g$	$30.0 \geq 0.0$	°C	Si
Condizione D (gen. 5 a pot. min e temp. esterna min)			
$m_{wc} \geq m_w$	$0.00000 \geq 0.00000$	kg/s	Si
$P_{ZO} \leq P_{Zeccesso}$	$0.8 \leq 200.0$	Pa	Si
$P_{ZO} + P_{FV} \leq P_{ZVeccesso}$	$0.8 \leq 200.0$	Pa	Si
$T_{iob} \geq T_g$	$30.0 \geq 0.0$	°C	Si

Verifiche generatore 2			
Verifica	Valori	U.M.	Ver.
Condizione A (gen. 5 a pot. nominale e temp. esterna max)			
$m_{wc} \geq m_w$	$0.00000 \geq 0.00000$	kg/s	Si
$P_{ZO} \leq P_{Zeccesso}$	$1.1 \leq 200.0$	Pa	Si
$P_{ZO} + P_{FV} \leq P_{ZVeccesso}$	$1.1 \leq 200.0$	Pa	Si
$T_{iob} \geq T_g$	$30.0 \geq 0.0$	°C	Si
Condizione B (gen. 5 a pot. min e temp. esterna max)			
$m_{wc} \geq m_w$	$0.00000 \geq 0.00000$	kg/s	Si
$P_{ZO} \leq P_{Zeccesso}$	$0.8 \leq 200.0$	Pa	Si
$P_{ZO} + P_{FV} \leq P_{ZVeccesso}$	$0.8 \leq 200.0$	Pa	Si
$T_{iob} \geq T_g$	$30.0 \geq 0.0$	°C	Si
Condizione C (gen. 5 a pot. nominale e temp. esterna min)			
$m_{wc} \geq m_w$	$0.00000 \geq 0.00000$	kg/s	Si
$P_{ZO} \leq P_{Zeccesso}$	$1.1 \leq 200.0$	Pa	Si
$P_{ZO} + P_{FV} \leq P_{ZVeccesso}$	$1.1 \leq 200.0$	Pa	Si
$T_{iob} \geq T_g$	$30.0 \geq 0.0$	°C	Si
Condizione D (gen. 5 a pot. min e temp. esterna min)			
$m_{wc} \geq m_w$	$0.00000 \geq 0.00000$	kg/s	Si
$P_{ZO} \leq P_{Zeccesso}$	$0.8 \leq 200.0$	Pa	Si
$P_{ZO} + P_{FV} \leq P_{ZVeccesso}$	$0.8 \leq 200.0$	Pa	Si
$T_{iob} \geq T_g$	$30.0 \geq 0.0$	°C	Si

Verifiche generatore 3			
Verifica	Valori	U.M.	Ver.
Condizione A (gen. 5 a pot. nominale e temp. esterna max)			
$m_{wc} \geq m_w$	$0.00000 \geq 0.00000$	kg/s	Si
$P_{ZO} \leq P_{Zeccesso}$	$1.1 \leq 200.0$	Pa	Si
$P_{ZO} + P_{FV} \leq P_{ZVeccesso}$	$1.1 \leq 200.0$	Pa	Si
$T_{iob} \geq T_g$	$30.0 \geq 0.0$	°C	Si
Condizione B (gen. 5 a pot. min e temp. esterna max)			
$m_{wc} \geq m_w$	$0.00000 \geq 0.00000$	kg/s	Si
$P_{ZO} \leq P_{Zeccesso}$	$0.8 \leq 200.0$	Pa	Si
$P_{ZO} + P_{FV} \leq P_{ZVeccesso}$	$0.8 \leq 200.0$	Pa	Si
$T_{iob} \geq T_g$	$30.0 \geq 0.0$	°C	Si
Condizione C (gen. 5 a pot. nominale e temp. esterna min)			
$m_{wc} \geq m_w$	$0.00000 \geq 0.00000$	kg/s	Si
$P_{ZO} \leq P_{Zeccesso}$	$1.1 \leq 200.0$	Pa	Si
$P_{ZO} + P_{FV} \leq P_{ZVeccesso}$	$1.1 \leq 200.0$	Pa	Si
$T_{iob} \geq T_g$	$30.0 \geq 0.0$	°C	Si
Condizione D (gen. 5 a pot. min e temp. esterna min)			
$m_{wc} \geq m_w$	$0.00000 \geq 0.00000$	kg/s	Si
$P_{ZO} \leq P_{Zeccesso}$	$0.8 \leq 200.0$	Pa	Si
$P_{ZO} + P_{FV} \leq P_{ZVeccesso}$	$0.8 \leq 200.0$	Pa	Si
$T_{iob} \geq T_g$	$30.0 \geq 0.0$	°C	Si

Verifiche generatore 4			
Verifica	Valori	U.M.	Ver.
Condizione A (gen. 5 a pot. nominale e temp. esterna max)			
$m_{wc} \geq m_w$	$0.00000 \geq 0.00000$	kg/s	Si
$P_{ZO} \leq P_{Zeccesso}$	$1.1 \leq 200.0$	Pa	Si
$P_{ZO} + P_{FV} \leq P_{ZVeccesso}$	$1.1 \leq 200.0$	Pa	Si
$T_{iob} \geq T_g$	$30.0 \geq 0.0$	°C	Si
Condizione B (gen. 5 a pot. min e temp. esterna max)			
$m_{wc} \geq m_w$	$0.00000 \geq 0.00000$	kg/s	Si
$P_{ZO} \leq P_{Zeccesso}$	$0.8 \leq 200.0$	Pa	Si
$P_{ZO} + P_{FV} \leq P_{ZVeccesso}$	$0.8 \leq 200.0$	Pa	Si
$T_{iob} \geq T_g$	$30.0 \geq 0.0$	°C	Si
Condizione C (gen. 5 a pot. nominale e temp. esterna min)			
$m_{wc} \geq m_w$	$0.00000 \geq 0.00000$	kg/s	Si
$P_{ZO} \leq P_{Zeccesso}$	$1.1 \leq 200.0$	Pa	Si
$P_{ZO} + P_{FV} \leq P_{ZVeccesso}$	$1.1 \leq 200.0$	Pa	Si
$T_{iob} \geq T_g$	$30.0 \geq 0.0$	°C	Si
Condizione D (gen. 5 a pot. min e temp. esterna min)			
$m_{wc} \geq m_w$	$0.00000 \geq 0.00000$	kg/s	Si
$P_{ZO} \leq P_{Zeccesso}$	$0.8 \leq 200.0$	Pa	Si
$P_{ZO} + P_{FV} \leq P_{ZVeccesso}$	$0.8 \leq 200.0$	Pa	Si
$T_{iob} \geq T_g$	$30.0 \geq 0.0$	°C	Si

Verifiche generatore 5			
Verifica	Valori	U.M.	Ver.
Condizione A (gen. 5 a pot. nominale e temp. esterna max)			
$m_{wc} \geq m_w$	$0.03250 \geq 0.01648$	kg/s	Si
$P_{ZO} \leq P_{Zeccesso}$	$-0.6 \leq 200.0$	Pa	Si
$P_{ZO} + P_{FV} \leq P_{ZVeccesso}$	$24.1 \leq 200.0$	Pa	Si
$T_{iob} \geq T_g$	$38.1 \geq 0.0$	°C	Si
Condizione B (gen. 5 a pot. min e temp. esterna max)			
$m_{wc} \geq m_w$	$0.02325 \geq 0.00859$	kg/s	Si
$P_{ZO} \leq P_{Zeccesso}$	$-0.1 \leq 200.0$	Pa	Si
$P_{ZO} + P_{FV} \leq P_{ZVeccesso}$	$12.4 \leq 200.0$	Pa	Si
$T_{iob} \geq T_g$	$32.4 \geq 0.0$	°C	Si
Condizione C (gen. 5 a pot. nominale e temp. esterna min)			
$m_{wc} \geq m_w$	$0.03250 \geq 0.01648$	kg/s	Si
$P_{ZO} \leq P_{Zeccesso}$	$-0.6 \leq 200.0$	Pa	Si
$P_{ZO} + P_{FV} \leq P_{ZVeccesso}$	$24.1 \leq 200.0$	Pa	Si
$T_{iob} \geq T_g$	$38.1 \geq 0.0$	°C	Si
Condizione D (gen. 5 a pot. min e temp. esterna min)			
$m_{wc} \geq m_w$	$0.02325 \geq 0.00859$	kg/s	Si
$P_{ZO} \leq P_{Zeccesso}$	$-0.1 \leq 200.0$	Pa	Si
$P_{ZO} + P_{FV} \leq P_{ZVeccesso}$	$12.4 \leq 200.0$	Pa	Si
$T_{iob} \geq T_g$	$32.4 \geq 0.0$	°C	Si

Legenda

m_w	Portata massica dei prodotti della combustione
m_{wc}	Portata massica calcolata dei prodotti della combustione
P_{ZO}	Pressione positiva all'entrata dei prodotti della combustione nel camino
$P_{Zeccesso}$	Pressione massima ammessa dalla designazione del camino
P_{ZO}	Pressione positiva all'entrata dei prodotti della combustione nel camino
P_{FV}	Resistenza effettiva alla pressione del canale da fumo
$P_{Zeccesso}$	Pressione massima ammessa dalla designazione del canale da fumo
T_{iob}	Temperatura della parete interna alla fine del segmento del camino in equilibrio termico
T_g	Limite di temperatura



Risultati

Condizioni di funzionamento

Condizione A: generatore alla potenza nominale e temperatura aria esterna massima.

Condizione B: generatore alla potenza minima e temperatura aria esterna massima.

Condizione C: generatore alla potenza nominale e temperatura aria esterna minima.

Condizione D: generatore alla potenza minima e temperatura aria esterna minima.

Tutti i generatori accesi

Generali	Simbolo	A	B	C	D	U.M.
Costante dei gas dell'aria	R_L	288.00	288.00	288.00	288.00	J/(kg × K)
Pressione dell'aria esterna	p_L	96 967.3	96 967.3	96 967.3	96 967.3	Pa
Massa volumica dell'aria esterna	ρ_L	1.111	1.111	1.111	1.111	kg/m³
Canale da fumo (piano 1)	Simbolo	A	B	C	D	U.M.
Portata massica dei prodotti della combustione	m_{wV}	0.01648	0.00859	0.01648	0.00859	kg/s
Portata massica calcolata dei prodotti della combustione	m_{wcV}	0.02312	0.01906	0.02312	0.01906	kg/s
Costante dei gas dei prodotti della combustione	R_V	288.35	288.23	288.35	288.23	J/(kg × K)
Viscosità dinamica del gas di combustione	η_V	16.94	16.57	16.94	16.57	N x s/m²
Coefficiente di conduttività termica del gas di combustione	λ_V	0.025	0.025	0.025	0.025	W/(m × K)
Capacità termica specifica del gas di combustione	C_{pV}	1 050.83	1 028.60	1 050.83	1 028.60	J/(kg × K)
Numero di Prandtl	Pr_V	0.710	0.680	0.710	0.680	
Massa volumica dei prodotti della combustione	ρ_{LV}	1.067	1.096	1.067	1.096	kg/m³
Velocità dei prodotti della combustione	w_{mV}	4.31	3.46	4.31	3.46	m/s
Numero di Reynolds	Re_V	21 719	18 311	21 719	18 311	
Coefficiente di resistenza al flusso dovuta all'attrito per flusso idraulicamente irregolare	ψ_V	0.043	0.044	0.043	0.044	
Coefficiente di resistenza al flusso dovuta all'attrito per flusso idraulicamente regolare	$\psi_{liscioV}$	0.025	0.026	0.025	0.026	
Numero di Nusselt	Nu_V	86.5	72.2	86.5	72.2	
Coefficiente interno di trasmissione del calore	α_V	27.04	22.57	27.04	22.57	W/(m² × K)
Coefficiente di trasmissione del calore	k_V	1.67	1.64	1.67	1.64	W/(m² × K)

Coefficiente di raffreddamento	K_V	0.03	0.03	0.03	0.03	
Temperatura dei prodotti della combustione all'ingresso del canale da fumo	T_{eV}	42.0	34.0	42.0	34.0	°C
Temperatura media dei prodotti della combustione nel canale da fumo	T_{mV}	41.9	34.0	41.9	34.0	°C
Temperatura dei prodotti della combustione all'uscita del canale da fumo	T_{oV}	41.8	33.9	41.8	33.9	°C
Camino (piano 1)	Simbolo	A	B	C	D	U.M.
Viscosità dinamica del gas di combustione	η_C	16.93	16.57	16.93	16.57	N x s/m ²
Coefficiente di conduttività termica del gas di combustione	λ_C	0.025	0.025	0.025	0.025	W/(m x K)
Capacità termica specifica del gas di combustione	C_{pC}	1 050.79	1 028.59	1 050.79	1 028.59	J/(kg x K)
Numero di Prandtl	Pr_C	0.710	0.680	0.710	0.680	
Massa volumica dei prodotti della combustione	ρ_{LC}	1.068	1.096	1.068	1.096	kg/m ³
Velocità dei prodotti della combustione	w_{mC}	0.85	0.68	0.85	0.68	m/s
Numero di Reynolds	Re_C	9 659	8 138	9 659	8 138	
Coefficiente di resistenza al flusso dovuta all'attrito per flusso idraulicamente irregolare	ψ_C	0.038	0.039	0.038	0.039	
Coefficiente di resistenza al flusso dovuta all'attrito per flusso idraulicamente regolare	ψ_{iscioC}	0.031	0.033	0.031	0.033	
Numero di Nusselt	Nu_C	35.7	29.9	35.7	29.9	
Coefficiente interno di trasmissione del calore	α_{iC}	4.95	4.15	4.95	4.15	W/(m ² x K)
Coefficiente di trasmissione del calore	k_C	1.45	1.34	1.45	1.34	W/(m ² x K)
Coefficiente di raffreddamento	K_C	0.10	0.12	0.10	0.12	
Temperatura dei prodotti della combustione all'ingresso del camino	T_{eC}	41.8	33.9	41.8	33.9	°C
Temperatura media dei prodotti della combustione nel camino	T_{mC}	41.3	33.7	41.3	33.7	°C
Temperatura dei prodotti della combustione all'uscita del camino	T_{oC}	40.8	33.6	40.8	33.6	°C
Temperatura della parete interna alla fine del segmento del camino in equilibrio termico	T_{iobC}	37.4	32.3	37.4	32.3	°C
Canale adduzione aria (piano 1)	Simbolo	A	B	C	D	U.M.
Viscosità dinamica dell'aria comburente	η_{BV}	16.51	16.44	16.51	16.44	N x s/m ²
Coefficiente di conduttività termica dell'aria comburente	λ_{BV}	0.024	0.024	0.024	0.024	W/(m x K)
Capacità termica specifica dell'aria comburente	C_{pBV}	1 005.00	1 005.00	1 005.00	1 005.00	J/(kg x K)

Numero di Prandtl	Pr_{BV}	0.690	0.690	0.690	0.690	
Massa volumica dell'aria comburente	ρ_{LBV}	1.101	1.107	1.101	1.107	kg/m ³
Velocità dell'aria comburente	w_{mBV}	3.38	2.77	3.38	2.77	m/s
Numero di Reynolds	Re_{BV}	6 085	5 039	6 085	5 039	
Coefficiente di resistenza al flusso dovuta all'attrito per flusso idraulicamente irregolare	ψ_{BV}	0.067	0.068	0.067	0.068	
Coefficiente di resistenza al flusso dovuta all'attrito per flusso idraulicamente regolare	$\psi_{liscioBV}$	0.035	0.037	0.035	0.037	
Numero di Nusselt	Nu_{BV}	29.1	23.9	29.1	23.9	
Temperatura dell'aria comburente all'ingresso del canale di adduzione aria	T_{eBV}	32.5	31.0	32.5	31.0	°C
Temperatura media dei prodotti della combustione nel canale da fumo	T_{mBV}	32.6	31.1	32.6	31.1	°C
Temperatura dell'aria comburente all'uscita del canale da fumo	T_{oBV}	32.6	31.1	32.6	31.1	°C
Condotto adduzione aria (piano 1)	Simbolo	A	B	C	D	U.M.
Viscosità dinamica dell'aria comburente	η_{BC}	16.94	16.57	16.94	16.57	N x s/m ²
Coefficiente di conduttività termica dell'aria comburente	λ_{BC}	0.024	0.024	0.024	0.024	W/(m x K)
Capacità termica specifica dell'aria comburente	C_{pBC}	1 005.00	1 005.00	1 005.00	1 005.00	J/(kg x K)
Numero di Prandtl	Pr_{BC}	0.690	0.690	0.690	0.690	
Massa volumica dell'aria comburente	ρ_{LBC}	1.102	1.107	1.102	1.107	kg/m ³
Velocità dell'aria comburente	w_{mBC}	0.73	0.60	0.73	0.60	m/s
Numero di Reynolds	Re_{BC}	3 354	2 777	3 354	2 777	
Coefficiente di resistenza al flusso dovuta all'attrito per flusso idraulicamente irregolare	ψ_{BC}	0.054	0.056	0.054	0.056	
Coefficiente di resistenza al flusso dovuta all'attrito per flusso idraulicamente regolare	$\psi_{liscioBC}$	0.042	0.045	0.042	0.045	
Numero di Nusselt	Nu_{BC}	13.3	10.9	13.3	10.9	
Temperatura dell'aria comburente all'ingresso del condotto di adduzione aria	T_{eBC}	31.9	30.9	31.9	30.9	°C
Temperatura media dei prodotti della combustione nel canale da fumo	T_{mBC}	32.2	31.0	32.2	31.0	°C
Temperatura dell'aria comburente all'uscita del camino	T_{oBC}	32.5	31.0	32.5	31.0	°C
Pressioni generali (piano 1)	Simbolo	A	B	C	D	U.M.
Pressione differenziale calcolata del generatore di calore	P_{WOC}	135.5	91.1	135.5	91.1	Pa

Effettiva resistenza alla pressione dell'aria comburente	P_B	88.2	59.1	88.2	59.1	Pa
Pressione generata dalla velocità del vento	P_L	0.0	0.0	0.0	0.0	Pa
Pressioni canale da fumo (piano 1)	Simbolo	A	B	C	D	U.M.
Resistenza alla pressione dovuta a resistenza di attrito e di forma del canale da fumo	P_{EV}	10.5	7.0	10.5	7.0	Pa
Differenza di pressione causata da variazione di velocità dei prodotti della combustione nel canale da fumo	P_{GV}	-9.5	-6.3	-9.5	-6.3	Pa
Resistenza alla pressione del canale da fumo	P_{RV}	12.8	8.5	12.8	8.5	Pa
Tiraggio teorico disponibile per effetto camino del canale da fumo	P_{HV}	0.2	0.1	0.2	0.1	Pa
Resistenza effettiva alla pressione del canale da fumo	P_{FV}	12.6	8.4	12.6	8.4	Pa
Pressione differenziale massima all'entrata dei prodotti della combustione nel camino	P_{ZOeV}	34.7	23.6	34.7	23.6	Pa
Pressioni camino (piano 1)	Simbolo	A	B	C	D	U.M.
Resistenza alla pressione dovuta a resistenza di attrito e di forma del camino	P_{EC}	0.2	0.2	0.2	0.2	Pa
Differenza di pressione causata da variazione di velocità dei prodotti della combustione nel camino	P_{GC}	1.2	0.8	1.2	0.8	Pa
Tiraggio teorico disponibile per effetto camino	P_{HC}	1.2	0.4	1.2	0.4	Pa
Resistenza alla pressione del camino	P_{RC}	3.0	2.0	3.0	2.0	Pa
Pressioni canale adduzione aria (piano 1)	Simbolo	A	B	C	D	U.M.
Tiraggio per effetto camino nel tubo di collegamento per l'alimentazione di aria	P_{HBV}	0.0	0.0	0.0	0.0	Pa
Variazione di pressione dovuta alla variazione di velocità del flusso nel tubo di collegamento per l'alimentazione di aria	P_{GBV}	6.0	4.1	6.0	4.1	Pa
Resistenza alla pressione del tubo di collegamento per l'alimentazione di aria	P_{RBV}	41.3	28.2	41.3	28.2	Pa
Pressioni condotto adduzione aria (piano 1)	Simbolo	A	B	C	D	U.M.
Tiraggio per effetto camino nel condotto per l'alimentazione di aria	P_{HBC}	0.2	0.1	0.2	0.1	Pa
Variazione di pressione dovuta alla variazione di velocità del flusso nel condotto per l'alimentazione di aria	P_{GBC}	-0.9	-0.6	-0.9	-0.6	Pa
Resistenza alla pressione del condotto per l'alimentazione di aria	P_{RBC}	0.1	0.1	0.1	0.1	Pa
Canale da fumo (piano 2)	Simbolo	A	B	C	D	U.M.
Portata massica dei prodotti della combustione	m_{wV}	0.01648	0.00859	0.01648	0.00859	kg/s
Portata massica calcolata dei prodotti della combustione	m_{wcV}	0.02322	0.01913	0.02322	0.01913	kg/s
Costante dei gas dei prodotti della combustione	R_V	288.35	288.23	288.35	288.23	J/(kg × K)
Viscosità dinamica del gas di combustione	η_V	16.94	16.57	16.94	16.57	N x s/m²

Coefficiente di conduttività termica del gas di combustione	λ_V	0.025	0.025	0.025	0.025	W/(m × K)
Capacità termica specifica del gas di combustione	C_{pV}	1 050.66	1 028.54	1 050.66	1 028.54	J/(kg × K)
Numero di Prandtl	Pr_V	0.710	0.680	0.710	0.680	
Massa volumica dei prodotti della combustione	ρ_{LV}	1.067	1.096	1.067	1.096	kg/m³
Velocità dei prodotti della combustione	w_{mV}	4.33	3.47	4.33	3.47	m/s
Numero di Reynolds	Re_V	21 814	18 378	21 814	18 378	
Coefficiente di resistenza al flusso dovuta all'attrito per flusso idraulicamente irregolare	ψ_V	0.043	0.044	0.043	0.044	
Coefficiente di resistenza al flusso dovuta all'attrito per flusso idraulicamente regolare	$\psi_{liscioV}$	0.025	0.026	0.025	0.026	
Numero di Nusselt	Nu_V	86.9	72.5	86.9	72.5	
Coefficiente interno di trasmissione del calore	α_V	27.16	22.65	27.16	22.65	W/(m² × K)
Coefficiente di trasmissione del calore	k_V	1.67	1.64	1.67	1.64	W/(m² × K)
Coefficiente di raffreddamento	K_V	0.03	0.03	0.03	0.03	
Temperatura dei prodotti della combustione all'ingresso del canale da fumo	T_{eV}	42.0	34.0	42.0	34.0	°C
Temperatura media dei prodotti della combustione nel canale da fumo	T_{mV}	41.9	34.0	41.9	34.0	°C
Temperatura dei prodotti della combustione all'uscita del canale da fumo	T_{oV}	41.7	33.9	41.7	33.9	°C
Camino (piano 2)	Simbolo	A	B	C	D	U.M.
Viscosità dinamica del gas di combustione	η_C	16.91	16.56	16.91	16.56	N x s/m²
Coefficiente di conduttività termica del gas di combustione	λ_C	0.025	0.024	0.025	0.024	W/(m × K)
Capacità termica specifica del gas di combustione	C_{pC}	1 050.65	1 028.54	1 050.65	1 028.54	J/(kg × K)
Numero di Prandtl	Pr_C	0.710	0.710	0.710	0.710	
Massa volumica dei prodotti della combustione	ρ_{LC}	1.070	1.097	1.070	1.097	kg/m³
Velocità dei prodotti della combustione	w_{mC}	1.70	1.37	1.70	1.37	m/s
Numero di Reynolds	Re_C	19 383	16 316	19 383	16 316	
Coefficiente di resistenza al flusso dovuta all'attrito per flusso idraulicamente irregolare	ψ_C	0.035	0.036	0.035	0.036	
Coefficiente di resistenza al flusso dovuta all'attrito per flusso idraulicamente regolare	$\psi_{liscioC}$	0.026	0.027	0.026	0.027	
Numero di Nusselt	Nu_C	68.2	58.1	68.2	58.1	

Coefficiente interno di trasmissione del calore	α_{iC}	9.48	7.75	9.48	7.75	W/(m ² × K)
Coefficiente di trasmissione del calore	k_C	1.84	1.73	1.84	1.73	W/(m ² × K)
Coefficiente di raffreddamento	K_C	0.06	0.07	0.06	0.07	
Temperatura dei prodotti della combustione all'ingresso del camino	T_{eC}	41.3	33.7	41.3	33.7	°C
Temperatura media dei prodotti della combustione nel camino	T_{mC}	41.0	33.6	41.0	33.6	°C
Temperatura dei prodotti della combustione all'uscita del camino	T_{oC}	40.7	33.5	40.7	33.5	°C
Temperatura della parete interna alla fine del segmento del camino in equilibrio termico	T_{iobC}	38.6	32.7	38.6	32.7	°C
Canale adduzione aria (piano 2)	Simbolo	A	B	C	D	U.M.
Viscosità dinamica dell'aria comburente	η_{BV}	16.48	16.43	16.48	16.43	N x s/m ²
Coefficiente di conduttività termica dell'aria comburente	λ_{BV}	0.024	0.024	0.024	0.024	W/(m × K)
Capacità termica specifica dell'aria comburente	C_{pBV}	1 005.00	1 005.00	1 005.00	1 005.00	J/(kg × K)
Numero di Prandtl	Pr_{BV}	0.690	0.690	0.690	0.690	
Massa volumica dell'aria comburente	ρ_{LBV}	1.103	1.107	1.103	1.107	kg/m ³
Velocità dell'aria comburente	w_{mBV}	3.39	2.78	3.39	2.78	m/s
Numero di Reynolds	Re_{BV}	6 122	5 061	6 122	5 061	
Coefficiente di resistenza al flusso dovuta all'attrito per flusso idraulicamente irregolare	ψ_{BV}	0.067	0.067	0.067	0.067	
Coefficiente di resistenza al flusso dovuta all'attrito per flusso idraulicamente regolare	$\psi_{liscioBV}$	0.035	0.037	0.035	0.037	
Numero di Nusselt	Nu_{BV}	29.3	24.0	29.3	24.0	
Temperatura dell'aria comburente all'ingresso del canale di adduzione aria	T_{eBV}	31.8	30.8	31.8	30.8	°C
Temperatura media dei prodotti della combustione nel canale da fumo	T_{mBV}	31.9	30.8	31.9	30.8	°C
Temperatura dell'aria comburente all'uscita del canale da fumo	T_{oBV}	32.0	30.9	32.0	30.9	°C
Condotto adduzione aria (piano 2)	Simbolo	A	B	C	D	U.M.
Viscosità dinamica dell'aria comburente	η_{BC}	16.94	16.57	16.94	16.57	N x s/m ²
Coefficiente di conduttività termica dell'aria comburente	λ_{BC}	0.024	0.024	0.024	0.024	W/(m × K)
Capacità termica specifica dell'aria comburente	C_{pBC}	1 005.00	1 005.00	1 005.00	1 005.00	J/(kg × K)
Numero di Prandtl	Pr_{BC}	0.690	0.690	0.690	0.690	

Massa volumica dell'aria comburente	ρ_{LBC}	1.104	1.108	1.104	1.108	kg/m³
Velocità dell'aria comburente	w_{mBC}	1.47	1.21	1.47	1.21	m/s
Numero di Reynolds	Re_{BC}	6 734	5 568	6 734	5 568	
Coefficiente di resistenza al flusso dovuta all'attrito per flusso idraulicamente irregolare	ψ_{BC}	0.049	0.050	0.049	0.050	
Coefficiente di resistenza al flusso dovuta all'attrito per flusso idraulicamente regolare	$\psi_{liscioBC}$	0.034	0.036	0.034	0.036	
Numero di Nusselt	Nu_{BC}	26.8	22.2	26.8	22.2	
Temperatura dell'aria comburente all'ingresso del condotto di adduzione aria	T_{eBC}	31.4	30.7	31.4	30.7	°C
Temperatura media dei prodotti della combustione nel canale da fumo	T_{mBC}	31.6	30.8	31.6	30.8	°C
Temperatura dell'aria comburente all'uscita del camino	T_{oBC}	31.8	30.8	31.8	30.8	°C
Pressioni generali (piano 2)	Simbolo	A	B	C	D	U.M.
Pressione differenziale calcolata del generatore di calore	P_{WOc}	135.2	90.6	135.2	90.6	Pa
Effettiva resistenza alla pressione dell'aria comburente	P_B	88.0	59.0	88.0	59.0	Pa
Pressione generata dalla velocità del vento	P_L	0.0	0.0	0.0	0.0	Pa
Pressioni canale da fumo (piano 2)	Simbolo	A	B	C	D	U.M.
Resistenza alla pressione dovuta a resistenza di attrito e di forma del canale da fumo	P_{EV}	10.6	7.1	10.6	7.1	Pa
Differenza di pressione causata da variazione di velocità dei prodotti della combustione nel canale da fumo	P_{GV}	-8.4	-5.6	-8.4	-5.6	Pa
Resistenza alla pressione del canale da fumo	P_{RV}	14.4	9.6	14.4	9.6	Pa
Tiraggio teorico disponibile per effetto camino del canale da fumo	P_{HV}	0.2	0.1	0.2	0.1	Pa
Resistenza effettiva alla pressione del canale da fumo	P_{FV}	14.2	9.5	14.2	9.5	Pa
Pressione differenziale massima all'entrata dei prodotti della combustione nel camino	P_{ZOeV}	33.0	22.0	33.0	22.0	Pa
Pressioni camino (piano 2)	Simbolo	A	B	C	D	U.M.
Resistenza alla pressione dovuta a resistenza di attrito e di forma del camino	P_{EC}	0.9	0.6	0.9	0.6	Pa
Differenza di pressione causata da variazione di velocità dei prodotti della combustione nel camino	P_{GC}	2.0	1.3	2.0	1.3	Pa
Tiraggio teorico disponibile per effetto camino	P_{HC}	1.2	0.4	1.2	0.4	Pa
Resistenza alla pressione del camino	P_{RC}	5.8	3.8	5.8	3.8	Pa
Pressioni canale adduzione aria (piano 2)	Simbolo	A	B	C	D	U.M.
Tiraggio per effetto camino nel tubo di collegamento per l'alimentazione di aria	P_{HBV}	0.0	0.0	0.0	0.0	Pa

Variazione di pressione dovuta alla variazione di velocità del flusso nel tubo di collegamento per l'alimentazione di aria	P_{GBV}	5.1	3.5	5.1	3.5	Pa
Resistenza alla pressione del tubo di collegamento per l'alimentazione di aria	P_{RBV}	41.4	28.3	41.4	28.3	Pa
Pressioni condotto adduzione aria (piano 2)	Simbolo	A	B	C	D	U.M.
Tiraggio per effetto camino nel condotto per l'alimentazione di aria	P_{HBC}	0.2	0.1	0.2	0.1	Pa
Variazione di pressione dovuta alla variazione di velocità del flusso nel condotto per l'alimentazione di aria	P_{GBC}	-1.5	-1.0	-1.5	-1.0	Pa
Resistenza alla pressione del condotto per l'alimentazione di aria	P_{RBC}	1.7	1.2	1.7	1.2	Pa
Canale da fumo (piano 3)	Simbolo	A	B	C	D	U.M.
Portata massica dei prodotti della combustione	m_{wV}	0.01648	0.00859	0.01648	0.00859	kg/s
Portata massica calcolata dei prodotti della combustione	m_{wcV}	0.02397	0.01948	0.02397	0.01948	kg/s
Costante dei gas dei prodotti della combustione	R_V	288.35	288.23	288.35	288.23	J/(kg × K)
Viscosità dinamica del gas di combustione	η_V	16.94	16.57	16.94	16.57	N x s/m²
Coefficiente di conduttività termica del gas di combustione	λ_V	0.025	0.025	0.025	0.025	W/(m × K)
Capacità termica specifica del gas di combustione	C_{pV}	1 049.50	1 028.26	1 049.50	1 028.26	J/(kg × K)
Numero di Prandtl	Pr_V	0.710	0.680	0.710	0.680	
Massa volumica dei prodotti della combustione	ρ_{LV}	1.067	1.096	1.067	1.096	kg/m³
Velocità dei prodotti della combustione	w_{mV}	4.47	3.54	4.47	3.54	m/s
Numero di Reynolds	Re_V	22 523	18 712	22 523	18 712	
Coefficiente di resistenza al flusso dovuta all'attrito per flusso idraulicamente irregolare	ψ_V	0.043	0.044	0.043	0.044	
Coefficiente di resistenza al flusso dovuta all'attrito per flusso idraulicamente regolare	$\psi_{liscioV}$	0.025	0.026	0.025	0.026	
Numero di Nusselt	Nu_V	89.6	73.7	89.6	73.7	
Coefficiente interno di trasmissione del calore	α_{iV}	28.00	23.04	28.00	23.04	W/(m² × K)
Coefficiente di trasmissione del calore	k_V	1.67	1.64	1.67	1.64	W/(m² × K)
Coefficiente di raffreddamento	K_V	0.03	0.03	0.03	0.03	
Temperatura dei prodotti della combustione all'ingresso del canale da fumo	T_{eV}	42.0	34.0	42.0	34.0	°C
Temperatura media dei prodotti della combustione nel canale da fumo	T_{mV}	41.9	33.9	41.9	33.9	°C
Temperatura dei prodotti della combustione all'uscita del canale da fumo	T_{oV}	41.7	33.9	41.7	33.9	°C
Camino (piano 3)	Simbolo	A	B	C	D	U.M.

Viscosità dinamica del gas di combustione	η_C	16.90	16.56	16.90	16.56	N x s/m ²
Coefficiente di conduttività termica del gas di combustione	λ_C	0.025	0.024	0.025	0.024	W/(m x K)
Capacità termica specifica del gas di combustione	C_{pC}	1 050.17	1 028.43	1 050.17	1 028.43	J/(kg x K)
Numero di Prandtl	Pr_C	0.710	0.710	0.710	0.710	
Massa volumica dei prodotti della combustione	ρ_{LC}	1.071	1.097	1.071	1.097	kg/m ³
Velocità dei prodotti della combustione	w_{mC}	2.58	2.07	2.58	2.07	m/s
Numero di Reynolds	Re_C	29 428	24 638	29 428	24 638	
Coefficiente di resistenza al flusso dovuta all'attrito per flusso idraulicamente irregolare	ψ_C	0.034	0.035	0.034	0.035	
Coefficiente di resistenza al flusso dovuta all'attrito per flusso idraulicamente regolare	$\psi_{liscioC}$	0.024	0.025	0.024	0.025	
Numero di Nusselt	Nu_C	100.6	85.3	100.6	85.3	
Coefficiente interno di trasmissione del calore	α_C	13.98	11.37	13.98	11.37	W/(m ² x K)
Coefficiente di trasmissione del calore	k_C	2.02	1.93	2.02	1.93	W/(m ² x K)
Coefficiente di raffreddamento	K_C	0.05	0.06	0.05	0.06	
Temperatura dei prodotti della combustione all'ingresso del camino	T_{eC}	41.0	33.7	41.0	33.7	°C
Temperatura media dei prodotti della combustione nel camino	T_{mC}	40.8	33.6	40.8	33.6	°C
Temperatura dei prodotti della combustione all'uscita del camino	T_{oC}	40.6	33.5	40.6	33.5	°C
Temperatura della parete interna alla fine del segmento del camino in equilibrio termico	T_{iobC}	39.1	32.9	39.1	32.9	°C
Canale adduzione aria (piano 3)	Simbolo	A	B	C	D	U.M.
Viscosità dinamica dell'aria comburente	η_{BV}	16.46	16.42	16.46	16.42	N x s/m ²
Coefficiente di conduttività termica dell'aria comburente	λ_{BV}	0.024	0.024	0.024	0.024	W/(m x K)
Capacità termica specifica dell'aria comburente	C_{pBV}	1 005.00	1 005.00	1 005.00	1 005.00	J/(kg x K)
Numero di Prandtl	Pr_{BV}	0.690	0.690	0.690	0.690	
Massa volumica dell'aria comburente	ρ_{LBV}	1.105	1.108	1.105	1.108	kg/m ³
Velocità dell'aria comburente	w_{mBV}	3.49	2.83	3.49	2.83	m/s
Numero di Reynolds	Re_{BV}	6 329	5 156	6 329	5 156	
Coefficiente di resistenza al flusso dovuta all'attrito per flusso idraulicamente irregolare	ψ_{BV}	0.067	0.067	0.067	0.067	

Coefficiente di resistenza al flusso dovuta all'attrito per flusso idraulicamente regolare	ψ_{liscioBV}	0.035	0.037	0.035	0.037	
Numero di Nusselt	Nu_{BV}	30.3	24.5	30.3	24.5	
Temperatura dell'aria comburente all'ingresso del canale di adduzione aria	T_{eBV}	31.3	30.6	31.3	30.6	°C
Temperatura media dei prodotti della combustione nel canale da fumo	T_{mBV}	31.4	30.6	31.4	30.6	°C
Temperatura dell'aria comburente all'uscita del canale da fumo	T_{oBV}	31.5	30.7	31.5	30.7	°C
Condotto adduzione aria (piano 3)	Simbolo	A	B	C	D	U.M.
Viscosità dinamica dell'aria comburente	η_{BC}	16.94	16.57	16.94	16.57	N x s/m ²
Coefficiente di conduttività termica dell'aria comburente	λ_{BC}	0.024	0.024	0.024	0.024	W/(m x K)
Capacità termica specifica dell'aria comburente	C_{pBC}	1 005.00	1 005.00	1 005.00	1 005.00	J/(kg x K)
Numero di Prandtl	Pr_{BC}	0.690	0.690	0.690	0.690	
Massa volumica dell'aria comburente	ρ_{LBC}	1.106	1.108	1.106	1.108	kg/m ³
Velocità dell'aria comburente	w_{mBC}	2.23	1.82	2.23	1.82	m/s
Numero di Reynolds	Re_{BC}	10 237	8 413	10 237	8 413	
Coefficiente di resistenza al flusso dovuta all'attrito per flusso idraulicamente irregolare	ψ_{BC}	0.047	0.048	0.047	0.048	
Coefficiente di resistenza al flusso dovuta all'attrito per flusso idraulicamente regolare	ψ_{liscioBC}	0.031	0.032	0.031	0.032	
Numero di Nusselt	Nu_{BC}	40.4	33.3	40.4	33.3	
Temperatura dell'aria comburente all'ingresso del condotto di adduzione aria	T_{eBC}	30.9	30.5	30.9	30.5	°C
Temperatura media dei prodotti della combustione nel canale da fumo	T_{mBC}	31.1	30.5	31.1	30.5	°C
Temperatura dell'aria comburente all'uscita del camino	T_{oBC}	31.3	30.6	31.3	30.6	°C
Pressioni generali (piano 3)	Simbolo	A	B	C	D	U.M.
Pressione differenziale calcolata del generatore di calore	P_{WOc}	133.3	87.8	133.3	87.8	Pa
Effettiva resistenza alla pressione dell'aria comburente	P_{B}	88.2	58.3	88.2	58.3	Pa
Pressione generata dalla velocità del vento	P_{L}	0.0	0.0	0.0	0.0	Pa
Pressioni canale da fumo (piano 3)	Simbolo	A	B	C	D	U.M.
Resistenza alla pressione dovuta a resistenza di attrito e di forma del canale da fumo	P_{EV}	11.3	7.3	11.3	7.3	Pa
Differenza di pressione causata da variazione di velocità dei prodotti della combustione nel canale da fumo	P_{GV}	-7.1	-4.5	-7.1	-4.5	Pa
Resistenza alla pressione del canale da fumo	P_{RV}	16.8	11.0	16.8	11.0	Pa

Tiraggio teorico disponibile per effetto camino del canale da fumo	P_{HV}	0.2	0.1	0.2	0.1	Pa
Resistenza effettiva alla pressione del canale da fumo	P_{FV}	16.6	10.9	16.6	10.9	Pa
Pressione differenziale massima all'entrata dei prodotti della combustione nel camino	P_{ZOeV}	28.4	18.7	28.4	18.7	Pa
Pressioni camino (piano 3)	Simbolo	A	B	C	D	U.M.
Resistenza alla pressione dovuta a resistenza di attrito e di forma del camino	P_{EC}	2.0	1.3	2.0	1.3	Pa
Differenza di pressione causata da variazione di velocità dei prodotti della combustione nel camino	P_{GC}	3.1	1.9	3.1	1.9	Pa
Tiraggio teorico disponibile per effetto camino	P_{HC}	1.2	0.4	1.2	0.4	Pa
Resistenza alla pressione del camino	P_{RC}	9.6	6.1	9.6	6.1	Pa
Pressioni canale adduzione aria (piano 3)	Simbolo	A	B	C	D	U.M.
Tiraggio per effetto camino nel tubo di collegamento per l'alimentazione di aria	P_{HBV}	0.0	0.0	0.0	0.0	Pa
Variazione di pressione dovuta alla variazione di velocità del flusso nel tubo di collegamento per l'alimentazione di aria	P_{GBV}	4.0	2.6	4.0	2.6	Pa
Resistenza alla pressione del tubo di collegamento per l'alimentazione di aria	P_{RBV}	43.5	28.9	43.5	28.9	Pa
Pressioni condotto adduzione aria (piano 3)	Simbolo	A	B	C	D	U.M.
Tiraggio per effetto camino nel condotto per l'alimentazione di aria	P_{HBC}	0.1	0.1	0.1	0.1	Pa
Variazione di pressione dovuta alla variazione di velocità del flusso nel condotto per l'alimentazione di aria	P_{GBC}	-2.3	-1.5	-2.3	-1.5	Pa
Resistenza alla pressione del condotto per l'alimentazione di aria	P_{RBC}	4.6	3.3	4.6	3.3	Pa
Canale da fumo (piano 4)	Simbolo	A	B	C	D	U.M.
Portata massica dei prodotti della combustione	m_{wV}	0.01648	0.00859	0.01648	0.00859	kg/s
Portata massica calcolata dei prodotti della combustione	m_{wcV}	0.02558	0.02021	0.02558	0.02021	kg/s
Costante dei gas dei prodotti della combustione	R_V	288.35	288.23	288.35	288.23	J/(kg × K)
Viscosità dinamica del gas di combustione	η_V	16.94	16.57	16.94	16.57	N × s/m²
Coefficiente di conduttività termica del gas di combustione	λ_V	0.025	0.025	0.025	0.025	W/(m × K)
Capacità termica specifica del gas di combustione	C_{pV}	1 047.25	1 027.72	1 047.25	1 027.72	J/(kg × K)
Numero di Prandtl	Pr_V	0.710	0.680	0.710	0.680	
Massa volumica dei prodotti della combustione	ρ_{LV}	1.068	1.096	1.068	1.096	kg/m³
Velocità dei prodotti della combustione	w_{mV}	4.77	3.67	4.77	3.67	m/s
Numero di Reynolds	Re_V	24 030	19 408	24 030	19 408	

Coefficiente di resistenza al flusso dovuta all'attrito per flusso idraulicamente irregolare	ψ_V	0.043	0.043	0.043	0.043	
Coefficiente di resistenza al flusso dovuta all'attrito per flusso idraulicamente regolare	$\psi_{liscioV}$	0.025	0.026	0.025	0.026	
Numero di Nusselt	Nu_V	95.3	76.4	95.3	76.4	
Coefficiente interno di trasmissione del calore	α_{iV}	29.79	23.86	29.79	23.86	$W/(m^2 \times K)$
Coefficiente di trasmissione del calore	k_V	1.68	1.65	1.68	1.65	$W/(m^2 \times K)$
Coefficiente di raffreddamento	K_V	0.02	0.03	0.02	0.03	
Temperatura dei prodotti della combustione all'ingresso del canale da fumo	T_{eV}	42.0	34.0	42.0	34.0	$^{\circ}C$
Temperatura media dei prodotti della combustione nel canale da fumo	T_{mV}	41.9	33.9	41.9	33.9	$^{\circ}C$
Temperatura dei prodotti della combustione all'uscita del canale da fumo	T_{oV}	41.7	33.9	41.7	33.9	$^{\circ}C$
Camino (piano 4)	Simbolo	A	B	C	D	U.M.
Viscosità dinamica del gas di combustione	η_C	16.89	16.56	16.89	16.56	$N \times s/m^2$
Coefficiente di conduttività termica del gas di combustione	λ_C	0.025	0.024	0.025	0.024	$W/(m \times K)$
Capacità termica specifica del gas di combustione	C_{pC}	1 049.20	1 028.21	1 049.20	1 028.21	$J/(kg \times K)$
Numero di Prandtl	Pr_C	0.710	0.710	0.710	0.710	
Massa volumica dei prodotti della combustione	ρ_{LC}	1.071	1.097	1.071	1.097	kg/m^3
Velocità dei prodotti della combustione	w_{mC}	3.52	2.79	3.52	2.79	m/s
Numero di Reynolds	Re_C	40 157	33 268	40 157	33 268	
Coefficiente di resistenza al flusso dovuta all'attrito per flusso idraulicamente irregolare	ψ_C	0.033	0.034	0.033	0.034	
Coefficiente di resistenza al flusso dovuta all'attrito per flusso idraulicamente regolare	$\psi_{liscioC}$	0.022	0.023	0.022	0.023	
Numero di Nusselt	Nu_C	134.4	112.8	134.4	112.8	
Coefficiente interno di trasmissione del calore	α_{iC}	18.67	15.04	18.67	15.04	$W/(m^2 \times K)$
Coefficiente di trasmissione del calore	k_C	2.13	2.06	2.13	2.06	$W/(m^2 \times K)$
Coefficiente di raffreddamento	K_C	0.04	0.04	0.04	0.04	
Temperatura dei prodotti della combustione all'ingresso del camino	T_{eC}	40.9	33.6	40.9	33.6	$^{\circ}C$
Temperatura media dei prodotti della combustione nel camino	T_{mC}	40.7	33.5	40.7	33.5	$^{\circ}C$
Temperatura dei prodotti della combustione all'uscita del camino	T_{oC}	40.5	33.5	40.5	33.5	$^{\circ}C$

Temperatura della parete interna alla fine del segmento del camino in equilibrio termico	T_{lobC}	39.4	33.0	39.4	33.0	°C
Canale adduzione aria (piano 4)	Simbolo	A	B	C	D	U.M.
Viscosità dinamica dell'aria comburente	η_{BV}	16.44	16.41	16.44	16.41	N x s/m ²
Coefficiente di conduttività termica dell'aria comburente	λ_{BV}	0.024	0.024	0.024	0.024	W/(m x K)
Capacità termica specifica dell'aria comburente	C_{pBV}	1 005.00	1 005.00	1 005.00	1 005.00	J/(kg x K)
Numero di Prandtl	Pr_{BV}	0.690	0.690	0.690	0.690	
Massa volumica dell'aria comburente	ρ_{LBV}	1.107	1.109	1.107	1.109	kg/m ³
Velocità dell'aria comburente	w_{mBV}	3.72	2.93	3.72	2.93	m/s
Numero di Reynolds	Re_{BV}	6 761	5 351	6 761	5 351	
Coefficiente di resistenza al flusso dovuta all'attrito per flusso idraulicamente irregolare	ψ_{BV}	0.066	0.067	0.066	0.067	
Coefficiente di resistenza al flusso dovuta all'attrito per flusso idraulicamente regolare	$\psi_{liscioBV}$	0.034	0.037	0.034	0.037	
Numero di Nusselt	Nu_{BV}	32.4	25.5	32.4	25.5	
Temperatura dell'aria comburente all'ingresso del canale di adduzione aria	T_{eBV}	30.8	30.4	30.8	30.4	°C
Temperatura media dei prodotti della combustione nel canale da fumo	T_{mBV}	30.9	30.4	30.9	30.4	°C
Temperatura dell'aria comburente all'uscita del canale da fumo	T_{oBV}	31.1	30.5	31.1	30.5	°C
Condotto adduzione aria (piano 4)	Simbolo	A	B	C	D	U.M.
Viscosità dinamica dell'aria comburente	η_{BC}	16.94	16.57	16.94	16.57	N x s/m ²
Coefficiente di conduttività termica dell'aria comburente	λ_{BC}	0.024	0.024	0.024	0.024	W/(m x K)
Capacità termica specifica dell'aria comburente	C_{pBC}	1 005.00	1 005.00	1 005.00	1 005.00	J/(kg x K)
Numero di Prandtl	Pr_{BC}	0.690	0.690	0.690	0.690	
Massa volumica dell'aria comburente	ρ_{LBC}	1.108	1.109	1.108	1.109	kg/m ³
Velocità dell'aria comburente	w_{mBC}	3.03	2.46	3.03	2.46	m/s
Numero di Reynolds	Re_{BC}	13 978	11 368	13 978	11 368	
Coefficiente di resistenza al flusso dovuta all'attrito per flusso idraulicamente irregolare	ψ_{BC}	0.046	0.047	0.046	0.047	
Coefficiente di resistenza al flusso dovuta all'attrito per flusso idraulicamente regolare	$\psi_{liscioBC}$	0.028	0.030	0.028	0.030	
Numero di Nusselt	Nu_{BC}	54.7	44.7	54.7	44.7	

Temperatura dell'aria comburente all'ingresso del condotto di adduzione aria	T_{eBC}	30.5	30.3	30.5	30.3	°C
Temperatura media dei prodotti della combustione nel canale da fumo	T_{mBC}	30.6	30.3	30.6	30.3	°C
Temperatura dell'aria comburente all'uscita del camino	T_{oBC}	30.8	30.4	30.8	30.4	°C
Pressioni generali (piano 4)	Simbolo	A	B	C	D	U.M.
Pressione differenziale calcolata del generatore di calore	P_{WOC}	128.9	82.0	128.9	82.0	Pa
Effettiva resistenza alla pressione dell'aria comburente	P_B	88.5	56.5	88.5	56.5	Pa
Pressione generata dalla velocità del vento	P_L	0.0	0.0	0.0	0.0	Pa
Pressioni canale da fumo (piano 4)	Simbolo	A	B	C	D	U.M.
Resistenza alla pressione dovuta a resistenza di attrito e di forma del canale da fumo	P_{EV}	12.8	7.8	12.8	7.8	Pa
Differenza di pressione causata da variazione di velocità dei prodotti della combustione nel canale da fumo	P_{GV}	-5.5	-3.1	-5.5	-3.1	Pa
Resistenza alla pressione del canale da fumo	P_{RV}	20.6	12.7	20.6	12.7	Pa
Tiraggio teorico disponibile per effetto camino del canale da fumo	P_{HV}	0.2	0.1	0.2	0.1	Pa
Resistenza effettiva alla pressione del canale da fumo	P_{FV}	20.4	12.6	20.4	12.6	Pa
Pressione differenziale massima all'entrata dei prodotti della combustione nel camino	P_{ZOeV}	20.1	12.9	20.1	12.9	Pa
Pressioni camino (piano 4)	Simbolo	A	B	C	D	U.M.
Resistenza alla pressione dovuta a resistenza di attrito e di forma del camino	P_{EC}	3.7	2.4	3.7	2.4	Pa
Differenza di pressione causata da variazione di velocità dei prodotti della combustione nel camino	P_{GC}	4.5	2.7	4.5	2.7	Pa
Tiraggio teorico disponibile per effetto camino	P_{HC}	1.1	0.4	1.1	0.4	Pa
Resistenza alla pressione del camino	P_{RC}	14.9	9.1	14.9	9.1	Pa
Pressioni canale adduzione aria (piano 4)	Simbolo	A	B	C	D	U.M.
Tiraggio per effetto camino nel tubo di collegamento per l'alimentazione di aria	P_{HBV}	0.0	0.0	0.0	0.0	Pa
Variazione di pressione dovuta alla variazione di velocità del flusso nel tubo di collegamento per l'alimentazione di aria	P_{GBV}	2.6	1.4	2.6	1.4	Pa
Resistenza alla pressione del tubo di collegamento per l'alimentazione di aria	P_{RBV}	48.5	30.4	48.5	30.4	Pa
Pressioni condotto adduzione aria (piano 4)	Simbolo	A	B	C	D	U.M.
Tiraggio per effetto camino nel condotto per l'alimentazione di aria	P_{HBC}	0.1	0.0	0.1	0.0	Pa
Variazione di pressione dovuta alla variazione di velocità del flusso nel condotto per l'alimentazione di aria	P_{GBC}	-3.4	-2.1	-3.4	-2.1	Pa
Resistenza alla pressione del condotto per l'alimentazione di aria	P_{RBC}	9.2	6.3	9.2	6.3	Pa

Canale da fumo (piano 5)	Simbolo	A	B	C	D	U.M.
Portata massica dei prodotti della combustione	m_{wV}	0.01648	0.00859	0.01648	0.00859	kg/s
Portata massica calcolata dei prodotti della combustione	m_{wcV}	0.02824	0.02137	0.02824	0.02137	kg/s
Costante dei gas dei prodotti della combustione	R_V	288.35	288.23	288.35	288.23	J/(kg × K)
Viscosità dinamica del gas di combustione	η_V	16.94	16.57	16.94	16.57	N × s/m ²
Coefficiente di conduttività termica del gas di combustione	λ_V	0.025	0.025	0.025	0.025	W/(m × K)
Capacità termica specifica del gas di combustione	C_{pV}	1 044.08	1 026.92	1 044.08	1 026.92	J/(kg × K)
Numero di Prandtl	Pr_V	0.710	0.680	0.710	0.680	
Massa volumica dei prodotti della combustione	ρ_{LV}	1.068	1.096	1.068	1.096	kg/m ³
Velocità dei prodotti della combustione	w_{mV}	5.26	3.88	5.26	3.88	m/s
Numero di Reynolds	Re_V	26 534	20 522	26 534	20 522	
Coefficiente di resistenza al flusso dovuta all'attrito per flusso idraulicamente irregolare	ψ_V	0.043	0.043	0.043	0.043	
Coefficiente di resistenza al flusso dovuta all'attrito per flusso idraulicamente regolare	$\psi_{liscioV}$	0.024	0.026	0.024	0.026	
Numero di Nusselt	Nu_V	104.8	80.6	104.8	80.6	
Coefficiente interno di trasmissione del calore	α_{iV}	32.75	25.18	32.75	25.18	W/(m ² × K)
Coefficiente di trasmissione del calore	k_V	1.69	1.66	1.69	1.66	W/(m ² × K)
Coefficiente di raffreddamento	K_V	0.02	0.03	0.02	0.03	
Temperatura dei prodotti della combustione all'ingresso del canale da fumo	T_{eV}	42.0	34.0	42.0	34.0	°C
Temperatura media dei prodotti della combustione nel canale da fumo	T_{mV}	41.9	33.9	41.9	33.9	°C
Temperatura dei prodotti della combustione all'uscita del canale da fumo	T_{oV}	41.8	33.9	41.8	33.9	°C
Camino (piano 5)	Simbolo	A	B	C	D	U.M.
Viscosità dinamica del gas di combustione	η_C	16.88	16.55	16.88	16.55	N × s/m ²
Coefficiente di conduttività termica del gas di combustione	λ_C	0.025	0.024	0.025	0.024	W/(m × K)
Capacità termica specifica del gas di combustione	C_{pC}	1 047.58	1 027.87	1 047.58	1 027.87	J/(kg × K)
Numero di Prandtl	Pr_C	0.710	0.710	0.710	0.710	
Massa volumica dei prodotti della combustione	ρ_{LC}	1.072	1.097	1.072	1.097	kg/m ³

Velocità dei prodotti della combustione	w_{mC}	4.55	3.55	4.55	3.55	m/s
Numero di Reynolds	Re_C	52 016	42 420	52 016	42 420	
Coefficiente di resistenza al flusso dovuta all'attrito per flusso idraulicamente irregolare	ψ_C	0.033	0.033	0.033	0.033	
Coefficiente di resistenza al flusso dovuta all'attrito per flusso idraulicamente regolare	$\psi_{liscioC}$	0.021	0.022	0.021	0.022	
Numero di Nusselt	Nu_C	171.1	141.5	171.1	141.5	
Coefficiente interno di trasmissione del calore	α_C	23.76	18.86	23.76	18.86	W/(m ² × K)
Coefficiente di trasmissione del calore	k_C	2.21	2.14	2.21	2.14	W/(m ² × K)
Coefficiente di raffreddamento	K_C	0.03	0.04	0.03	0.04	
Temperatura dei prodotti della combustione all'ingresso del camino	T_{eC}	40.8	33.5	40.8	33.5	°C
Temperatura media dei prodotti della combustione nel camino	T_{mC}	40.7	33.5	40.7	33.5	°C
Temperatura dei prodotti della combustione all'uscita del camino	T_{oC}	40.5	33.4	40.5	33.4	°C
Temperatura della parete interna alla fine del segmento del camino in equilibrio termico	T_{iobC}	39.6	33.1	39.6	33.1	°C
Canale adduzione aria (piano 5)	Simbolo	A	B	C	D	U.M.
Viscosità dinamica dell'aria comburente	η_{BV}	16.42	16.41	16.42	16.41	N x s/m ²
Coefficiente di conduttività termica dell'aria comburente	λ_{BV}	0.024	0.024	0.024	0.024	W/(m × K)
Capacità termica specifica dell'aria comburente	C_{pBV}	1 005.00	1 005.00	1 005.00	1 005.00	J/(kg × K)
Numero di Prandtl	Pr_{BV}	0.690	0.690	0.690	0.690	
Massa volumica dell'aria comburente	ρ_{LBV}	1.108	1.110	1.108	1.110	kg/m ³
Velocità dell'aria comburente	w_{mBV}	4.10	3.10	4.10	3.10	m/s
Numero di Reynolds	Re_{BV}	7 474	5 658	7 474	5 658	
Coefficiente di resistenza al flusso dovuta all'attrito per flusso idraulicamente irregolare	ψ_{BV}	0.066	0.067	0.066	0.067	
Coefficiente di resistenza al flusso dovuta all'attrito per flusso idraulicamente regolare	$\psi_{liscioBV}$	0.033	0.036	0.033	0.036	
Numero di Nusselt	Nu_{BV}	35.9	27.0	35.9	27.0	
Temperatura dell'aria comburente all'ingresso del canale di adduzione aria	T_{eBV}	30.4	30.2	30.4	30.2	°C
Temperatura media dei prodotti della combustione nel canale da fumo	T_{mBV}	30.5	30.3	30.5	30.3	°C
Temperatura dell'aria comburente all'uscita del canale da fumo	T_{oBV}	30.6	30.3	30.6	30.3	°C

Condotto adduzione aria (piano 5)	Simbolo	A	B	C	D	U.M.
Viscosità dinamica dell'aria comburente	η_{BC}	16.94	16.57	16.94	16.57	N x s/m ²
Coefficiente di conduttività termica dell'aria comburente	λ_{BC}	0.024	0.024	0.024	0.024	W/(m x K)
Capacità termica specifica dell'aria comburente	C_{pBC}	1 005.00	1 005.00	1 005.00	1 005.00	J/(kg x K)
Numero di Prandtl	Pr_{BC}	0.690	0.690	0.690	0.690	
Massa volumica dell'aria comburente	ρ_{LBC}	1.109	1.110	1.109	1.110	kg/m ³
Velocità dell'aria comburente	w_{mBC}	3.92	3.13	3.92	3.13	m/s
Numero di Reynolds	Re_{BC}	18 117	14 495	18 117	14 495	
Coefficiente di resistenza al flusso dovuta all'attrito per flusso idraulicamente irregolare	ψ_{BC}	0.046	0.046	0.046	0.046	
Coefficiente di resistenza al flusso dovuta all'attrito per flusso idraulicamente regolare	$\psi_{liscioBC}$	0.027	0.028	0.027	0.028	
Numero di Nusselt	Nu_{BC}	70.3	56.6	70.3	56.6	
Temperatura dell'aria comburente all'ingresso del condotto di adduzione aria	T_{eBC}	30.1	30.1	30.1	30.1	°C
Temperatura media dei prodotti della combustione nel canale da fumo	T_{mBC}	30.2	30.1	30.2	30.1	°C
Temperatura dell'aria comburente all'uscita del camino	T_{oBC}	30.4	30.2	30.4	30.2	°C
Pressioni generali (piano 5)	Simbolo	A	B	C	D	U.M.
Pressione differenziale calcolata del generatore di calore	P_{WOC}	120.9	72.2	120.9	72.2	Pa
Effettiva resistenza alla pressione dell'aria comburente	P_B	88.6	53.0	88.6	53.0	Pa
Pressione generata dalla velocità del vento	P_L	0.0	0.0	0.0	0.0	Pa
Pressioni canale da fumo (piano 5)	Simbolo	A	B	C	D	U.M.
Resistenza alla pressione dovuta a resistenza di attrito e di forma del canale da fumo	P_{EV}	15.6	8.8	15.6	8.8	Pa
Differenza di pressione causata da variazione di velocità dei prodotti della combustione nel canale da fumo	P_{GV}	-3.7	-1.3	-3.7	-1.3	Pa
Resistenza alla pressione del canale da fumo	P_{RV}	26.3	15.1	26.3	15.1	Pa
Tiraggio teorico disponibile per effetto camino del canale da fumo	P_{HV}	0.2	0.1	0.2	0.1	Pa
Resistenza effettiva alla pressione del canale da fumo	P_{FV}	26.1	15.0	26.1	15.0	Pa
Pressione differenziale massima all'entrata dei prodotti della combustione nel camino	P_{ZOeV}	6.3	4.2	6.3	4.2	Pa
Pressioni camino (piano 5)	Simbolo	A	B	C	D	U.M.
Resistenza alla pressione dovuta a resistenza di attrito e di forma del camino	P_{EC}	6.1	3.8	6.1	3.8	Pa

Differenza di pressione causata da variazione di velocità dei prodotti della combustione nel camino	P_{GC}	0.0	0.0	0.0	0.0	Pa
Tiraggio teorico disponibile per effetto camino	P_{HC}	1.1	0.4	1.1	0.4	Pa
Resistenza alla pressione del camino	P_{RC}	7.3	4.6	7.3	4.6	Pa
Pressioni canale adduzione aria (piano 5)	Simbolo	A	B	C	D	U.M.
Tiraggio per effetto camino nel tubo di collegamento per l'alimentazione di aria	P_{HBV}	0.0	0.0	0.0	0.0	Pa
Variazione di pressione dovuta alla variazione di velocità del flusso nel tubo di collegamento per l'alimentazione di aria	P_{GBV}	0.8	-0.1	0.8	-0.1	Pa
Resistenza alla pressione del tubo di collegamento per l'alimentazione di aria	P_{RBV}	57.9	33.3	57.9	33.3	Pa
Pressioni condotto adduzione aria (piano 5)	Simbolo	A	B	C	D	U.M.
Tiraggio per effetto camino nel condotto per l'alimentazione di aria	P_{HBC}	0.0	0.0	0.0	0.0	Pa
Variazione di pressione dovuta alla variazione di velocità del flusso nel condotto per l'alimentazione di aria	P_{GBC}	8.5	5.4	8.5	5.4	Pa
Resistenza alla pressione del condotto per l'alimentazione di aria	P_{RBC}	30.7	19.8	30.7	19.8	Pa

Generatore 1 acceso e tutti gli altri spenti

Generali	Simbolo	A	B	C	D	U.M.
Costante dei gas dell'aria	R_L	288.00	288.00	288.00	288.00	J/(kg × K)
Pressione dell'aria esterna	p_L	96 967.3	96 967.3	96 967.3	96 967.3	Pa
Massa volumica dell'aria esterna	ρ_L	1.111	1.111	1.111	1.111	kg/m³
Canale da fumo (piano 1)	Simbolo	A	B	C	D	U.M.
Portata massica dei prodotti della combustione	m_{wV}	0.01648	0.00859	0.01648	0.00859	kg/s
Portata massica calcolata dei prodotti della combustione	m_{wcV}	0.03256	0.02333	0.03256	0.02333	kg/s
Costante dei gas dei prodotti della combustione	R_V	288.35	288.23	288.35	288.23	J/(kg × K)
Viscosità dinamica del gas di combustione	η_V	16.94	16.57	16.94	16.57	N × s/m²
Coefficiente di conduttività termica del gas di combustione	λ_V	0.025	0.025	0.025	0.025	W/(m × K)
Capacità termica specifica del gas di combustione	C_{pV}	1 040.04	1 025.75	1 040.04	1 025.75	J/(kg × K)
Numero di Prandtl	Pr_V	0.700	0.680	0.700	0.680	
Massa volumica dei prodotti della combustione	ρ_{LV}	1.068	1.096	1.068	1.096	kg/m³
Velocità dei prodotti della combustione	w_{mV}	6.07	4.24	6.07	4.24	m/s
Numero di Reynolds	Re_V	30 589	22 412	30 589	22 412	
Coefficiente di resistenza al flusso dovuta all'attrito per flusso idraulicamente irregolare	ψ_V	0.043	0.043	0.043	0.043	
Coefficiente di resistenza al flusso dovuta all'attrito per flusso idraulicamente regolare	$\psi_{liscioV}$	0.023	0.025	0.023	0.025	
Numero di Nusselt	Nu_V	119.4	87.7	119.4	87.7	
Coefficiente interno di trasmissione del calore	α_V	37.30	27.39	37.30	27.39	W/(m² × K)
Coefficiente di trasmissione del calore	k_V	1.71	1.67	1.71	1.67	W/(m² × K)
Coefficiente di raffreddamento	K_V	0.02	0.03	0.02	0.03	
Temperatura dei prodotti della combustione all'ingresso del canale da fumo	T_{eV}	42.0	34.0	42.0	34.0	°C
Temperatura media dei prodotti della combustione nel canale da fumo	T_{mV}	41.8	33.9	41.8	33.9	°C
Temperatura dei prodotti della combustione all'uscita del canale da fumo	T_{oV}	41.7	33.8	41.7	33.8	°C
Camino (piano 1)	Simbolo	A	B	C	D	U.M.

Viscosità dinamica del gas di combustione	η_C	16.92	16.56	16.92	16.56	N x s/m ²
Coefficiente di conduttività termica del gas di combustione	λ_C	0.025	0.024	0.025	0.024	W/(m x K)
Capacità termica specifica del gas di combustione	C_{pC}	1 040.01	1 025.73	1 040.01	1 025.73	J/(kg x K)
Numero di Prandtl	Pr_C	0.700	0.710	0.700	0.710	
Massa volumica dei prodotti della combustione	ρ_{LC}	1.069	1.097	1.069	1.097	kg/m ³
Velocità dei prodotti della combustione	w_{mC}	1.20	0.84	1.20	0.84	m/s
Numero di Reynolds	Re_C	13 611	9 967	13 611	9 967	
Coefficiente di resistenza al flusso dovuta all'attrito per flusso idraulicamente irregolare	ψ_C	0.037	0.038	0.037	0.038	
Coefficiente di resistenza al flusso dovuta all'attrito per flusso idraulicamente regolare	$\psi_{liscioC}$	0.029	0.031	0.029	0.031	
Numero di Nusselt	Nu_C	48.8	36.7	48.8	36.7	
Coefficiente interno di trasmissione del calore	α_C	6.78	4.90	6.78	4.90	W/(m ² x K)
Coefficiente di trasmissione del calore	k_C	1.65	1.45	1.65	1.45	W/(m ² x K)
Coefficiente di raffreddamento	K_C	0.08	0.10	0.08	0.10	
Temperatura dei prodotti della combustione all'ingresso del camino	T_{eC}	41.7	33.8	41.7	33.8	°C
Temperatura media dei prodotti della combustione nel camino	T_{mC}	41.0	33.3	41.0	33.3	°C
Temperatura dei prodotti della combustione all'uscita del camino	T_{oC}	40.3	32.8	40.3	32.8	°C
Temperatura della parete interna alla fine del segmento del camino in equilibrio termico	T_{lobC}	37.7	31.9	37.7	31.9	°C
Canale adduzione aria (piano 1)	Simbolo	A	B	C	D	U.M.
Viscosità dinamica dell'aria comburente	η_{BV}	16.20	16.18	16.20	16.18	N x s/m ²
Coefficiente di conduttività termica dell'aria comburente	λ_{BV}	0.024	0.024	0.024	0.024	W/(m x K)
Capacità termica specifica dell'aria comburente	C_{pBV}	1 005.00	1 005.00	1 005.00	1 005.00	J/(kg x K)
Numero di Prandtl	Pr_{BV}	0.680	0.680	0.680	0.680	
Massa volumica dell'aria comburente	ρ_{LBV}	1.126	1.128	1.126	1.128	kg/m ³
Velocità dell'aria comburente	w_{mBV}	4.65	3.33	4.65	3.33	m/s
Numero di Reynolds	Re_{BV}	8 733	6 267	8 733	6 267	
Coefficiente di resistenza al flusso dovuta all'attrito per flusso idraulicamente irregolare	ψ_{BV}	0.065	0.067	0.065	0.067	

Coefficiente di resistenza al flusso dovuta all'attrito per flusso idraulicamente regolare	ψ_{liscioBV}	0.032	0.035	0.032	0.035	
Numero di Nusselt	Nu_{BV}	41.8	29.8	41.8	29.8	
Temperatura dell'aria comburente all'ingresso del canale di adduzione aria	T_{eBV}	25.3	25.0	25.3	25.0	°C
Temperatura media dei prodotti della combustione nel canale da fumo	T_{mBV}	25.6	25.2	25.6	25.2	°C
Temperatura dell'aria comburente all'uscita del canale da fumo	T_{oBV}	25.8	25.5	25.8	25.5	°C
Condotto adduzione aria (piano 1)	Simbolo	A	B	C	D	U.M.
Viscosità dinamica dell'aria comburente	η_{BC}	16.94	16.57	16.94	16.57	N x s/m²
Coefficiente di conduttività termica dell'aria comburente	λ_{BC}	0.024	0.024	0.024	0.024	W/(m x K)
Capacità termica specifica dell'aria comburente	C_{pBC}	1 005.00	1 005.00	1 005.00	1 005.00	J/(kg x K)
Numero di Prandtl	Pr_{BC}	0.680	0.680	0.680	0.680	
Massa volumica dell'aria comburente	ρ_{LBC}	1.128	1.129	1.128	1.129	kg/m³
Velocità dell'aria comburente	w_{mBC}	1.01	0.72	1.01	0.72	m/s
Numero di Reynolds	Re_{BC}	4 819	3 458	4 819	3 458	
Coefficiente di resistenza al flusso dovuta all'attrito per flusso idraulicamente irregolare	ψ_{BC}	0.051	0.054	0.051	0.054	
Coefficiente di resistenza al flusso dovuta all'attrito per flusso idraulicamente regolare	ψ_{liscioBC}	0.038	0.042	0.038	0.042	
Numero di Nusselt	Nu_{BC}	19.1	13.6	19.1	13.6	
Temperatura dell'aria comburente all'ingresso del condotto di adduzione aria	T_{eBC}	23.1	23.0	23.1	23.0	°C
Temperatura media dei prodotti della combustione nel canale da fumo	T_{mBC}	24.2	24.0	24.2	24.0	°C
Temperatura dell'aria comburente all'uscita del camino	T_{oBC}	25.3	25.0	25.3	25.0	°C
Pressioni generali (piano 1)	Simbolo	A	B	C	D	U.M.
Pressione differenziale calcolata del generatore di calore	P_{WOc}	106.5	54.3	106.5	54.3	Pa
Effettiva resistenza alla pressione dell'aria comburente	P_{B}	83.2	41.1	83.2	41.1	Pa
Pressione generata dalla velocità del vento	P_{L}	0.0	0.0	0.0	0.0	Pa
Pressioni canale da fumo (piano 1)	Simbolo	A	B	C	D	U.M.
Resistenza alla pressione dovuta a resistenza di attrito e di forma del canale da fumo	P_{EV}	20.6	10.4	20.6	10.4	Pa
Differenza di pressione causata da variazione di velocità dei prodotti della combustione nel canale da fumo	P_{GV}	-18.9	-9.4	-18.9	-9.4	Pa
Resistenza alla pressione del canale da fumo	P_{RV}	25.0	12.6	25.0	12.6	Pa

Tiraggio teorico disponibile per effetto camino del canale da fumo	P_{HV}	0.2	0.1	0.2	0.1	Pa
Resistenza effettiva alla pressione del canale da fumo	P_{FV}	24.8	12.5	24.8	12.5	Pa
Pressione differenziale massima all'entrata dei prodotti della combustione nel camino	P_{ZOeV}	-1.5	0.6	-1.5	0.6	Pa
Pressioni camino (piano 1)	Simbolo	A	B	C	D	U.M.
Resistenza alla pressione dovuta a resistenza di attrito e di forma del camino	P_{EC}	0.5	0.2	0.5	0.2	Pa
Differenza di pressione causata da variazione di velocità dei prodotti della combustione nel camino	P_{GC}	0.0	0.0	0.0	0.0	Pa
Tiraggio teorico disponibile per effetto camino	P_{HC}	1.2	0.4	1.2	0.4	Pa
Resistenza alla pressione del camino	P_{RC}	0.6	0.3	0.6	0.3	Pa
Pressioni canale adduzione aria (piano 1)	Simbolo	A	B	C	D	U.M.
Tiraggio per effetto camino nel tubo di collegamento per l'alimentazione di aria	P_{HBV}	-0.1	-0.1	-0.1	-0.1	Pa
Variazione di pressione dovuta alla variazione di velocità del flusso nel tubo di collegamento per l'alimentazione di aria	P_{GBV}	11.6	6.0	11.6	6.0	Pa
Resistenza alla pressione del tubo di collegamento per l'alimentazione di aria	P_{RBV}	79.1	41.0	79.1	41.0	Pa
Pressioni condotto adduzione aria (piano 1)	Simbolo	A	B	C	D	U.M.
Tiraggio per effetto camino nel condotto per l'alimentazione di aria	P_{HBC}	-0.6	-0.7	-0.6	-0.7	Pa
Variazione di pressione dovuta alla variazione di velocità del flusso nel condotto per l'alimentazione di aria	P_{GBC}	0.0	0.0	0.0	0.0	Pa
Resistenza alla pressione del condotto per l'alimentazione di aria	P_{RBC}	1.6	0.8	1.6	0.8	Pa
Canale da fumo (piano 2)	Simbolo	A	B	C	D	U.M.
Portata massica dei prodotti della combustione	m_{wV}	0.00000	0.00000	0.00000	0.00000	kg/s
Portata massica calcolata dei prodotti della combustione	m_{wcV}	0.00000	0.00000	0.00000	0.00000	kg/s
Costante dei gas dei prodotti della combustione	R_V	288.00	288.00	288.00	288.00	J/(kg × K)
Viscosità dinamica del gas di combustione	η_V	16.39	16.39	16.39	16.39	N × s/m²
Coefficiente di conduttività termica del gas di combustione	λ_V	0.024	0.024	0.024	0.024	W/(m × K)
Capacità termica specifica del gas di combustione	C_{pV}	1 005.00	1 005.00	1 005.00	1 005.00	J/(kg × K)
Numero di Prandtl	Pr_V	0.690	0.690	0.690	0.690	
Massa volumica dei prodotti della combustione	ρ_{LV}	1.111	1.111	1.111	1.111	kg/m³
Velocità dei prodotti della combustione	w_{mV}	0.00	0.00	0.00	0.00	m/s
Numero di Reynolds	Re_V	2 711	2 711	2 711	2 711	

Coefficiente di resistenza al flusso dovuta all'attrito per flusso idraulicamente irregolare	ψ_V	0.055	0.055	0.055	0.055	
Coefficiente di resistenza al flusso dovuta all'attrito per flusso idraulicamente regolare	$\psi_{liscioV}$	0.045	0.045	0.045	0.045	
Numero di Nusselt	Nu_V	11.0	11.0	11.0	11.0	
Coefficiente interno di trasmissione del calore	α_{iV}	4.00	4.00	4.00	4.00	W/(m ² × K)
Coefficiente di trasmissione del calore	k_V	1.20	1.20	1.20	1.20	W/(m ² × K)
Coefficiente di raffreddamento	K_V	1 000 000 000.00	1 000 000 000.00	1 000 000 000.00	1 000 000 000.00	
Temperatura dei prodotti della combustione all'ingresso del canale da fumo	T_{eV}	30.0	30.0	30.0	30.0	°C
Temperatura media dei prodotti della combustione nel canale da fumo	T_{mV}	30.0	30.0	30.0	30.0	°C
Temperatura dei prodotti della combustione all'uscita del canale da fumo	T_{oV}	30.0	30.0	30.0	30.0	°C
Camino (piano 2)	Simbolo	A	B	C	D	U.M.
Viscosità dinamica del gas di combustione	η_C	16.86	16.52	16.86	16.52	N x s/m ²
Coefficiente di conduttività termica del gas di combustione	λ_C	0.025	0.024	0.025	0.024	W/(m × K)
Capacità termica specifica del gas di combustione	C_{pC}	1 039.85	1 025.65	1 039.85	1 025.65	J/(kg × K)
Numero di Prandtl	Pr_C	0.700	0.710	0.700	0.710	
Massa volumica dei prodotti della combustione	ρ_{LC}	1.074	1.100	1.074	1.100	kg/m ³
Velocità dei prodotti della combustione	w_{mC}	1.19	0.83	1.19	0.83	m/s
Numero di Reynolds	Re_C	13 659	9 991	13 659	9 991	
Coefficiente di resistenza al flusso dovuta all'attrito per flusso idraulicamente irregolare	ψ_C	0.037	0.038	0.037	0.038	
Coefficiente di resistenza al flusso dovuta all'attrito per flusso idraulicamente regolare	$\psi_{liscioC}$	0.028	0.031	0.028	0.031	
Numero di Nusselt	Nu_C	49.0	36.8	49.0	36.8	
Coefficiente interno di trasmissione del calore	α_{iC}	6.81	4.91	6.81	4.91	W/(m ² × K)
Coefficiente di trasmissione del calore	k_C	1.66	1.46	1.66	1.46	W/(m ² × K)
Coefficiente di raffreddamento	K_C	0.08	0.10	0.08	0.10	
Temperatura dei prodotti della combustione all'ingresso del camino	T_{eC}	40.3	32.8	40.3	32.8	°C
Temperatura media dei prodotti della combustione nel camino	T_{mC}	39.6	32.3	39.6	32.3	°C
Temperatura dei prodotti della combustione all'uscita del camino	T_{oC}	38.8	31.7	38.8	31.7	°C

Temperatura della parete interna alla fine del segmento del camino in equilibrio termico	T_{lobC}	36.6	31.2	36.6	31.2	°C
Canale adduzione aria (piano 2)	Simbolo	A	B	C	D	U.M.
Viscosità dinamica dell'aria comburente	η_{BV}	16.71	16.71	16.71	16.71	N x s/m ²
Coefficiente di conduttività termica dell'aria comburente	λ_{BV}	0.025	0.025	0.025	0.025	W/(m x K)
Capacità termica specifica dell'aria comburente	C_{pBV}	1 005.00	1 005.00	1 005.00	1 005.00	J/(kg x K)
Numero di Prandtl	Pr_{BV}	0.670	0.670	0.670	0.670	
Massa volumica dell'aria comburente	ρ_{LBV}	1.086	1.086	1.086	1.086	kg/m ³
Velocità dell'aria comburente	w_{mBV}	0.00	0.00	0.00	0.00	m/s
Numero di Reynolds	Re_{BV}	2 300	2 300	2 300	2 300	
Coefficiente di resistenza al flusso dovuta all'attrito per flusso idraulicamente irregolare	ψ_{BV}	0.073	0.073	0.073	0.073	
Coefficiente di resistenza al flusso dovuta all'attrito per flusso idraulicamente regolare	$\psi_{liscioBV}$	0.047	0.047	0.047	0.047	
Numero di Nusselt	Nu_{BV}	10.1	10.1	10.1	10.1	
Temperatura dell'aria comburente all'ingresso del canale di adduzione aria	T_{eBV}	23.0	23.0	23.0	23.0	°C
Temperatura media dei prodotti della combustione nel canale da fumo	T_{mBV}	30.0	30.0	30.0	30.0	°C
Temperatura dell'aria comburente all'uscita del canale da fumo	T_{oBV}	37.0	37.0	37.0	37.0	°C
Condotto adduzione aria (piano 2)	Simbolo	A	B	C	D	U.M.
Viscosità dinamica dell'aria comburente	η_{BC}	16.39	16.39	16.39	16.39	N x s/m ²
Coefficiente di conduttività termica dell'aria comburente	λ_{BC}	0.024	0.024	0.024	0.024	W/(m x K)
Capacità termica specifica dell'aria comburente	C_{pBC}	1 005.00	1 005.00	1 005.00	1 005.00	J/(kg x K)
Numero di Prandtl	Pr_{BC}	0.670	0.670	0.670	0.670	
Massa volumica dell'aria comburente	ρ_{LBC}	1.137	1.137	1.137	1.137	kg/m ³
Velocità dell'aria comburente	w_{mBC}	1.00	0.72	1.00	0.72	m/s
Numero di Reynolds	Re_{BC}	4 852	3 478	4 852	3 478	
Coefficiente di resistenza al flusso dovuta all'attrito per flusso idraulicamente irregolare	ψ_{BC}	0.051	0.054	0.051	0.054	
Coefficiente di resistenza al flusso dovuta all'attrito per flusso idraulicamente regolare	$\psi_{liscioBC}$	0.038	0.042	0.038	0.042	
Numero di Nusselt	Nu_{BC}	19.1	13.6	19.1	13.6	

Temperatura dell'aria comburente all'ingresso del condotto di adduzione aria	T_{eBC}	20.3	20.4	20.3	20.4	°C
Temperatura media dei prodotti della combustione nel canale da fumo	T_{mBC}	21.6	21.7	21.6	21.7	°C
Temperatura dell'aria comburente all'uscita del camino	T_{oBC}	23.0	23.0	23.0	23.0	°C
Pressioni generali (piano 2)	Simbolo	A	B	C	D	U.M.
Pressione differenziale calcolata del generatore di calore	P_{WOC}	0.0	0.0	0.0	0.0	Pa
Effettiva resistenza alla pressione dell'aria comburente	P_B	3.4	0.1	3.4	0.1	Pa
Pressione generata dalla velocità del vento	P_L	0.0	0.0	0.0	0.0	Pa
Pressioni canale da fumo (piano 2)	Simbolo	A	B	C	D	U.M.
Resistenza alla pressione dovuta a resistenza di attrito e di forma del canale da fumo	P_{EV}	0.0	0.0	0.0	0.0	Pa
Differenza di pressione causata da variazione di velocità dei prodotti della combustione nel canale da fumo	P_{GV}	0.8	0.4	0.8	0.4	Pa
Resistenza alla pressione del canale da fumo	P_{RV}	0.2	0.1	0.2	0.1	Pa
Tiraggio teorico disponibile per effetto camino del canale da fumo	P_{HV}	0.0	0.0	0.0	0.0	Pa
Resistenza effettiva alla pressione del canale da fumo	P_{FV}	0.2	0.1	0.2	0.1	Pa
Pressione differenziale massima all'entrata dei prodotti della combustione nel camino	P_{ZOeV}	-3.6	-0.2	-3.6	-0.2	Pa
Pressioni camino (piano 2)	Simbolo	A	B	C	D	U.M.
Resistenza alla pressione dovuta a resistenza di attrito e di forma del camino	P_{EC}	0.5	0.2	0.5	0.2	Pa
Differenza di pressione causata da variazione di velocità dei prodotti della combustione nel camino	P_{GC}	0.0	0.0	0.0	0.0	Pa
Tiraggio teorico disponibile per effetto camino	P_{HC}	1.0	0.3	1.0	0.3	Pa
Resistenza alla pressione del camino	P_{RC}	0.6	0.3	0.6	0.3	Pa
Pressioni canale adduzione aria (piano 2)	Simbolo	A	B	C	D	U.M.
Tiraggio per effetto camino nel tubo di collegamento per l'alimentazione di aria	P_{HBV}	0.0	0.0	0.0	0.0	Pa
Variazione di pressione dovuta alla variazione di velocità del flusso nel tubo di collegamento per l'alimentazione di aria	P_{GBV}	-0.6	-0.3	-0.6	-0.3	Pa
Resistenza alla pressione del tubo di collegamento per l'alimentazione di aria	P_{RBV}	0.1	0.1	0.1	0.1	Pa
Pressioni condotto adduzione aria (piano 2)	Simbolo	A	B	C	D	U.M.
Tiraggio per effetto camino nel condotto per l'alimentazione di aria	P_{HBC}	-0.9	-0.9	-0.9	-0.9	Pa
Variazione di pressione dovuta alla variazione di velocità del flusso nel condotto per l'alimentazione di aria	P_{GBC}	0.0	0.0	0.0	0.0	Pa
Resistenza alla pressione del condotto per l'alimentazione di aria	P_{RBC}	1.5	0.8	1.5	0.8	Pa

Canale da fumo (piano 3)	Simbolo	A	B	C	D	U.M.
Portata massica dei prodotti della combustione	m_{wV}	0.00000	0.00000	0.00000	0.00000	kg/s
Portata massica calcolata dei prodotti della combustione	m_{wcV}	0.00000	0.00000	0.00000	0.00000	kg/s
Costante dei gas dei prodotti della combustione	R_V	288.00	288.00	288.00	288.00	J/(kg × K)
Viscosità dinamica del gas di combustione	η_V	16.39	16.39	16.39	16.39	N × s/m ²
Coefficiente di conduttività termica del gas di combustione	λ_V	0.024	0.024	0.024	0.024	W/(m × K)
Capacità termica specifica del gas di combustione	C_{pV}	1 005.00	1 005.00	1 005.00	1 005.00	J/(kg × K)
Numero di Prandtl	Pr_V	0.690	0.690	0.690	0.690	
Massa volumica dei prodotti della combustione	ρ_{LV}	1.111	1.111	1.111	1.111	kg/m ³
Velocità dei prodotti della combustione	w_{mV}	0.00	0.00	0.00	0.00	m/s
Numero di Reynolds	Re_V	2 711	2 711	2 711	2 711	
Coefficiente di resistenza al flusso dovuta all'attrito per flusso idraulicamente irregolare	ψ_V	0.055	0.055	0.055	0.055	
Coefficiente di resistenza al flusso dovuta all'attrito per flusso idraulicamente regolare	$\psi_{liscioV}$	0.045	0.045	0.045	0.045	
Numero di Nusselt	Nu_V	11.0	11.0	11.0	11.0	
Coefficiente interno di trasmissione del calore	α_{iV}	4.00	4.00	4.00	4.00	W/(m ² × K)
Coefficiente di trasmissione del calore	k_V	1.20	1.20	1.20	1.20	W/(m ² × K)
Coefficiente di raffreddamento	K_V	1 000 000 000.00	1 000 000 000.00	1 000 000 000.00	1 000 000 000.00	
Temperatura dei prodotti della combustione all'ingresso del canale da fumo	T_{eV}	30.0	30.0	30.0	30.0	°C
Temperatura media dei prodotti della combustione nel canale da fumo	T_{mV}	30.0	30.0	30.0	30.0	°C
Temperatura dei prodotti della combustione all'uscita del canale da fumo	T_{oV}	30.0	30.0	30.0	30.0	°C
Camino (piano 3)	Simbolo	A	B	C	D	U.M.
Viscosità dinamica del gas di combustione	η_C	16.79	16.47	16.79	16.47	N × s/m ²
Coefficiente di conduttività termica del gas di combustione	λ_C	0.025	0.024	0.025	0.024	W/(m × K)
Capacità termica specifica del gas di combustione	C_{pC}	1 039.68	1 025.55	1 039.68	1 025.55	J/(kg × K)
Numero di Prandtl	Pr_C	0.700	0.700	0.700	0.700	
Massa volumica dei prodotti della combustione	ρ_{LC}	1.079	1.104	1.079	1.104	kg/m ³

Velocità dei prodotti della combustione	w_{mC}	1.19	0.83	1.19	0.83	m/s
Numero di Reynolds	Re_C	13 716	10 021	13 716	10 021	
Coefficiente di resistenza al flusso dovuta all'attrito per flusso idraulicamente irregolare	ψ_C	0.037	0.038	0.037	0.038	
Coefficiente di resistenza al flusso dovuta all'attrito per flusso idraulicamente regolare	$\psi_{liscioC}$	0.028	0.031	0.028	0.031	
Numero di Nusselt	Nu_C	49.2	36.7	49.2	36.7	
Coefficiente interno di trasmissione del calore	α_C	6.83	4.89	6.83	4.89	W/(m ² × K)
Coefficiente di trasmissione del calore	k_C	1.66	1.45	1.66	1.45	W/(m ² × K)
Coefficiente di raffreddamento	K_C	0.08	0.10	0.08	0.10	
Temperatura dei prodotti della combustione all'ingresso del camino	T_{eC}	38.8	31.7	38.8	31.7	°C
Temperatura media dei prodotti della combustione nel camino	T_{mC}	38.1	31.2	38.1	31.2	°C
Temperatura dei prodotti della combustione all'uscita del camino	T_{oC}	37.5	30.8	37.5	30.8	°C
Temperatura della parete interna alla fine del segmento del camino in equilibrio termico	T_{iobC}	35.5	30.5	35.5	30.5	°C
Canale adduzione aria (piano 3)	Simbolo	A	B	C	D	U.M.
Viscosità dinamica dell'aria comburente	η_{BV}	16.71	16.71	16.71	16.71	N x s/m ²
Coefficiente di conduttività termica dell'aria comburente	λ_{BV}	0.025	0.025	0.025	0.025	W/(m × K)
Capacità termica specifica dell'aria comburente	C_{pBV}	1 005.00	1 005.00	1 005.00	1 005.00	J/(kg × K)
Numero di Prandtl	Pr_{BV}	0.670	0.670	0.670	0.670	
Massa volumica dell'aria comburente	ρ_{LBV}	1.086	1.086	1.086	1.086	kg/m ³
Velocità dell'aria comburente	w_{mBV}	0.00	0.00	0.00	0.00	m/s
Numero di Reynolds	Re_{BV}	2 300	2 300	2 300	2 300	
Coefficiente di resistenza al flusso dovuta all'attrito per flusso idraulicamente irregolare	ψ_{BV}	0.073	0.073	0.073	0.073	
Coefficiente di resistenza al flusso dovuta all'attrito per flusso idraulicamente regolare	$\psi_{liscioBV}$	0.047	0.047	0.047	0.047	
Numero di Nusselt	Nu_{BV}	10.1	10.1	10.1	10.1	
Temperatura dell'aria comburente all'ingresso del canale di adduzione aria	T_{eBV}	23.0	23.0	23.0	23.0	°C
Temperatura media dei prodotti della combustione nel canale da fumo	T_{mBV}	30.0	30.0	30.0	30.0	°C
Temperatura dell'aria comburente all'uscita del canale da fumo	T_{oBV}	37.0	37.0	37.0	37.0	°C

Condotto adduzione aria (piano 3)	Simbolo	A	B	C	D	U.M.
Viscosità dinamica dell'aria comburente	η_{BC}	16.39	16.39	16.39	16.39	N x s/m ²
Coefficiente di conduttività termica dell'aria comburente	λ_{BC}	0.024	0.024	0.024	0.024	W/(m x K)
Capacità termica specifica dell'aria comburente	C_{pBC}	1 005.00	1 005.00	1 005.00	1 005.00	J/(kg x K)
Numero di Prandtl	Pr_{BC}	0.670	0.670	0.670	0.670	
Massa volumica dell'aria comburente	ρ_{LBC}	1.137	1.137	1.137	1.137	kg/m ³
Velocità dell'aria comburente	w_{mBC}	1.00	0.72	1.00	0.72	m/s
Numero di Reynolds	Re_{BC}	4 852	3 478	4 852	3 478	
Coefficiente di resistenza al flusso dovuta all'attrito per flusso idraulicamente irregolare	ψ_{BC}	0.051	0.054	0.051	0.054	
Coefficiente di resistenza al flusso dovuta all'attrito per flusso idraulicamente regolare	$\psi_{liscioBC}$	0.038	0.042	0.038	0.042	
Numero di Nusselt	Nu_{BC}	19.1	13.6	19.1	13.6	
Temperatura dell'aria comburente all'ingresso del condotto di adduzione aria	T_{eBC}	20.4	20.6	20.4	20.6	°C
Temperatura media dei prodotti della combustione nel canale da fumo	T_{mBC}	21.7	21.8	21.7	21.8	°C
Temperatura dell'aria comburente all'uscita del camino	T_{oBC}	23.0	23.0	23.0	23.0	°C
Pressioni generali (piano 3)	Simbolo	A	B	C	D	U.M.
Pressione differenziale calcolata del generatore di calore	P_{WOC}	0.0	0.0	0.0	0.0	Pa
Effettiva resistenza alla pressione dell'aria comburente	P_B	2.7	0.2	2.7	0.2	Pa
Pressione generata dalla velocità del vento	P_L	0.0	0.0	0.0	0.0	Pa
Pressioni canale da fumo (piano 3)	Simbolo	A	B	C	D	U.M.
Resistenza alla pressione dovuta a resistenza di attrito e di forma del canale da fumo	P_{EV}	0.0	0.0	0.0	0.0	Pa
Differenza di pressione causata da variazione di velocità dei prodotti della combustione nel canale da fumo	P_{GV}	0.8	0.4	0.8	0.4	Pa
Resistenza alla pressione del canale da fumo	P_{RV}	0.2	0.1	0.2	0.1	Pa
Tiraggio teorico disponibile per effetto camino del canale da fumo	P_{HV}	0.0	0.0	0.0	0.0	Pa
Resistenza effettiva alla pressione del canale da fumo	P_{FV}	0.2	0.1	0.2	0.1	Pa
Pressione differenziale massima all'entrata dei prodotti della combustione nel camino	P_{ZoeV}	-2.9	-0.3	-2.9	-0.3	Pa
Pressioni camino (piano 3)	Simbolo	A	B	C	D	U.M.
Resistenza alla pressione dovuta a resistenza di attrito e di forma del camino	P_{EC}	0.5	0.2	0.5	0.2	Pa

Differenza di pressione causata da variazione di velocità dei prodotti della combustione nel camino	P_{GC}	0.0	0.0	0.0	0.0	Pa
Tiraggio teorico disponibile per effetto camino	P_{HC}	0.9	0.1	0.9	0.1	Pa
Resistenza alla pressione del camino	P_{RC}	0.6	0.3	0.6	0.3	Pa
Pressioni canale adduzione aria (piano 3)	Simbolo	A	B	C	D	U.M.
Tiraggio per effetto camino nel tubo di collegamento per l'alimentazione di aria	P_{HBV}	0.0	0.0	0.0	0.0	Pa
Variazione di pressione dovuta alla variazione di velocità del flusso nel tubo di collegamento per l'alimentazione di aria	P_{GBV}	-0.6	-0.3	-0.6	-0.3	Pa
Resistenza alla pressione del tubo di collegamento per l'alimentazione di aria	P_{RBV}	0.1	0.1	0.1	0.1	Pa
Pressioni condotto adduzione aria (piano 3)	Simbolo	A	B	C	D	U.M.
Tiraggio per effetto camino nel condotto per l'alimentazione di aria	P_{HBC}	-0.9	-0.9	-0.9	-0.9	Pa
Variazione di pressione dovuta alla variazione di velocità del flusso nel condotto per l'alimentazione di aria	P_{GBC}	0.0	0.0	0.0	0.0	Pa
Resistenza alla pressione del condotto per l'alimentazione di aria	P_{RBC}	1.5	0.8	1.5	0.8	Pa
Canale da fumo (piano 4)	Simbolo	A	B	C	D	U.M.
Portata massica dei prodotti della combustione	m_{wV}	0.00000	0.00000	0.00000	0.00000	kg/s
Portata massica calcolata dei prodotti della combustione	m_{wcV}	0.00000	0.00000	0.00000	0.00000	kg/s
Costante dei gas dei prodotti della combustione	R_V	288.00	288.00	288.00	288.00	J/(kg × K)
Viscosità dinamica del gas di combustione	η_V	16.39	16.39	16.39	16.39	N x s/m ²
Coefficiente di conduttività termica del gas di combustione	λ_V	0.024	0.024	0.024	0.024	W/(m × K)
Capacità termica specifica del gas di combustione	C_{pV}	1 005.00	1 005.00	1 005.00	1 005.00	J/(kg × K)
Numero di Prandtl	Pr_V	0.690	0.690	0.690	0.690	
Massa volumica dei prodotti della combustione	ρ_{LV}	1.111	1.111	1.111	1.111	kg/m ³
Velocità dei prodotti della combustione	w_{mV}	0.00	0.00	0.00	0.00	m/s
Numero di Reynolds	Re_V	2 711	2 711	2 711	2 711	
Coefficiente di resistenza al flusso dovuta all'attrito per flusso idraulicamente irregolare	ψ_V	0.055	0.055	0.055	0.055	
Coefficiente di resistenza al flusso dovuta all'attrito per flusso idraulicamente regolare	$\psi_{liscioV}$	0.045	0.045	0.045	0.045	
Numero di Nusselt	Nu_V	11.0	11.0	11.0	11.0	
Coefficiente interno di trasmissione del calore	α_{iV}	4.00	4.00	4.00	4.00	W/(m ² × K)
Coefficiente di trasmissione del calore	k_V	1.20	1.20	1.20	1.20	W/(m ² × K)

Coefficiente di raffreddamento	K_V	1 000 000 000.00	1 000 000 000.00	1 000 000 000.00	1 000 000 000.00	
Temperatura dei prodotti della combustione all'ingresso del canale da fumo	T_{eV}	30.0	30.0	30.0	30.0	°C
Temperatura media dei prodotti della combustione nel canale da fumo	T_{mV}	30.0	30.0	30.0	30.0	°C
Temperatura dei prodotti della combustione all'uscita del canale da fumo	T_{oV}	30.0	30.0	30.0	30.0	°C
Camino (piano 4)	Simbolo	A	B	C	D	U.M.
Viscosità dinamica del gas di combustione	η_C	16.73	16.43	16.73	16.43	N x s/m ²
Coefficiente di conduttività termica del gas di combustione	λ_C	0.025	0.024	0.025	0.024	W/(m x K)
Capacità termica specifica del gas di combustione	C_{pC}	1 039.53	1 025.47	1 039.53	1 025.47	J/(kg x K)
Numero di Prandtl	Pr_C	0.700	0.700	0.700	0.700	
Massa volumica dei prodotti della combustione	ρ_{LC}	1.083	1.108	1.083	1.108	kg/m ³
Velocità dei prodotti della combustione	w_{mC}	1.18	0.83	1.18	0.83	m/s
Numero di Reynolds	Re_C	13 766	10 046	13 766	10 046	
Coefficiente di resistenza al flusso dovuta all'attrito per flusso idraulicamente irregolare	ψ_C	0.037	0.038	0.037	0.038	
Coefficiente di resistenza al flusso dovuta all'attrito per flusso idraulicamente regolare	ψ_{iscioC}	0.028	0.031	0.028	0.031	
Numero di Nusselt	Nu_C	49.4	36.8	49.4	36.8	
Coefficiente interno di trasmissione del calore	α_{IC}	6.85	4.91	6.85	4.91	W/(m ² x K)
Coefficiente di trasmissione del calore	k_C	1.66	1.46	1.66	1.46	W/(m ² x K)
Coefficiente di raffreddamento	K_C	0.08	0.10	0.08	0.10	
Temperatura dei prodotti della combustione all'ingresso del camino	T_{eC}	37.5	30.8	37.5	30.8	°C
Temperatura media dei prodotti della combustione nel camino	T_{mC}	36.8	30.3	36.8	30.3	°C
Temperatura dei prodotti della combustione all'uscita del camino	T_{oC}	36.2	29.9	36.2	29.9	°C
Temperatura della parete interna alla fine del segmento del camino in equilibrio termico	T_{iobC}	34.6	29.9	34.6	29.9	°C
Canale adduzione aria (piano 4)	Simbolo	A	B	C	D	U.M.
Viscosità dinamica dell'aria comburente	η_{BV}	16.71	16.71	16.71	16.71	N x s/m ²
Coefficiente di conduttività termica dell'aria comburente	λ_{BV}	0.025	0.025	0.025	0.025	W/(m x K)
Capacità termica specifica dell'aria comburente	C_{pBV}	1 005.00	1 005.00	1 005.00	1 005.00	J/(kg x K)

Numero di Prandtl	Pr_{BV}	0.670	0.670	0.670	0.670	
Massa volumica dell'aria comburente	ρ_{LBV}	1.086	1.086	1.086	1.086	kg/m³
Velocità dell'aria comburente	w_{mBV}	0.00	0.00	0.00	0.00	m/s
Numero di Reynolds	Re_{BV}	2 300	2 300	2 300	2 300	
Coefficiente di resistenza al flusso dovuta all'attrito per flusso idraulicamente irregolare	ψ_{BV}	0.073	0.073	0.073	0.073	
Coefficiente di resistenza al flusso dovuta all'attrito per flusso idraulicamente regolare	$\psi_{liscioBV}$	0.047	0.047	0.047	0.047	
Numero di Nusselt	Nu_{BV}	10.1	10.1	10.1	10.1	
Temperatura dell'aria comburente all'ingresso del canale di adduzione aria	T_{eBV}	23.0	23.0	23.0	23.0	°C
Temperatura media dei prodotti della combustione nel canale da fumo	T_{mBV}	30.0	30.0	30.0	30.0	°C
Temperatura dell'aria comburente all'uscita del canale da fumo	T_{oBV}	37.0	37.0	37.0	37.0	°C
Condotto adduzione aria (piano 4)	Simbolo	A	B	C	D	U.M.
Viscosità dinamica dell'aria comburente	η_{BC}	16.39	16.39	16.39	16.39	N x s/m²
Coefficiente di conduttività termica dell'aria comburente	λ_{BC}	0.024	0.024	0.024	0.024	W/(m x K)
Capacità termica specifica dell'aria comburente	C_{pBC}	1 005.00	1 005.00	1 005.00	1 005.00	J/(kg x K)
Numero di Prandtl	Pr_{BC}	0.670	0.670	0.670	0.670	
Massa volumica dell'aria comburente	ρ_{LBC}	1.137	1.137	1.137	1.137	kg/m³
Velocità dell'aria comburente	w_{mBC}	1.00	0.72	1.00	0.72	m/s
Numero di Reynolds	Re_{BC}	4 852	3 478	4 852	3 478	
Coefficiente di resistenza al flusso dovuta all'attrito per flusso idraulicamente irregolare	ψ_{BC}	0.051	0.054	0.051	0.054	
Coefficiente di resistenza al flusso dovuta all'attrito per flusso idraulicamente regolare	$\psi_{liscioBC}$	0.038	0.042	0.038	0.042	
Numero di Nusselt	Nu_{BC}	19.1	13.6	19.1	13.6	
Temperatura dell'aria comburente all'ingresso del condotto di adduzione aria	T_{eBC}	20.6	20.7	20.6	20.7	°C
Temperatura media dei prodotti della combustione nel canale da fumo	T_{mBC}	21.8	21.8	21.8	21.8	°C
Temperatura dell'aria comburente all'uscita del camino	T_{oBC}	23.0	23.0	23.0	23.0	°C
Pressioni generali (piano 4)	Simbolo	A	B	C	D	U.M.
Pressione differenziale calcolata del generatore di calore	P_{WOC}	0.0	0.0	0.0	0.0	Pa

Effettiva resistenza alla pressione dell'aria comburente	P_B	2.1	0.3	2.1	0.3	Pa
Pressione generata dalla velocità del vento	P_L	0.0	0.0	0.0	0.0	Pa
Pressioni canale da fumo (piano 4)	Simbolo	A	B	C	D	U.M.
Resistenza alla pressione dovuta a resistenza di attrito e di forma del canale da fumo	P_{EV}	0.0	0.0	0.0	0.0	Pa
Differenza di pressione causata da variazione di velocità dei prodotti della combustione nel canale da fumo	P_{GV}	0.8	0.4	0.8	0.4	Pa
Resistenza alla pressione del canale da fumo	P_{RV}	0.2	0.1	0.2	0.1	Pa
Tiraggio teorico disponibile per effetto camino del canale da fumo	P_{HV}	0.0	0.0	0.0	0.0	Pa
Resistenza effettiva alla pressione del canale da fumo	P_{FV}	0.2	0.1	0.2	0.1	Pa
Pressione differenziale massima all'entrata dei prodotti della combustione nel camino	P_{ZOeV}	-2.3	-0.4	-2.3	-0.4	Pa
Pressioni camino (piano 4)	Simbolo	A	B	C	D	U.M.
Resistenza alla pressione dovuta a resistenza di attrito e di forma del camino	P_{EC}	0.5	0.2	0.5	0.2	Pa
Differenza di pressione causata da variazione di velocità dei prodotti della combustione nel camino	P_{GC}	0.0	0.0	0.0	0.0	Pa
Tiraggio teorico disponibile per effetto camino	P_{HC}	0.7	0.0	0.7	0.0	Pa
Resistenza alla pressione del camino	P_{RC}	0.6	0.3	0.6	0.3	Pa
Pressioni canale adduzione aria (piano 4)	Simbolo	A	B	C	D	U.M.
Tiraggio per effetto camino nel tubo di collegamento per l'alimentazione di aria	P_{HBV}	0.0	0.0	0.0	0.0	Pa
Variazione di pressione dovuta alla variazione di velocità del flusso nel tubo di collegamento per l'alimentazione di aria	P_{GBV}	-0.6	-0.3	-0.6	-0.3	Pa
Resistenza alla pressione del tubo di collegamento per l'alimentazione di aria	P_{RBV}	0.1	0.1	0.1	0.1	Pa
Pressioni condotto adduzione aria (piano 4)	Simbolo	A	B	C	D	U.M.
Tiraggio per effetto camino nel condotto per l'alimentazione di aria	P_{HBC}	-0.9	-0.9	-0.9	-0.9	Pa
Variazione di pressione dovuta alla variazione di velocità del flusso nel condotto per l'alimentazione di aria	P_{GBC}	0.0	0.0	0.0	0.0	Pa
Resistenza alla pressione del condotto per l'alimentazione di aria	P_{RBC}	1.5	0.8	1.5	0.8	Pa
Canale da fumo (piano 5)	Simbolo	A	B	C	D	U.M.
Portata massica dei prodotti della combustione	m_{wV}	0.00000	0.00000	0.00000	0.00000	kg/s
Portata massica calcolata dei prodotti della combustione	m_{wcV}	0.00000	0.00000	0.00000	0.00000	kg/s
Costante dei gas dei prodotti della combustione	R_V	288.00	288.00	288.00	288.00	J/(kg × K)
Viscosità dinamica del gas di combustione	η_V	16.39	16.39	16.39	16.39	N x s/m²

Coefficiente di conduttività termica del gas di combustione	λ_V	0.024	0.024	0.024	0.024	W/(m × K)
Capacità termica specifica del gas di combustione	C_{pV}	1 005.00	1 005.00	1 005.00	1 005.00	J/(kg × K)
Numero di Prandtl	Pr_V	0.690	0.690	0.690	0.690	
Massa volumica dei prodotti della combustione	ρ_{LV}	1.111	1.111	1.111	1.111	kg/m³
Velocità dei prodotti della combustione	w_{mV}	0.00	0.00	0.00	0.00	m/s
Numero di Reynolds	Re_V	2 711	2 711	2 711	2 711	
Coefficiente di resistenza al flusso dovuta all'attrito per flusso idraulicamente irregolare	ψ_V	0.055	0.055	0.055	0.055	
Coefficiente di resistenza al flusso dovuta all'attrito per flusso idraulicamente regolare	$\psi_{liscioV}$	0.045	0.045	0.045	0.045	
Numero di Nusselt	Nu_V	11.0	11.0	11.0	11.0	
Coefficiente interno di trasmissione del calore	α_V	4.00	4.00	4.00	4.00	W/(m² × K)
Coefficiente di trasmissione del calore	k_V	1.20	1.20	1.20	1.20	W/(m² × K)
Coefficiente di raffreddamento	K_V	1 000 000 000.00	1 000 000 000.00	1 000 000 000.00	1 000 000 000.00	
Temperatura dei prodotti della combustione all'ingresso del canale da fumo	T_{eV}	30.0	30.0	30.0	30.0	°C
Temperatura media dei prodotti della combustione nel canale da fumo	T_{mV}	30.0	30.0	30.0	30.0	°C
Temperatura dei prodotti della combustione all'uscita del canale da fumo	T_{oV}	30.0	30.0	30.0	30.0	°C
Camino (piano 5)	Simbolo	A	B	C	D	U.M.
Viscosità dinamica del gas di combustione	η_C	16.68	16.39	16.68	16.39	N x s/m²
Coefficiente di conduttività termica del gas di combustione	λ_C	0.025	0.024	0.025	0.024	W/(m × K)
Capacità termica specifica del gas di combustione	C_{pC}	1 039.39	1 025.39	1 039.39	1 025.39	J/(kg × K)
Numero di Prandtl	Pr_C	0.690	0.700	0.690	0.700	
Massa volumica dei prodotti della combustione	ρ_{LC}	1.088	1.111	1.088	1.111	kg/m³
Velocità dei prodotti della combustione	w_{mC}	1.18	0.83	1.18	0.83	m/s
Numero di Reynolds	Re_C	13 807	10 070	13 807	10 070	
Coefficiente di resistenza al flusso dovuta all'attrito per flusso idraulicamente irregolare	ψ_C	0.037	0.038	0.037	0.038	
Coefficiente di resistenza al flusso dovuta all'attrito per flusso idraulicamente regolare	$\psi_{liscioC}$	0.028	0.031	0.028	0.031	
Numero di Nusselt	Nu_C	49.2	36.9	49.2	36.9	

Coefficiente interno di trasmissione del calore	α_{iC}	6.83	4.92	6.83	4.92	W/(m ² × K)
Coefficiente di trasmissione del calore	k_C	1.66	1.46	1.66	1.46	W/(m ² × K)
Coefficiente di raffreddamento	K_C	0.08	0.10	0.08	0.10	
Temperatura dei prodotti della combustione all'ingresso del camino	T_{eC}	36.2	29.9	36.2	29.9	°C
Temperatura media dei prodotti della combustione nel camino	T_{mC}	35.6	29.5	35.6	29.5	°C
Temperatura dei prodotti della combustione all'uscita del camino	T_{oC}	35.1	29.1	35.1	29.1	°C
Temperatura della parete interna alla fine del segmento del camino in equilibrio termico	T_{iobC}	33.8	29.4	33.8	29.4	°C
Canale adduzione aria (piano 5)	Simbolo	A	B	C	D	U.M.
Viscosità dinamica dell'aria comburente	η_{BV}	16.71	16.71	16.71	16.71	N x s/m ²
Coefficiente di conduttività termica dell'aria comburente	λ_{BV}	0.025	0.025	0.025	0.025	W/(m × K)
Capacità termica specifica dell'aria comburente	C_{pBV}	1 005.00	1 005.00	1 005.00	1 005.00	J/(kg × K)
Numero di Prandtl	Pr_{BV}	0.670	0.670	0.670	0.670	
Massa volumica dell'aria comburente	ρ_{LBV}	1.086	1.086	1.086	1.086	kg/m ³
Velocità dell'aria comburente	w_{mBV}	0.00	0.00	0.00	0.00	m/s
Numero di Reynolds	Re_{BV}	2 300	2 300	2 300	2 300	
Coefficiente di resistenza al flusso dovuta all'attrito per flusso idraulicamente irregolare	ψ_{BV}	0.073	0.073	0.073	0.073	
Coefficiente di resistenza al flusso dovuta all'attrito per flusso idraulicamente regolare	$\psi_{liscioBV}$	0.047	0.047	0.047	0.047	
Numero di Nusselt	Nu_{BV}	10.1	10.1	10.1	10.1	
Temperatura dell'aria comburente all'ingresso del canale di adduzione aria	T_{eBV}	23.0	23.0	23.0	23.0	°C
Temperatura media dei prodotti della combustione nel canale da fumo	T_{mBV}	30.0	30.0	30.0	30.0	°C
Temperatura dell'aria comburente all'uscita del canale da fumo	T_{oBV}	37.0	37.0	37.0	37.0	°C
Condotto adduzione aria (piano 5)	Simbolo	A	B	C	D	U.M.
Viscosità dinamica dell'aria comburente	η_{BC}	16.39	16.39	16.39	16.39	N x s/m ²
Coefficiente di conduttività termica dell'aria comburente	λ_{BC}	0.024	0.024	0.024	0.024	W/(m × K)
Capacità termica specifica dell'aria comburente	C_{pBC}	1 005.00	1 005.00	1 005.00	1 005.00	J/(kg × K)
Numero di Prandtl	Pr_{BC}	0.670	0.670	0.670	0.670	

Massa volumica dell'aria comburente	ρ_{LBC}	1.137	1.137	1.137	1.137	kg/m³
Velocità dell'aria comburente	w_{mBC}	1.00	0.72	1.00	0.72	m/s
Numero di Reynolds	Re_{BC}	4 852	3 478	4 852	3 478	
Coefficiente di resistenza al flusso dovuta all'attrito per flusso idraulicamente irregolare	ψ_{BC}	0.051	0.054	0.051	0.054	
Coefficiente di resistenza al flusso dovuta all'attrito per flusso idraulicamente regolare	$\psi_{liscioBC}$	0.038	0.042	0.038	0.042	
Numero di Nusselt	Nu_{BC}	19.1	13.6	19.1	13.6	
Temperatura dell'aria comburente all'ingresso del condotto di adduzione aria	T_{eBC}	20.7	20.8	20.7	20.8	°C
Temperatura media dei prodotti della combustione nel canale da fumo	T_{mBC}	21.8	21.9	21.8	21.9	°C
Temperatura dell'aria comburente all'uscita del camino	T_{oBC}	23.0	23.0	23.0	23.0	°C
Pressioni generali (piano 5)	Simbolo	A	B	C	D	U.M.
Pressione differenziale calcolata del generatore di calore	P_{WOC}	0.0	0.0	0.0	0.0	Pa
Effettiva resistenza alla pressione dell'aria comburente	P_B	1.4	0.3	1.4	0.3	Pa
Pressione generata dalla velocità del vento	P_L	0.0	0.0	0.0	0.0	Pa
Pressioni canale da fumo (piano 5)	Simbolo	A	B	C	D	U.M.
Resistenza alla pressione dovuta a resistenza di attrito e di forma del canale da fumo	P_{EV}	0.0	0.0	0.0	0.0	Pa
Differenza di pressione causata da variazione di velocità dei prodotti della combustione nel canale da fumo	P_{GV}	0.8	0.4	0.8	0.4	Pa
Resistenza alla pressione del canale da fumo	P_{RV}	0.2	0.1	0.2	0.1	Pa
Tiraggio teorico disponibile per effetto camino del canale da fumo	P_{HV}	0.0	0.0	0.0	0.0	Pa
Resistenza effettiva alla pressione del canale da fumo	P_{FV}	0.2	0.1	0.2	0.1	Pa
Pressione differenziale massima all'entrata dei prodotti della combustione nel camino	P_{ZoeV}	-1.6	-0.4	-1.6	-0.4	Pa
Pressioni camino (piano 5)	Simbolo	A	B	C	D	U.M.
Resistenza alla pressione dovuta a resistenza di attrito e di forma del camino	P_{EC}	0.5	0.2	0.5	0.2	Pa
Differenza di pressione causata da variazione di velocità dei prodotti della combustione nel camino	P_{GC}	0.0	0.0	0.0	0.0	Pa
Tiraggio teorico disponibile per effetto camino	P_{HC}	0.6	0.0	0.6	0.0	Pa
Resistenza alla pressione del camino	P_{RC}	0.6	0.3	0.6	0.3	Pa
Pressioni canale adduzione aria (piano 5)	Simbolo	A	B	C	D	U.M.
Tiraggio per effetto camino nel tubo di collegamento per l'alimentazione di aria	P_{HBV}	0.0	0.0	0.0	0.0	Pa

Variazione di pressione dovuta alla variazione di velocità del flusso nel tubo di collegamento per l'alimentazione di aria	P_{GBV}	-0.6	-0.3	-0.6	-0.3	Pa
Resistenza alla pressione del tubo di collegamento per l'alimentazione di aria	P_{RBV}	0.1	0.1	0.1	0.1	Pa
Pressioni condotto adduzione aria (piano 5)	Simbolo	A	B	C	D	U.M.
Tiraggio per effetto camino nel condotto per l'alimentazione di aria	P_{HBC}	-0.9	-0.9	-0.9	-0.9	Pa
Variazione di pressione dovuta alla variazione di velocità del flusso nel condotto per l'alimentazione di aria	P_{GBC}	0.6	0.3	0.6	0.3	Pa
Resistenza alla pressione del condotto per l'alimentazione di aria	P_{RBC}	2.2	1.2	2.2	1.2	Pa

Generatore 2 acceso e tutti gli altri spenti

Generali	Simbolo	A	B	C	D	U.M.
Costante dei gas dell'aria	R_L	288.00	288.00	288.00	288.00	J/(kg × K)
Pressione dell'aria esterna	p_L	96 967.3	96 967.3	96 967.3	96 967.3	Pa
Massa volumica dell'aria esterna	ρ_L	1.111	1.111	1.111	1.111	kg/m³
Canale da fumo (piano 1)	Simbolo	A	B	C	D	U.M.
Portata massica dei prodotti della combustione	m_{wV}	0.00000	0.00000	0.00000	0.00000	kg/s
Portata massica calcolata dei prodotti della combustione	m_{wcV}	0.00000	0.00000	0.00000	0.00000	kg/s
Costante dei gas dei prodotti della combustione	R_V	288.00	288.00	288.00	288.00	J/(kg × K)
Viscosità dinamica del gas di combustione	η_V	16.39	16.39	16.39	16.39	N x s/m²
Coefficiente di conduttività termica del gas di combustione	λ_V	0.024	0.024	0.024	0.024	W/(m × K)
Capacità termica specifica del gas di combustione	C_{pV}	1 005.00	1 005.00	1 005.00	1 005.00	J/(kg × K)
Numero di Prandtl	Pr_V	0.690	0.690	0.690	0.690	
Massa volumica dei prodotti della combustione	ρ_{LV}	1.111	1.111	1.111	1.111	kg/m³
Velocità dei prodotti della combustione	w_{mV}	0.00	0.00	0.00	0.00	m/s
Numero di Reynolds	Re_V	2 711	2 711	2 711	2 711	
Coefficiente di resistenza al flusso dovuta all'attrito per flusso idraulicamente irregolare	ψ_V	0.055	0.055	0.055	0.055	
Coefficiente di resistenza al flusso dovuta all'attrito per flusso idraulicamente regolare	$\psi_{liscioV}$	0.045	0.045	0.045	0.045	
Numero di Nusselt	Nu_V	11.0	11.0	11.0	11.0	
Coefficiente interno di trasmissione del calore	α_V	4.00	4.00	4.00	4.00	W/(m² × K)
Coefficiente di trasmissione del calore	k_V	1.20	1.20	1.20	1.20	W/(m² × K)
Coefficiente di raffreddamento	K_V	1 000 000 000.00	1 000 000 000.00	1 000 000 000.00	1 000 000 000.00	
Temperatura dei prodotti della combustione all'ingresso del canale da fumo	T_{eV}	30.0	30.0	30.0	30.0	°C
Temperatura media dei prodotti della combustione nel canale da fumo	T_{mV}	30.0	30.0	30.0	30.0	°C
Temperatura dei prodotti della combustione all'uscita del canale da fumo	T_{oV}	30.0	30.0	30.0	30.0	°C
Camino (piano 1)	Simbolo	A	B	C	D	U.M.

Viscosità dinamica del gas di combustione	η_C	16.39	16.39	16.39	16.39	N x s/m ²
Coefficiente di conduttività termica del gas di combustione	λ_C	0.024	0.024	0.024	0.024	W/(m x K)
Capacità termica specifica del gas di combustione	C_{pC}	1 012.77	1 012.77	1 012.77	1 012.77	J/(kg x K)
Numero di Prandtl	Pr_C	0.690	0.690	0.690	0.690	
Massa volumica dei prodotti della combustione	ρ_{LC}	1.111	1.111	1.111	1.111	kg/m ³
Velocità dei prodotti della combustione	w_{mC}	0.00	0.00	0.00	0.00	m/s
Numero di Reynolds	Re_C	6 099	6 099	6 099	6 099	
Coefficiente di resistenza al flusso dovuta all'attrito per flusso idraulicamente irregolare	ψ_C	0.042	0.042	0.042	0.042	
Coefficiente di resistenza al flusso dovuta all'attrito per flusso idraulicamente regolare	$\psi_{liscioC}$	0.035	0.035	0.035	0.035	
Numero di Nusselt	Nu_C	22.9	22.9	22.9	22.9	
Coefficiente interno di trasmissione del calore	α_C	4.00	4.00	4.00	4.00	W/(m ² x K)
Coefficiente di trasmissione del calore	k_C	1.29	1.29	1.29	1.29	W/(m ² x K)
Coefficiente di raffreddamento	K_C	1 000 000 000.00	1 000 000 000.00	1 000 000 000.00	1 000 000 000.00	
Temperatura dei prodotti della combustione all'ingresso del camino	T_{eC}	30.0	30.0	30.0	30.0	°C
Temperatura media dei prodotti della combustione nel camino	T_{mC}	30.0	30.0	30.0	30.0	°C
Temperatura dei prodotti della combustione all'uscita del camino	T_{oC}	30.0	30.0	30.0	30.0	°C
Temperatura della parete interna alla fine del segmento del camino in equilibrio termico	T_{iobC}	30.0	30.0	30.0	30.0	°C
Canale adduzione aria (piano 1)	Simbolo	A	B	C	D	U.M.
Viscosità dinamica dell'aria comburente	η_{BV}	16.71	16.71	16.71	16.71	N x s/m ²
Coefficiente di conduttività termica dell'aria comburente	λ_{BV}	0.025	0.025	0.025	0.025	W/(m x K)
Capacità termica specifica dell'aria comburente	C_{pBV}	1 005.00	1 005.00	1 005.00	1 005.00	J/(kg x K)
Numero di Prandtl	Pr_{BV}	0.670	0.670	0.670	0.670	
Massa volumica dell'aria comburente	ρ_{LBV}	1.086	1.086	1.086	1.086	kg/m ³
Velocità dell'aria comburente	w_{mBV}	0.00	0.00	0.00	0.00	m/s
Numero di Reynolds	Re_{BV}	2 300	2 300	2 300	2 300	
Coefficiente di resistenza al flusso dovuta all'attrito per flusso idraulicamente irregolare	ψ_{BV}	0.073	0.073	0.073	0.073	

Coefficiente di resistenza al flusso dovuta all'attrito per flusso idraulicamente regolare	ψ_{liscioBV}	0.047	0.047	0.047	0.047	
Numero di Nusselt	Nu_{BV}	10.1	10.1	10.1	10.1	
Temperatura dell'aria comburente all'ingresso del canale di adduzione aria	T_{eBV}	23.0	23.0	23.0	23.0	°C
Temperatura media dei prodotti della combustione nel canale da fumo	T_{mBV}	30.0	30.0	30.0	30.0	°C
Temperatura dell'aria comburente all'uscita del canale da fumo	T_{oBV}	37.0	37.0	37.0	37.0	°C
Condotto adduzione aria (piano 1)	Simbolo	A	B	C	D	U.M.
Viscosità dinamica dell'aria comburente	η_{BC}	16.39	16.39	16.39	16.39	N x s/m ²
Coefficiente di conduttività termica dell'aria comburente	λ_{BC}	0.024	0.024	0.024	0.024	W/(m x K)
Capacità termica specifica dell'aria comburente	C_{pBC}	1 005.00	1 005.00	1 005.00	1 005.00	J/(kg x K)
Numero di Prandtl	Pr_{BC}	0.670	0.670	0.670	0.670	
Massa volumica dell'aria comburente	ρ_{LBC}	1.137	1.137	1.137	1.137	kg/m ³
Velocità dell'aria comburente	w_{mBC}	0.00	0.00	0.00	0.00	m/s
Numero di Reynolds	Re_{BC}	2 420	2 420	2 420	2 420	
Coefficiente di resistenza al flusso dovuta all'attrito per flusso idraulicamente irregolare	ψ_{BC}	0.058	0.058	0.058	0.058	
Coefficiente di resistenza al flusso dovuta all'attrito per flusso idraulicamente regolare	ψ_{liscioBC}	0.047	0.047	0.047	0.047	
Numero di Nusselt	Nu_{BC}	9.3	9.3	9.3	9.3	
Temperatura dell'aria comburente all'ingresso del condotto di adduzione aria	T_{eBC}	37.0	37.0	37.0	37.0	°C
Temperatura media dei prodotti della combustione nel canale da fumo	T_{mBC}	30.0	30.0	30.0	30.0	°C
Temperatura dell'aria comburente all'uscita del camino	T_{oBC}	23.0	23.0	23.0	23.0	°C
Pressioni generali (piano 1)	Simbolo	A	B	C	D	U.M.
Pressione differenziale calcolata del generatore di calore	P_{WOc}	0.0	0.0	0.0	0.0	Pa
Effettiva resistenza alla pressione dell'aria comburente	P_{B}	3.2	0.1	3.2	0.1	Pa
Pressione generata dalla velocità del vento	P_{L}	0.0	0.0	0.0	0.0	Pa
Pressioni canale da fumo (piano 1)	Simbolo	A	B	C	D	U.M.
Resistenza alla pressione dovuta a resistenza di attrito e di forma del canale da fumo	P_{EV}	0.0	0.0	0.0	0.0	Pa
Differenza di pressione causata da variazione di velocità dei prodotti della combustione nel canale da fumo	P_{GV}	0.0	0.0	0.0	0.0	Pa
Resistenza alla pressione del canale da fumo	P_{RV}	0.0	0.0	0.0	0.0	Pa

Tiraggio teorico disponibile per effetto camino del canale da fumo	P_{HV}	0.0	0.0	0.0	0.0	Pa
Resistenza effettiva alla pressione del canale da fumo	P_{FV}	0.0	0.0	0.0	0.0	Pa
Pressione differenziale massima all'entrata dei prodotti della combustione nel camino	P_{ZOeV}	-3.2	-0.1	-3.2	-0.1	Pa
Pressioni camino (piano 1)	Simbolo	A	B	C	D	U.M.
Resistenza alla pressione dovuta a resistenza di attrito e di forma del camino	P_{EC}	0.0	0.0	0.0	0.0	Pa
Differenza di pressione causata da variazione di velocità dei prodotti della combustione nel camino	P_{GC}	0.8	0.4	0.8	0.4	Pa
Tiraggio teorico disponibile per effetto camino	P_{HC}	0.0	0.0	0.0	0.0	Pa
Resistenza alla pressione del camino	P_{RC}	1.8	0.9	1.8	0.9	Pa
Pressioni canale adduzione aria (piano 1)	Simbolo	A	B	C	D	U.M.
Tiraggio per effetto camino nel tubo di collegamento per l'alimentazione di aria	P_{HBV}	0.0	0.0	0.0	0.0	Pa
Variazione di pressione dovuta alla variazione di velocità del flusso nel tubo di collegamento per l'alimentazione di aria	P_{GBV}	0.0	0.0	0.0	0.0	Pa
Resistenza alla pressione del tubo di collegamento per l'alimentazione di aria	P_{RBV}	0.0	0.0	0.0	0.0	Pa
Pressioni condotto adduzione aria (piano 1)	Simbolo	A	B	C	D	U.M.
Tiraggio per effetto camino nel condotto per l'alimentazione di aria	P_{HBC}	0.0	0.0	0.0	0.0	Pa
Variazione di pressione dovuta alla variazione di velocità del flusso nel condotto per l'alimentazione di aria	P_{GBC}	-0.6	-0.3	-0.6	-0.3	Pa
Resistenza alla pressione del condotto per l'alimentazione di aria	P_{RBC}	-0.3	-0.2	-0.3	-0.2	Pa
Canale da fumo (piano 2)	Simbolo	A	B	C	D	U.M.
Portata massica dei prodotti della combustione	m_{wV}	0.01648	0.00859	0.01648	0.00859	kg/s
Portata massica calcolata dei prodotti della combustione	m_{wcV}	0.03262	0.02334	0.03262	0.02334	kg/s
Costante dei gas dei prodotti della combustione	R_V	288.35	288.23	288.35	288.23	J/(kg × K)
Viscosità dinamica del gas di combustione	η_V	16.94	16.57	16.94	16.57	N × s/m²
Coefficiente di conduttività termica del gas di combustione	λ_V	0.025	0.025	0.025	0.025	W/(m × K)
Capacità termica specifica del gas di combustione	C_{pV}	1 040.00	1 025.75	1 040.00	1 025.75	J/(kg × K)
Numero di Prandtl	Pr_V	0.700	0.680	0.700	0.680	
Massa volumica dei prodotti della combustione	ρ_{LV}	1.068	1.096	1.068	1.096	kg/m³
Velocità dei prodotti della combustione	w_{mV}	6.08	4.24	6.08	4.24	m/s
Numero di Reynolds	Re_V	30 643	22 418	30 643	22 418	

Coefficiente di resistenza al flusso dovuta all'attrito per flusso idraulicamente irregolare	ψ_V	0.043	0.043	0.043	0.043	
Coefficiente di resistenza al flusso dovuta all'attrito per flusso idraulicamente regolare	$\psi_{liscioV}$	0.023	0.025	0.023	0.025	
Numero di Nusselt	Nu_V	119.6	87.7	119.6	87.7	
Coefficiente interno di trasmissione del calore	α_{iV}	37.36	27.40	37.36	27.40	W/(m ² × K)
Coefficiente di trasmissione del calore	k_V	1.71	1.67	1.71	1.67	W/(m ² × K)
Coefficiente di raffreddamento	K_V	0.02	0.03	0.02	0.03	
Temperatura dei prodotti della combustione all'ingresso del canale da fumo	T_{eV}	42.0	34.0	42.0	34.0	°C
Temperatura media dei prodotti della combustione nel canale da fumo	T_{mV}	41.8	33.9	41.8	33.9	°C
Temperatura dei prodotti della combustione all'uscita del canale da fumo	T_{oV}	41.7	33.8	41.7	33.8	°C
Camino (piano 2)	Simbolo	A	B	C	D	U.M.
Viscosità dinamica del gas di combustione	η_C	16.92	16.56	16.92	16.56	N x s/m ²
Coefficiente di conduttività termica del gas di combustione	λ_C	0.025	0.024	0.025	0.024	W/(m × K)
Capacità termica specifica del gas di combustione	C_{pC}	1 039.96	1 025.73	1 039.96	1 025.73	J/(kg × K)
Numero di Prandtl	Pr_C	0.700	0.710	0.700	0.710	
Massa volumica dei prodotti della combustione	ρ_{LC}	1.069	1.097	1.069	1.097	kg/m ³
Velocità dei prodotti della combustione	w_{mC}	1.20	0.84	1.20	0.84	m/s
Numero di Reynolds	Re_C	13 635	9 970	13 635	9 970	
Coefficiente di resistenza al flusso dovuta all'attrito per flusso idraulicamente irregolare	ψ_C	0.037	0.038	0.037	0.038	
Coefficiente di resistenza al flusso dovuta all'attrito per flusso idraulicamente regolare	$\psi_{liscioC}$	0.028	0.031	0.028	0.031	
Numero di Nusselt	Nu_C	48.9	36.7	48.9	36.7	
Coefficiente interno di trasmissione del calore	α_{iC}	6.79	4.90	6.79	4.90	W/(m ² × K)
Coefficiente di trasmissione del calore	k_C	1.65	1.45	1.65	1.45	W/(m ² × K)
Coefficiente di raffreddamento	K_C	0.08	0.10	0.08	0.10	
Temperatura dei prodotti della combustione all'ingresso del camino	T_{eC}	41.7	33.8	41.7	33.8	°C
Temperatura media dei prodotti della combustione nel camino	T_{mC}	41.0	33.3	41.0	33.3	°C
Temperatura dei prodotti della combustione all'uscita del camino	T_{oC}	40.3	32.8	40.3	32.8	°C

Temperatura della parete interna alla fine del segmento del camino in equilibrio termico	T_{lobC}	37.7	31.9	37.7	31.9	°C
Canale adduzione aria (piano 2)	Simbolo	A	B	C	D	U.M.
Viscosità dinamica dell'aria comburente	η_{BV}	16.20	16.19	16.20	16.19	N x s/m ²
Coefficiente di conduttività termica dell'aria comburente	λ_{BV}	0.024	0.024	0.024	0.024	W/(m x K)
Capacità termica specifica dell'aria comburente	C_{pBV}	1 005.00	1 005.00	1 005.00	1 005.00	J/(kg x K)
Numero di Prandtl	Pr_{BV}	0.680	0.680	0.680	0.680	
Massa volumica dell'aria comburente	ρ_{LBV}	1.127	1.127	1.127	1.127	kg/m ³
Velocità dell'aria comburente	w_{mBV}	4.66	3.33	4.66	3.33	m/s
Numero di Reynolds	Re_{BV}	8 749	6 265	8 749	6 265	
Coefficiente di resistenza al flusso dovuta all'attrito per flusso idraulicamente irregolare	ψ_{BV}	0.065	0.067	0.065	0.067	
Coefficiente di resistenza al flusso dovuta all'attrito per flusso idraulicamente regolare	$\psi_{liscioBV}$	0.032	0.035	0.032	0.035	
Numero di Nusselt	Nu_{BV}	41.9	29.8	41.9	29.8	
Temperatura dell'aria comburente all'ingresso del canale di adduzione aria	T_{eBV}	25.3	25.1	25.3	25.1	°C
Temperatura media dei prodotti della combustione nel canale da fumo	T_{mBV}	25.5	25.3	25.5	25.3	°C
Temperatura dell'aria comburente all'uscita del canale da fumo	T_{oBV}	25.7	25.5	25.7	25.5	°C
Condotto adduzione aria (piano 2)	Simbolo	A	B	C	D	U.M.
Viscosità dinamica dell'aria comburente	η_{BC}	16.94	16.57	16.94	16.57	N x s/m ²
Coefficiente di conduttività termica dell'aria comburente	λ_{BC}	0.024	0.024	0.024	0.024	W/(m x K)
Capacità termica specifica dell'aria comburente	C_{pBC}	1 005.00	1 005.00	1 005.00	1 005.00	J/(kg x K)
Numero di Prandtl	Pr_{BC}	0.680	0.680	0.680	0.680	
Massa volumica dell'aria comburente	ρ_{LBC}	1.128	1.129	1.128	1.129	kg/m ³
Velocità dell'aria comburente	w_{mBC}	1.01	0.72	1.01	0.72	m/s
Numero di Reynolds	Re_{BC}	4 828	3 457	4 828	3 457	
Coefficiente di resistenza al flusso dovuta all'attrito per flusso idraulicamente irregolare	ψ_{BC}	0.051	0.054	0.051	0.054	
Coefficiente di resistenza al flusso dovuta all'attrito per flusso idraulicamente regolare	$\psi_{liscioBC}$	0.038	0.042	0.038	0.042	
Numero di Nusselt	Nu_{BC}	19.1	13.6	19.1	13.6	

Temperatura dell'aria comburente all'ingresso del condotto di adduzione aria	T_{eBC}	23.0	23.0	23.0	23.0	°C
Temperatura media dei prodotti della combustione nel canale da fumo	T_{mBC}	24.1	24.1	24.1	24.1	°C
Temperatura dell'aria comburente all'uscita del camino	T_{oBC}	25.3	25.1	25.3	25.1	°C
Pressioni generali (piano 2)	Simbolo	A	B	C	D	U.M.
Pressione differenziale calcolata del generatore di calore	P_{WOC}	106.2	54.3	106.2	54.3	Pa
Effettiva resistenza alla pressione dell'aria comburente	P_B	82.8	41.2	82.8	41.2	Pa
Pressione generata dalla velocità del vento	P_L	0.0	0.0	0.0	0.0	Pa
Pressioni canale da fumo (piano 2)	Simbolo	A	B	C	D	U.M.
Resistenza alla pressione dovuta a resistenza di attrito e di forma del canale da fumo	P_{EV}	20.6	10.4	20.6	10.4	Pa
Differenza di pressione causata da variazione di velocità dei prodotti della combustione nel canale da fumo	P_{GV}	-18.9	-9.5	-18.9	-9.5	Pa
Resistenza alla pressione del canale da fumo	P_{RV}	25.1	12.6	25.1	12.6	Pa
Tiraggio teorico disponibile per effetto camino del canale da fumo	P_{HV}	0.2	0.1	0.2	0.1	Pa
Resistenza effettiva alla pressione del canale da fumo	P_{FV}	24.9	12.5	24.9	12.5	Pa
Pressione differenziale massima all'entrata dei prodotti della combustione nel camino	P_{ZOeV}	-1.4	0.5	-1.4	0.5	Pa
Pressioni camino (piano 2)	Simbolo	A	B	C	D	U.M.
Resistenza alla pressione dovuta a resistenza di attrito e di forma del camino	P_{EC}	0.5	0.2	0.5	0.2	Pa
Differenza di pressione causata da variazione di velocità dei prodotti della combustione nel camino	P_{GC}	0.0	0.0	0.0	0.0	Pa
Tiraggio teorico disponibile per effetto camino	P_{HC}	1.2	0.4	1.2	0.4	Pa
Resistenza alla pressione del camino	P_{RC}	0.6	0.3	0.6	0.3	Pa
Pressioni canale adduzione aria (piano 2)	Simbolo	A	B	C	D	U.M.
Tiraggio per effetto camino nel tubo di collegamento per l'alimentazione di aria	P_{HBV}	-0.1	-0.1	-0.1	-0.1	Pa
Variazione di pressione dovuta alla variazione di velocità del flusso nel tubo di collegamento per l'alimentazione di aria	P_{GBV}	11.6	6.0	11.6	6.0	Pa
Resistenza alla pressione del tubo di collegamento per l'alimentazione di aria	P_{RBV}	79.3	41.1	79.3	41.1	Pa
Pressioni condotto adduzione aria (piano 2)	Simbolo	A	B	C	D	U.M.
Tiraggio per effetto camino nel condotto per l'alimentazione di aria	P_{HBC}	-0.6	-0.7	-0.6	-0.7	Pa
Variazione di pressione dovuta alla variazione di velocità del flusso nel condotto per l'alimentazione di aria	P_{GBC}	0.0	0.0	0.0	0.0	Pa
Resistenza alla pressione del condotto per l'alimentazione di aria	P_{RBC}	1.6	0.8	1.6	0.8	Pa

Canale da fumo (piano 3)	Simbolo	A	B	C	D	U.M.
Portata massica dei prodotti della combustione	m_{wV}	0.00000	0.00000	0.00000	0.00000	kg/s
Portata massica calcolata dei prodotti della combustione	m_{wcV}	0.00000	0.00000	0.00000	0.00000	kg/s
Costante dei gas dei prodotti della combustione	R_V	288.00	288.00	288.00	288.00	J/(kg × K)
Viscosità dinamica del gas di combustione	η_V	16.39	16.39	16.39	16.39	N × s/m²
Coefficiente di conduttività termica del gas di combustione	λ_V	0.024	0.024	0.024	0.024	W/(m × K)
Capacità termica specifica del gas di combustione	C_{pV}	1 005.00	1 005.00	1 005.00	1 005.00	J/(kg × K)
Numero di Prandtl	Pr_V	0.690	0.690	0.690	0.690	
Massa volumica dei prodotti della combustione	ρ_{LV}	1.111	1.111	1.111	1.111	kg/m³
Velocità dei prodotti della combustione	w_{mV}	0.00	0.00	0.00	0.00	m/s
Numero di Reynolds	Re_V	2 711	2 711	2 711	2 711	
Coefficiente di resistenza al flusso dovuta all'attrito per flusso idraulicamente irregolare	ψ_V	0.055	0.055	0.055	0.055	
Coefficiente di resistenza al flusso dovuta all'attrito per flusso idraulicamente regolare	$\psi_{liscioV}$	0.045	0.045	0.045	0.045	
Numero di Nusselt	Nu_V	11.0	11.0	11.0	11.0	
Coefficiente interno di trasmissione del calore	α_{iV}	4.00	4.00	4.00	4.00	W/(m² × K)
Coefficiente di trasmissione del calore	k_V	1.20	1.20	1.20	1.20	W/(m² × K)
Coefficiente di raffreddamento	K_V	1 000 000 000.00	1 000 000 000.00	1 000 000 000.00	1 000 000 000.00	
Temperatura dei prodotti della combustione all'ingresso del canale da fumo	T_{eV}	30.0	30.0	30.0	30.0	°C
Temperatura media dei prodotti della combustione nel canale da fumo	T_{mV}	30.0	30.0	30.0	30.0	°C
Temperatura dei prodotti della combustione all'uscita del canale da fumo	T_{oV}	30.0	30.0	30.0	30.0	°C
Camino (piano 3)	Simbolo	A	B	C	D	U.M.
Viscosità dinamica del gas di combustione	η_C	16.86	16.52	16.86	16.52	N × s/m²
Coefficiente di conduttività termica del gas di combustione	λ_C	0.025	0.024	0.025	0.024	W/(m × K)
Capacità termica specifica del gas di combustione	C_{pC}	1 039.80	1 025.64	1 039.80	1 025.64	J/(kg × K)
Numero di Prandtl	Pr_C	0.700	0.710	0.700	0.710	
Massa volumica dei prodotti della combustione	ρ_{LC}	1.074	1.100	1.074	1.100	kg/m³

Velocità dei prodotti della combustione	w_{mC}	1.19	0.83	1.19	0.83	m/s
Numero di Reynolds	Re_C	13 684	9 994	13 684	9 994	
Coefficiente di resistenza al flusso dovuta all'attrito per flusso idraulicamente irregolare	ψ_C	0.037	0.038	0.037	0.038	
Coefficiente di resistenza al flusso dovuta all'attrito per flusso idraulicamente regolare	$\psi_{liscioC}$	0.028	0.031	0.028	0.031	
Numero di Nusselt	Nu_C	49.1	36.8	49.1	36.8	
Coefficiente interno di trasmissione del calore	α_C	6.82	4.91	6.82	4.91	W/(m ² × K)
Coefficiente di trasmissione del calore	k_C	1.66	1.46	1.66	1.46	W/(m ² × K)
Coefficiente di raffreddamento	K_C	0.08	0.10	0.08	0.10	
Temperatura dei prodotti della combustione all'ingresso del camino	T_{eC}	40.3	32.8	40.3	32.8	°C
Temperatura media dei prodotti della combustione nel camino	T_{mC}	39.6	32.3	39.6	32.3	°C
Temperatura dei prodotti della combustione all'uscita del camino	T_{oC}	38.8	31.7	38.8	31.7	°C
Temperatura della parete interna alla fine del segmento del camino in equilibrio termico	T_{iobC}	36.6	31.2	36.6	31.2	°C
Canale adduzione aria (piano 3)	Simbolo	A	B	C	D	U.M.
Viscosità dinamica dell'aria comburente	η_{BV}	16.71	16.71	16.71	16.71	N x s/m ²
Coefficiente di conduttività termica dell'aria comburente	λ_{BV}	0.025	0.025	0.025	0.025	W/(m × K)
Capacità termica specifica dell'aria comburente	C_{pBV}	1 005.00	1 005.00	1 005.00	1 005.00	J/(kg × K)
Numero di Prandtl	Pr_{BV}	0.670	0.670	0.670	0.670	
Massa volumica dell'aria comburente	ρ_{LBV}	1.086	1.086	1.086	1.086	kg/m ³
Velocità dell'aria comburente	w_{mBV}	0.00	0.00	0.00	0.00	m/s
Numero di Reynolds	Re_{BV}	2 300	2 300	2 300	2 300	
Coefficiente di resistenza al flusso dovuta all'attrito per flusso idraulicamente irregolare	ψ_{BV}	0.073	0.073	0.073	0.073	
Coefficiente di resistenza al flusso dovuta all'attrito per flusso idraulicamente regolare	$\psi_{liscioBV}$	0.047	0.047	0.047	0.047	
Numero di Nusselt	Nu_{BV}	10.1	10.1	10.1	10.1	
Temperatura dell'aria comburente all'ingresso del canale di adduzione aria	T_{eBV}	23.0	23.0	23.0	23.0	°C
Temperatura media dei prodotti della combustione nel canale da fumo	T_{mBV}	30.0	30.0	30.0	30.0	°C
Temperatura dell'aria comburente all'uscita del canale da fumo	T_{oBV}	37.0	37.0	37.0	37.0	°C

Condotto adduzione aria (piano 3)	Simbolo	A	B	C	D	U.M.
Viscosità dinamica dell'aria comburente	η_{BC}	16.39	16.39	16.39	16.39	N x s/m ²
Coefficiente di conduttività termica dell'aria comburente	λ_{BC}	0.024	0.024	0.024	0.024	W/(m x K)
Capacità termica specifica dell'aria comburente	C_{pBC}	1 005.00	1 005.00	1 005.00	1 005.00	J/(kg x K)
Numero di Prandtl	Pr_{BC}	0.670	0.670	0.670	0.670	
Massa volumica dell'aria comburente	ρ_{LBC}	1.137	1.137	1.137	1.137	kg/m ³
Velocità dell'aria comburente	w_{mBC}	1.00	0.72	1.00	0.72	m/s
Numero di Reynolds	Re_{BC}	4 861	3 479	4 861	3 479	
Coefficiente di resistenza al flusso dovuta all'attrito per flusso idraulicamente irregolare	ψ_{BC}	0.051	0.054	0.051	0.054	
Coefficiente di resistenza al flusso dovuta all'attrito per flusso idraulicamente regolare	$\psi_{liscioBC}$	0.038	0.042	0.038	0.042	
Numero di Nusselt	Nu_{BC}	19.1	13.6	19.1	13.6	
Temperatura dell'aria comburente all'ingresso del condotto di adduzione aria	T_{eBC}	20.3	20.4	20.3	20.4	°C
Temperatura media dei prodotti della combustione nel canale da fumo	T_{mBC}	21.7	21.7	21.7	21.7	°C
Temperatura dell'aria comburente all'uscita del camino	T_{oBC}	23.0	23.0	23.0	23.0	°C
Pressioni generali (piano 3)	Simbolo	A	B	C	D	U.M.
Pressione differenziale calcolata del generatore di calore	P_{WOC}	0.0	0.0	0.0	0.0	Pa
Effettiva resistenza alla pressione dell'aria comburente	P_B	2.7	0.2	2.7	0.2	Pa
Pressione generata dalla velocità del vento	P_L	0.0	0.0	0.0	0.0	Pa
Pressioni canale da fumo (piano 3)	Simbolo	A	B	C	D	U.M.
Resistenza alla pressione dovuta a resistenza di attrito e di forma del canale da fumo	P_{EV}	0.0	0.0	0.0	0.0	Pa
Differenza di pressione causata da variazione di velocità dei prodotti della combustione nel canale da fumo	P_{GV}	0.8	0.4	0.8	0.4	Pa
Resistenza alla pressione del canale da fumo	P_{RV}	0.2	0.1	0.2	0.1	Pa
Tiraggio teorico disponibile per effetto camino del canale da fumo	P_{HV}	0.0	0.0	0.0	0.0	Pa
Resistenza effettiva alla pressione del canale da fumo	P_{FV}	0.2	0.1	0.2	0.1	Pa
Pressione differenziale massima all'entrata dei prodotti della combustione nel camino	P_{ZoeV}	-2.9	-0.3	-2.9	-0.3	Pa
Pressioni camino (piano 3)	Simbolo	A	B	C	D	U.M.
Resistenza alla pressione dovuta a resistenza di attrito e di forma del camino	P_{EC}	0.5	0.2	0.5	0.2	Pa

Differenza di pressione causata da variazione di velocità dei prodotti della combustione nel camino	P_{GC}	0.0	0.0	0.0	0.0	Pa
Tiraggio teorico disponibile per effetto camino	P_{HC}	1.0	0.3	1.0	0.3	Pa
Resistenza alla pressione del camino	P_{RC}	0.6	0.3	0.6	0.3	Pa
Pressioni canale adduzione aria (piano 3)	Simbolo	A	B	C	D	U.M.
Tiraggio per effetto camino nel tubo di collegamento per l'alimentazione di aria	P_{HBV}	0.0	0.0	0.0	0.0	Pa
Variazione di pressione dovuta alla variazione di velocità del flusso nel tubo di collegamento per l'alimentazione di aria	P_{GBV}	-0.6	-0.3	-0.6	-0.3	Pa
Resistenza alla pressione del tubo di collegamento per l'alimentazione di aria	P_{RBV}	0.1	0.1	0.1	0.1	Pa
Pressioni condotto adduzione aria (piano 3)	Simbolo	A	B	C	D	U.M.
Tiraggio per effetto camino nel condotto per l'alimentazione di aria	P_{HBC}	-0.9	-0.9	-0.9	-0.9	Pa
Variazione di pressione dovuta alla variazione di velocità del flusso nel condotto per l'alimentazione di aria	P_{GBC}	0.0	0.0	0.0	0.0	Pa
Resistenza alla pressione del condotto per l'alimentazione di aria	P_{RBC}	1.5	0.8	1.5	0.8	Pa
Canale da fumo (piano 4)	Simbolo	A	B	C	D	U.M.
Portata massica dei prodotti della combustione	m_{wV}	0.00000	0.00000	0.00000	0.00000	kg/s
Portata massica calcolata dei prodotti della combustione	m_{wcV}	0.00000	0.00000	0.00000	0.00000	kg/s
Costante dei gas dei prodotti della combustione	R_V	288.00	288.00	288.00	288.00	J/(kg × K)
Viscosità dinamica del gas di combustione	η_V	16.39	16.39	16.39	16.39	N × s/m ²
Coefficiente di conduttività termica del gas di combustione	λ_V	0.024	0.024	0.024	0.024	W/(m × K)
Capacità termica specifica del gas di combustione	C_{pV}	1 005.00	1 005.00	1 005.00	1 005.00	J/(kg × K)
Numero di Prandtl	Pr_V	0.690	0.690	0.690	0.690	
Massa volumica dei prodotti della combustione	ρ_{LV}	1.111	1.111	1.111	1.111	kg/m ³
Velocità dei prodotti della combustione	w_{mV}	0.00	0.00	0.00	0.00	m/s
Numero di Reynolds	Re_V	2 711	2 711	2 711	2 711	
Coefficiente di resistenza al flusso dovuta all'attrito per flusso idraulicamente irregolare	ψ_V	0.055	0.055	0.055	0.055	
Coefficiente di resistenza al flusso dovuta all'attrito per flusso idraulicamente regolare	$\psi_{liscioV}$	0.045	0.045	0.045	0.045	
Numero di Nusselt	Nu_V	11.0	11.0	11.0	11.0	
Coefficiente interno di trasmissione del calore	α_{iV}	4.00	4.00	4.00	4.00	W/(m ² × K)
Coefficiente di trasmissione del calore	k_V	1.20	1.20	1.20	1.20	W/(m ² × K)

Coefficiente di raffreddamento	K_V	1 000 000 000.00	1 000 000 000.00	1 000 000 000.00	1 000 000 000.00	
Temperatura dei prodotti della combustione all'ingresso del canale da fumo	T_{eV}	30.0	30.0	30.0	30.0	°C
Temperatura media dei prodotti della combustione nel canale da fumo	T_{mV}	30.0	30.0	30.0	30.0	°C
Temperatura dei prodotti della combustione all'uscita del canale da fumo	T_{oV}	30.0	30.0	30.0	30.0	°C
Camino (piano 4)	Simbolo	A	B	C	D	U.M.
Viscosità dinamica del gas di combustione	η_C	16.79	16.47	16.79	16.47	N x s/m ²
Coefficiente di conduttività termica del gas di combustione	λ_C	0.025	0.024	0.025	0.024	W/(m x K)
Capacità termica specifica del gas di combustione	C_{pC}	1 039.64	1 025.55	1 039.64	1 025.55	J/(kg x K)
Numero di Prandtl	Pr_C	0.700	0.700	0.700	0.700	
Massa volumica dei prodotti della combustione	ρ_{LC}	1.079	1.104	1.079	1.104	kg/m ³
Velocità dei prodotti della combustione	w_{mC}	1.19	0.83	1.19	0.83	m/s
Numero di Reynolds	Re_C	13 741	10 024	13 741	10 024	
Coefficiente di resistenza al flusso dovuta all'attrito per flusso idraulicamente irregolare	ψ_C	0.037	0.038	0.037	0.038	
Coefficiente di resistenza al flusso dovuta all'attrito per flusso idraulicamente regolare	ψ_{iscioC}	0.028	0.031	0.028	0.031	
Numero di Nusselt	Nu_C	49.3	36.7	49.3	36.7	
Coefficiente interno di trasmissione del calore	α_{iC}	6.84	4.90	6.84	4.90	W/(m ² x K)
Coefficiente di trasmissione del calore	k_C	1.66	1.45	1.66	1.45	W/(m ² x K)
Coefficiente di raffreddamento	K_C	0.08	0.10	0.08	0.10	
Temperatura dei prodotti della combustione all'ingresso del camino	T_{eC}	38.8	31.7	38.8	31.7	°C
Temperatura media dei prodotti della combustione nel camino	T_{mC}	38.1	31.2	38.1	31.2	°C
Temperatura dei prodotti della combustione all'uscita del camino	T_{oC}	37.5	30.8	37.5	30.8	°C
Temperatura della parete interna alla fine del segmento del camino in equilibrio termico	T_{iobC}	35.5	30.5	35.5	30.5	°C
Canale adduzione aria (piano 4)	Simbolo	A	B	C	D	U.M.
Viscosità dinamica dell'aria comburente	η_{BV}	16.71	16.71	16.71	16.71	N x s/m ²
Coefficiente di conduttività termica dell'aria comburente	λ_{BV}	0.025	0.025	0.025	0.025	W/(m x K)
Capacità termica specifica dell'aria comburente	C_{pBV}	1 005.00	1 005.00	1 005.00	1 005.00	J/(kg x K)

Numero di Prandtl	Pr_{BV}	0.670	0.670	0.670	0.670	
Massa volumica dell'aria comburente	ρ_{LBV}	1.086	1.086	1.086	1.086	kg/m³
Velocità dell'aria comburente	w_{mBV}	0.00	0.00	0.00	0.00	m/s
Numero di Reynolds	Re_{BV}	2 300	2 300	2 300	2 300	
Coefficiente di resistenza al flusso dovuta all'attrito per flusso idraulicamente irregolare	ψ_{BV}	0.073	0.073	0.073	0.073	
Coefficiente di resistenza al flusso dovuta all'attrito per flusso idraulicamente regolare	$\psi_{liscioBV}$	0.047	0.047	0.047	0.047	
Numero di Nusselt	Nu_{BV}	10.1	10.1	10.1	10.1	
Temperatura dell'aria comburente all'ingresso del canale di adduzione aria	T_{eBV}	23.0	23.0	23.0	23.0	°C
Temperatura media dei prodotti della combustione nel canale da fumo	T_{mBV}	30.0	30.0	30.0	30.0	°C
Temperatura dell'aria comburente all'uscita del canale da fumo	T_{oBV}	37.0	37.0	37.0	37.0	°C
Condotto adduzione aria (piano 4)	Simbolo	A	B	C	D	U.M.
Viscosità dinamica dell'aria comburente	η_{BC}	16.39	16.39	16.39	16.39	N x s/m²
Coefficiente di conduttività termica dell'aria comburente	λ_{BC}	0.024	0.024	0.024	0.024	W/(m x K)
Capacità termica specifica dell'aria comburente	C_{pBC}	1 005.00	1 005.00	1 005.00	1 005.00	J/(kg x K)
Numero di Prandtl	Pr_{BC}	0.670	0.670	0.670	0.670	
Massa volumica dell'aria comburente	ρ_{LBC}	1.137	1.137	1.137	1.137	kg/m³
Velocità dell'aria comburente	w_{mBC}	1.00	0.72	1.00	0.72	m/s
Numero di Reynolds	Re_{BC}	4 861	3 479	4 861	3 479	
Coefficiente di resistenza al flusso dovuta all'attrito per flusso idraulicamente irregolare	ψ_{BC}	0.051	0.054	0.051	0.054	
Coefficiente di resistenza al flusso dovuta all'attrito per flusso idraulicamente regolare	$\psi_{liscioBC}$	0.038	0.042	0.038	0.042	
Numero di Nusselt	Nu_{BC}	19.1	13.6	19.1	13.6	
Temperatura dell'aria comburente all'ingresso del condotto di adduzione aria	T_{eBC}	20.4	20.6	20.4	20.6	°C
Temperatura media dei prodotti della combustione nel canale da fumo	T_{mBC}	21.7	21.8	21.7	21.8	°C
Temperatura dell'aria comburente all'uscita del camino	T_{oBC}	23.0	23.0	23.0	23.0	°C
Pressioni generali (piano 4)	Simbolo	A	B	C	D	U.M.
Pressione differenziale calcolata del generatore di calore	P_{WOC}	0.0	0.0	0.0	0.0	Pa

Effettiva resistenza alla pressione dell'aria comburente	P_B	2.1	0.3	2.1	0.3	Pa
Pressione generata dalla velocità del vento	P_L	0.0	0.0	0.0	0.0	Pa
Pressioni canale da fumo (piano 4)	Simbolo	A	B	C	D	U.M.
Resistenza alla pressione dovuta a resistenza di attrito e di forma del canale da fumo	P_{EV}	0.0	0.0	0.0	0.0	Pa
Differenza di pressione causata da variazione di velocità dei prodotti della combustione nel canale da fumo	P_{GV}	0.8	0.4	0.8	0.4	Pa
Resistenza alla pressione del canale da fumo	P_{RV}	0.2	0.1	0.2	0.1	Pa
Tiraggio teorico disponibile per effetto camino del canale da fumo	P_{HV}	0.0	0.0	0.0	0.0	Pa
Resistenza effettiva alla pressione del canale da fumo	P_{FV}	0.2	0.1	0.2	0.1	Pa
Pressione differenziale massima all'entrata dei prodotti della combustione nel camino	P_{ZOeV}	-2.3	-0.4	-2.3	-0.4	Pa
Pressioni camino (piano 4)	Simbolo	A	B	C	D	U.M.
Resistenza alla pressione dovuta a resistenza di attrito e di forma del camino	P_{EC}	0.5	0.2	0.5	0.2	Pa
Differenza di pressione causata da variazione di velocità dei prodotti della combustione nel camino	P_{GC}	0.0	0.0	0.0	0.0	Pa
Tiraggio teorico disponibile per effetto camino	P_{HC}	0.9	0.1	0.9	0.1	Pa
Resistenza alla pressione del camino	P_{RC}	0.6	0.3	0.6	0.3	Pa
Pressioni canale adduzione aria (piano 4)	Simbolo	A	B	C	D	U.M.
Tiraggio per effetto camino nel tubo di collegamento per l'alimentazione di aria	P_{HBV}	0.0	0.0	0.0	0.0	Pa
Variazione di pressione dovuta alla variazione di velocità del flusso nel tubo di collegamento per l'alimentazione di aria	P_{GBV}	-0.6	-0.3	-0.6	-0.3	Pa
Resistenza alla pressione del tubo di collegamento per l'alimentazione di aria	P_{RBV}	0.1	0.1	0.1	0.1	Pa
Pressioni condotto adduzione aria (piano 4)	Simbolo	A	B	C	D	U.M.
Tiraggio per effetto camino nel condotto per l'alimentazione di aria	P_{HBC}	-0.9	-0.9	-0.9	-0.9	Pa
Variazione di pressione dovuta alla variazione di velocità del flusso nel condotto per l'alimentazione di aria	P_{GBC}	0.0	0.0	0.0	0.0	Pa
Resistenza alla pressione del condotto per l'alimentazione di aria	P_{RBC}	1.5	0.8	1.5	0.8	Pa
Canale da fumo (piano 5)	Simbolo	A	B	C	D	U.M.
Portata massica dei prodotti della combustione	m_{wV}	0.00000	0.00000	0.00000	0.00000	kg/s
Portata massica calcolata dei prodotti della combustione	m_{wcV}	0.00000	0.00000	0.00000	0.00000	kg/s
Costante dei gas dei prodotti della combustione	R_V	288.00	288.00	288.00	288.00	J/(kg × K)
Viscosità dinamica del gas di combustione	η_V	16.39	16.39	16.39	16.39	N x s/m ²

Coefficiente di conduttività termica del gas di combustione	λ_V	0.024	0.024	0.024	0.024	W/(m × K)
Capacità termica specifica del gas di combustione	C_{pV}	1 005.00	1 005.00	1 005.00	1 005.00	J/(kg × K)
Numero di Prandtl	Pr_V	0.690	0.690	0.690	0.690	
Massa volumica dei prodotti della combustione	ρ_{LV}	1.111	1.111	1.111	1.111	kg/m³
Velocità dei prodotti della combustione	w_{mV}	0.00	0.00	0.00	0.00	m/s
Numero di Reynolds	Re_V	2 711	2 711	2 711	2 711	
Coefficiente di resistenza al flusso dovuta all'attrito per flusso idraulicamente irregolare	ψ_V	0.055	0.055	0.055	0.055	
Coefficiente di resistenza al flusso dovuta all'attrito per flusso idraulicamente regolare	$\psi_{liscioV}$	0.045	0.045	0.045	0.045	
Numero di Nusselt	Nu_V	11.0	11.0	11.0	11.0	
Coefficiente interno di trasmissione del calore	α_V	4.00	4.00	4.00	4.00	W/(m² × K)
Coefficiente di trasmissione del calore	k_V	1.20	1.20	1.20	1.20	W/(m² × K)
Coefficiente di raffreddamento	K_V	1 000 000 000.00	1 000 000 000.00	1 000 000 000.00	1 000 000 000.00	
Temperatura dei prodotti della combustione all'ingresso del canale da fumo	T_{eV}	30.0	30.0	30.0	30.0	°C
Temperatura media dei prodotti della combustione nel canale da fumo	T_{mV}	30.0	30.0	30.0	30.0	°C
Temperatura dei prodotti della combustione all'uscita del canale da fumo	T_{oV}	30.0	30.0	30.0	30.0	°C
Camino (piano 5)	Simbolo	A	B	C	D	U.M.
Viscosità dinamica del gas di combustione	η_C	16.73	16.43	16.73	16.43	N x s/m²
Coefficiente di conduttività termica del gas di combustione	λ_C	0.025	0.024	0.025	0.024	W/(m × K)
Capacità termica specifica del gas di combustione	C_{pC}	1 039.49	1 025.46	1 039.49	1 025.46	J/(kg × K)
Numero di Prandtl	Pr_C	0.700	0.700	0.700	0.700	
Massa volumica dei prodotti della combustione	ρ_{LC}	1.083	1.108	1.083	1.108	kg/m³
Velocità dei prodotti della combustione	w_{mC}	1.18	0.83	1.18	0.83	m/s
Numero di Reynolds	Re_C	13 790	10 048	13 790	10 048	
Coefficiente di resistenza al flusso dovuta all'attrito per flusso idraulicamente irregolare	ψ_C	0.037	0.038	0.037	0.038	
Coefficiente di resistenza al flusso dovuta all'attrito per flusso idraulicamente regolare	$\psi_{liscioC}$	0.028	0.031	0.028	0.031	
Numero di Nusselt	Nu_C	49.4	36.8	49.4	36.8	

Coefficiente interno di trasmissione del calore	α_{iC}	6.87	4.91	6.87	4.91	W/(m ² × K)
Coefficiente di trasmissione del calore	k_C	1.66	1.46	1.66	1.46	W/(m ² × K)
Coefficiente di raffreddamento	K_C	0.08	0.10	0.08	0.10	
Temperatura dei prodotti della combustione all'ingresso del camino	T_{eC}	37.5	30.8	37.5	30.8	°C
Temperatura media dei prodotti della combustione nel camino	T_{mC}	36.8	30.3	36.8	30.3	°C
Temperatura dei prodotti della combustione all'uscita del camino	T_{oC}	36.2	29.9	36.2	29.9	°C
Temperatura della parete interna alla fine del segmento del camino in equilibrio termico	T_{iobC}	34.6	29.9	34.6	29.9	°C
Canale adduzione aria (piano 5)	Simbolo	A	B	C	D	U.M.
Viscosità dinamica dell'aria comburente	η_{BV}	16.71	16.71	16.71	16.71	N x s/m ²
Coefficiente di conduttività termica dell'aria comburente	λ_{BV}	0.025	0.025	0.025	0.025	W/(m × K)
Capacità termica specifica dell'aria comburente	C_{pBV}	1 005.00	1 005.00	1 005.00	1 005.00	J/(kg × K)
Numero di Prandtl	Pr_{BV}	0.670	0.670	0.670	0.670	
Massa volumica dell'aria comburente	ρ_{LBV}	1.086	1.086	1.086	1.086	kg/m ³
Velocità dell'aria comburente	w_{mBV}	0.00	0.00	0.00	0.00	m/s
Numero di Reynolds	Re_{BV}	2 300	2 300	2 300	2 300	
Coefficiente di resistenza al flusso dovuta all'attrito per flusso idraulicamente irregolare	ψ_{BV}	0.073	0.073	0.073	0.073	
Coefficiente di resistenza al flusso dovuta all'attrito per flusso idraulicamente regolare	$\psi_{liscioBV}$	0.047	0.047	0.047	0.047	
Numero di Nusselt	Nu_{BV}	10.1	10.1	10.1	10.1	
Temperatura dell'aria comburente all'ingresso del canale di adduzione aria	T_{eBV}	23.0	23.0	23.0	23.0	°C
Temperatura media dei prodotti della combustione nel canale da fumo	T_{mBV}	30.0	30.0	30.0	30.0	°C
Temperatura dell'aria comburente all'uscita del canale da fumo	T_{oBV}	37.0	37.0	37.0	37.0	°C
Condotto adduzione aria (piano 5)	Simbolo	A	B	C	D	U.M.
Viscosità dinamica dell'aria comburente	η_{BC}	16.39	16.39	16.39	16.39	N x s/m ²
Coefficiente di conduttività termica dell'aria comburente	λ_{BC}	0.024	0.024	0.024	0.024	W/(m × K)
Capacità termica specifica dell'aria comburente	C_{pBC}	1 005.00	1 005.00	1 005.00	1 005.00	J/(kg × K)
Numero di Prandtl	Pr_{BC}	0.670	0.670	0.670	0.670	

Massa volumica dell'aria comburente	ρ_{LBC}	1.137	1.137	1.137	1.137	kg/m³
Velocità dell'aria comburente	w_{mBC}	1.00	0.72	1.00	0.72	m/s
Numero di Reynolds	Re_{BC}	4 861	3 479	4 861	3 479	
Coefficiente di resistenza al flusso dovuta all'attrito per flusso idraulicamente irregolare	ψ_{BC}	0.051	0.054	0.051	0.054	
Coefficiente di resistenza al flusso dovuta all'attrito per flusso idraulicamente regolare	$\psi_{liscioBC}$	0.038	0.042	0.038	0.042	
Numero di Nusselt	Nu_{BC}	19.1	13.6	19.1	13.6	
Temperatura dell'aria comburente all'ingresso del condotto di adduzione aria	T_{eBC}	20.6	20.7	20.6	20.7	°C
Temperatura media dei prodotti della combustione nel canale da fumo	T_{mBC}	21.8	21.8	21.8	21.8	°C
Temperatura dell'aria comburente all'uscita del camino	T_{oBC}	23.0	23.0	23.0	23.0	°C
Pressioni generali (piano 5)	Simbolo	A	B	C	D	U.M.
Pressione differenziale calcolata del generatore di calore	P_{WOC}	0.0	0.0	0.0	0.0	Pa
Effettiva resistenza alla pressione dell'aria comburente	P_B	1.4	0.3	1.4	0.3	Pa
Pressione generata dalla velocità del vento	P_L	0.0	0.0	0.0	0.0	Pa
Pressioni canale da fumo (piano 5)	Simbolo	A	B	C	D	U.M.
Resistenza alla pressione dovuta a resistenza di attrito e di forma del canale da fumo	P_{EV}	0.0	0.0	0.0	0.0	Pa
Differenza di pressione causata da variazione di velocità dei prodotti della combustione nel canale da fumo	P_{GV}	0.8	0.4	0.8	0.4	Pa
Resistenza alla pressione del canale da fumo	P_{RV}	0.2	0.1	0.2	0.1	Pa
Tiraggio teorico disponibile per effetto camino del canale da fumo	P_{HV}	0.0	0.0	0.0	0.0	Pa
Resistenza effettiva alla pressione del canale da fumo	P_{FV}	0.2	0.1	0.2	0.1	Pa
Pressione differenziale massima all'entrata dei prodotti della combustione nel camino	P_{ZOeV}	-1.7	-0.4	-1.7	-0.4	Pa
Pressioni camino (piano 5)	Simbolo	A	B	C	D	U.M.
Resistenza alla pressione dovuta a resistenza di attrito e di forma del camino	P_{EC}	0.5	0.2	0.5	0.2	Pa
Differenza di pressione causata da variazione di velocità dei prodotti della combustione nel camino	P_{GC}	0.0	0.0	0.0	0.0	Pa
Tiraggio teorico disponibile per effetto camino	P_{HC}	0.7	0.0	0.7	0.0	Pa
Resistenza alla pressione del camino	P_{RC}	0.6	0.3	0.6	0.3	Pa
Pressioni canale adduzione aria (piano 5)	Simbolo	A	B	C	D	U.M.
Tiraggio per effetto camino nel tubo di collegamento per l'alimentazione di aria	P_{HBV}	0.0	0.0	0.0	0.0	Pa

Variazione di pressione dovuta alla variazione di velocità del flusso nel tubo di collegamento per l'alimentazione di aria	P_{GBV}	-0.6	-0.3	-0.6	-0.3	Pa
Resistenza alla pressione del tubo di collegamento per l'alimentazione di aria	P_{RBV}	0.1	0.1	0.1	0.1	Pa
Pressioni condotto adduzione aria (piano 5)	Simbolo	A	B	C	D	U.M.
Tiraggio per effetto camino nel condotto per l'alimentazione di aria	P_{HBC}	-0.9	-0.9	-0.9	-0.9	Pa
Variazione di pressione dovuta alla variazione di velocità del flusso nel condotto per l'alimentazione di aria	P_{GBC}	0.6	0.3	0.6	0.3	Pa
Resistenza alla pressione del condotto per l'alimentazione di aria	P_{RBC}	2.2	1.2	2.2	1.2	Pa

Generatore 3 acceso e tutti gli altri spenti

Generali	Simbolo	A	B	C	D	U.M.
Costante dei gas dell'aria	R_L	288.00	288.00	288.00	288.00	J/(kg × K)
Pressione dell'aria esterna	p_L	96 967.3	96 967.3	96 967.3	96 967.3	Pa
Massa volumica dell'aria esterna	ρ_L	1.111	1.111	1.111	1.111	kg/m³
Canale da fumo (piano 1)	Simbolo	A	B	C	D	U.M.
Portata massica dei prodotti della combustione	m_{wV}	0.00000	0.00000	0.00000	0.00000	kg/s
Portata massica calcolata dei prodotti della combustione	m_{wcV}	0.00000	0.00000	0.00000	0.00000	kg/s
Costante dei gas dei prodotti della combustione	R_V	288.00	288.00	288.00	288.00	J/(kg × K)
Viscosità dinamica del gas di combustione	η_V	16.39	16.39	16.39	16.39	N x s/m²
Coefficiente di conduttività termica del gas di combustione	λ_V	0.024	0.024	0.024	0.024	W/(m × K)
Capacità termica specifica del gas di combustione	C_{pV}	1 005.00	1 005.00	1 005.00	1 005.00	J/(kg × K)
Numero di Prandtl	Pr_V	0.690	0.690	0.690	0.690	
Massa volumica dei prodotti della combustione	ρ_{LV}	1.111	1.111	1.111	1.111	kg/m³
Velocità dei prodotti della combustione	w_{mV}	0.00	0.00	0.00	0.00	m/s
Numero di Reynolds	Re_V	2 711	2 711	2 711	2 711	
Coefficiente di resistenza al flusso dovuta all'attrito per flusso idraulicamente irregolare	ψ_V	0.055	0.055	0.055	0.055	
Coefficiente di resistenza al flusso dovuta all'attrito per flusso idraulicamente regolare	$\psi_{liscioV}$	0.045	0.045	0.045	0.045	
Numero di Nusselt	Nu_V	11.0	11.0	11.0	11.0	
Coefficiente interno di trasmissione del calore	α_V	4.00	4.00	4.00	4.00	W/(m² × K)
Coefficiente di trasmissione del calore	k_V	1.20	1.20	1.20	1.20	W/(m² × K)
Coefficiente di raffreddamento	K_V	1 000 000 000.00	1 000 000 000.00	1 000 000 000.00	1 000 000 000.00	
Temperatura dei prodotti della combustione all'ingresso del canale da fumo	T_{eV}	30.0	30.0	30.0	30.0	°C
Temperatura media dei prodotti della combustione nel canale da fumo	T_{mV}	30.0	30.0	30.0	30.0	°C
Temperatura dei prodotti della combustione all'uscita del canale da fumo	T_{oV}	30.0	30.0	30.0	30.0	°C
Camino (piano 1)	Simbolo	A	B	C	D	U.M.

Viscosità dinamica del gas di combustione	η_C	16.39	16.39	16.39	16.39	N x s/m ²
Coefficiente di conduttività termica del gas di combustione	λ_C	0.024	0.024	0.024	0.024	W/(m x K)
Capacità termica specifica del gas di combustione	C_{pC}	1 012.77	1 012.77	1 012.77	1 012.77	J/(kg x K)
Numero di Prandtl	Pr_C	0.690	0.690	0.690	0.690	
Massa volumica dei prodotti della combustione	ρ_{LC}	1.111	1.111	1.111	1.111	kg/m ³
Velocità dei prodotti della combustione	w_{mC}	0.00	0.00	0.00	0.00	m/s
Numero di Reynolds	Re_C	6 099	6 099	6 099	6 099	
Coefficiente di resistenza al flusso dovuta all'attrito per flusso idraulicamente irregolare	ψ_C	0.042	0.042	0.042	0.042	
Coefficiente di resistenza al flusso dovuta all'attrito per flusso idraulicamente regolare	$\psi_{liscioC}$	0.035	0.035	0.035	0.035	
Numero di Nusselt	Nu_C	22.9	22.9	22.9	22.9	
Coefficiente interno di trasmissione del calore	α_C	4.00	4.00	4.00	4.00	W/(m ² x K)
Coefficiente di trasmissione del calore	k_C	1.29	1.29	1.29	1.29	W/(m ² x K)
Coefficiente di raffreddamento	K_C	1 000 000 000.00	1 000 000 000.00	1 000 000 000.00	1 000 000 000.00	
Temperatura dei prodotti della combustione all'ingresso del camino	T_{eC}	30.0	30.0	30.0	30.0	°C
Temperatura media dei prodotti della combustione nel camino	T_{mC}	30.0	30.0	30.0	30.0	°C
Temperatura dei prodotti della combustione all'uscita del camino	T_{oC}	30.0	30.0	30.0	30.0	°C
Temperatura della parete interna alla fine del segmento del camino in equilibrio termico	T_{iobC}	30.0	30.0	30.0	30.0	°C
Canale adduzione aria (piano 1)	Simbolo	A	B	C	D	U.M.
Viscosità dinamica dell'aria comburente	η_{BV}	16.71	16.71	16.71	16.71	N x s/m ²
Coefficiente di conduttività termica dell'aria comburente	λ_{BV}	0.025	0.025	0.025	0.025	W/(m x K)
Capacità termica specifica dell'aria comburente	C_{pBV}	1 005.00	1 005.00	1 005.00	1 005.00	J/(kg x K)
Numero di Prandtl	Pr_{BV}	0.670	0.670	0.670	0.670	
Massa volumica dell'aria comburente	ρ_{LBV}	1.086	1.086	1.086	1.086	kg/m ³
Velocità dell'aria comburente	w_{mBV}	0.00	0.00	0.00	0.00	m/s
Numero di Reynolds	Re_{BV}	2 300	2 300	2 300	2 300	
Coefficiente di resistenza al flusso dovuta all'attrito per flusso idraulicamente irregolare	ψ_{BV}	0.073	0.073	0.073	0.073	

Coefficiente di resistenza al flusso dovuta all'attrito per flusso idraulicamente regolare	ψ_{liscioBV}	0.047	0.047	0.047	0.047	
Numero di Nusselt	Nu_{BV}	10.1	10.1	10.1	10.1	
Temperatura dell'aria comburente all'ingresso del canale di adduzione aria	T_{eBV}	23.0	23.0	23.0	23.0	°C
Temperatura media dei prodotti della combustione nel canale da fumo	T_{mBV}	30.0	30.0	30.0	30.0	°C
Temperatura dell'aria comburente all'uscita del canale da fumo	T_{oBV}	37.0	37.0	37.0	37.0	°C
Condotto adduzione aria (piano 1)	Simbolo	A	B	C	D	U.M.
Viscosità dinamica dell'aria comburente	η_{BC}	16.39	16.39	16.39	16.39	N x s/m²
Coefficiente di conduttività termica dell'aria comburente	λ_{BC}	0.024	0.024	0.024	0.024	W/(m x K)
Capacità termica specifica dell'aria comburente	C_{pBC}	1 005.00	1 005.00	1 005.00	1 005.00	J/(kg x K)
Numero di Prandtl	Pr_{BC}	0.670	0.670	0.670	0.670	
Massa volumica dell'aria comburente	ρ_{LBC}	1.137	1.137	1.137	1.137	kg/m³
Velocità dell'aria comburente	w_{mBC}	0.00	0.00	0.00	0.00	m/s
Numero di Reynolds	Re_{BC}	2 420	2 420	2 420	2 420	
Coefficiente di resistenza al flusso dovuta all'attrito per flusso idraulicamente irregolare	ψ_{BC}	0.058	0.058	0.058	0.058	
Coefficiente di resistenza al flusso dovuta all'attrito per flusso idraulicamente regolare	ψ_{liscioBC}	0.047	0.047	0.047	0.047	
Numero di Nusselt	Nu_{BC}	9.3	9.3	9.3	9.3	
Temperatura dell'aria comburente all'ingresso del condotto di adduzione aria	T_{eBC}	37.0	37.0	37.0	37.0	°C
Temperatura media dei prodotti della combustione nel canale da fumo	T_{mBC}	30.0	30.0	30.0	30.0	°C
Temperatura dell'aria comburente all'uscita del camino	T_{oBC}	23.0	23.0	23.0	23.0	°C
Pressioni generali (piano 1)	Simbolo	A	B	C	D	U.M.
Pressione differenziale calcolata del generatore di calore	P_{WOc}	0.0	0.0	0.0	0.0	Pa
Effettiva resistenza alla pressione dell'aria comburente	P_{B}	2.6	0.2	2.6	0.2	Pa
Pressione generata dalla velocità del vento	P_{L}	0.0	0.0	0.0	0.0	Pa
Pressioni canale da fumo (piano 1)	Simbolo	A	B	C	D	U.M.
Resistenza alla pressione dovuta a resistenza di attrito e di forma del canale da fumo	P_{EV}	0.0	0.0	0.0	0.0	Pa
Differenza di pressione causata da variazione di velocità dei prodotti della combustione nel canale da fumo	P_{GV}	0.0	0.0	0.0	0.0	Pa
Resistenza alla pressione del canale da fumo	P_{RV}	0.0	0.0	0.0	0.0	Pa

Tiraggio teorico disponibile per effetto camino del canale da fumo	P_{HV}	0.0	0.0	0.0	0.0	Pa
Resistenza effettiva alla pressione del canale da fumo	P_{FV}	0.0	0.0	0.0	0.0	Pa
Pressione differenziale massima all'entrata dei prodotti della combustione nel camino	P_{ZOeV}	-2.6	-0.2	-2.6	-0.2	Pa
Pressioni camino (piano 1)	Simbolo	A	B	C	D	U.M.
Resistenza alla pressione dovuta a resistenza di attrito e di forma del camino	P_{EC}	0.0	0.0	0.0	0.0	Pa
Differenza di pressione causata da variazione di velocità dei prodotti della combustione nel camino	P_{GC}	0.0	0.0	0.0	0.0	Pa
Tiraggio teorico disponibile per effetto camino	P_{HC}	0.0	0.0	0.0	0.0	Pa
Resistenza alla pressione del camino	P_{RC}	0.0	0.0	0.0	0.0	Pa
Pressioni canale adduzione aria (piano 1)	Simbolo	A	B	C	D	U.M.
Tiraggio per effetto camino nel tubo di collegamento per l'alimentazione di aria	P_{HBV}	0.0	0.0	0.0	0.0	Pa
Variazione di pressione dovuta alla variazione di velocità del flusso nel tubo di collegamento per l'alimentazione di aria	P_{GBV}	0.0	0.0	0.0	0.0	Pa
Resistenza alla pressione del tubo di collegamento per l'alimentazione di aria	P_{RBV}	0.0	0.0	0.0	0.0	Pa
Pressioni condotto adduzione aria (piano 1)	Simbolo	A	B	C	D	U.M.
Tiraggio per effetto camino nel condotto per l'alimentazione di aria	P_{HBC}	0.0	0.0	0.0	0.0	Pa
Variazione di pressione dovuta alla variazione di velocità del flusso nel condotto per l'alimentazione di aria	P_{GBC}	0.0	0.0	0.0	0.0	Pa
Resistenza alla pressione del condotto per l'alimentazione di aria	P_{RBC}	0.0	0.0	0.0	0.0	Pa
Canale da fumo (piano 2)	Simbolo	A	B	C	D	U.M.
Portata massica dei prodotti della combustione	m_{wV}	0.00000	0.00000	0.00000	0.00000	kg/s
Portata massica calcolata dei prodotti della combustione	m_{wcV}	0.00000	0.00000	0.00000	0.00000	kg/s
Costante dei gas dei prodotti della combustione	R_V	288.00	288.00	288.00	288.00	J/(kg × K)
Viscosità dinamica del gas di combustione	η_V	16.39	16.39	16.39	16.39	N × s/m²
Coefficiente di conduttività termica del gas di combustione	λ_V	0.024	0.024	0.024	0.024	W/(m × K)
Capacità termica specifica del gas di combustione	C_{pV}	1 005.00	1 005.00	1 005.00	1 005.00	J/(kg × K)
Numero di Prandtl	Pr_V	0.690	0.690	0.690	0.690	
Massa volumica dei prodotti della combustione	ρ_{LV}	1.111	1.111	1.111	1.111	kg/m³
Velocità dei prodotti della combustione	w_{mV}	0.00	0.00	0.00	0.00	m/s
Numero di Reynolds	Re_V	2 711	2 711	2 711	2 711	

Coefficiente di resistenza al flusso dovuta all'attrito per flusso idraulicamente irregolare	ψ_V	0.055	0.055	0.055	0.055	
Coefficiente di resistenza al flusso dovuta all'attrito per flusso idraulicamente regolare	$\psi_{liscioV}$	0.045	0.045	0.045	0.045	
Numero di Nusselt	Nu_V	11.0	11.0	11.0	11.0	
Coefficiente interno di trasmissione del calore	α_{iV}	4.00	4.00	4.00	4.00	W/(m ² × K)
Coefficiente di trasmissione del calore	k_V	1.20	1.20	1.20	1.20	W/(m ² × K)
Coefficiente di raffreddamento	K_V	1 000 000 000.00	1 000 000 000.00	1 000 000 000.00	1 000 000 000.00	
Temperatura dei prodotti della combustione all'ingresso del canale da fumo	T_{eV}	30.0	30.0	30.0	30.0	°C
Temperatura media dei prodotti della combustione nel canale da fumo	T_{mV}	30.0	30.0	30.0	30.0	°C
Temperatura dei prodotti della combustione all'uscita del canale da fumo	T_{oV}	30.0	30.0	30.0	30.0	°C
Camino (piano 2)	Simbolo	A	B	C	D	U.M.
Viscosità dinamica del gas di combustione	η_C	16.39	16.39	16.39	16.39	N x s/m ²
Coefficiente di conduttività termica del gas di combustione	λ_C	0.024	0.024	0.024	0.024	W/(m × K)
Capacità termica specifica del gas di combustione	C_{pC}	1 012.77	1 012.77	1 012.77	1 012.77	J/(kg × K)
Numero di Prandtl	Pr_C	0.690	0.690	0.690	0.690	
Massa volumica dei prodotti della combustione	ρ_{LC}	1.111	1.111	1.111	1.111	kg/m ³
Velocità dei prodotti della combustione	w_{mC}	0.00	0.00	0.00	0.00	m/s
Numero di Reynolds	Re_C	6 099	6 099	6 099	6 099	
Coefficiente di resistenza al flusso dovuta all'attrito per flusso idraulicamente irregolare	ψ_C	0.042	0.042	0.042	0.042	
Coefficiente di resistenza al flusso dovuta all'attrito per flusso idraulicamente regolare	$\psi_{liscioC}$	0.035	0.035	0.035	0.035	
Numero di Nusselt	Nu_C	22.9	22.9	22.9	22.9	
Coefficiente interno di trasmissione del calore	α_{iC}	4.00	4.00	4.00	4.00	W/(m ² × K)
Coefficiente di trasmissione del calore	k_C	1.29	1.29	1.29	1.29	W/(m ² × K)
Coefficiente di raffreddamento	K_C	1 000 000 000.00	1 000 000 000.00	1 000 000 000.00	1 000 000 000.00	
Temperatura dei prodotti della combustione all'ingresso del camino	T_{eC}	30.0	30.0	30.0	30.0	°C
Temperatura media dei prodotti della combustione nel camino	T_{mC}	30.0	30.0	30.0	30.0	°C
Temperatura dei prodotti della combustione all'uscita del camino	T_{oC}	30.0	30.0	30.0	30.0	°C

Temperatura della parete interna alla fine del segmento del camino in equilibrio termico	T_{lobC}	30.0	30.0	30.0	30.0	°C
Canale adduzione aria (piano 2)	Simbolo	A	B	C	D	U.M.
Viscosità dinamica dell'aria comburente	η_{BV}	16.71	16.71	16.71	16.71	N x s/m ²
Coefficiente di conduttività termica dell'aria comburente	λ_{BV}	0.025	0.025	0.025	0.025	W/(m x K)
Capacità termica specifica dell'aria comburente	C_{pBV}	1 005.00	1 005.00	1 005.00	1 005.00	J/(kg x K)
Numero di Prandtl	Pr_{BV}	0.670	0.670	0.670	0.670	
Massa volumica dell'aria comburente	ρ_{LBV}	1.086	1.086	1.086	1.086	kg/m ³
Velocità dell'aria comburente	w_{mBV}	0.00	0.00	0.00	0.00	m/s
Numero di Reynolds	Re_{BV}	2 300	2 300	2 300	2 300	
Coefficiente di resistenza al flusso dovuta all'attrito per flusso idraulicamente irregolare	ψ_{BV}	0.073	0.073	0.073	0.073	
Coefficiente di resistenza al flusso dovuta all'attrito per flusso idraulicamente regolare	$\psi_{liscioBV}$	0.047	0.047	0.047	0.047	
Numero di Nusselt	Nu_{BV}	10.1	10.1	10.1	10.1	
Temperatura dell'aria comburente all'ingresso del canale di adduzione aria	T_{eBV}	23.0	23.0	23.0	23.0	°C
Temperatura media dei prodotti della combustione nel canale da fumo	T_{mBV}	30.0	30.0	30.0	30.0	°C
Temperatura dell'aria comburente all'uscita del canale da fumo	T_{oBV}	37.0	37.0	37.0	37.0	°C
Condotto adduzione aria (piano 2)	Simbolo	A	B	C	D	U.M.
Viscosità dinamica dell'aria comburente	η_{BC}	16.39	16.39	16.39	16.39	N x s/m ²
Coefficiente di conduttività termica dell'aria comburente	λ_{BC}	0.024	0.024	0.024	0.024	W/(m x K)
Capacità termica specifica dell'aria comburente	C_{pBC}	1 005.00	1 005.00	1 005.00	1 005.00	J/(kg x K)
Numero di Prandtl	Pr_{BC}	0.670	0.670	0.670	0.670	
Massa volumica dell'aria comburente	ρ_{LBC}	1.137	1.137	1.137	1.137	kg/m ³
Velocità dell'aria comburente	w_{mBC}	0.00	0.00	0.00	0.00	m/s
Numero di Reynolds	Re_{BC}	2 420	2 420	2 420	2 420	
Coefficiente di resistenza al flusso dovuta all'attrito per flusso idraulicamente irregolare	ψ_{BC}	0.058	0.058	0.058	0.058	
Coefficiente di resistenza al flusso dovuta all'attrito per flusso idraulicamente regolare	$\psi_{liscioBC}$	0.047	0.047	0.047	0.047	
Numero di Nusselt	Nu_{BC}	9.3	9.3	9.3	9.3	

Temperatura dell'aria comburente all'ingresso del condotto di adduzione aria	T_{eBC}	37.0	37.0	37.0	37.0	°C
Temperatura media dei prodotti della combustione nel canale da fumo	T_{mBC}	30.0	30.0	30.0	30.0	°C
Temperatura dell'aria comburente all'uscita del camino	T_{oBC}	23.0	23.0	23.0	23.0	°C
Pressioni generali (piano 2)	Simbolo	A	B	C	D	U.M.
Pressione differenziale calcolata del generatore di calore	P_{WOC}	0.0	0.0	0.0	0.0	Pa
Effettiva resistenza alla pressione dell'aria comburente	P_B	2.6	0.2	2.6	0.2	Pa
Pressione generata dalla velocità del vento	P_L	0.0	0.0	0.0	0.0	Pa
Pressioni canale da fumo (piano 2)	Simbolo	A	B	C	D	U.M.
Resistenza alla pressione dovuta a resistenza di attrito e di forma del canale da fumo	P_{EV}	0.0	0.0	0.0	0.0	Pa
Differenza di pressione causata da variazione di velocità dei prodotti della combustione nel canale da fumo	P_{GV}	0.0	0.0	0.0	0.0	Pa
Resistenza alla pressione del canale da fumo	P_{RV}	0.0	0.0	0.0	0.0	Pa
Tiraggio teorico disponibile per effetto camino del canale da fumo	P_{HV}	0.0	0.0	0.0	0.0	Pa
Resistenza effettiva alla pressione del canale da fumo	P_{FV}	0.0	0.0	0.0	0.0	Pa
Pressione differenziale massima all'entrata dei prodotti della combustione nel camino	P_{ZOeV}	-2.6	-0.2	-2.6	-0.2	Pa
Pressioni camino (piano 2)	Simbolo	A	B	C	D	U.M.
Resistenza alla pressione dovuta a resistenza di attrito e di forma del camino	P_{EC}	0.0	0.0	0.0	0.0	Pa
Differenza di pressione causata da variazione di velocità dei prodotti della combustione nel camino	P_{GC}	0.8	0.4	0.8	0.4	Pa
Tiraggio teorico disponibile per effetto camino	P_{HC}	0.0	0.0	0.0	0.0	Pa
Resistenza alla pressione del camino	P_{RC}	1.8	0.9	1.8	0.9	Pa
Pressioni canale adduzione aria (piano 2)	Simbolo	A	B	C	D	U.M.
Tiraggio per effetto camino nel tubo di collegamento per l'alimentazione di aria	P_{HBV}	0.0	0.0	0.0	0.0	Pa
Variazione di pressione dovuta alla variazione di velocità del flusso nel tubo di collegamento per l'alimentazione di aria	P_{GBV}	0.0	0.0	0.0	0.0	Pa
Resistenza alla pressione del tubo di collegamento per l'alimentazione di aria	P_{RBV}	0.0	0.0	0.0	0.0	Pa
Pressioni condotto adduzione aria (piano 2)	Simbolo	A	B	C	D	U.M.
Tiraggio per effetto camino nel condotto per l'alimentazione di aria	P_{HBC}	0.0	0.0	0.0	0.0	Pa
Variazione di pressione dovuta alla variazione di velocità del flusso nel condotto per l'alimentazione di aria	P_{GBC}	-0.6	-0.3	-0.6	-0.3	Pa
Resistenza alla pressione del condotto per l'alimentazione di aria	P_{RBC}	-0.3	-0.2	-0.3	-0.2	Pa

Canale da fumo (piano 3)	Simbolo	A	B	C	D	U.M.
Portata massica dei prodotti della combustione	m_{wV}	0.01648	0.00859	0.01648	0.00859	kg/s
Portata massica calcolata dei prodotti della combustione	m_{wCV}	0.03268	0.02337	0.03268	0.02337	kg/s
Costante dei gas dei prodotti della combustione	R_V	288.35	288.23	288.35	288.23	J/(kg × K)
Viscosità dinamica del gas di combustione	η_V	16.94	16.57	16.94	16.57	N × s/m ²
Coefficiente di conduttività termica del gas di combustione	λ_V	0.025	0.025	0.025	0.025	W/(m × K)
Capacità termica specifica del gas di combustione	C_{pV}	1 039.95	1 025.73	1 039.95	1 025.73	J/(kg × K)
Numero di Prandtl	Pr_V	0.700	0.680	0.700	0.680	
Massa volumica dei prodotti della combustione	ρ_{LV}	1.068	1.096	1.068	1.096	kg/m ³
Velocità dei prodotti della combustione	w_{mV}	6.09	4.24	6.09	4.24	m/s
Numero di Reynolds	Re_V	30 699	22 445	30 699	22 445	
Coefficiente di resistenza al flusso dovuta all'attrito per flusso idraulicamente irregolare	ψ_V	0.043	0.043	0.043	0.043	
Coefficiente di resistenza al flusso dovuta all'attrito per flusso idraulicamente regolare	$\psi_{liscioV}$	0.023	0.025	0.023	0.025	
Numero di Nusselt	Nu_V	119.8	87.8	119.8	87.8	
Coefficiente interno di trasmissione del calore	α_{iV}	37.43	27.43	37.43	27.43	W/(m ² × K)
Coefficiente di trasmissione del calore	k_V	1.71	1.67	1.71	1.67	W/(m ² × K)
Coefficiente di raffreddamento	K_V	0.02	0.03	0.02	0.03	
Temperatura dei prodotti della combustione all'ingresso del canale da fumo	T_{eV}	42.0	34.0	42.0	34.0	°C
Temperatura media dei prodotti della combustione nel canale da fumo	T_{mV}	41.8	33.9	41.8	33.9	°C
Temperatura dei prodotti della combustione all'uscita del canale da fumo	T_{oV}	41.7	33.8	41.7	33.8	°C
Camino (piano 3)	Simbolo	A	B	C	D	U.M.
Viscosità dinamica del gas di combustione	η_C	16.92	16.56	16.92	16.56	N × s/m ²
Coefficiente di conduttività termica del gas di combustione	λ_C	0.025	0.024	0.025	0.024	W/(m × K)
Capacità termica specifica del gas di combustione	C_{pC}	1 039.91	1 025.71	1 039.91	1 025.71	J/(kg × K)
Numero di Prandtl	Pr_C	0.700	0.710	0.700	0.710	
Massa volumica dei prodotti della combustione	ρ_{LC}	1.069	1.097	1.069	1.097	kg/m ³

Velocità dei prodotti della combustione	w_{mC}	1.20	0.84	1.20	0.84	m/s
Numero di Reynolds	Re_C	13 660	9 981	13 660	9 981	
Coefficiente di resistenza al flusso dovuta all'attrito per flusso idraulicamente irregolare	ψ_C	0.037	0.038	0.037	0.038	
Coefficiente di resistenza al flusso dovuta all'attrito per flusso idraulicamente regolare	$\psi_{liscioC}$	0.028	0.031	0.028	0.031	
Numero di Nusselt	Nu_C	49.0	36.8	49.0	36.8	
Coefficiente interno di trasmissione del calore	α_C	6.81	4.90	6.81	4.90	W/(m ² × K)
Coefficiente di trasmissione del calore	k_C	1.66	1.46	1.66	1.46	W/(m ² × K)
Coefficiente di raffreddamento	K_C	0.08	0.10	0.08	0.10	
Temperatura dei prodotti della combustione all'ingresso del camino	T_{eC}	41.7	33.8	41.7	33.8	°C
Temperatura media dei prodotti della combustione nel camino	T_{mC}	41.0	33.3	41.0	33.3	°C
Temperatura dei prodotti della combustione all'uscita del camino	T_{oC}	40.3	32.8	40.3	32.8	°C
Temperatura della parete interna alla fine del segmento del camino in equilibrio termico	T_{iobC}	37.7	31.9	37.7	31.9	°C
Canale adduzione aria (piano 3)	Simbolo	A	B	C	D	U.M.
Viscosità dinamica dell'aria comburente	η_{BV}	16.20	16.18	16.20	16.18	N x s/m ²
Coefficiente di conduttività termica dell'aria comburente	λ_{BV}	0.024	0.024	0.024	0.024	W/(m × K)
Capacità termica specifica dell'aria comburente	C_{pBV}	1 005.00	1 005.00	1 005.00	1 005.00	J/(kg × K)
Numero di Prandtl	Pr_{BV}	0.680	0.680	0.680	0.680	
Massa volumica dell'aria comburente	ρ_{LBV}	1.126	1.127	1.126	1.127	kg/m ³
Velocità dell'aria comburente	w_{mBV}	4.67	3.34	4.67	3.34	m/s
Numero di Reynolds	Re_{BV}	8 765	6 276	8 765	6 276	
Coefficiente di resistenza al flusso dovuta all'attrito per flusso idraulicamente irregolare	ψ_{BV}	0.065	0.067	0.065	0.067	
Coefficiente di resistenza al flusso dovuta all'attrito per flusso idraulicamente regolare	$\psi_{liscioBV}$	0.032	0.035	0.032	0.035	
Numero di Nusselt	Nu_{BV}	42.0	29.8	42.0	29.8	
Temperatura dell'aria comburente all'ingresso del canale di adduzione aria	T_{eBV}	25.3	25.0	25.3	25.0	°C
Temperatura media dei prodotti della combustione nel canale da fumo	T_{mBV}	25.5	25.3	25.5	25.3	°C
Temperatura dell'aria comburente all'uscita del canale da fumo	T_{oBV}	25.8	25.5	25.8	25.5	°C

Condotto adduzione aria (piano 3)	Simbolo	A	B	C	D	U.M.
Viscosità dinamica dell'aria comburente	η_{BC}	16.94	16.57	16.94	16.57	N x s/m ²
Coefficiente di conduttività termica dell'aria comburente	λ_{BC}	0.024	0.024	0.024	0.024	W/(m x K)
Capacità termica specifica dell'aria comburente	C_{pBC}	1 005.00	1 005.00	1 005.00	1 005.00	J/(kg x K)
Numero di Prandtl	Pr_{BC}	0.680	0.680	0.680	0.680	
Massa volumica dell'aria comburente	ρ_{LBC}	1.128	1.129	1.128	1.129	kg/m ³
Velocità dell'aria comburente	w_{mBC}	1.01	0.72	1.01	0.72	m/s
Numero di Reynolds	Re_{BC}	4 837	3 463	4 837	3 463	
Coefficiente di resistenza al flusso dovuta all'attrito per flusso idraulicamente irregolare	ψ_{BC}	0.051	0.054	0.051	0.054	
Coefficiente di resistenza al flusso dovuta all'attrito per flusso idraulicamente regolare	$\psi_{liscioBC}$	0.038	0.042	0.038	0.042	
Numero di Nusselt	Nu_{BC}	19.1	13.6	19.1	13.6	
Temperatura dell'aria comburente all'ingresso del condotto di adduzione aria	T_{eBC}	23.0	23.0	23.0	23.0	°C
Temperatura media dei prodotti della combustione nel canale da fumo	T_{mBC}	24.2	24.0	24.2	24.0	°C
Temperatura dell'aria comburente all'uscita del camino	T_{oBC}	25.3	25.0	25.3	25.0	°C
Pressioni generali (piano 3)	Simbolo	A	B	C	D	U.M.
Pressione differenziale calcolata del generatore di calore	P_{WOC}	106.0	54.0	106.0	54.0	Pa
Effettiva resistenza alla pressione dell'aria comburente	P_B	82.5	41.4	82.5	41.4	Pa
Pressione generata dalla velocità del vento	P_L	0.0	0.0	0.0	0.0	Pa
Pressioni canale da fumo (piano 3)	Simbolo	A	B	C	D	U.M.
Resistenza alla pressione dovuta a resistenza di attrito e di forma del canale da fumo	P_{EV}	20.7	10.4	20.7	10.4	Pa
Differenza di pressione causata da variazione di velocità dei prodotti della combustione nel canale da fumo	P_{GV}	-19.0	-9.5	-19.0	-9.5	Pa
Resistenza alla pressione del canale da fumo	P_{RV}	25.2	12.7	25.2	12.7	Pa
Tiraggio teorico disponibile per effetto camino del canale da fumo	P_{HV}	0.2	0.1	0.2	0.1	Pa
Resistenza effettiva alla pressione del canale da fumo	P_{FV}	25.0	12.6	25.0	12.6	Pa
Pressione differenziale massima all'entrata dei prodotti della combustione nel camino	P_{ZoeV}	-1.4	0.0	-1.4	0.0	Pa
Pressioni camino (piano 3)	Simbolo	A	B	C	D	U.M.
Resistenza alla pressione dovuta a resistenza di attrito e di forma del camino	P_{EC}	0.5	0.2	0.5	0.2	Pa

Differenza di pressione causata da variazione di velocità dei prodotti della combustione nel camino	P_{GC}	0.0	0.0	0.0	0.0	Pa
Tiraggio teorico disponibile per effetto camino	P_{HC}	1.2	0.4	1.2	0.4	Pa
Resistenza alla pressione del camino	P_{RC}	0.6	0.3	0.6	0.3	Pa
Pressioni canale adduzione aria (piano 3)	Simbolo	A	B	C	D	U.M.
Tiraggio per effetto camino nel tubo di collegamento per l'alimentazione di aria	P_{HBV}	-0.1	-0.1	-0.1	-0.1	Pa
Variazione di pressione dovuta alla variazione di velocità del flusso nel tubo di collegamento per l'alimentazione di aria	P_{GBV}	11.7	6.0	11.7	6.0	Pa
Resistenza alla pressione del tubo di collegamento per l'alimentazione di aria	P_{RBV}	79.6	41.2	79.6	41.2	Pa
Pressioni condotto adduzione aria (piano 3)	Simbolo	A	B	C	D	U.M.
Tiraggio per effetto camino nel condotto per l'alimentazione di aria	P_{HBC}	-0.6	-0.7	-0.6	-0.7	Pa
Variazione di pressione dovuta alla variazione di velocità del flusso nel condotto per l'alimentazione di aria	P_{GBC}	0.0	0.0	0.0	0.0	Pa
Resistenza alla pressione del condotto per l'alimentazione di aria	P_{RBC}	1.6	0.8	1.6	0.8	Pa
Canale da fumo (piano 4)	Simbolo	A	B	C	D	U.M.
Portata massica dei prodotti della combustione	m_{wV}	0.00000	0.00000	0.00000	0.00000	kg/s
Portata massica calcolata dei prodotti della combustione	m_{wcV}	0.00000	0.00000	0.00000	0.00000	kg/s
Costante dei gas dei prodotti della combustione	R_V	288.00	288.00	288.00	288.00	J/(kg × K)
Viscosità dinamica del gas di combustione	η_V	16.39	16.39	16.39	16.39	N × s/m ²
Coefficiente di conduttività termica del gas di combustione	λ_V	0.024	0.024	0.024	0.024	W/(m × K)
Capacità termica specifica del gas di combustione	C_{pV}	1 005.00	1 005.00	1 005.00	1 005.00	J/(kg × K)
Numero di Prandtl	Pr_V	0.690	0.690	0.690	0.690	
Massa volumica dei prodotti della combustione	ρ_{LV}	1.111	1.111	1.111	1.111	kg/m ³
Velocità dei prodotti della combustione	w_{mV}	0.00	0.00	0.00	0.00	m/s
Numero di Reynolds	Re_V	2 711	2 711	2 711	2 711	
Coefficiente di resistenza al flusso dovuta all'attrito per flusso idraulicamente irregolare	ψ_V	0.055	0.055	0.055	0.055	
Coefficiente di resistenza al flusso dovuta all'attrito per flusso idraulicamente regolare	$\psi_{liscioV}$	0.045	0.045	0.045	0.045	
Numero di Nusselt	Nu_V	11.0	11.0	11.0	11.0	
Coefficiente interno di trasmissione del calore	α_{iV}	4.00	4.00	4.00	4.00	W/(m ² × K)
Coefficiente di trasmissione del calore	k_V	1.20	1.20	1.20	1.20	W/(m ² × K)

Coefficiente di raffreddamento	K_V	1 000 000 000.00	1 000 000 000.00	1 000 000 000.00	1 000 000 000.00	
Temperatura dei prodotti della combustione all'ingresso del canale da fumo	T_{eV}	30.0	30.0	30.0	30.0	°C
Temperatura media dei prodotti della combustione nel canale da fumo	T_{mV}	30.0	30.0	30.0	30.0	°C
Temperatura dei prodotti della combustione all'uscita del canale da fumo	T_{oV}	30.0	30.0	30.0	30.0	°C
Camino (piano 4)	Simbolo	A	B	C	D	U.M.
Viscosità dinamica del gas di combustione	η_C	16.86	16.52	16.86	16.52	N x s/m ²
Coefficiente di conduttività termica del gas di combustione	λ_C	0.025	0.024	0.025	0.024	W/(m x K)
Capacità termica specifica del gas di combustione	C_{pC}	1 039.76	1 025.63	1 039.76	1 025.63	J/(kg x K)
Numero di Prandtl	Pr_C	0.700	0.710	0.700	0.710	
Massa volumica dei prodotti della combustione	ρ_{LC}	1.074	1.100	1.074	1.100	kg/m ³
Velocità dei prodotti della combustione	w_{mC}	1.20	0.83	1.20	0.83	m/s
Numero di Reynolds	Re_C	13 709	10 006	13 709	10 006	
Coefficiente di resistenza al flusso dovuta all'attrito per flusso idraulicamente irregolare	ψ_C	0.037	0.038	0.037	0.038	
Coefficiente di resistenza al flusso dovuta all'attrito per flusso idraulicamente regolare	ψ_{iscioC}	0.028	0.031	0.028	0.031	
Numero di Nusselt	Nu_C	49.2	36.9	49.2	36.9	
Coefficiente interno di trasmissione del calore	α_{iC}	6.83	4.92	6.83	4.92	W/(m ² x K)
Coefficiente di trasmissione del calore	k_C	1.66	1.46	1.66	1.46	W/(m ² x K)
Coefficiente di raffreddamento	K_C	0.08	0.10	0.08	0.10	
Temperatura dei prodotti della combustione all'ingresso del camino	T_{eC}	40.3	32.8	40.3	32.8	°C
Temperatura media dei prodotti della combustione nel camino	T_{mC}	39.6	32.3	39.6	32.3	°C
Temperatura dei prodotti della combustione all'uscita del camino	T_{oC}	38.8	31.7	38.8	31.7	°C
Temperatura della parete interna alla fine del segmento del camino in equilibrio termico	T_{iobC}	36.6	31.2	36.6	31.2	°C
Canale adduzione aria (piano 4)	Simbolo	A	B	C	D	U.M.
Viscosità dinamica dell'aria comburente	η_{BV}	16.71	16.71	16.71	16.71	N x s/m ²
Coefficiente di conduttività termica dell'aria comburente	λ_{BV}	0.025	0.025	0.025	0.025	W/(m x K)
Capacità termica specifica dell'aria comburente	C_{pBV}	1 005.00	1 005.00	1 005.00	1 005.00	J/(kg x K)

Numero di Prandtl	Pr_{BV}	0.670	0.670	0.670	0.670	
Massa volumica dell'aria comburente	ρ_{LBV}	1.086	1.086	1.086	1.086	kg/m³
Velocità dell'aria comburente	w_{mBV}	0.00	0.00	0.00	0.00	m/s
Numero di Reynolds	Re_{BV}	2 300	2 300	2 300	2 300	
Coefficiente di resistenza al flusso dovuta all'attrito per flusso idraulicamente irregolare	ψ_{BV}	0.073	0.073	0.073	0.073	
Coefficiente di resistenza al flusso dovuta all'attrito per flusso idraulicamente regolare	$\psi_{liscioBV}$	0.047	0.047	0.047	0.047	
Numero di Nusselt	Nu_{BV}	10.1	10.1	10.1	10.1	
Temperatura dell'aria comburente all'ingresso del canale di adduzione aria	T_{eBV}	23.0	23.0	23.0	23.0	°C
Temperatura media dei prodotti della combustione nel canale da fumo	T_{mBV}	30.0	30.0	30.0	30.0	°C
Temperatura dell'aria comburente all'uscita del canale da fumo	T_{oBV}	37.0	37.0	37.0	37.0	°C
Condotto adduzione aria (piano 4)	Simbolo	A	B	C	D	U.M.
Viscosità dinamica dell'aria comburente	η_{BC}	16.39	16.39	16.39	16.39	N x s/m²
Coefficiente di conduttività termica dell'aria comburente	λ_{BC}	0.024	0.024	0.024	0.024	W/(m x K)
Capacità termica specifica dell'aria comburente	C_{pBC}	1 005.00	1 005.00	1 005.00	1 005.00	J/(kg x K)
Numero di Prandtl	Pr_{BC}	0.670	0.670	0.670	0.670	
Massa volumica dell'aria comburente	ρ_{LBC}	1.137	1.137	1.137	1.137	kg/m³
Velocità dell'aria comburente	w_{mBC}	1.01	0.72	1.01	0.72	m/s
Numero di Reynolds	Re_{BC}	4 870	3 483	4 870	3 483	
Coefficiente di resistenza al flusso dovuta all'attrito per flusso idraulicamente irregolare	ψ_{BC}	0.051	0.054	0.051	0.054	
Coefficiente di resistenza al flusso dovuta all'attrito per flusso idraulicamente regolare	$\psi_{liscioBC}$	0.038	0.042	0.038	0.042	
Numero di Nusselt	Nu_{BC}	19.2	13.6	19.2	13.6	
Temperatura dell'aria comburente all'ingresso del condotto di adduzione aria	T_{eBC}	20.3	20.4	20.3	20.4	°C
Temperatura media dei prodotti della combustione nel canale da fumo	T_{mBC}	21.7	21.7	21.7	21.7	°C
Temperatura dell'aria comburente all'uscita del camino	T_{oBC}	23.0	23.0	23.0	23.0	°C
Pressioni generali (piano 4)	Simbolo	A	B	C	D	U.M.
Pressione differenziale calcolata del generatore di calore	P_{WOC}	0.0	0.0	0.0	0.0	Pa

Effettiva resistenza alla pressione dell'aria comburente	P_B	2.1	0.3	2.1	0.3	Pa
Pressione generata dalla velocità del vento	P_L	0.0	0.0	0.0	0.0	Pa
Pressioni canale da fumo (piano 4)	Simbolo	A	B	C	D	U.M.
Resistenza alla pressione dovuta a resistenza di attrito e di forma del canale da fumo	P_{EV}	0.0	0.0	0.0	0.0	Pa
Differenza di pressione causata da variazione di velocità dei prodotti della combustione nel canale da fumo	P_{GV}	0.8	0.4	0.8	0.4	Pa
Resistenza alla pressione del canale da fumo	P_{RV}	0.2	0.1	0.2	0.1	Pa
Tiraggio teorico disponibile per effetto camino del canale da fumo	P_{HV}	0.0	0.0	0.0	0.0	Pa
Resistenza effettiva alla pressione del canale da fumo	P_{FV}	0.2	0.1	0.2	0.1	Pa
Pressione differenziale massima all'entrata dei prodotti della combustione nel camino	P_{ZOeV}	-2.3	-0.4	-2.3	-0.4	Pa
Pressioni camino (piano 4)	Simbolo	A	B	C	D	U.M.
Resistenza alla pressione dovuta a resistenza di attrito e di forma del camino	P_{EC}	0.5	0.2	0.5	0.2	Pa
Differenza di pressione causata da variazione di velocità dei prodotti della combustione nel camino	P_{GC}	0.0	0.0	0.0	0.0	Pa
Tiraggio teorico disponibile per effetto camino	P_{HC}	1.0	0.3	1.0	0.3	Pa
Resistenza alla pressione del camino	P_{RC}	0.6	0.3	0.6	0.3	Pa
Pressioni canale adduzione aria (piano 4)	Simbolo	A	B	C	D	U.M.
Tiraggio per effetto camino nel tubo di collegamento per l'alimentazione di aria	P_{HBV}	0.0	0.0	0.0	0.0	Pa
Variazione di pressione dovuta alla variazione di velocità del flusso nel tubo di collegamento per l'alimentazione di aria	P_{GBV}	-0.6	-0.3	-0.6	-0.3	Pa
Resistenza alla pressione del tubo di collegamento per l'alimentazione di aria	P_{RBV}	0.1	0.1	0.1	0.1	Pa
Pressioni condotto adduzione aria (piano 4)	Simbolo	A	B	C	D	U.M.
Tiraggio per effetto camino nel condotto per l'alimentazione di aria	P_{HBC}	-0.9	-0.9	-0.9	-0.9	Pa
Variazione di pressione dovuta alla variazione di velocità del flusso nel condotto per l'alimentazione di aria	P_{GBC}	0.0	0.0	0.0	0.0	Pa
Resistenza alla pressione del condotto per l'alimentazione di aria	P_{RBC}	1.5	0.8	1.5	0.8	Pa
Canale da fumo (piano 5)	Simbolo	A	B	C	D	U.M.
Portata massica dei prodotti della combustione	m_{wV}	0.00000	0.00000	0.00000	0.00000	kg/s
Portata massica calcolata dei prodotti della combustione	m_{wcV}	0.00000	0.00000	0.00000	0.00000	kg/s
Costante dei gas dei prodotti della combustione	R_V	288.00	288.00	288.00	288.00	J/(kg × K)
Viscosità dinamica del gas di combustione	η_V	16.39	16.39	16.39	16.39	N x s/m²

Coefficiente di conduttività termica del gas di combustione	λ_V	0.024	0.024	0.024	0.024	W/(m × K)
Capacità termica specifica del gas di combustione	C_{pV}	1 005.00	1 005.00	1 005.00	1 005.00	J/(kg × K)
Numero di Prandtl	Pr_V	0.690	0.690	0.690	0.690	
Massa volumica dei prodotti della combustione	ρ_{LV}	1.111	1.111	1.111	1.111	kg/m³
Velocità dei prodotti della combustione	w_{mV}	0.00	0.00	0.00	0.00	m/s
Numero di Reynolds	Re_V	2 711	2 711	2 711	2 711	
Coefficiente di resistenza al flusso dovuta all'attrito per flusso idraulicamente irregolare	ψ_V	0.055	0.055	0.055	0.055	
Coefficiente di resistenza al flusso dovuta all'attrito per flusso idraulicamente regolare	$\psi_{liscioV}$	0.045	0.045	0.045	0.045	
Numero di Nusselt	Nu_V	11.0	11.0	11.0	11.0	
Coefficiente interno di trasmissione del calore	α_V	4.00	4.00	4.00	4.00	W/(m² × K)
Coefficiente di trasmissione del calore	k_V	1.20	1.20	1.20	1.20	W/(m² × K)
Coefficiente di raffreddamento	K_V	1 000 000 000.00	1 000 000 000.00	1 000 000 000.00	1 000 000 000.00	
Temperatura dei prodotti della combustione all'ingresso del canale da fumo	T_{eV}	30.0	30.0	30.0	30.0	°C
Temperatura media dei prodotti della combustione nel canale da fumo	T_{mV}	30.0	30.0	30.0	30.0	°C
Temperatura dei prodotti della combustione all'uscita del canale da fumo	T_{oV}	30.0	30.0	30.0	30.0	°C
Camino (piano 5)	Simbolo	A	B	C	D	U.M.
Viscosità dinamica del gas di combustione	η_C	16.79	16.47	16.79	16.47	N x s/m²
Coefficiente di conduttività termica del gas di combustione	λ_C	0.025	0.024	0.025	0.024	W/(m × K)
Capacità termica specifica del gas di combustione	C_{pC}	1 039.59	1 025.53	1 039.59	1 025.53	J/(kg × K)
Numero di Prandtl	Pr_C	0.700	0.700	0.700	0.700	
Massa volumica dei prodotti della combustione	ρ_{LC}	1.079	1.104	1.079	1.104	kg/m³
Velocità dei prodotti della combustione	w_{mC}	1.19	0.83	1.19	0.83	m/s
Numero di Reynolds	Re_C	13 766	10 036	13 766	10 036	
Coefficiente di resistenza al flusso dovuta all'attrito per flusso idraulicamente irregolare	ψ_C	0.037	0.038	0.037	0.038	
Coefficiente di resistenza al flusso dovuta all'attrito per flusso idraulicamente regolare	$\psi_{liscioC}$	0.028	0.031	0.028	0.031	
Numero di Nusselt	Nu_C	49.4	36.8	49.4	36.8	

Coefficiente interno di trasmissione del calore	α_{iC}	6.85	4.90	6.85	4.90	W/(m ² × K)
Coefficiente di trasmissione del calore	k_C	1.66	1.46	1.66	1.46	W/(m ² × K)
Coefficiente di raffreddamento	K_C	0.08	0.10	0.08	0.10	
Temperatura dei prodotti della combustione all'ingresso del camino	T_{eC}	38.8	31.7	38.8	31.7	°C
Temperatura media dei prodotti della combustione nel camino	T_{mC}	38.1	31.2	38.1	31.2	°C
Temperatura dei prodotti della combustione all'uscita del camino	T_{oC}	37.5	30.8	37.5	30.8	°C
Temperatura della parete interna alla fine del segmento del camino in equilibrio termico	T_{iobC}	35.6	30.5	35.6	30.5	°C
Canale adduzione aria (piano 5)	Simbolo	A	B	C	D	U.M.
Viscosità dinamica dell'aria comburente	η_{BV}	16.71	16.71	16.71	16.71	N x s/m ²
Coefficiente di conduttività termica dell'aria comburente	λ_{BV}	0.025	0.025	0.025	0.025	W/(m × K)
Capacità termica specifica dell'aria comburente	C_{pBV}	1 005.00	1 005.00	1 005.00	1 005.00	J/(kg × K)
Numero di Prandtl	Pr_{BV}	0.670	0.670	0.670	0.670	
Massa volumica dell'aria comburente	ρ_{LBV}	1.086	1.086	1.086	1.086	kg/m ³
Velocità dell'aria comburente	w_{mBV}	0.00	0.00	0.00	0.00	m/s
Numero di Reynolds	Re_{BV}	2 300	2 300	2 300	2 300	
Coefficiente di resistenza al flusso dovuta all'attrito per flusso idraulicamente irregolare	ψ_{BV}	0.073	0.073	0.073	0.073	
Coefficiente di resistenza al flusso dovuta all'attrito per flusso idraulicamente regolare	$\psi_{liscioBV}$	0.047	0.047	0.047	0.047	
Numero di Nusselt	Nu_{BV}	10.1	10.1	10.1	10.1	
Temperatura dell'aria comburente all'ingresso del canale di adduzione aria	T_{eBV}	23.0	23.0	23.0	23.0	°C
Temperatura media dei prodotti della combustione nel canale da fumo	T_{mBV}	30.0	30.0	30.0	30.0	°C
Temperatura dell'aria comburente all'uscita del canale da fumo	T_{oBV}	37.0	37.0	37.0	37.0	°C
Condotto adduzione aria (piano 5)	Simbolo	A	B	C	D	U.M.
Viscosità dinamica dell'aria comburente	η_{BC}	16.39	16.39	16.39	16.39	N x s/m ²
Coefficiente di conduttività termica dell'aria comburente	λ_{BC}	0.024	0.024	0.024	0.024	W/(m × K)
Capacità termica specifica dell'aria comburente	C_{pBC}	1 005.00	1 005.00	1 005.00	1 005.00	J/(kg × K)
Numero di Prandtl	Pr_{BC}	0.670	0.670	0.670	0.670	

Massa volumica dell'aria comburente	ρ_{LBC}	1.137	1.137	1.137	1.137	kg/m³
Velocità dell'aria comburente	w_{mBC}	1.01	0.72	1.01	0.72	m/s
Numero di Reynolds	Re_{BC}	4 870	3 483	4 870	3 483	
Coefficiente di resistenza al flusso dovuta all'attrito per flusso idraulicamente irregolare	ψ_{BC}	0.051	0.054	0.051	0.054	
Coefficiente di resistenza al flusso dovuta all'attrito per flusso idraulicamente regolare	$\psi_{liscioBC}$	0.038	0.042	0.038	0.042	
Numero di Nusselt	Nu_{BC}	19.2	13.6	19.2	13.6	
Temperatura dell'aria comburente all'ingresso del condotto di adduzione aria	T_{eBC}	20.4	20.6	20.4	20.6	°C
Temperatura media dei prodotti della combustione nel canale da fumo	T_{mBC}	21.7	21.8	21.7	21.8	°C
Temperatura dell'aria comburente all'uscita del camino	T_{oBC}	23.0	23.0	23.0	23.0	°C
Pressioni generali (piano 5)	Simbolo	A	B	C	D	U.M.
Pressione differenziale calcolata del generatore di calore	P_{WOC}	0.0	0.0	0.0	0.0	Pa
Effettiva resistenza alla pressione dell'aria comburente	P_B	1.5	0.3	1.5	0.3	Pa
Pressione generata dalla velocità del vento	P_L	0.0	0.0	0.0	0.0	Pa
Pressioni canale da fumo (piano 5)	Simbolo	A	B	C	D	U.M.
Resistenza alla pressione dovuta a resistenza di attrito e di forma del canale da fumo	P_{EV}	0.0	0.0	0.0	0.0	Pa
Differenza di pressione causata da variazione di velocità dei prodotti della combustione nel canale da fumo	P_{GV}	0.8	0.4	0.8	0.4	Pa
Resistenza alla pressione del canale da fumo	P_{RV}	0.2	0.1	0.2	0.1	Pa
Tiraggio teorico disponibile per effetto camino del canale da fumo	P_{HV}	0.0	0.0	0.0	0.0	Pa
Resistenza effettiva alla pressione del canale da fumo	P_{FV}	0.2	0.1	0.2	0.1	Pa
Pressione differenziale massima all'entrata dei prodotti della combustione nel camino	P_{ZoeV}	-1.7	-0.5	-1.7	-0.5	Pa
Pressioni camino (piano 5)	Simbolo	A	B	C	D	U.M.
Resistenza alla pressione dovuta a resistenza di attrito e di forma del camino	P_{EC}	0.5	0.2	0.5	0.2	Pa
Differenza di pressione causata da variazione di velocità dei prodotti della combustione nel camino	P_{GC}	0.0	0.0	0.0	0.0	Pa
Tiraggio teorico disponibile per effetto camino	P_{HC}	0.9	0.1	0.9	0.1	Pa
Resistenza alla pressione del camino	P_{RC}	0.6	0.3	0.6	0.3	Pa
Pressioni canale adduzione aria (piano 5)	Simbolo	A	B	C	D	U.M.
Tiraggio per effetto camino nel tubo di collegamento per l'alimentazione di aria	P_{HBV}	0.0	0.0	0.0	0.0	Pa

Variazione di pressione dovuta alla variazione di velocità del flusso nel tubo di collegamento per l'alimentazione di aria	P_{GBV}	-0.6	-0.3	-0.6	-0.3	Pa
Resistenza alla pressione del tubo di collegamento per l'alimentazione di aria	P_{RBV}	0.1	0.1	0.1	0.1	Pa
Pressioni condotto adduzione aria (piano 5)	Simbolo	A	B	C	D	U.M.
Tiraggio per effetto camino nel condotto per l'alimentazione di aria	P_{HBC}	-0.9	-0.9	-0.9	-0.9	Pa
Variazione di pressione dovuta alla variazione di velocità del flusso nel condotto per l'alimentazione di aria	P_{GBC}	0.6	0.3	0.6	0.3	Pa
Resistenza alla pressione del condotto per l'alimentazione di aria	P_{RBC}	2.2	1.2	2.2	1.2	Pa

Generatore 4 acceso e tutti gli altri spenti

Generali	Simbolo	A	B	C	D	U.M.
Costante dei gas dell'aria	R_L	288.00	288.00	288.00	288.00	J/(kg × K)
Pressione dell'aria esterna	p_L	96 967.3	96 967.3	96 967.3	96 967.3	Pa
Massa volumica dell'aria esterna	ρ_L	1.111	1.111	1.111	1.111	kg/m³
Canale da fumo (piano 1)	Simbolo	A	B	C	D	U.M.
Portata massica dei prodotti della combustione	m_{wV}	0.00000	0.00000	0.00000	0.00000	kg/s
Portata massica calcolata dei prodotti della combustione	m_{wcV}	0.00000	0.00000	0.00000	0.00000	kg/s
Costante dei gas dei prodotti della combustione	R_V	288.00	288.00	288.00	288.00	J/(kg × K)
Viscosità dinamica del gas di combustione	η_V	16.39	16.39	16.39	16.39	N x s/m²
Coefficiente di conduttività termica del gas di combustione	λ_V	0.024	0.024	0.024	0.024	W/(m × K)
Capacità termica specifica del gas di combustione	C_{pV}	1 005.00	1 005.00	1 005.00	1 005.00	J/(kg × K)
Numero di Prandtl	Pr_V	0.690	0.690	0.690	0.690	
Massa volumica dei prodotti della combustione	ρ_{LV}	1.111	1.111	1.111	1.111	kg/m³
Velocità dei prodotti della combustione	w_{mV}	0.00	0.00	0.00	0.00	m/s
Numero di Reynolds	Re_V	2 711	2 711	2 711	2 711	
Coefficiente di resistenza al flusso dovuta all'attrito per flusso idraulicamente irregolare	ψ_V	0.055	0.055	0.055	0.055	
Coefficiente di resistenza al flusso dovuta all'attrito per flusso idraulicamente regolare	$\psi_{liscioV}$	0.045	0.045	0.045	0.045	
Numero di Nusselt	Nu_V	11.0	11.0	11.0	11.0	
Coefficiente interno di trasmissione del calore	α_V	4.00	4.00	4.00	4.00	W/(m² × K)
Coefficiente di trasmissione del calore	k_V	1.20	1.20	1.20	1.20	W/(m² × K)
Coefficiente di raffreddamento	K_V	1 000 000 000.00	1 000 000 000.00	1 000 000 000.00	1 000 000 000.00	
Temperatura dei prodotti della combustione all'ingresso del canale da fumo	T_{eV}	30.0	30.0	30.0	30.0	°C
Temperatura media dei prodotti della combustione nel canale da fumo	T_{mV}	30.0	30.0	30.0	30.0	°C
Temperatura dei prodotti della combustione all'uscita del canale da fumo	T_{oV}	30.0	30.0	30.0	30.0	°C
Camino (piano 1)	Simbolo	A	B	C	D	U.M.

Viscosità dinamica del gas di combustione	η_C	16.39	16.39	16.39	16.39	N x s/m ²
Coefficiente di conduttività termica del gas di combustione	λ_C	0.024	0.024	0.024	0.024	W/(m x K)
Capacità termica specifica del gas di combustione	C_{pC}	1 012.77	1 012.77	1 012.77	1 012.77	J/(kg x K)
Numero di Prandtl	Pr_C	0.690	0.690	0.690	0.690	
Massa volumica dei prodotti della combustione	ρ_{LC}	1.111	1.111	1.111	1.111	kg/m ³
Velocità dei prodotti della combustione	w_{mC}	0.00	0.00	0.00	0.00	m/s
Numero di Reynolds	Re_C	6 099	6 099	6 099	6 099	
Coefficiente di resistenza al flusso dovuta all'attrito per flusso idraulicamente irregolare	ψ_C	0.042	0.042	0.042	0.042	
Coefficiente di resistenza al flusso dovuta all'attrito per flusso idraulicamente regolare	$\psi_{liscioC}$	0.035	0.035	0.035	0.035	
Numero di Nusselt	Nu_C	22.9	22.9	22.9	22.9	
Coefficiente interno di trasmissione del calore	α_C	4.00	4.00	4.00	4.00	W/(m ² x K)
Coefficiente di trasmissione del calore	k_C	1.29	1.29	1.29	1.29	W/(m ² x K)
Coefficiente di raffreddamento	K_C	1 000 000 000.00	1 000 000 000.00	1 000 000 000.00	1 000 000 000.00	
Temperatura dei prodotti della combustione all'ingresso del camino	T_{eC}	30.0	30.0	30.0	30.0	°C
Temperatura media dei prodotti della combustione nel camino	T_{mC}	30.0	30.0	30.0	30.0	°C
Temperatura dei prodotti della combustione all'uscita del camino	T_{oC}	30.0	30.0	30.0	30.0	°C
Temperatura della parete interna alla fine del segmento del camino in equilibrio termico	T_{iobC}	30.0	30.0	30.0	30.0	°C
Canale adduzione aria (piano 1)	Simbolo	A	B	C	D	U.M.
Viscosità dinamica dell'aria comburente	η_{BV}	16.71	16.71	16.71	16.71	N x s/m ²
Coefficiente di conduttività termica dell'aria comburente	λ_{BV}	0.025	0.025	0.025	0.025	W/(m x K)
Capacità termica specifica dell'aria comburente	C_{pBV}	1 005.00	1 005.00	1 005.00	1 005.00	J/(kg x K)
Numero di Prandtl	Pr_{BV}	0.670	0.670	0.670	0.670	
Massa volumica dell'aria comburente	ρ_{LBV}	1.086	1.086	1.086	1.086	kg/m ³
Velocità dell'aria comburente	w_{mBV}	0.00	0.00	0.00	0.00	m/s
Numero di Reynolds	Re_{BV}	2 300	2 300	2 300	2 300	
Coefficiente di resistenza al flusso dovuta all'attrito per flusso idraulicamente irregolare	ψ_{BV}	0.073	0.073	0.073	0.073	

Coefficiente di resistenza al flusso dovuta all'attrito per flusso idraulicamente regolare	ψ_{liscioBV}	0.047	0.047	0.047	0.047	
Numero di Nusselt	Nu_{BV}	10.1	10.1	10.1	10.1	
Temperatura dell'aria comburente all'ingresso del canale di adduzione aria	T_{eBV}	23.0	23.0	23.0	23.0	°C
Temperatura media dei prodotti della combustione nel canale da fumo	T_{mBV}	30.0	30.0	30.0	30.0	°C
Temperatura dell'aria comburente all'uscita del canale da fumo	T_{oBV}	37.0	37.0	37.0	37.0	°C
Condotto adduzione aria (piano 1)	Simbolo	A	B	C	D	U.M.
Viscosità dinamica dell'aria comburente	η_{BC}	16.39	16.39	16.39	16.39	N x s/m ²
Coefficiente di conduttività termica dell'aria comburente	λ_{BC}	0.024	0.024	0.024	0.024	W/(m x K)
Capacità termica specifica dell'aria comburente	C_{pBC}	1 005.00	1 005.00	1 005.00	1 005.00	J/(kg x K)
Numero di Prandtl	Pr_{BC}	0.670	0.670	0.670	0.670	
Massa volumica dell'aria comburente	ρ_{LBC}	1.137	1.137	1.137	1.137	kg/m ³
Velocità dell'aria comburente	w_{mBC}	0.00	0.00	0.00	0.00	m/s
Numero di Reynolds	Re_{BC}	2 420	2 420	2 420	2 420	
Coefficiente di resistenza al flusso dovuta all'attrito per flusso idraulicamente irregolare	ψ_{BC}	0.058	0.058	0.058	0.058	
Coefficiente di resistenza al flusso dovuta all'attrito per flusso idraulicamente regolare	ψ_{liscioBC}	0.047	0.047	0.047	0.047	
Numero di Nusselt	Nu_{BC}	9.3	9.3	9.3	9.3	
Temperatura dell'aria comburente all'ingresso del condotto di adduzione aria	T_{eBC}	37.0	37.0	37.0	37.0	°C
Temperatura media dei prodotti della combustione nel canale da fumo	T_{mBC}	30.0	30.0	30.0	30.0	°C
Temperatura dell'aria comburente all'uscita del camino	T_{oBC}	23.0	23.0	23.0	23.0	°C
Pressioni generali (piano 1)	Simbolo	A	B	C	D	U.M.
Pressione differenziale calcolata del generatore di calore	P_{WOc}	0.0	0.0	0.0	0.0	Pa
Effettiva resistenza alla pressione dell'aria comburente	P_{B}	2.0	0.3	2.0	0.3	Pa
Pressione generata dalla velocità del vento	P_{L}	0.0	0.0	0.0	0.0	Pa
Pressioni canale da fumo (piano 1)	Simbolo	A	B	C	D	U.M.
Resistenza alla pressione dovuta a resistenza di attrito e di forma del canale da fumo	P_{EV}	0.0	0.0	0.0	0.0	Pa
Differenza di pressione causata da variazione di velocità dei prodotti della combustione nel canale da fumo	P_{GV}	0.0	0.0	0.0	0.0	Pa
Resistenza alla pressione del canale da fumo	P_{RV}	0.0	0.0	0.0	0.0	Pa

Tiraggio teorico disponibile per effetto camino del canale da fumo	P_{HV}	0.0	0.0	0.0	0.0	Pa
Resistenza effettiva alla pressione del canale da fumo	P_{FV}	0.0	0.0	0.0	0.0	Pa
Pressione differenziale massima all'entrata dei prodotti della combustione nel camino	P_{ZOeV}	-2.0	-0.3	-2.0	-0.3	Pa
Pressioni camino (piano 1)	Simbolo	A	B	C	D	U.M.
Resistenza alla pressione dovuta a resistenza di attrito e di forma del camino	P_{EC}	0.0	0.0	0.0	0.0	Pa
Differenza di pressione causata da variazione di velocità dei prodotti della combustione nel camino	P_{GC}	0.0	0.0	0.0	0.0	Pa
Tiraggio teorico disponibile per effetto camino	P_{HC}	0.0	0.0	0.0	0.0	Pa
Resistenza alla pressione del camino	P_{RC}	0.0	0.0	0.0	0.0	Pa
Pressioni canale adduzione aria (piano 1)	Simbolo	A	B	C	D	U.M.
Tiraggio per effetto camino nel tubo di collegamento per l'alimentazione di aria	P_{HBV}	0.0	0.0	0.0	0.0	Pa
Variazione di pressione dovuta alla variazione di velocità del flusso nel tubo di collegamento per l'alimentazione di aria	P_{GBV}	0.0	0.0	0.0	0.0	Pa
Resistenza alla pressione del tubo di collegamento per l'alimentazione di aria	P_{RBV}	0.0	0.0	0.0	0.0	Pa
Pressioni condotto adduzione aria (piano 1)	Simbolo	A	B	C	D	U.M.
Tiraggio per effetto camino nel condotto per l'alimentazione di aria	P_{HBC}	0.0	0.0	0.0	0.0	Pa
Variazione di pressione dovuta alla variazione di velocità del flusso nel condotto per l'alimentazione di aria	P_{GBC}	0.0	0.0	0.0	0.0	Pa
Resistenza alla pressione del condotto per l'alimentazione di aria	P_{RBC}	0.0	0.0	0.0	0.0	Pa
Canale da fumo (piano 2)	Simbolo	A	B	C	D	U.M.
Portata massica dei prodotti della combustione	m_{wV}	0.00000	0.00000	0.00000	0.00000	kg/s
Portata massica calcolata dei prodotti della combustione	m_{wcV}	0.00000	0.00000	0.00000	0.00000	kg/s
Costante dei gas dei prodotti della combustione	R_V	288.00	288.00	288.00	288.00	J/(kg × K)
Viscosità dinamica del gas di combustione	η_V	16.39	16.39	16.39	16.39	N × s/m ²
Coefficiente di conduttività termica del gas di combustione	λ_V	0.024	0.024	0.024	0.024	W/(m × K)
Capacità termica specifica del gas di combustione	C_{pV}	1 005.00	1 005.00	1 005.00	1 005.00	J/(kg × K)
Numero di Prandtl	Pr_V	0.690	0.690	0.690	0.690	
Massa volumica dei prodotti della combustione	ρ_{LV}	1.111	1.111	1.111	1.111	kg/m ³
Velocità dei prodotti della combustione	w_{mV}	0.00	0.00	0.00	0.00	m/s
Numero di Reynolds	Re_V	2 711	2 711	2 711	2 711	

Coefficiente di resistenza al flusso dovuta all'attrito per flusso idraulicamente irregolare	ψ_V	0.055	0.055	0.055	0.055	
Coefficiente di resistenza al flusso dovuta all'attrito per flusso idraulicamente regolare	$\psi_{liscioV}$	0.045	0.045	0.045	0.045	
Numero di Nusselt	Nu_V	11.0	11.0	11.0	11.0	
Coefficiente interno di trasmissione del calore	α_{iV}	4.00	4.00	4.00	4.00	W/(m ² × K)
Coefficiente di trasmissione del calore	k_V	1.20	1.20	1.20	1.20	W/(m ² × K)
Coefficiente di raffreddamento	K_V	1 000 000 000.00	1 000 000 000.00	1 000 000 000.00	1 000 000 000.00	
Temperatura dei prodotti della combustione all'ingresso del canale da fumo	T_{eV}	30.0	30.0	30.0	30.0	°C
Temperatura media dei prodotti della combustione nel canale da fumo	T_{mV}	30.0	30.0	30.0	30.0	°C
Temperatura dei prodotti della combustione all'uscita del canale da fumo	T_{oV}	30.0	30.0	30.0	30.0	°C
Camino (piano 2)	Simbolo	A	B	C	D	U.M.
Viscosità dinamica del gas di combustione	η_C	16.39	16.39	16.39	16.39	N x s/m ²
Coefficiente di conduttività termica del gas di combustione	λ_C	0.024	0.024	0.024	0.024	W/(m × K)
Capacità termica specifica del gas di combustione	C_{pC}	1 012.77	1 012.77	1 012.77	1 012.77	J/(kg × K)
Numero di Prandtl	Pr_C	0.690	0.690	0.690	0.690	
Massa volumica dei prodotti della combustione	ρ_{LC}	1.111	1.111	1.111	1.111	kg/m ³
Velocità dei prodotti della combustione	w_{mC}	0.00	0.00	0.00	0.00	m/s
Numero di Reynolds	Re_C	6 099	6 099	6 099	6 099	
Coefficiente di resistenza al flusso dovuta all'attrito per flusso idraulicamente irregolare	ψ_C	0.042	0.042	0.042	0.042	
Coefficiente di resistenza al flusso dovuta all'attrito per flusso idraulicamente regolare	$\psi_{liscioC}$	0.035	0.035	0.035	0.035	
Numero di Nusselt	Nu_C	22.9	22.9	22.9	22.9	
Coefficiente interno di trasmissione del calore	α_{iC}	4.00	4.00	4.00	4.00	W/(m ² × K)
Coefficiente di trasmissione del calore	k_C	1.29	1.29	1.29	1.29	W/(m ² × K)
Coefficiente di raffreddamento	K_C	1 000 000 000.00	1 000 000 000.00	1 000 000 000.00	1 000 000 000.00	
Temperatura dei prodotti della combustione all'ingresso del camino	T_{eC}	30.0	30.0	30.0	30.0	°C
Temperatura media dei prodotti della combustione nel camino	T_{mC}	30.0	30.0	30.0	30.0	°C
Temperatura dei prodotti della combustione all'uscita del camino	T_{oC}	30.0	30.0	30.0	30.0	°C

Temperatura della parete interna alla fine del segmento del camino in equilibrio termico	T_{lobC}	30.0	30.0	30.0	30.0	°C
Canale adduzione aria (piano 2)	Simbolo	A	B	C	D	U.M.
Viscosità dinamica dell'aria comburente	η_{BV}	16.71	16.71	16.71	16.71	N x s/m ²
Coefficiente di conduttività termica dell'aria comburente	λ_{BV}	0.025	0.025	0.025	0.025	W/(m x K)
Capacità termica specifica dell'aria comburente	C_{pBV}	1 005.00	1 005.00	1 005.00	1 005.00	J/(kg x K)
Numero di Prandtl	Pr_{BV}	0.670	0.670	0.670	0.670	
Massa volumica dell'aria comburente	ρ_{LBV}	1.086	1.086	1.086	1.086	kg/m ³
Velocità dell'aria comburente	w_{mBV}	0.00	0.00	0.00	0.00	m/s
Numero di Reynolds	Re_{BV}	2 300	2 300	2 300	2 300	
Coefficiente di resistenza al flusso dovuta all'attrito per flusso idraulicamente irregolare	ψ_{BV}	0.073	0.073	0.073	0.073	
Coefficiente di resistenza al flusso dovuta all'attrito per flusso idraulicamente regolare	$\psi_{liscioBV}$	0.047	0.047	0.047	0.047	
Numero di Nusselt	Nu_{BV}	10.1	10.1	10.1	10.1	
Temperatura dell'aria comburente all'ingresso del canale di adduzione aria	T_{eBV}	23.0	23.0	23.0	23.0	°C
Temperatura media dei prodotti della combustione nel canale da fumo	T_{mBV}	30.0	30.0	30.0	30.0	°C
Temperatura dell'aria comburente all'uscita del canale da fumo	T_{oBV}	37.0	37.0	37.0	37.0	°C
Condotto adduzione aria (piano 2)	Simbolo	A	B	C	D	U.M.
Viscosità dinamica dell'aria comburente	η_{BC}	16.39	16.39	16.39	16.39	N x s/m ²
Coefficiente di conduttività termica dell'aria comburente	λ_{BC}	0.024	0.024	0.024	0.024	W/(m x K)
Capacità termica specifica dell'aria comburente	C_{pBC}	1 005.00	1 005.00	1 005.00	1 005.00	J/(kg x K)
Numero di Prandtl	Pr_{BC}	0.670	0.670	0.670	0.670	
Massa volumica dell'aria comburente	ρ_{LBC}	1.137	1.137	1.137	1.137	kg/m ³
Velocità dell'aria comburente	w_{mBC}	0.00	0.00	0.00	0.00	m/s
Numero di Reynolds	Re_{BC}	2 420	2 420	2 420	2 420	
Coefficiente di resistenza al flusso dovuta all'attrito per flusso idraulicamente irregolare	ψ_{BC}	0.058	0.058	0.058	0.058	
Coefficiente di resistenza al flusso dovuta all'attrito per flusso idraulicamente regolare	$\psi_{liscioBC}$	0.047	0.047	0.047	0.047	
Numero di Nusselt	Nu_{BC}	9.3	9.3	9.3	9.3	

Temperatura dell'aria comburente all'ingresso del condotto di adduzione aria	T_{eBC}	37.0	37.0	37.0	37.0	°C
Temperatura media dei prodotti della combustione nel canale da fumo	T_{mBC}	30.0	30.0	30.0	30.0	°C
Temperatura dell'aria comburente all'uscita del camino	T_{oBC}	23.0	23.0	23.0	23.0	°C
Pressioni generali (piano 2)	Simbolo	A	B	C	D	U.M.
Pressione differenziale calcolata del generatore di calore	P_{WOC}	0.0	0.0	0.0	0.0	Pa
Effettiva resistenza alla pressione dell'aria comburente	P_B	2.0	0.3	2.0	0.3	Pa
Pressione generata dalla velocità del vento	P_L	0.0	0.0	0.0	0.0	Pa
Pressioni canale da fumo (piano 2)	Simbolo	A	B	C	D	U.M.
Resistenza alla pressione dovuta a resistenza di attrito e di forma del canale da fumo	P_{EV}	0.0	0.0	0.0	0.0	Pa
Differenza di pressione causata da variazione di velocità dei prodotti della combustione nel canale da fumo	P_{GV}	0.0	0.0	0.0	0.0	Pa
Resistenza alla pressione del canale da fumo	P_{RV}	0.0	0.0	0.0	0.0	Pa
Tiraggio teorico disponibile per effetto camino del canale da fumo	P_{HV}	0.0	0.0	0.0	0.0	Pa
Resistenza effettiva alla pressione del canale da fumo	P_{FV}	0.0	0.0	0.0	0.0	Pa
Pressione differenziale massima all'entrata dei prodotti della combustione nel camino	P_{ZOeV}	-2.0	-0.3	-2.0	-0.3	Pa
Pressioni camino (piano 2)	Simbolo	A	B	C	D	U.M.
Resistenza alla pressione dovuta a resistenza di attrito e di forma del camino	P_{EC}	0.0	0.0	0.0	0.0	Pa
Differenza di pressione causata da variazione di velocità dei prodotti della combustione nel camino	P_{GC}	0.0	0.0	0.0	0.0	Pa
Tiraggio teorico disponibile per effetto camino	P_{HC}	0.0	0.0	0.0	0.0	Pa
Resistenza alla pressione del camino	P_{RC}	0.0	0.0	0.0	0.0	Pa
Pressioni canale adduzione aria (piano 2)	Simbolo	A	B	C	D	U.M.
Tiraggio per effetto camino nel tubo di collegamento per l'alimentazione di aria	P_{HBV}	0.0	0.0	0.0	0.0	Pa
Variazione di pressione dovuta alla variazione di velocità del flusso nel tubo di collegamento per l'alimentazione di aria	P_{GBV}	0.0	0.0	0.0	0.0	Pa
Resistenza alla pressione del tubo di collegamento per l'alimentazione di aria	P_{RBV}	0.0	0.0	0.0	0.0	Pa
Pressioni condotto adduzione aria (piano 2)	Simbolo	A	B	C	D	U.M.
Tiraggio per effetto camino nel condotto per l'alimentazione di aria	P_{HBC}	0.0	0.0	0.0	0.0	Pa
Variazione di pressione dovuta alla variazione di velocità del flusso nel condotto per l'alimentazione di aria	P_{GBC}	0.0	0.0	0.0	0.0	Pa
Resistenza alla pressione del condotto per l'alimentazione di aria	P_{RBC}	0.0	0.0	0.0	0.0	Pa

Canale da fumo (piano 3)	Simbolo	A	B	C	D	U.M.
Portata massica dei prodotti della combustione	m_{wV}	0.00000	0.00000	0.00000	0.00000	kg/s
Portata massica calcolata dei prodotti della combustione	m_{wcV}	0.00000	0.00000	0.00000	0.00000	kg/s
Costante dei gas dei prodotti della combustione	R_V	288.00	288.00	288.00	288.00	J/(kg × K)
Viscosità dinamica del gas di combustione	η_V	16.39	16.39	16.39	16.39	N × s/m ²
Coefficiente di conduttività termica del gas di combustione	λ_V	0.024	0.024	0.024	0.024	W/(m × K)
Capacità termica specifica del gas di combustione	C_{pV}	1 005.00	1 005.00	1 005.00	1 005.00	J/(kg × K)
Numero di Prandtl	Pr_V	0.690	0.690	0.690	0.690	
Massa volumica dei prodotti della combustione	ρ_{LV}	1.111	1.111	1.111	1.111	kg/m ³
Velocità dei prodotti della combustione	w_{mV}	0.00	0.00	0.00	0.00	m/s
Numero di Reynolds	Re_V	2 711	2 711	2 711	2 711	
Coefficiente di resistenza al flusso dovuta all'attrito per flusso idraulicamente irregolare	ψ_V	0.055	0.055	0.055	0.055	
Coefficiente di resistenza al flusso dovuta all'attrito per flusso idraulicamente regolare	$\psi_{liscioV}$	0.045	0.045	0.045	0.045	
Numero di Nusselt	Nu_V	11.0	11.0	11.0	11.0	
Coefficiente interno di trasmissione del calore	α_{iV}	4.00	4.00	4.00	4.00	W/(m ² × K)
Coefficiente di trasmissione del calore	k_V	1.20	1.20	1.20	1.20	W/(m ² × K)
Coefficiente di raffreddamento	K_V	1 000 000 000.00	1 000 000 000.00	1 000 000 000.00	1 000 000 000.00	
Temperatura dei prodotti della combustione all'ingresso del canale da fumo	T_{eV}	30.0	30.0	30.0	30.0	°C
Temperatura media dei prodotti della combustione nel canale da fumo	T_{mV}	30.0	30.0	30.0	30.0	°C
Temperatura dei prodotti della combustione all'uscita del canale da fumo	T_{oV}	30.0	30.0	30.0	30.0	°C
Camino (piano 3)	Simbolo	A	B	C	D	U.M.
Viscosità dinamica del gas di combustione	η_C	16.39	16.39	16.39	16.39	N × s/m ²
Coefficiente di conduttività termica del gas di combustione	λ_C	0.024	0.024	0.024	0.024	W/(m × K)
Capacità termica specifica del gas di combustione	C_{pC}	1 012.77	1 012.77	1 012.77	1 012.77	J/(kg × K)
Numero di Prandtl	Pr_C	0.690	0.690	0.690	0.690	
Massa volumica dei prodotti della combustione	ρ_{LC}	1.111	1.111	1.111	1.111	kg/m ³

Velocità dei prodotti della combustione	w_{mC}	0.00	0.00	0.00	0.00	m/s
Numero di Reynolds	Re_C	6 099	6 099	6 099	6 099	
Coefficiente di resistenza al flusso dovuta all'attrito per flusso idraulicamente irregolare	ψ_C	0.042	0.042	0.042	0.042	
Coefficiente di resistenza al flusso dovuta all'attrito per flusso idraulicamente regolare	$\psi_{liscioC}$	0.035	0.035	0.035	0.035	
Numero di Nusselt	Nu_C	22.9	22.9	22.9	22.9	
Coefficiente interno di trasmissione del calore	α_{iC}	4.00	4.00	4.00	4.00	W/(m ² × K)
Coefficiente di trasmissione del calore	k_C	1.29	1.29	1.29	1.29	W/(m ² × K)
Coefficiente di raffreddamento	K_C	1 000 000 000.00	1 000 000 000.00	1 000 000 000.00	1 000 000 000.00	
Temperatura dei prodotti della combustione all'ingresso del camino	T_{eC}	30.0	30.0	30.0	30.0	°C
Temperatura media dei prodotti della combustione nel camino	T_{mC}	30.0	30.0	30.0	30.0	°C
Temperatura dei prodotti della combustione all'uscita del camino	T_{oC}	30.0	30.0	30.0	30.0	°C
Temperatura della parete interna alla fine del segmento del camino in equilibrio termico	T_{iobC}	30.0	30.0	30.0	30.0	°C
Canale adduzione aria (piano 3)	Simbolo	A	B	C	D	U.M.
Viscosità dinamica dell'aria comburente	η_{BV}	16.71	16.71	16.71	16.71	N x s/m ²
Coefficiente di conduttività termica dell'aria comburente	λ_{BV}	0.025	0.025	0.025	0.025	W/(m × K)
Capacità termica specifica dell'aria comburente	C_{pBV}	1 005.00	1 005.00	1 005.00	1 005.00	J/(kg × K)
Numero di Prandtl	Pr_{BV}	0.670	0.670	0.670	0.670	
Massa volumica dell'aria comburente	ρ_{LBV}	1.086	1.086	1.086	1.086	kg/m ³
Velocità dell'aria comburente	w_{mBV}	0.00	0.00	0.00	0.00	m/s
Numero di Reynolds	Re_{BV}	2 300	2 300	2 300	2 300	
Coefficiente di resistenza al flusso dovuta all'attrito per flusso idraulicamente irregolare	ψ_{BV}	0.073	0.073	0.073	0.073	
Coefficiente di resistenza al flusso dovuta all'attrito per flusso idraulicamente regolare	$\psi_{liscioBV}$	0.047	0.047	0.047	0.047	
Numero di Nusselt	Nu_{BV}	10.1	10.1	10.1	10.1	
Temperatura dell'aria comburente all'ingresso del canale di adduzione aria	T_{eBV}	23.0	23.0	23.0	23.0	°C
Temperatura media dei prodotti della combustione nel canale da fumo	T_{mBV}	30.0	30.0	30.0	30.0	°C
Temperatura dell'aria comburente all'uscita del canale da fumo	T_{oBV}	37.0	37.0	37.0	37.0	°C

Condotto adduzione aria (piano 3)	Simbolo	A	B	C	D	U.M.
Viscosità dinamica dell'aria comburente	η_{BC}	16.39	16.39	16.39	16.39	N x s/m ²
Coefficiente di conduttività termica dell'aria comburente	λ_{BC}	0.024	0.024	0.024	0.024	W/(m x K)
Capacità termica specifica dell'aria comburente	C_{pBC}	1 005.00	1 005.00	1 005.00	1 005.00	J/(kg x K)
Numero di Prandtl	Pr_{BC}	0.670	0.670	0.670	0.670	
Massa volumica dell'aria comburente	ρ_{LBC}	1.137	1.137	1.137	1.137	kg/m ³
Velocità dell'aria comburente	w_{mBC}	0.00	0.00	0.00	0.00	m/s
Numero di Reynolds	Re_{BC}	2 420	2 420	2 420	2 420	
Coefficiente di resistenza al flusso dovuta all'attrito per flusso idraulicamente irregolare	ψ_{BC}	0.058	0.058	0.058	0.058	
Coefficiente di resistenza al flusso dovuta all'attrito per flusso idraulicamente regolare	$\psi_{liscioBC}$	0.047	0.047	0.047	0.047	
Numero di Nusselt	Nu_{BC}	9.3	9.3	9.3	9.3	
Temperatura dell'aria comburente all'ingresso del condotto di adduzione aria	T_{eBC}	37.0	37.0	37.0	37.0	°C
Temperatura media dei prodotti della combustione nel canale da fumo	T_{mBC}	30.0	30.0	30.0	30.0	°C
Temperatura dell'aria comburente all'uscita del camino	T_{oBC}	23.0	23.0	23.0	23.0	°C
Pressioni generali (piano 3)	Simbolo	A	B	C	D	U.M.
Pressione differenziale calcolata del generatore di calore	P_{WOC}	0.0	0.0	0.0	0.0	Pa
Effettiva resistenza alla pressione dell'aria comburente	P_B	2.0	0.3	2.0	0.3	Pa
Pressione generata dalla velocità del vento	P_L	0.0	0.0	0.0	0.0	Pa
Pressioni canale da fumo (piano 3)	Simbolo	A	B	C	D	U.M.
Resistenza alla pressione dovuta a resistenza di attrito e di forma del canale da fumo	P_{EV}	0.0	0.0	0.0	0.0	Pa
Differenza di pressione causata da variazione di velocità dei prodotti della combustione nel canale da fumo	P_{GV}	0.0	0.0	0.0	0.0	Pa
Resistenza alla pressione del canale da fumo	P_{RV}	0.0	0.0	0.0	0.0	Pa
Tiraggio teorico disponibile per effetto camino del canale da fumo	P_{HV}	0.0	0.0	0.0	0.0	Pa
Resistenza effettiva alla pressione del canale da fumo	P_{FV}	0.0	0.0	0.0	0.0	Pa
Pressione differenziale massima all'entrata dei prodotti della combustione nel camino	P_{ZoeV}	-2.0	-0.3	-2.0	-0.3	Pa
Pressioni camino (piano 3)	Simbolo	A	B	C	D	U.M.
Resistenza alla pressione dovuta a resistenza di attrito e di forma del camino	P_{EC}	0.0	0.0	0.0	0.0	Pa

Differenza di pressione causata da variazione di velocità dei prodotti della combustione nel camino	P_{GC}	0.8	0.4	0.8	0.4	Pa
Tiraggio teorico disponibile per effetto camino	P_{HC}	0.0	0.0	0.0	0.0	Pa
Resistenza alla pressione del camino	P_{RC}	1.8	0.9	1.8	0.9	Pa
Pressioni canale adduzione aria (piano 3)	Simbolo	A	B	C	D	U.M.
Tiraggio per effetto camino nel tubo di collegamento per l'alimentazione di aria	P_{HBV}	0.0	0.0	0.0	0.0	Pa
Variazione di pressione dovuta alla variazione di velocità del flusso nel tubo di collegamento per l'alimentazione di aria	P_{GBV}	0.0	0.0	0.0	0.0	Pa
Resistenza alla pressione del tubo di collegamento per l'alimentazione di aria	P_{RBV}	0.0	0.0	0.0	0.0	Pa
Pressioni condotto adduzione aria (piano 3)	Simbolo	A	B	C	D	U.M.
Tiraggio per effetto camino nel condotto per l'alimentazione di aria	P_{HBC}	0.0	0.0	0.0	0.0	Pa
Variazione di pressione dovuta alla variazione di velocità del flusso nel condotto per l'alimentazione di aria	P_{GBC}	-0.6	-0.3	-0.6	-0.3	Pa
Resistenza alla pressione del condotto per l'alimentazione di aria	P_{RBC}	-0.3	-0.2	-0.3	-0.2	Pa
Canale da fumo (piano 4)	Simbolo	A	B	C	D	U.M.
Portata massica dei prodotti della combustione	m_{wV}	0.01648	0.00859	0.01648	0.00859	kg/s
Portata massica calcolata dei prodotti della combustione	m_{wcV}	0.03271	0.02337	0.03271	0.02337	kg/s
Costante dei gas dei prodotti della combustione	R_V	288.35	288.23	288.35	288.23	J/(kg × K)
Viscosità dinamica del gas di combustione	η_V	16.94	16.57	16.94	16.57	N × s/m²
Coefficiente di conduttività termica del gas di combustione	λ_V	0.025	0.025	0.025	0.025	W/(m × K)
Capacità termica specifica del gas di combustione	C_{pV}	1 039.92	1 025.73	1 039.92	1 025.73	J/(kg × K)
Numero di Prandtl	Pr_V	0.700	0.680	0.700	0.680	
Massa volumica dei prodotti della combustione	ρ_{LV}	1.068	1.096	1.068	1.096	kg/m³
Velocità dei prodotti della combustione	w_{mV}	6.09	4.24	6.09	4.24	m/s
Numero di Reynolds	Re_V	30 730	22 446	30 730	22 446	
Coefficiente di resistenza al flusso dovuta all'attrito per flusso idraulicamente irregolare	ψ_V	0.043	0.043	0.043	0.043	
Coefficiente di resistenza al flusso dovuta all'attrito per flusso idraulicamente regolare	$\psi_{liscioV}$	0.023	0.025	0.023	0.025	
Numero di Nusselt	Nu_V	119.9	87.8	119.9	87.8	
Coefficiente interno di trasmissione del calore	α_{iV}	37.46	27.43	37.46	27.43	W/(m² × K)
Coefficiente di trasmissione del calore	k_V	1.71	1.67	1.71	1.67	W/(m² × K)

Coefficiente di raffreddamento	K_V	0.02	0.03	0.02	0.03	
Temperatura dei prodotti della combustione all'ingresso del canale da fumo	T_{eV}	42.0	34.0	42.0	34.0	°C
Temperatura media dei prodotti della combustione nel canale da fumo	T_{mV}	41.8	33.9	41.8	33.9	°C
Temperatura dei prodotti della combustione all'uscita del canale da fumo	T_{oV}	41.7	33.8	41.7	33.8	°C
Camino (piano 4)	Simbolo	A	B	C	D	U.M.
Viscosità dinamica del gas di combustione	η_C	16.92	16.56	16.92	16.56	N x s/m ²
Coefficiente di conduttività termica del gas di combustione	λ_C	0.025	0.024	0.025	0.024	W/(m x K)
Capacità termica specifica del gas di combustione	C_{pC}	1 039.89	1 025.71	1 039.89	1 025.71	J/(kg x K)
Numero di Prandtl	Pr_C	0.700	0.710	0.700	0.710	
Massa volumica dei prodotti della combustione	ρ_{LC}	1.069	1.097	1.069	1.097	kg/m ³
Velocità dei prodotti della combustione	w_{mC}	1.20	0.84	1.20	0.84	m/s
Numero di Reynolds	Re_C	13 674	9 982	13 674	9 982	
Coefficiente di resistenza al flusso dovuta all'attrito per flusso idraulicamente irregolare	ψ_C	0.037	0.038	0.037	0.038	
Coefficiente di resistenza al flusso dovuta all'attrito per flusso idraulicamente regolare	ψ_{iscioC}	0.028	0.031	0.028	0.031	
Numero di Nusselt	Nu_C	49.0	36.8	49.0	36.8	
Coefficiente interno di trasmissione del calore	α_{iC}	6.81	4.90	6.81	4.90	W/(m ² x K)
Coefficiente di trasmissione del calore	k_C	1.66	1.46	1.66	1.46	W/(m ² x K)
Coefficiente di raffreddamento	K_C	0.08	0.10	0.08	0.10	
Temperatura dei prodotti della combustione all'ingresso del camino	T_{eC}	41.7	33.8	41.7	33.8	°C
Temperatura media dei prodotti della combustione nel camino	T_{mC}	41.0	33.3	41.0	33.3	°C
Temperatura dei prodotti della combustione all'uscita del camino	T_{oC}	40.3	32.8	40.3	32.8	°C
Temperatura della parete interna alla fine del segmento del camino in equilibrio termico	T_{iobC}	37.7	31.9	37.7	31.9	°C
Canale adduzione aria (piano 4)	Simbolo	A	B	C	D	U.M.
Viscosità dinamica dell'aria comburente	η_{BV}	16.20	16.18	16.20	16.18	N x s/m ²
Coefficiente di conduttività termica dell'aria comburente	λ_{BV}	0.024	0.024	0.024	0.024	W/(m x K)
Capacità termica specifica dell'aria comburente	C_{pBV}	1 005.00	1 005.00	1 005.00	1 005.00	J/(kg x K)

Numero di Prandtl	Pr_{BV}	0.680	0.680	0.680	0.680	
Massa volumica dell'aria comburente	ρ_{LBV}	1.127	1.127	1.127	1.127	kg/m³
Velocità dell'aria comburente	w_{mBV}	4.67	3.34	4.67	3.34	m/s
Numero di Reynolds	Re_{BV}	8 774	6 276	8 774	6 276	
Coefficiente di resistenza al flusso dovuta all'attrito per flusso idraulicamente irregolare	ψ_{BV}	0.065	0.067	0.065	0.067	
Coefficiente di resistenza al flusso dovuta all'attrito per flusso idraulicamente regolare	$\psi_{liscioBV}$	0.032	0.035	0.032	0.035	
Numero di Nusselt	Nu_{BV}	42.0	29.8	42.0	29.8	
Temperatura dell'aria comburente all'ingresso del canale di adduzione aria	T_{eBV}	25.3	25.0	25.3	25.0	°C
Temperatura media dei prodotti della combustione nel canale da fumo	T_{mBV}	25.5	25.3	25.5	25.3	°C
Temperatura dell'aria comburente all'uscita del canale da fumo	T_{oBV}	25.7	25.5	25.7	25.5	°C
Condotto adduzione aria (piano 4)	Simbolo	A	B	C	D	U.M.
Viscosità dinamica dell'aria comburente	η_{BC}	16.94	16.57	16.94	16.57	N x s/m²
Coefficiente di conduttività termica dell'aria comburente	λ_{BC}	0.024	0.024	0.024	0.024	W/(m x K)
Capacità termica specifica dell'aria comburente	C_{pBC}	1 005.00	1 005.00	1 005.00	1 005.00	J/(kg x K)
Numero di Prandtl	Pr_{BC}	0.680	0.680	0.680	0.680	
Massa volumica dell'aria comburente	ρ_{LBC}	1.128	1.129	1.128	1.129	kg/m³
Velocità dell'aria comburente	w_{mBC}	1.02	0.72	1.02	0.72	m/s
Numero di Reynolds	Re_{BC}	4 845	3 464	4 845	3 464	
Coefficiente di resistenza al flusso dovuta all'attrito per flusso idraulicamente irregolare	ψ_{BC}	0.051	0.054	0.051	0.054	
Coefficiente di resistenza al flusso dovuta all'attrito per flusso idraulicamente regolare	$\psi_{liscioBC}$	0.038	0.042	0.038	0.042	
Numero di Nusselt	Nu_{BC}	19.2	13.6	19.2	13.6	
Temperatura dell'aria comburente all'ingresso del condotto di adduzione aria	T_{eBC}	23.0	23.0	23.0	23.0	°C
Temperatura media dei prodotti della combustione nel canale da fumo	T_{mBC}	24.1	24.0	24.1	24.0	°C
Temperatura dell'aria comburente all'uscita del camino	T_{oBC}	25.3	25.0	25.3	25.0	°C
Pressioni generali (piano 4)	Simbolo	A	B	C	D	U.M.
Pressione differenziale calcolata del generatore di calore	P_{WOC}	105.9	54.0	105.9	54.0	Pa

Effettiva resistenza alla pressione dell'aria comburente	P_B	82.0	41.5	82.0	41.5	Pa
Pressione generata dalla velocità del vento	P_L	0.0	0.0	0.0	0.0	Pa
Pressioni canale da fumo (piano 4)	Simbolo	A	B	C	D	U.M.
Resistenza alla pressione dovuta a resistenza di attrito e di forma del canale da fumo	P_{EV}	20.8	10.4	20.8	10.4	Pa
Differenza di pressione causata da variazione di velocità dei prodotti della combustione nel canale da fumo	P_{GV}	-19.0	-9.5	-19.0	-9.5	Pa
Resistenza alla pressione del canale da fumo	P_{RV}	25.2	12.7	25.2	12.7	Pa
Tiraggio teorico disponibile per effetto camino del canale da fumo	P_{HV}	0.2	0.1	0.2	0.1	Pa
Resistenza effettiva alla pressione del canale da fumo	P_{FV}	25.0	12.6	25.0	12.6	Pa
Pressione differenziale massima all'entrata dei prodotti della combustione nel camino	P_{ZOeV}	-1.1	-0.1	-1.1	-0.1	Pa
Pressioni camino (piano 4)	Simbolo	A	B	C	D	U.M.
Resistenza alla pressione dovuta a resistenza di attrito e di forma del camino	P_{EC}	0.5	0.2	0.5	0.2	Pa
Differenza di pressione causata da variazione di velocità dei prodotti della combustione nel camino	P_{GC}	0.0	0.0	0.0	0.0	Pa
Tiraggio teorico disponibile per effetto camino	P_{HC}	1.2	0.4	1.2	0.4	Pa
Resistenza alla pressione del camino	P_{RC}	0.6	0.3	0.6	0.3	Pa
Pressioni canale adduzione aria (piano 4)	Simbolo	A	B	C	D	U.M.
Tiraggio per effetto camino nel tubo di collegamento per l'alimentazione di aria	P_{HBV}	-0.1	-0.1	-0.1	-0.1	Pa
Variazione di pressione dovuta alla variazione di velocità del flusso nel tubo di collegamento per l'alimentazione di aria	P_{GBV}	11.7	6.0	11.7	6.0	Pa
Resistenza alla pressione del tubo di collegamento per l'alimentazione di aria	P_{RBV}	79.8	41.2	79.8	41.2	Pa
Pressioni condotto adduzione aria (piano 4)	Simbolo	A	B	C	D	U.M.
Tiraggio per effetto camino nel condotto per l'alimentazione di aria	P_{HBC}	-0.6	-0.7	-0.6	-0.7	Pa
Variazione di pressione dovuta alla variazione di velocità del flusso nel condotto per l'alimentazione di aria	P_{GBC}	0.0	0.0	0.0	0.0	Pa
Resistenza alla pressione del condotto per l'alimentazione di aria	P_{RBC}	1.6	0.8	1.6	0.8	Pa
Canale da fumo (piano 5)	Simbolo	A	B	C	D	U.M.
Portata massica dei prodotti della combustione	m_{wV}	0.00000	0.00000	0.00000	0.00000	kg/s
Portata massica calcolata dei prodotti della combustione	m_{wcV}	0.00000	0.00000	0.00000	0.00000	kg/s
Costante dei gas dei prodotti della combustione	R_V	288.00	288.00	288.00	288.00	J/(kg × K)
Viscosità dinamica del gas di combustione	η_V	16.39	16.39	16.39	16.39	N x s/m²

Coefficiente di conduttività termica del gas di combustione	λ_V	0.024	0.024	0.024	0.024	W/(m × K)
Capacità termica specifica del gas di combustione	C_{pV}	1 005.00	1 005.00	1 005.00	1 005.00	J/(kg × K)
Numero di Prandtl	Pr_V	0.690	0.690	0.690	0.690	
Massa volumica dei prodotti della combustione	ρ_{LV}	1.111	1.111	1.111	1.111	kg/m³
Velocità dei prodotti della combustione	w_{mV}	0.00	0.00	0.00	0.00	m/s
Numero di Reynolds	Re_V	2 711	2 711	2 711	2 711	
Coefficiente di resistenza al flusso dovuta all'attrito per flusso idraulicamente irregolare	ψ_V	0.055	0.055	0.055	0.055	
Coefficiente di resistenza al flusso dovuta all'attrito per flusso idraulicamente regolare	$\psi_{liscioV}$	0.045	0.045	0.045	0.045	
Numero di Nusselt	Nu_V	11.0	11.0	11.0	11.0	
Coefficiente interno di trasmissione del calore	α_V	4.00	4.00	4.00	4.00	W/(m² × K)
Coefficiente di trasmissione del calore	k_V	1.20	1.20	1.20	1.20	W/(m² × K)
Coefficiente di raffreddamento	K_V	1 000 000 000.00	1 000 000 000.00	1 000 000 000.00	1 000 000 000.00	
Temperatura dei prodotti della combustione all'ingresso del canale da fumo	T_{eV}	30.0	30.0	30.0	30.0	°C
Temperatura media dei prodotti della combustione nel canale da fumo	T_{mV}	30.0	30.0	30.0	30.0	°C
Temperatura dei prodotti della combustione all'uscita del canale da fumo	T_{oV}	30.0	30.0	30.0	30.0	°C
Camino (piano 5)	Simbolo	A	B	C	D	U.M.
Viscosità dinamica del gas di combustione	η_C	16.86	16.52	16.86	16.52	N x s/m²
Coefficiente di conduttività termica del gas di combustione	λ_C	0.025	0.024	0.025	0.024	W/(m × K)
Capacità termica specifica del gas di combustione	C_{pC}	1 039.73	1 025.63	1 039.73	1 025.63	J/(kg × K)
Numero di Prandtl	Pr_C	0.700	0.710	0.700	0.710	
Massa volumica dei prodotti della combustione	ρ_{LC}	1.074	1.100	1.074	1.100	kg/m³
Velocità dei prodotti della combustione	w_{mC}	1.20	0.83	1.20	0.83	m/s
Numero di Reynolds	Re_C	13 723	10 006	13 723	10 006	
Coefficiente di resistenza al flusso dovuta all'attrito per flusso idraulicamente irregolare	ψ_C	0.037	0.038	0.037	0.038	
Coefficiente di resistenza al flusso dovuta all'attrito per flusso idraulicamente regolare	$\psi_{liscioC}$	0.028	0.031	0.028	0.031	
Numero di Nusselt	Nu_C	49.2	36.9	49.2	36.9	

Coefficiente interno di trasmissione del calore	α_{iC}	6.83	4.92	6.83	4.92	W/(m ² × K)
Coefficiente di trasmissione del calore	k_C	1.66	1.46	1.66	1.46	W/(m ² × K)
Coefficiente di raffreddamento	K_C	0.08	0.10	0.08	0.10	
Temperatura dei prodotti della combustione all'ingresso del camino	T_{eC}	40.3	32.8	40.3	32.8	°C
Temperatura media dei prodotti della combustione nel camino	T_{mC}	39.6	32.3	39.6	32.3	°C
Temperatura dei prodotti della combustione all'uscita del camino	T_{oC}	38.8	31.7	38.8	31.7	°C
Temperatura della parete interna alla fine del segmento del camino in equilibrio termico	T_{iobC}	36.6	31.2	36.6	31.2	°C
Canale adduzione aria (piano 5)	Simbolo	A	B	C	D	U.M.
Viscosità dinamica dell'aria comburente	η_{BV}	16.71	16.71	16.71	16.71	N x s/m ²
Coefficiente di conduttività termica dell'aria comburente	λ_{BV}	0.025	0.025	0.025	0.025	W/(m × K)
Capacità termica specifica dell'aria comburente	C_{pBV}	1 005.00	1 005.00	1 005.00	1 005.00	J/(kg × K)
Numero di Prandtl	Pr_{BV}	0.670	0.670	0.670	0.670	
Massa volumica dell'aria comburente	ρ_{LBV}	1.086	1.086	1.086	1.086	kg/m ³
Velocità dell'aria comburente	w_{mBV}	0.00	0.00	0.00	0.00	m/s
Numero di Reynolds	Re_{BV}	2 300	2 300	2 300	2 300	
Coefficiente di resistenza al flusso dovuta all'attrito per flusso idraulicamente irregolare	ψ_{BV}	0.073	0.073	0.073	0.073	
Coefficiente di resistenza al flusso dovuta all'attrito per flusso idraulicamente regolare	$\psi_{liscioBV}$	0.047	0.047	0.047	0.047	
Numero di Nusselt	Nu_{BV}	10.1	10.1	10.1	10.1	
Temperatura dell'aria comburente all'ingresso del canale di adduzione aria	T_{eBV}	23.0	23.0	23.0	23.0	°C
Temperatura media dei prodotti della combustione nel canale da fumo	T_{mBV}	30.0	30.0	30.0	30.0	°C
Temperatura dell'aria comburente all'uscita del canale da fumo	T_{oBV}	37.0	37.0	37.0	37.0	°C
Condotto adduzione aria (piano 5)	Simbolo	A	B	C	D	U.M.
Viscosità dinamica dell'aria comburente	η_{BC}	16.39	16.39	16.39	16.39	N x s/m ²
Coefficiente di conduttività termica dell'aria comburente	λ_{BC}	0.024	0.024	0.024	0.024	W/(m × K)
Capacità termica specifica dell'aria comburente	C_{pBC}	1 005.00	1 005.00	1 005.00	1 005.00	J/(kg × K)
Numero di Prandtl	Pr_{BC}	0.670	0.670	0.670	0.670	

Massa volumica dell'aria comburente	ρ_{LBC}	1.137	1.137	1.137	1.137	kg/m³
Velocità dell'aria comburente	w_{mBC}	1.01	0.72	1.01	0.72	m/s
Numero di Reynolds	Re_{BC}	4 875	3 483	4 875	3 483	
Coefficiente di resistenza al flusso dovuta all'attrito per flusso idraulicamente irregolare	ψ_{BC}	0.051	0.054	0.051	0.054	
Coefficiente di resistenza al flusso dovuta all'attrito per flusso idraulicamente regolare	$\psi_{liscioBC}$	0.038	0.042	0.038	0.042	
Numero di Nusselt	Nu_{BC}	19.2	13.6	19.2	13.6	
Temperatura dell'aria comburente all'ingresso del condotto di adduzione aria	T_{eBC}	20.3	20.4	20.3	20.4	°C
Temperatura media dei prodotti della combustione nel canale da fumo	T_{mBC}	21.7	21.7	21.7	21.7	°C
Temperatura dell'aria comburente all'uscita del camino	T_{oBC}	23.0	23.0	23.0	23.0	°C
Pressioni generali (piano 5)	Simbolo	A	B	C	D	U.M.
Pressione differenziale calcolata del generatore di calore	P_{WOC}	0.0	0.0	0.0	0.0	Pa
Effettiva resistenza alla pressione dell'aria comburente	P_B	1.5	0.3	1.5	0.3	Pa
Pressione generata dalla velocità del vento	P_L	0.0	0.0	0.0	0.0	Pa
Pressioni canale da fumo (piano 5)	Simbolo	A	B	C	D	U.M.
Resistenza alla pressione dovuta a resistenza di attrito e di forma del canale da fumo	P_{EV}	0.0	0.0	0.0	0.0	Pa
Differenza di pressione causata da variazione di velocità dei prodotti della combustione nel canale da fumo	P_{GV}	0.8	0.4	0.8	0.4	Pa
Resistenza alla pressione del canale da fumo	P_{RV}	0.2	0.1	0.2	0.1	Pa
Tiraggio teorico disponibile per effetto camino del canale da fumo	P_{HV}	0.0	0.0	0.0	0.0	Pa
Resistenza effettiva alla pressione del canale da fumo	P_{FV}	0.2	0.1	0.2	0.1	Pa
Pressione differenziale massima all'entrata dei prodotti della combustione nel camino	P_{ZoeV}	-1.7	-0.5	-1.7	-0.5	Pa
Pressioni camino (piano 5)	Simbolo	A	B	C	D	U.M.
Resistenza alla pressione dovuta a resistenza di attrito e di forma del camino	P_{EC}	0.5	0.2	0.5	0.2	Pa
Differenza di pressione causata da variazione di velocità dei prodotti della combustione nel camino	P_{GC}	0.0	0.0	0.0	0.0	Pa
Tiraggio teorico disponibile per effetto camino	P_{HC}	1.0	0.3	1.0	0.3	Pa
Resistenza alla pressione del camino	P_{RC}	0.6	0.3	0.6	0.3	Pa
Pressioni canale adduzione aria (piano 5)	Simbolo	A	B	C	D	U.M.
Tiraggio per effetto camino nel tubo di collegamento per l'alimentazione di aria	P_{HBV}	0.0	0.0	0.0	0.0	Pa

Variazione di pressione dovuta alla variazione di velocità del flusso nel tubo di collegamento per l'alimentazione di aria	P_{GBV}	-0.6	-0.3	-0.6	-0.3	Pa
Resistenza alla pressione del tubo di collegamento per l'alimentazione di aria	P_{RBV}	0.1	0.1	0.1	0.1	Pa
Pressioni condotto adduzione aria (piano 5)	Simbolo	A	B	C	D	U.M.
Tiraggio per effetto camino nel condotto per l'alimentazione di aria	P_{HBC}	-0.9	-0.9	-0.9	-0.9	Pa
Variazione di pressione dovuta alla variazione di velocità del flusso nel condotto per l'alimentazione di aria	P_{GBC}	0.6	0.3	0.6	0.3	Pa
Resistenza alla pressione del condotto per l'alimentazione di aria	P_{RBC}	2.2	1.2	2.2	1.2	Pa

Generatore 5 acceso e tutti gli altri spenti

Generali	Simbolo	A	B	C	D	U.M.
Costante dei gas dell'aria	R_L	288.00	288.00	288.00	288.00	J/(kg × K)
Pressione dell'aria esterna	p_L	96 967.3	96 967.3	96 967.3	96 967.3	Pa
Massa volumica dell'aria esterna	ρ_L	1.111	1.111	1.111	1.111	kg/m³
Canale da fumo (piano 1)	Simbolo	A	B	C	D	U.M.
Portata massica dei prodotti della combustione	m_{wV}	0.00000	0.00000	0.00000	0.00000	kg/s
Portata massica calcolata dei prodotti della combustione	m_{wcV}	0.00000	0.00000	0.00000	0.00000	kg/s
Costante dei gas dei prodotti della combustione	R_V	288.00	288.00	288.00	288.00	J/(kg × K)
Viscosità dinamica del gas di combustione	η_V	16.39	16.39	16.39	16.39	N × s/m²
Coefficiente di conduttività termica del gas di combustione	λ_V	0.024	0.024	0.024	0.024	W/(m × K)
Capacità termica specifica del gas di combustione	C_{pV}	1 005.00	1 005.00	1 005.00	1 005.00	J/(kg × K)
Numero di Prandtl	Pr_V	0.690	0.690	0.690	0.690	
Massa volumica dei prodotti della combustione	ρ_{LV}	1.111	1.111	1.111	1.111	kg/m³
Velocità dei prodotti della combustione	w_{mV}	0.00	0.00	0.00	0.00	m/s
Numero di Reynolds	Re_V	2 711	2 711	2 711	2 711	
Coefficiente di resistenza al flusso dovuta all'attrito per flusso idraulicamente irregolare	ψ_V	0.055	0.055	0.055	0.055	
Coefficiente di resistenza al flusso dovuta all'attrito per flusso idraulicamente regolare	$\psi_{liscioV}$	0.045	0.045	0.045	0.045	
Numero di Nusselt	Nu_V	11.0	11.0	11.0	11.0	
Coefficiente interno di trasmissione del calore	α_V	4.00	4.00	4.00	4.00	W/(m² × K)
Coefficiente di trasmissione del calore	k_V	1.20	1.20	1.20	1.20	W/(m² × K)
Coefficiente di raffreddamento	K_V	1 000 000 000.00	1 000 000 000.00	1 000 000 000.00	1 000 000 000.00	
Temperatura dei prodotti della combustione all'ingresso del canale da fumo	T_{eV}	30.0	30.0	30.0	30.0	°C
Temperatura media dei prodotti della combustione nel canale da fumo	T_{mV}	30.0	30.0	30.0	30.0	°C
Temperatura dei prodotti della combustione all'uscita del canale da fumo	T_{oV}	30.0	30.0	30.0	30.0	°C
Camino (piano 1)	Simbolo	A	B	C	D	U.M.

Viscosità dinamica del gas di combustione	η_C	16.39	16.39	16.39	16.39	N x s/m ²
Coefficiente di conduttività termica del gas di combustione	λ_C	0.024	0.024	0.024	0.024	W/(m x K)
Capacità termica specifica del gas di combustione	C_{pC}	1 012.77	1 012.77	1 012.77	1 012.77	J/(kg x K)
Numero di Prandtl	Pr_C	0.690	0.690	0.690	0.690	
Massa volumica dei prodotti della combustione	ρ_{LC}	1.111	1.111	1.111	1.111	kg/m ³
Velocità dei prodotti della combustione	w_{mC}	0.00	0.00	0.00	0.00	m/s
Numero di Reynolds	Re_C	6 099	6 099	6 099	6 099	
Coefficiente di resistenza al flusso dovuta all'attrito per flusso idraulicamente irregolare	ψ_C	0.042	0.042	0.042	0.042	
Coefficiente di resistenza al flusso dovuta all'attrito per flusso idraulicamente regolare	$\psi_{liscioC}$	0.035	0.035	0.035	0.035	
Numero di Nusselt	Nu_C	22.9	22.9	22.9	22.9	
Coefficiente interno di trasmissione del calore	α_C	4.00	4.00	4.00	4.00	W/(m ² x K)
Coefficiente di trasmissione del calore	k_C	1.29	1.29	1.29	1.29	W/(m ² x K)
Coefficiente di raffreddamento	K_C	1 000 000 000.00	1 000 000 000.00	1 000 000 000.00	1 000 000 000.00	
Temperatura dei prodotti della combustione all'ingresso del camino	T_{eC}	30.0	30.0	30.0	30.0	°C
Temperatura media dei prodotti della combustione nel camino	T_{mC}	30.0	30.0	30.0	30.0	°C
Temperatura dei prodotti della combustione all'uscita del camino	T_{oC}	30.0	30.0	30.0	30.0	°C
Temperatura della parete interna alla fine del segmento del camino in equilibrio termico	T_{iobC}	30.0	30.0	30.0	30.0	°C
Canale adduzione aria (piano 1)	Simbolo	A	B	C	D	U.M.
Viscosità dinamica dell'aria comburente	η_{BV}	16.71	16.71	16.71	16.71	N x s/m ²
Coefficiente di conduttività termica dell'aria comburente	λ_{BV}	0.025	0.025	0.025	0.025	W/(m x K)
Capacità termica specifica dell'aria comburente	C_{pBV}	1 005.00	1 005.00	1 005.00	1 005.00	J/(kg x K)
Numero di Prandtl	Pr_{BV}	0.670	0.670	0.670	0.670	
Massa volumica dell'aria comburente	ρ_{LBV}	1.086	1.086	1.086	1.086	kg/m ³
Velocità dell'aria comburente	w_{mBV}	0.00	0.00	0.00	0.00	m/s
Numero di Reynolds	Re_{BV}	2 300	2 300	2 300	2 300	
Coefficiente di resistenza al flusso dovuta all'attrito per flusso idraulicamente irregolare	ψ_{BV}	0.073	0.073	0.073	0.073	

Coefficiente di resistenza al flusso dovuta all'attrito per flusso idraulicamente regolare	ψ_{liscioBV}	0.047	0.047	0.047	0.047	
Numero di Nusselt	Nu_{BV}	10.1	10.1	10.1	10.1	
Temperatura dell'aria comburente all'ingresso del canale di adduzione aria	T_{eBV}	23.0	23.0	23.0	23.0	°C
Temperatura media dei prodotti della combustione nel canale da fumo	T_{mBV}	30.0	30.0	30.0	30.0	°C
Temperatura dell'aria comburente all'uscita del canale da fumo	T_{oBV}	37.0	37.0	37.0	37.0	°C
Condotto adduzione aria (piano 1)	Simbolo	A	B	C	D	U.M.
Viscosità dinamica dell'aria comburente	η_{BC}	16.39	16.39	16.39	16.39	N x s/m ²
Coefficiente di conduttività termica dell'aria comburente	λ_{BC}	0.024	0.024	0.024	0.024	W/(m x K)
Capacità termica specifica dell'aria comburente	C_{pBC}	1 005.00	1 005.00	1 005.00	1 005.00	J/(kg x K)
Numero di Prandtl	Pr_{BC}	0.670	0.670	0.670	0.670	
Massa volumica dell'aria comburente	ρ_{LBC}	1.137	1.137	1.137	1.137	kg/m ³
Velocità dell'aria comburente	w_{mBC}	0.00	0.00	0.00	0.00	m/s
Numero di Reynolds	Re_{BC}	2 420	2 420	2 420	2 420	
Coefficiente di resistenza al flusso dovuta all'attrito per flusso idraulicamente irregolare	ψ_{BC}	0.058	0.058	0.058	0.058	
Coefficiente di resistenza al flusso dovuta all'attrito per flusso idraulicamente regolare	ψ_{liscioBC}	0.047	0.047	0.047	0.047	
Numero di Nusselt	Nu_{BC}	9.3	9.3	9.3	9.3	
Temperatura dell'aria comburente all'ingresso del condotto di adduzione aria	T_{eBC}	37.0	37.0	37.0	37.0	°C
Temperatura media dei prodotti della combustione nel canale da fumo	T_{mBC}	30.0	30.0	30.0	30.0	°C
Temperatura dell'aria comburente all'uscita del camino	T_{oBC}	23.0	23.0	23.0	23.0	°C
Pressioni generali (piano 1)	Simbolo	A	B	C	D	U.M.
Pressione differenziale calcolata del generatore di calore	P_{WOc}	0.0	0.0	0.0	0.0	Pa
Effettiva resistenza alla pressione dell'aria comburente	P_{B}	2.0	1.0	2.0	1.0	Pa
Pressione generata dalla velocità del vento	P_{L}	0.0	0.0	0.0	0.0	Pa
Pressioni canale da fumo (piano 1)	Simbolo	A	B	C	D	U.M.
Resistenza alla pressione dovuta a resistenza di attrito e di forma del canale da fumo	P_{EV}	0.0	0.0	0.0	0.0	Pa
Differenza di pressione causata da variazione di velocità dei prodotti della combustione nel canale da fumo	P_{GV}	0.0	0.0	0.0	0.0	Pa
Resistenza alla pressione del canale da fumo	P_{RV}	0.0	0.0	0.0	0.0	Pa

Tiraggio teorico disponibile per effetto camino del canale da fumo	P_{HV}	0.0	0.0	0.0	0.0	Pa
Resistenza effettiva alla pressione del canale da fumo	P_{FV}	0.0	0.0	0.0	0.0	Pa
Pressione differenziale massima all'entrata dei prodotti della combustione nel camino	P_{ZOeV}	-2.0	-1.0	-2.0	-1.0	Pa
Pressioni camino (piano 1)	Simbolo	A	B	C	D	U.M.
Resistenza alla pressione dovuta a resistenza di attrito e di forma del camino	P_{EC}	0.0	0.0	0.0	0.0	Pa
Differenza di pressione causata da variazione di velocità dei prodotti della combustione nel camino	P_{GC}	0.0	0.0	0.0	0.0	Pa
Tiraggio teorico disponibile per effetto camino	P_{HC}	0.0	0.0	0.0	0.0	Pa
Resistenza alla pressione del camino	P_{RC}	0.0	0.0	0.0	0.0	Pa
Pressioni canale adduzione aria (piano 1)	Simbolo	A	B	C	D	U.M.
Tiraggio per effetto camino nel tubo di collegamento per l'alimentazione di aria	P_{HBV}	0.0	0.0	0.0	0.0	Pa
Variazione di pressione dovuta alla variazione di velocità del flusso nel tubo di collegamento per l'alimentazione di aria	P_{GBV}	0.0	0.0	0.0	0.0	Pa
Resistenza alla pressione del tubo di collegamento per l'alimentazione di aria	P_{RBV}	0.0	0.0	0.0	0.0	Pa
Pressioni condotto adduzione aria (piano 1)	Simbolo	A	B	C	D	U.M.
Tiraggio per effetto camino nel condotto per l'alimentazione di aria	P_{HBC}	0.0	0.0	0.0	0.0	Pa
Variazione di pressione dovuta alla variazione di velocità del flusso nel condotto per l'alimentazione di aria	P_{GBC}	0.0	0.0	0.0	0.0	Pa
Resistenza alla pressione del condotto per l'alimentazione di aria	P_{RBC}	0.0	0.0	0.0	0.0	Pa
Canale da fumo (piano 2)	Simbolo	A	B	C	D	U.M.
Portata massica dei prodotti della combustione	m_{wV}	0.00000	0.00000	0.00000	0.00000	kg/s
Portata massica calcolata dei prodotti della combustione	m_{wcV}	0.00000	0.00000	0.00000	0.00000	kg/s
Costante dei gas dei prodotti della combustione	R_V	288.00	288.00	288.00	288.00	J/(kg × K)
Viscosità dinamica del gas di combustione	η_V	16.39	16.39	16.39	16.39	N × s/m²
Coefficiente di conduttività termica del gas di combustione	λ_V	0.024	0.024	0.024	0.024	W/(m × K)
Capacità termica specifica del gas di combustione	C_{pV}	1 005.00	1 005.00	1 005.00	1 005.00	J/(kg × K)
Numero di Prandtl	Pr_V	0.690	0.690	0.690	0.690	
Massa volumica dei prodotti della combustione	ρ_{LV}	1.111	1.111	1.111	1.111	kg/m³
Velocità dei prodotti della combustione	w_{mV}	0.00	0.00	0.00	0.00	m/s
Numero di Reynolds	Re_V	2 711	2 711	2 711	2 711	

Coefficiente di resistenza al flusso dovuta all'attrito per flusso idraulicamente irregolare	ψ_V	0.055	0.055	0.055	0.055	
Coefficiente di resistenza al flusso dovuta all'attrito per flusso idraulicamente regolare	$\psi_{liscioV}$	0.045	0.045	0.045	0.045	
Numero di Nusselt	Nu_V	11.0	11.0	11.0	11.0	
Coefficiente interno di trasmissione del calore	α_{iV}	4.00	4.00	4.00	4.00	W/(m ² × K)
Coefficiente di trasmissione del calore	k_V	1.20	1.20	1.20	1.20	W/(m ² × K)
Coefficiente di raffreddamento	K_V	1 000 000 000.00	1 000 000 000.00	1 000 000 000.00	1 000 000 000.00	
Temperatura dei prodotti della combustione all'ingresso del canale da fumo	T_{eV}	30.0	30.0	30.0	30.0	°C
Temperatura media dei prodotti della combustione nel canale da fumo	T_{mV}	30.0	30.0	30.0	30.0	°C
Temperatura dei prodotti della combustione all'uscita del canale da fumo	T_{oV}	30.0	30.0	30.0	30.0	°C
Camino (piano 2)	Simbolo	A	B	C	D	U.M.
Viscosità dinamica del gas di combustione	η_C	16.39	16.39	16.39	16.39	N x s/m ²
Coefficiente di conduttività termica del gas di combustione	λ_C	0.024	0.024	0.024	0.024	W/(m × K)
Capacità termica specifica del gas di combustione	C_{pC}	1 012.77	1 012.77	1 012.77	1 012.77	J/(kg × K)
Numero di Prandtl	Pr_C	0.690	0.690	0.690	0.690	
Massa volumica dei prodotti della combustione	ρ_{LC}	1.111	1.111	1.111	1.111	kg/m ³
Velocità dei prodotti della combustione	w_{mC}	0.00	0.00	0.00	0.00	m/s
Numero di Reynolds	Re_C	6 099	6 099	6 099	6 099	
Coefficiente di resistenza al flusso dovuta all'attrito per flusso idraulicamente irregolare	ψ_C	0.042	0.042	0.042	0.042	
Coefficiente di resistenza al flusso dovuta all'attrito per flusso idraulicamente regolare	$\psi_{liscioC}$	0.035	0.035	0.035	0.035	
Numero di Nusselt	Nu_C	22.9	22.9	22.9	22.9	
Coefficiente interno di trasmissione del calore	α_{iC}	4.00	4.00	4.00	4.00	W/(m ² × K)
Coefficiente di trasmissione del calore	k_C	1.29	1.29	1.29	1.29	W/(m ² × K)
Coefficiente di raffreddamento	K_C	1 000 000 000.00	1 000 000 000.00	1 000 000 000.00	1 000 000 000.00	
Temperatura dei prodotti della combustione all'ingresso del camino	T_{eC}	30.0	30.0	30.0	30.0	°C
Temperatura media dei prodotti della combustione nel camino	T_{mC}	30.0	30.0	30.0	30.0	°C
Temperatura dei prodotti della combustione all'uscita del camino	T_{oC}	30.0	30.0	30.0	30.0	°C

Temperatura della parete interna alla fine del segmento del camino in equilibrio termico	T_{iobC}	30.0	30.0	30.0	30.0	°C
Canale adduzione aria (piano 2)	Simbolo	A	B	C	D	U.M.
Viscosità dinamica dell'aria comburente	η_{BV}	16.71	16.71	16.71	16.71	N x s/m ²
Coefficiente di conduttività termica dell'aria comburente	λ_{BV}	0.025	0.025	0.025	0.025	W/(m x K)
Capacità termica specifica dell'aria comburente	C_{pBV}	1 005.00	1 005.00	1 005.00	1 005.00	J/(kg x K)
Numero di Prandtl	Pr_{BV}	0.670	0.670	0.670	0.670	
Massa volumica dell'aria comburente	ρ_{LBV}	1.086	1.086	1.086	1.086	kg/m ³
Velocità dell'aria comburente	w_{mBV}	0.00	0.00	0.00	0.00	m/s
Numero di Reynolds	Re_{BV}	2 300	2 300	2 300	2 300	
Coefficiente di resistenza al flusso dovuta all'attrito per flusso idraulicamente irregolare	ψ_{BV}	0.073	0.073	0.073	0.073	
Coefficiente di resistenza al flusso dovuta all'attrito per flusso idraulicamente regolare	$\psi_{liscioBV}$	0.047	0.047	0.047	0.047	
Numero di Nusselt	Nu_{BV}	10.1	10.1	10.1	10.1	
Temperatura dell'aria comburente all'ingresso del canale di adduzione aria	T_{eBV}	23.0	23.0	23.0	23.0	°C
Temperatura media dei prodotti della combustione nel canale da fumo	T_{mBV}	30.0	30.0	30.0	30.0	°C
Temperatura dell'aria comburente all'uscita del canale da fumo	T_{oBV}	37.0	37.0	37.0	37.0	°C
Condotto adduzione aria (piano 2)	Simbolo	A	B	C	D	U.M.
Viscosità dinamica dell'aria comburente	η_{BC}	16.39	16.39	16.39	16.39	N x s/m ²
Coefficiente di conduttività termica dell'aria comburente	λ_{BC}	0.024	0.024	0.024	0.024	W/(m x K)
Capacità termica specifica dell'aria comburente	C_{pBC}	1 005.00	1 005.00	1 005.00	1 005.00	J/(kg x K)
Numero di Prandtl	Pr_{BC}	0.670	0.670	0.670	0.670	
Massa volumica dell'aria comburente	ρ_{LBC}	1.137	1.137	1.137	1.137	kg/m ³
Velocità dell'aria comburente	w_{mBC}	0.00	0.00	0.00	0.00	m/s
Numero di Reynolds	Re_{BC}	2 420	2 420	2 420	2 420	
Coefficiente di resistenza al flusso dovuta all'attrito per flusso idraulicamente irregolare	ψ_{BC}	0.058	0.058	0.058	0.058	
Coefficiente di resistenza al flusso dovuta all'attrito per flusso idraulicamente regolare	$\psi_{liscioBC}$	0.047	0.047	0.047	0.047	
Numero di Nusselt	Nu_{BC}	9.3	9.3	9.3	9.3	

Temperatura dell'aria comburente all'ingresso del condotto di adduzione aria	T_{eBC}	37.0	37.0	37.0	37.0	°C
Temperatura media dei prodotti della combustione nel canale da fumo	T_{mBC}	30.0	30.0	30.0	30.0	°C
Temperatura dell'aria comburente all'uscita del camino	T_{oBC}	23.0	23.0	23.0	23.0	°C
Pressioni generali (piano 2)	Simbolo	A	B	C	D	U.M.
Pressione differenziale calcolata del generatore di calore	P_{WOC}	0.0	0.0	0.0	0.0	Pa
Effettiva resistenza alla pressione dell'aria comburente	P_B	2.0	1.0	2.0	1.0	Pa
Pressione generata dalla velocità del vento	P_L	0.0	0.0	0.0	0.0	Pa
Pressioni canale da fumo (piano 2)	Simbolo	A	B	C	D	U.M.
Resistenza alla pressione dovuta a resistenza di attrito e di forma del canale da fumo	P_{EV}	0.0	0.0	0.0	0.0	Pa
Differenza di pressione causata da variazione di velocità dei prodotti della combustione nel canale da fumo	P_{GV}	0.0	0.0	0.0	0.0	Pa
Resistenza alla pressione del canale da fumo	P_{RV}	0.0	0.0	0.0	0.0	Pa
Tiraggio teorico disponibile per effetto camino del canale da fumo	P_{HV}	0.0	0.0	0.0	0.0	Pa
Resistenza effettiva alla pressione del canale da fumo	P_{FV}	0.0	0.0	0.0	0.0	Pa
Pressione differenziale massima all'entrata dei prodotti della combustione nel camino	P_{ZOeV}	-2.0	-1.0	-2.0	-1.0	Pa
Pressioni camino (piano 2)	Simbolo	A	B	C	D	U.M.
Resistenza alla pressione dovuta a resistenza di attrito e di forma del camino	P_{EC}	0.0	0.0	0.0	0.0	Pa
Differenza di pressione causata da variazione di velocità dei prodotti della combustione nel camino	P_{GC}	0.0	0.0	0.0	0.0	Pa
Tiraggio teorico disponibile per effetto camino	P_{HC}	0.0	0.0	0.0	0.0	Pa
Resistenza alla pressione del camino	P_{RC}	0.0	0.0	0.0	0.0	Pa
Pressioni canale adduzione aria (piano 2)	Simbolo	A	B	C	D	U.M.
Tiraggio per effetto camino nel tubo di collegamento per l'alimentazione di aria	P_{HBV}	0.0	0.0	0.0	0.0	Pa
Variazione di pressione dovuta alla variazione di velocità del flusso nel tubo di collegamento per l'alimentazione di aria	P_{GBV}	0.0	0.0	0.0	0.0	Pa
Resistenza alla pressione del tubo di collegamento per l'alimentazione di aria	P_{RBV}	0.0	0.0	0.0	0.0	Pa
Pressioni condotto adduzione aria (piano 2)	Simbolo	A	B	C	D	U.M.
Tiraggio per effetto camino nel condotto per l'alimentazione di aria	P_{HBC}	0.0	0.0	0.0	0.0	Pa
Variazione di pressione dovuta alla variazione di velocità del flusso nel condotto per l'alimentazione di aria	P_{GBC}	0.0	0.0	0.0	0.0	Pa
Resistenza alla pressione del condotto per l'alimentazione di aria	P_{RBC}	0.0	0.0	0.0	0.0	Pa

Canale da fumo (piano 3)	Simbolo	A	B	C	D	U.M.
Portata massica dei prodotti della combustione	m_{wV}	0.00000	0.00000	0.00000	0.00000	kg/s
Portata massica calcolata dei prodotti della combustione	m_{wcV}	0.00000	0.00000	0.00000	0.00000	kg/s
Costante dei gas dei prodotti della combustione	R_V	288.00	288.00	288.00	288.00	J/(kg × K)
Viscosità dinamica del gas di combustione	η_V	16.39	16.39	16.39	16.39	N × s/m ²
Coefficiente di conduttività termica del gas di combustione	λ_V	0.024	0.024	0.024	0.024	W/(m × K)
Capacità termica specifica del gas di combustione	C_{pV}	1 005.00	1 005.00	1 005.00	1 005.00	J/(kg × K)
Numero di Prandtl	Pr_V	0.690	0.690	0.690	0.690	
Massa volumica dei prodotti della combustione	ρ_{LV}	1.111	1.111	1.111	1.111	kg/m ³
Velocità dei prodotti della combustione	w_{mV}	0.00	0.00	0.00	0.00	m/s
Numero di Reynolds	Re_V	2 711	2 711	2 711	2 711	
Coefficiente di resistenza al flusso dovuta all'attrito per flusso idraulicamente irregolare	ψ_V	0.055	0.055	0.055	0.055	
Coefficiente di resistenza al flusso dovuta all'attrito per flusso idraulicamente regolare	$\psi_{liscioV}$	0.045	0.045	0.045	0.045	
Numero di Nusselt	Nu_V	11.0	11.0	11.0	11.0	
Coefficiente interno di trasmissione del calore	α_{iV}	4.00	4.00	4.00	4.00	W/(m ² × K)
Coefficiente di trasmissione del calore	k_V	1.20	1.20	1.20	1.20	W/(m ² × K)
Coefficiente di raffreddamento	K_V	1 000 000 000.00	1 000 000 000.00	1 000 000 000.00	1 000 000 000.00	
Temperatura dei prodotti della combustione all'ingresso del canale da fumo	T_{eV}	30.0	30.0	30.0	30.0	°C
Temperatura media dei prodotti della combustione nel canale da fumo	T_{mV}	30.0	30.0	30.0	30.0	°C
Temperatura dei prodotti della combustione all'uscita del canale da fumo	T_{oV}	30.0	30.0	30.0	30.0	°C
Camino (piano 3)	Simbolo	A	B	C	D	U.M.
Viscosità dinamica del gas di combustione	η_C	16.39	16.39	16.39	16.39	N × s/m ²
Coefficiente di conduttività termica del gas di combustione	λ_C	0.024	0.024	0.024	0.024	W/(m × K)
Capacità termica specifica del gas di combustione	C_{pC}	1 012.77	1 012.77	1 012.77	1 012.77	J/(kg × K)
Numero di Prandtl	Pr_C	0.690	0.690	0.690	0.690	
Massa volumica dei prodotti della combustione	ρ_{LC}	1.111	1.111	1.111	1.111	kg/m ³

Velocità dei prodotti della combustione	w_{mC}	0.00	0.00	0.00	0.00	m/s
Numero di Reynolds	Re_C	6 099	6 099	6 099	6 099	
Coefficiente di resistenza al flusso dovuta all'attrito per flusso idraulicamente irregolare	ψ_C	0.042	0.042	0.042	0.042	
Coefficiente di resistenza al flusso dovuta all'attrito per flusso idraulicamente regolare	$\psi_{liscioC}$	0.035	0.035	0.035	0.035	
Numero di Nusselt	Nu_C	22.9	22.9	22.9	22.9	
Coefficiente interno di trasmissione del calore	α_{iC}	4.00	4.00	4.00	4.00	W/(m ² × K)
Coefficiente di trasmissione del calore	k_C	1.29	1.29	1.29	1.29	W/(m ² × K)
Coefficiente di raffreddamento	K_C	1 000 000 000.00	1 000 000 000.00	1 000 000 000.00	1 000 000 000.00	
Temperatura dei prodotti della combustione all'ingresso del camino	T_{eC}	30.0	30.0	30.0	30.0	°C
Temperatura media dei prodotti della combustione nel camino	T_{mC}	30.0	30.0	30.0	30.0	°C
Temperatura dei prodotti della combustione all'uscita del camino	T_{oC}	30.0	30.0	30.0	30.0	°C
Temperatura della parete interna alla fine del segmento del camino in equilibrio termico	T_{iobC}	30.0	30.0	30.0	30.0	°C
Canale adduzione aria (piano 3)	Simbolo	A	B	C	D	U.M.
Viscosità dinamica dell'aria comburente	η_{BV}	16.71	16.71	16.71	16.71	N x s/m ²
Coefficiente di conduttività termica dell'aria comburente	λ_{BV}	0.025	0.025	0.025	0.025	W/(m × K)
Capacità termica specifica dell'aria comburente	C_{pBV}	1 005.00	1 005.00	1 005.00	1 005.00	J/(kg × K)
Numero di Prandtl	Pr_{BV}	0.670	0.670	0.670	0.670	
Massa volumica dell'aria comburente	ρ_{LBV}	1.086	1.086	1.086	1.086	kg/m ³
Velocità dell'aria comburente	w_{mBV}	0.00	0.00	0.00	0.00	m/s
Numero di Reynolds	Re_{BV}	2 300	2 300	2 300	2 300	
Coefficiente di resistenza al flusso dovuta all'attrito per flusso idraulicamente irregolare	ψ_{BV}	0.073	0.073	0.073	0.073	
Coefficiente di resistenza al flusso dovuta all'attrito per flusso idraulicamente regolare	$\psi_{liscioBV}$	0.047	0.047	0.047	0.047	
Numero di Nusselt	Nu_{BV}	10.1	10.1	10.1	10.1	
Temperatura dell'aria comburente all'ingresso del canale di adduzione aria	T_{eBV}	23.0	23.0	23.0	23.0	°C
Temperatura media dei prodotti della combustione nel canale da fumo	T_{mBV}	30.0	30.0	30.0	30.0	°C
Temperatura dell'aria comburente all'uscita del canale da fumo	T_{oBV}	37.0	37.0	37.0	37.0	°C

Condotto adduzione aria (piano 3)	Simbolo	A	B	C	D	U.M.
Viscosità dinamica dell'aria comburente	η_{BC}	16.39	16.39	16.39	16.39	N x s/m ²
Coefficiente di conduttività termica dell'aria comburente	λ_{BC}	0.024	0.024	0.024	0.024	W/(m x K)
Capacità termica specifica dell'aria comburente	C_{pBC}	1 005.00	1 005.00	1 005.00	1 005.00	J/(kg x K)
Numero di Prandtl	Pr_{BC}	0.670	0.670	0.670	0.670	
Massa volumica dell'aria comburente	ρ_{LBC}	1.137	1.137	1.137	1.137	kg/m ³
Velocità dell'aria comburente	w_{mBC}	0.00	0.00	0.00	0.00	m/s
Numero di Reynolds	Re_{BC}	2 420	2 420	2 420	2 420	
Coefficiente di resistenza al flusso dovuta all'attrito per flusso idraulicamente irregolare	ψ_{BC}	0.058	0.058	0.058	0.058	
Coefficiente di resistenza al flusso dovuta all'attrito per flusso idraulicamente regolare	$\psi_{liscioBC}$	0.047	0.047	0.047	0.047	
Numero di Nusselt	Nu_{BC}	9.3	9.3	9.3	9.3	
Temperatura dell'aria comburente all'ingresso del condotto di adduzione aria	T_{eBC}	37.0	37.0	37.0	37.0	°C
Temperatura media dei prodotti della combustione nel canale da fumo	T_{mBC}	30.0	30.0	30.0	30.0	°C
Temperatura dell'aria comburente all'uscita del camino	T_{oBC}	23.0	23.0	23.0	23.0	°C
Pressioni generali (piano 3)	Simbolo	A	B	C	D	U.M.
Pressione differenziale calcolata del generatore di calore	P_{WOC}	0.0	0.0	0.0	0.0	Pa
Effettiva resistenza alla pressione dell'aria comburente	P_B	2.0	1.0	2.0	1.0	Pa
Pressione generata dalla velocità del vento	P_L	0.0	0.0	0.0	0.0	Pa
Pressioni canale da fumo (piano 3)	Simbolo	A	B	C	D	U.M.
Resistenza alla pressione dovuta a resistenza di attrito e di forma del canale da fumo	P_{EV}	0.0	0.0	0.0	0.0	Pa
Differenza di pressione causata da variazione di velocità dei prodotti della combustione nel canale da fumo	P_{GV}	0.0	0.0	0.0	0.0	Pa
Resistenza alla pressione del canale da fumo	P_{RV}	0.0	0.0	0.0	0.0	Pa
Tiraggio teorico disponibile per effetto camino del canale da fumo	P_{HV}	0.0	0.0	0.0	0.0	Pa
Resistenza effettiva alla pressione del canale da fumo	P_{FV}	0.0	0.0	0.0	0.0	Pa
Pressione differenziale massima all'entrata dei prodotti della combustione nel camino	P_{ZoeV}	-2.0	-1.0	-2.0	-1.0	Pa
Pressioni camino (piano 3)	Simbolo	A	B	C	D	U.M.
Resistenza alla pressione dovuta a resistenza di attrito e di forma del camino	P_{EC}	0.0	0.0	0.0	0.0	Pa

Differenza di pressione causata da variazione di velocità dei prodotti della combustione nel camino	P_{GC}	0.0	0.0	0.0	0.0	Pa
Tiraggio teorico disponibile per effetto camino	P_{HC}	0.0	0.0	0.0	0.0	Pa
Resistenza alla pressione del camino	P_{RC}	0.0	0.0	0.0	0.0	Pa
Pressioni canale adduzione aria (piano 3)	Simbolo	A	B	C	D	U.M.
Tiraggio per effetto camino nel tubo di collegamento per l'alimentazione di aria	P_{HBV}	0.0	0.0	0.0	0.0	Pa
Variazione di pressione dovuta alla variazione di velocità del flusso nel tubo di collegamento per l'alimentazione di aria	P_{GBV}	0.0	0.0	0.0	0.0	Pa
Resistenza alla pressione del tubo di collegamento per l'alimentazione di aria	P_{RBV}	0.0	0.0	0.0	0.0	Pa
Pressioni condotto adduzione aria (piano 3)	Simbolo	A	B	C	D	U.M.
Tiraggio per effetto camino nel condotto per l'alimentazione di aria	P_{HBC}	0.0	0.0	0.0	0.0	Pa
Variazione di pressione dovuta alla variazione di velocità del flusso nel condotto per l'alimentazione di aria	P_{GBC}	0.0	0.0	0.0	0.0	Pa
Resistenza alla pressione del condotto per l'alimentazione di aria	P_{RBC}	0.0	0.0	0.0	0.0	Pa
Canale da fumo (piano 4)	Simbolo	A	B	C	D	U.M.
Portata massica dei prodotti della combustione	m_{wV}	0.00000	0.00000	0.00000	0.00000	kg/s
Portata massica calcolata dei prodotti della combustione	m_{wcV}	0.00000	0.00000	0.00000	0.00000	kg/s
Costante dei gas dei prodotti della combustione	R_V	288.00	288.00	288.00	288.00	J/(kg × K)
Viscosità dinamica del gas di combustione	η_V	16.39	16.39	16.39	16.39	N x s/m ²
Coefficiente di conduttività termica del gas di combustione	λ_V	0.024	0.024	0.024	0.024	W/(m × K)
Capacità termica specifica del gas di combustione	C_{pV}	1 005.00	1 005.00	1 005.00	1 005.00	J/(kg × K)
Numero di Prandtl	Pr_V	0.690	0.690	0.690	0.690	
Massa volumica dei prodotti della combustione	ρ_{LV}	1.111	1.111	1.111	1.111	kg/m ³
Velocità dei prodotti della combustione	w_{mV}	0.00	0.00	0.00	0.00	m/s
Numero di Reynolds	Re_V	2 711	2 711	2 711	2 711	
Coefficiente di resistenza al flusso dovuta all'attrito per flusso idraulicamente irregolare	ψ_V	0.055	0.055	0.055	0.055	
Coefficiente di resistenza al flusso dovuta all'attrito per flusso idraulicamente regolare	$\psi_{liscioV}$	0.045	0.045	0.045	0.045	
Numero di Nusselt	Nu_V	11.0	11.0	11.0	11.0	
Coefficiente interno di trasmissione del calore	α_{iV}	4.00	4.00	4.00	4.00	W/(m ² × K)
Coefficiente di trasmissione del calore	k_V	1.20	1.20	1.20	1.20	W/(m ² × K)

Coefficiente di raffreddamento	K_V	1 000 000 000.00	1 000 000 000.00	1 000 000 000.00	1 000 000 000.00	
Temperatura dei prodotti della combustione all'ingresso del canale da fumo	T_{eV}	30.0	30.0	30.0	30.0	°C
Temperatura media dei prodotti della combustione nel canale da fumo	T_{mV}	30.0	30.0	30.0	30.0	°C
Temperatura dei prodotti della combustione all'uscita del canale da fumo	T_{oV}	30.0	30.0	30.0	30.0	°C
Camino (piano 4)	Simbolo	A	B	C	D	U.M.
Viscosità dinamica del gas di combustione	η_C	16.39	16.39	16.39	16.39	N x s/m²
Coefficiente di conduttività termica del gas di combustione	λ_C	0.024	0.024	0.024	0.024	W/(m x K)
Capacità termica specifica del gas di combustione	C_{pC}	1 012.77	1 012.77	1 012.77	1 012.77	J/(kg x K)
Numero di Prandtl	Pr_C	0.690	0.690	0.690	0.690	
Massa volumica dei prodotti della combustione	ρ_{LC}	1.111	1.111	1.111	1.111	kg/m³
Velocità dei prodotti della combustione	w_{mC}	0.00	0.00	0.00	0.00	m/s
Numero di Reynolds	Re_C	6 099	6 099	6 099	6 099	
Coefficiente di resistenza al flusso dovuta all'attrito per flusso idraulicamente irregolare	ψ_C	0.042	0.042	0.042	0.042	
Coefficiente di resistenza al flusso dovuta all'attrito per flusso idraulicamente regolare	ψ_{iscioC}	0.035	0.035	0.035	0.035	
Numero di Nusselt	Nu_C	22.9	22.9	22.9	22.9	
Coefficiente interno di trasmissione del calore	α_{IC}	4.00	4.00	4.00	4.00	W/(m² x K)
Coefficiente di trasmissione del calore	k_C	1.29	1.29	1.29	1.29	W/(m² x K)
Coefficiente di raffreddamento	K_C	1 000 000 000.00	1 000 000 000.00	1 000 000 000.00	1 000 000 000.00	
Temperatura dei prodotti della combustione all'ingresso del camino	T_{eC}	30.0	30.0	30.0	30.0	°C
Temperatura media dei prodotti della combustione nel camino	T_{mC}	30.0	30.0	30.0	30.0	°C
Temperatura dei prodotti della combustione all'uscita del camino	T_{oC}	30.0	30.0	30.0	30.0	°C
Temperatura della parete interna alla fine del segmento del camino in equilibrio termico	T_{iobC}	30.0	30.0	30.0	30.0	°C
Canale adduzione aria (piano 4)	Simbolo	A	B	C	D	U.M.
Viscosità dinamica dell'aria comburente	η_{BV}	16.71	16.71	16.71	16.71	N x s/m²
Coefficiente di conduttività termica dell'aria comburente	λ_{BV}	0.025	0.025	0.025	0.025	W/(m x K)
Capacità termica specifica dell'aria comburente	C_{pBV}	1 005.00	1 005.00	1 005.00	1 005.00	J/(kg x K)

Numero di Prandtl	Pr_{BV}	0.670	0.670	0.670	0.670	
Massa volumica dell'aria comburente	ρ_{LBV}	1.086	1.086	1.086	1.086	kg/m³
Velocità dell'aria comburente	w_{mBV}	0.00	0.00	0.00	0.00	m/s
Numero di Reynolds	Re_{BV}	2 300	2 300	2 300	2 300	
Coefficiente di resistenza al flusso dovuta all'attrito per flusso idraulicamente irregolare	ψ_{BV}	0.073	0.073	0.073	0.073	
Coefficiente di resistenza al flusso dovuta all'attrito per flusso idraulicamente regolare	$\psi_{liscioBV}$	0.047	0.047	0.047	0.047	
Numero di Nusselt	Nu_{BV}	10.1	10.1	10.1	10.1	
Temperatura dell'aria comburente all'ingresso del canale di adduzione aria	T_{eBV}	23.0	23.0	23.0	23.0	°C
Temperatura media dei prodotti della combustione nel canale da fumo	T_{mBV}	30.0	30.0	30.0	30.0	°C
Temperatura dell'aria comburente all'uscita del canale da fumo	T_{oBV}	37.0	37.0	37.0	37.0	°C
Condotto adduzione aria (piano 4)	Simbolo	A	B	C	D	U.M.
Viscosità dinamica dell'aria comburente	η_{BC}	16.39	16.39	16.39	16.39	N x s/m²
Coefficiente di conduttività termica dell'aria comburente	λ_{BC}	0.024	0.024	0.024	0.024	W/(m x K)
Capacità termica specifica dell'aria comburente	C_{pBC}	1 005.00	1 005.00	1 005.00	1 005.00	J/(kg x K)
Numero di Prandtl	Pr_{BC}	0.670	0.670	0.670	0.670	
Massa volumica dell'aria comburente	ρ_{LBC}	1.137	1.137	1.137	1.137	kg/m³
Velocità dell'aria comburente	w_{mBC}	0.00	0.00	0.00	0.00	m/s
Numero di Reynolds	Re_{BC}	2 420	2 420	2 420	2 420	
Coefficiente di resistenza al flusso dovuta all'attrito per flusso idraulicamente irregolare	ψ_{BC}	0.058	0.058	0.058	0.058	
Coefficiente di resistenza al flusso dovuta all'attrito per flusso idraulicamente regolare	$\psi_{liscioBC}$	0.047	0.047	0.047	0.047	
Numero di Nusselt	Nu_{BC}	9.3	9.3	9.3	9.3	
Temperatura dell'aria comburente all'ingresso del condotto di adduzione aria	T_{eBC}	37.0	37.0	37.0	37.0	°C
Temperatura media dei prodotti della combustione nel canale da fumo	T_{mBC}	30.0	30.0	30.0	30.0	°C
Temperatura dell'aria comburente all'uscita del camino	T_{oBC}	23.0	23.0	23.0	23.0	°C
Pressioni generali (piano 4)	Simbolo	A	B	C	D	U.M.
Pressione differenziale calcolata del generatore di calore	P_{WOC}	0.0	0.0	0.0	0.0	Pa

Effettiva resistenza alla pressione dell'aria comburente	P_B	2.0	1.0	2.0	1.0	Pa
Pressione generata dalla velocità del vento	P_L	0.0	0.0	0.0	0.0	Pa
Pressioni canale da fumo (piano 4)	Simbolo	A	B	C	D	U.M.
Resistenza alla pressione dovuta a resistenza di attrito e di forma del canale da fumo	P_{EV}	0.0	0.0	0.0	0.0	Pa
Differenza di pressione causata da variazione di velocità dei prodotti della combustione nel canale da fumo	P_{GV}	0.0	0.0	0.0	0.0	Pa
Resistenza alla pressione del canale da fumo	P_{RV}	0.0	0.0	0.0	0.0	Pa
Tiraggio teorico disponibile per effetto camino del canale da fumo	P_{HV}	0.0	0.0	0.0	0.0	Pa
Resistenza effettiva alla pressione del canale da fumo	P_{FV}	0.0	0.0	0.0	0.0	Pa
Pressione differenziale massima all'entrata dei prodotti della combustione nel camino	P_{ZOeV}	-2.0	-1.0	-2.0	-1.0	Pa
Pressioni camino (piano 4)	Simbolo	A	B	C	D	U.M.
Resistenza alla pressione dovuta a resistenza di attrito e di forma del camino	P_{EC}	0.0	0.0	0.0	0.0	Pa
Differenza di pressione causata da variazione di velocità dei prodotti della combustione nel camino	P_{GC}	0.8	0.4	0.8	0.4	Pa
Tiraggio teorico disponibile per effetto camino	P_{HC}	0.0	0.0	0.0	0.0	Pa
Resistenza alla pressione del camino	P_{RC}	1.8	0.9	1.8	0.9	Pa
Pressioni canale adduzione aria (piano 4)	Simbolo	A	B	C	D	U.M.
Tiraggio per effetto camino nel tubo di collegamento per l'alimentazione di aria	P_{HBV}	0.0	0.0	0.0	0.0	Pa
Variazione di pressione dovuta alla variazione di velocità del flusso nel tubo di collegamento per l'alimentazione di aria	P_{GBV}	0.0	0.0	0.0	0.0	Pa
Resistenza alla pressione del tubo di collegamento per l'alimentazione di aria	P_{RBV}	0.0	0.0	0.0	0.0	Pa
Pressioni condotto adduzione aria (piano 4)	Simbolo	A	B	C	D	U.M.
Tiraggio per effetto camino nel condotto per l'alimentazione di aria	P_{HBC}	0.0	0.0	0.0	0.0	Pa
Variazione di pressione dovuta alla variazione di velocità del flusso nel condotto per l'alimentazione di aria	P_{GBC}	-0.6	-0.3	-0.6	-0.3	Pa
Resistenza alla pressione del condotto per l'alimentazione di aria	P_{RBC}	-0.3	-0.2	-0.3	-0.2	Pa
Canale da fumo (piano 5)	Simbolo	A	B	C	D	U.M.
Portata massica dei prodotti della combustione	m_{wV}	0.01648	0.00859	0.01648	0.00859	kg/s
Portata massica calcolata dei prodotti della combustione	m_{wcV}	0.03250	0.02325	0.03250	0.02325	kg/s
Costante dei gas dei prodotti della combustione	R_V	288.35	288.23	288.35	288.23	J/(kg × K)
Viscosità dinamica del gas di combustione	η_V	16.94	16.57	16.94	16.57	N x s/m²

Coefficiente di conduttività termica del gas di combustione	λ_V	0.025	0.025	0.025	0.025	W/(m × K)
Capacità termica specifica del gas di combustione	C_{pV}	1 040.09	1 025.80	1 040.09	1 025.80	J/(kg × K)
Numero di Prandtl	Pr_V	0.700	0.680	0.700	0.680	
Massa volumica dei prodotti della combustione	ρ_{LV}	1.068	1.096	1.068	1.096	kg/m³
Velocità dei prodotti della combustione	w_{mV}	6.06	4.22	6.06	4.22	m/s
Numero di Reynolds	Re_V	30 535	22 333	30 535	22 333	
Coefficiente di resistenza al flusso dovuta all'attrito per flusso idraulicamente irregolare	ψ_V	0.043	0.043	0.043	0.043	
Coefficiente di resistenza al flusso dovuta all'attrito per flusso idraulicamente regolare	$\psi_{liscioV}$	0.023	0.025	0.023	0.025	
Numero di Nusselt	Nu_V	119.2	87.4	119.2	87.4	
Coefficiente interno di trasmissione del calore	α_V	37.24	27.30	37.24	27.30	W/(m² × K)
Coefficiente di trasmissione del calore	k_V	1.71	1.67	1.71	1.67	W/(m² × K)
Coefficiente di raffreddamento	K_V	0.02	0.03	0.02	0.03	
Temperatura dei prodotti della combustione all'ingresso del canale da fumo	T_{eV}	42.0	34.0	42.0	34.0	°C
Temperatura media dei prodotti della combustione nel canale da fumo	T_{mV}	41.9	34.0	41.9	34.0	°C
Temperatura dei prodotti della combustione all'uscita del canale da fumo	T_{oV}	41.8	33.9	41.8	33.9	°C
Camino (piano 5)	Simbolo	A	B	C	D	U.M.
Viscosità dinamica del gas di combustione	η_C	16.93	16.57	16.93	16.57	N × s/m²
Coefficiente di conduttività termica del gas di combustione	λ_C	0.025	0.025	0.025	0.025	W/(m × K)
Capacità termica specifica del gas di combustione	C_{pC}	1 040.07	1 025.79	1 040.07	1 025.79	J/(kg × K)
Numero di Prandtl	Pr_C	0.700	0.680	0.700	0.680	
Massa volumica dei prodotti della combustione	ρ_{LC}	1.068	1.096	1.068	1.096	kg/m³
Velocità dei prodotti della combustione	w_{mC}	1.20	0.83	1.20	0.83	m/s
Numero di Reynolds	Re_C	13 579	9 926	13 579	9 926	
Coefficiente di resistenza al flusso dovuta all'attrito per flusso idraulicamente irregolare	ψ_C	0.037	0.038	0.037	0.038	
Coefficiente di resistenza al flusso dovuta all'attrito per flusso idraulicamente regolare	$\psi_{liscioC}$	0.029	0.031	0.029	0.031	
Numero di Nusselt	Nu_C	48.7	36.0	48.7	36.0	

Coefficiente interno di trasmissione del calore	α_{iC}	6.77	5.00	6.77	5.00	W/(m ² × K)
Coefficiente di trasmissione del calore	k_C	1.65	1.46	1.65	1.46	W/(m ² × K)
Coefficiente di raffreddamento	K_C	0.08	0.10	0.08	0.10	
Temperatura dei prodotti della combustione all'ingresso del camino	T_{eC}	41.8	33.9	41.8	33.9	°C
Temperatura media dei prodotti della combustione nel camino	T_{mC}	41.3	33.7	41.3	33.7	°C
Temperatura dei prodotti della combustione all'uscita del camino	T_{oC}	40.9	33.5	40.9	33.5	°C
Temperatura della parete interna alla fine del segmento del camino in equilibrio termico	T_{iobC}	38.1	32.4	38.1	32.4	°C
Canale adduzione aria (piano 5)	Simbolo	A	B	C	D	U.M.
Viscosità dinamica dell'aria comburente	η_{BV}	16.44	16.41	16.44	16.41	N x s/m ²
Coefficiente di conduttività termica dell'aria comburente	λ_{BV}	0.024	0.024	0.024	0.024	W/(m × K)
Capacità termica specifica dell'aria comburente	C_{pBV}	1 005.00	1 005.00	1 005.00	1 005.00	J/(kg × K)
Numero di Prandtl	Pr_{BV}	0.690	0.690	0.690	0.690	
Massa volumica dell'aria comburente	ρ_{LBV}	1.107	1.109	1.107	1.109	kg/m ³
Velocità dell'aria comburente	w_{mBV}	4.73	3.37	4.73	3.37	m/s
Numero di Reynolds	Re_{BV}	8 591	6 157	8 591	6 157	
Coefficiente di resistenza al flusso dovuta all'attrito per flusso idraulicamente irregolare	ψ_{BV}	0.065	0.067	0.065	0.067	
Coefficiente di resistenza al flusso dovuta all'attrito per flusso idraulicamente regolare	$\psi_{liscioBV}$	0.032	0.035	0.032	0.035	
Numero di Nusselt	Nu_{BV}	41.4	29.4	41.4	29.4	
Temperatura dell'aria comburente all'ingresso del canale di adduzione aria	T_{eBV}	30.9	30.4	30.9	30.4	°C
Temperatura media dei prodotti della combustione nel canale da fumo	T_{mBV}	31.0	30.4	31.0	30.4	°C
Temperatura dell'aria comburente all'uscita del canale da fumo	T_{oBV}	31.1	30.5	31.1	30.5	°C
Condotto adduzione aria (piano 5)	Simbolo	A	B	C	D	U.M.
Viscosità dinamica dell'aria comburente	η_{BC}	16.94	16.57	16.94	16.57	N x s/m ²
Coefficiente di conduttività termica dell'aria comburente	λ_{BC}	0.024	0.024	0.024	0.024	W/(m × K)
Capacità termica specifica dell'aria comburente	C_{pBC}	1 005.00	1 005.00	1 005.00	1 005.00	J/(kg × K)
Numero di Prandtl	Pr_{BC}	0.690	0.690	0.690	0.690	

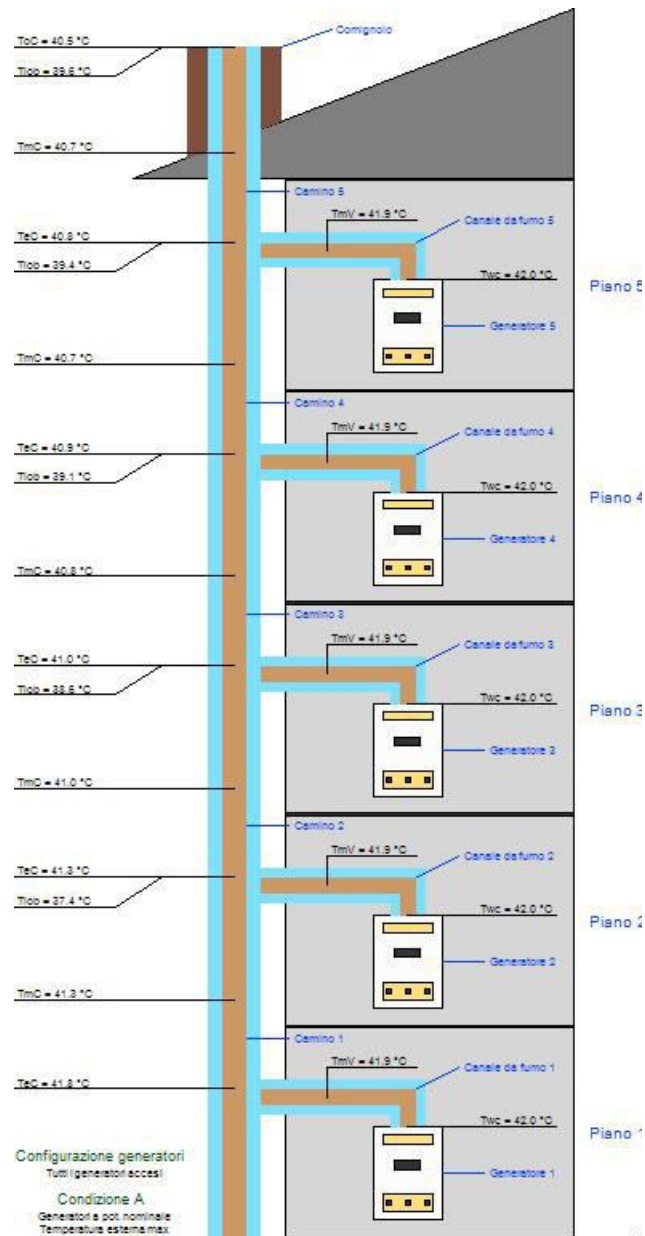
Massa volumica dell'aria comburente	ρ_{LBC}	1.107	1.109	1.107	1.109	kg/m³
Velocità dell'aria comburente	w_{mBC}	1.03	0.73	1.03	0.73	m/s
Numero di Reynolds	Re_{BC}	4 738	3 394	4 738	3 394	
Coefficiente di resistenza al flusso dovuta all'attrito per flusso idraulicamente irregolare	ψ_{BC}	0.052	0.054	0.052	0.054	
Coefficiente di resistenza al flusso dovuta all'attrito per flusso idraulicamente regolare	$\psi_{liscioBC}$	0.038	0.042	0.038	0.042	
Numero di Nusselt	Nu_{BC}	18.9	13.4	18.9	13.4	
Temperatura dell'aria comburente all'ingresso del condotto di adduzione aria	T_{eBC}	30.1	30.1	30.1	30.1	°C
Temperatura media dei prodotti della combustione nel canale da fumo	T_{mBC}	30.5	30.2	30.5	30.2	°C
Temperatura dell'aria comburente all'uscita del camino	T_{oBC}	30.9	30.4	30.9	30.4	°C
Pressioni generali (piano 5)	Simbolo	A	B	C	D	U.M.
Pressione differenziale calcolata del generatore di calore	P_{WOC}	106.7	55.1	106.7	55.1	Pa
Effettiva resistenza alla pressione dell'aria comburente	P_B	82.7	42.7	82.7	42.7	Pa
Pressione generata dalla velocità del vento	P_L	0.0	0.0	0.0	0.0	Pa
Pressioni canale da fumo (piano 5)	Simbolo	A	B	C	D	U.M.
Resistenza alla pressione dovuta a resistenza di attrito e di forma del canale da fumo	P_{EV}	20.5	10.3	20.5	10.3	Pa
Differenza di pressione causata da variazione di velocità dei prodotti della combustione nel canale da fumo	P_{GV}	-18.8	-9.4	-18.8	-9.4	Pa
Resistenza alla pressione del canale da fumo	P_{RV}	24.9	12.6	24.9	12.6	Pa
Tiraggio teorico disponibile per effetto camino del canale da fumo	P_{HV}	0.2	0.1	0.2	0.1	Pa
Resistenza effettiva alla pressione del canale da fumo	P_{FV}	24.7	12.5	24.7	12.5	Pa
Pressione differenziale massima all'entrata dei prodotti della combustione nel camino	P_{ZoeV}	-0.7	-0.1	-0.7	-0.1	Pa
Pressioni camino (piano 5)	Simbolo	A	B	C	D	U.M.
Resistenza alla pressione dovuta a resistenza di attrito e di forma del camino	P_{EC}	0.5	0.2	0.5	0.2	Pa
Differenza di pressione causata da variazione di velocità dei prodotti della combustione nel camino	P_{GC}	0.0	0.0	0.0	0.0	Pa
Tiraggio teorico disponibile per effetto camino	P_{HC}	1.2	0.4	1.2	0.4	Pa
Resistenza alla pressione del camino	P_{RC}	0.6	0.3	0.6	0.3	Pa
Pressioni canale adduzione aria (piano 5)	Simbolo	A	B	C	D	U.M.
Tiraggio per effetto camino nel tubo di collegamento per l'alimentazione di aria	P_{HBV}	0.0	0.0	0.0	0.0	Pa

Variazione di pressione dovuta alla variazione di velocità del flusso nel tubo di collegamento per l'alimentazione di aria	P_{GBV}	11.8	6.0	11.8	6.0	Pa
Resistenza alla pressione del tubo di collegamento per l'alimentazione di aria	P_{RBV}	80.3	41.5	80.3	41.5	Pa
Pressioni condotto adduzione aria (piano 5)	Simbolo	A	B	C	D	U.M.
Tiraggio per effetto camino nel condotto per l'alimentazione di aria	P_{HBC}	0.1	0.0	0.1	0.0	Pa
Variazione di pressione dovuta alla variazione di velocità del flusso nel condotto per l'alimentazione di aria	P_{GBC}	0.6	0.3	0.6	0.3	Pa
Resistenza alla pressione del condotto per l'alimentazione di aria	P_{RBC}	2.3	1.2	2.3	1.2	Pa

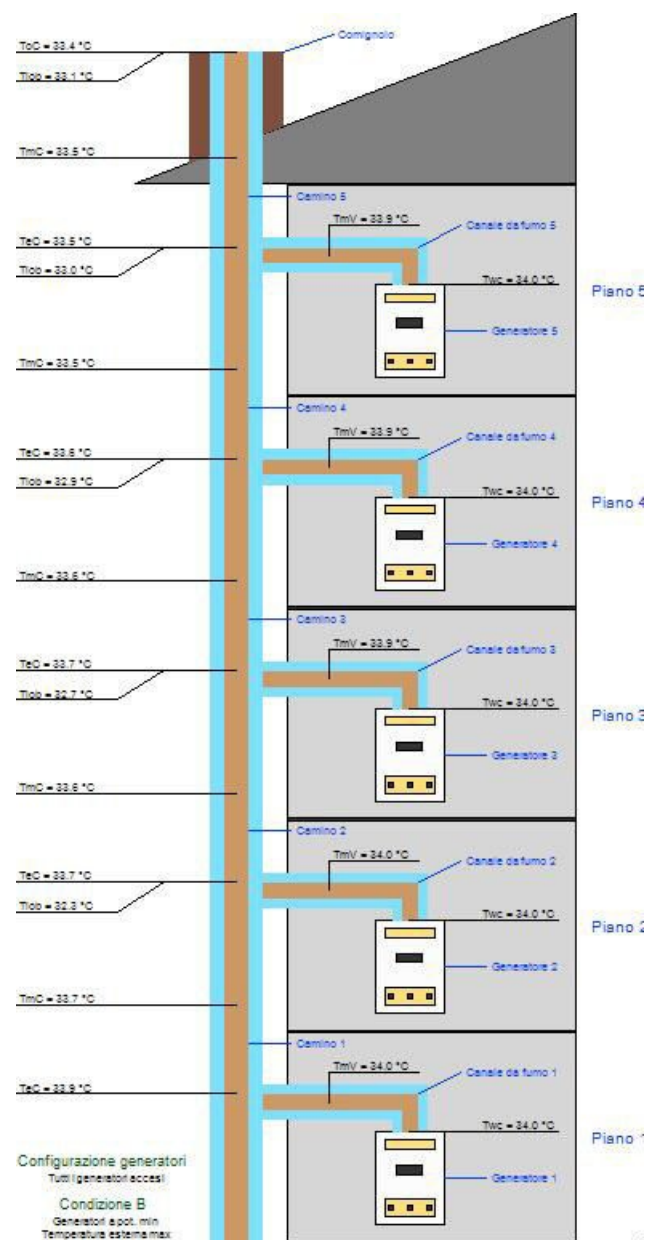
Riepilogo temperature

Tutti i generatori accesi

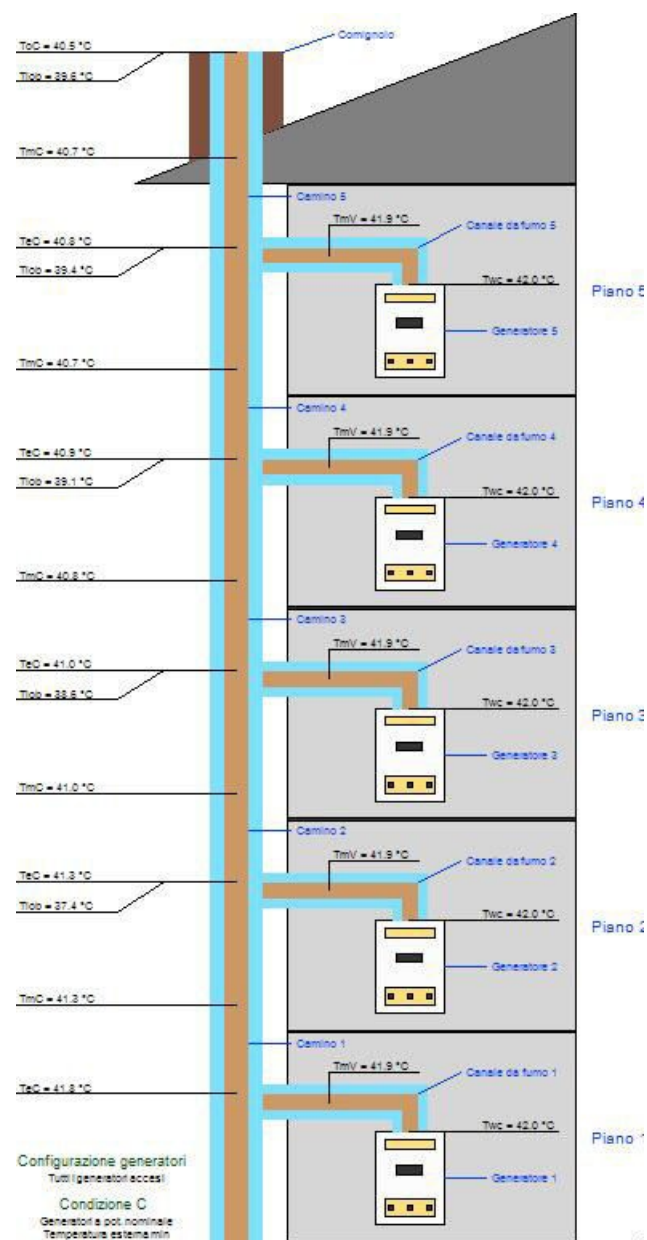
Temperature condizione A (Potenza nominale, Temperatura esterna massima)



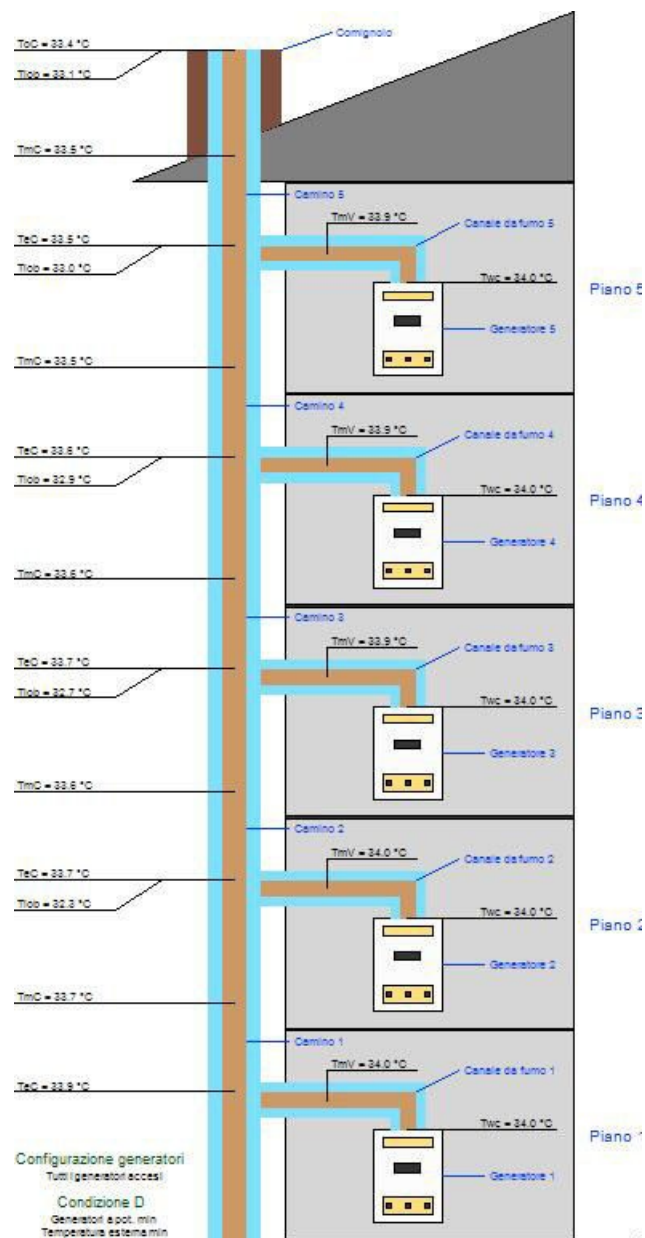
Temperature condizione B (Potenza minima, Temperatura esterna massima)



Temperature condizione C (Potenza nominale, Temperatura esterna minima)

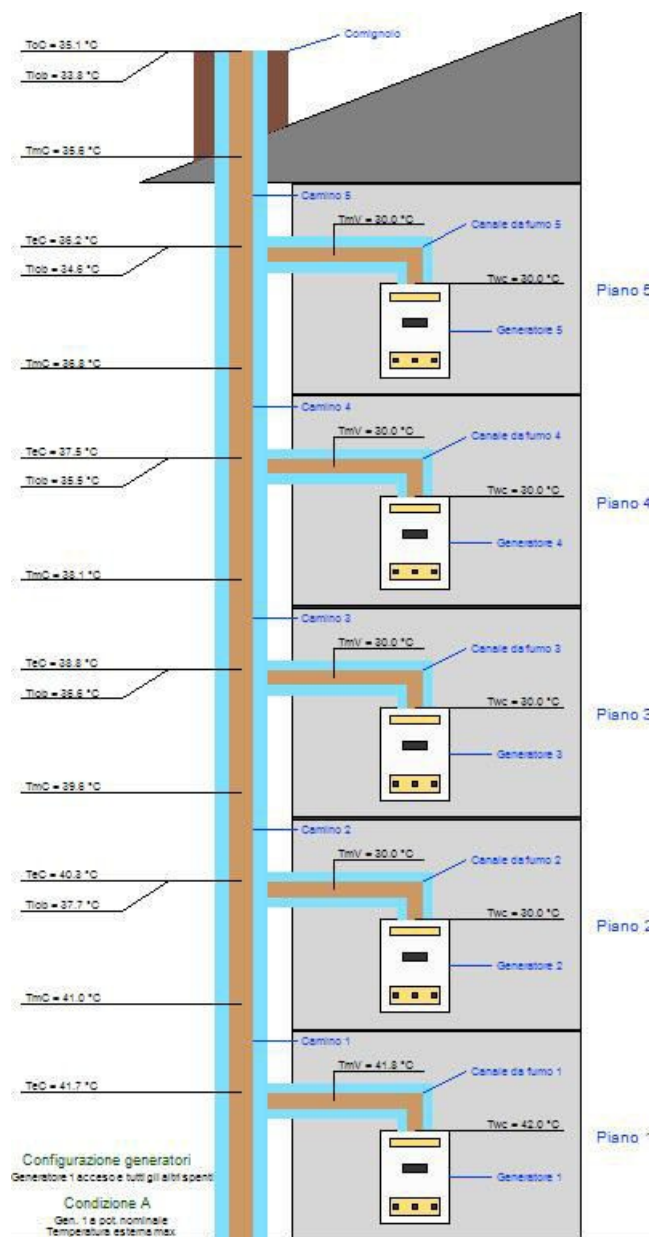


Temperature condizione D (Potenza minima, Temperatura esterna minima)

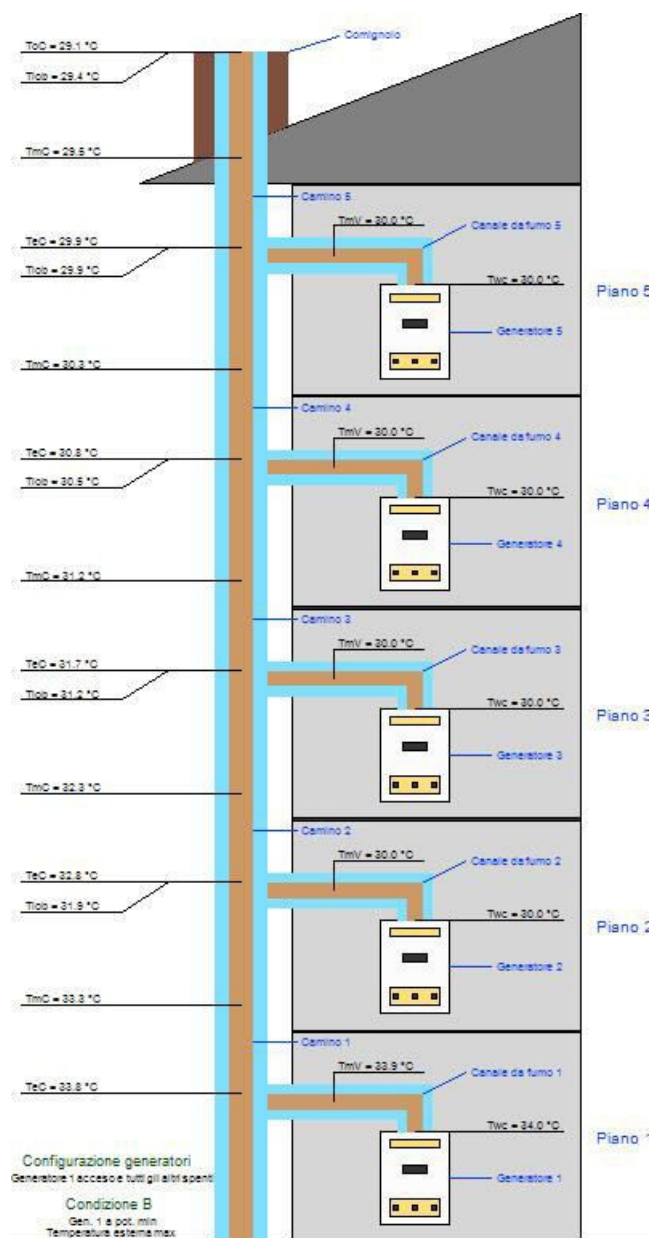


Generatore 1 acceso e tutti gli altri spenti

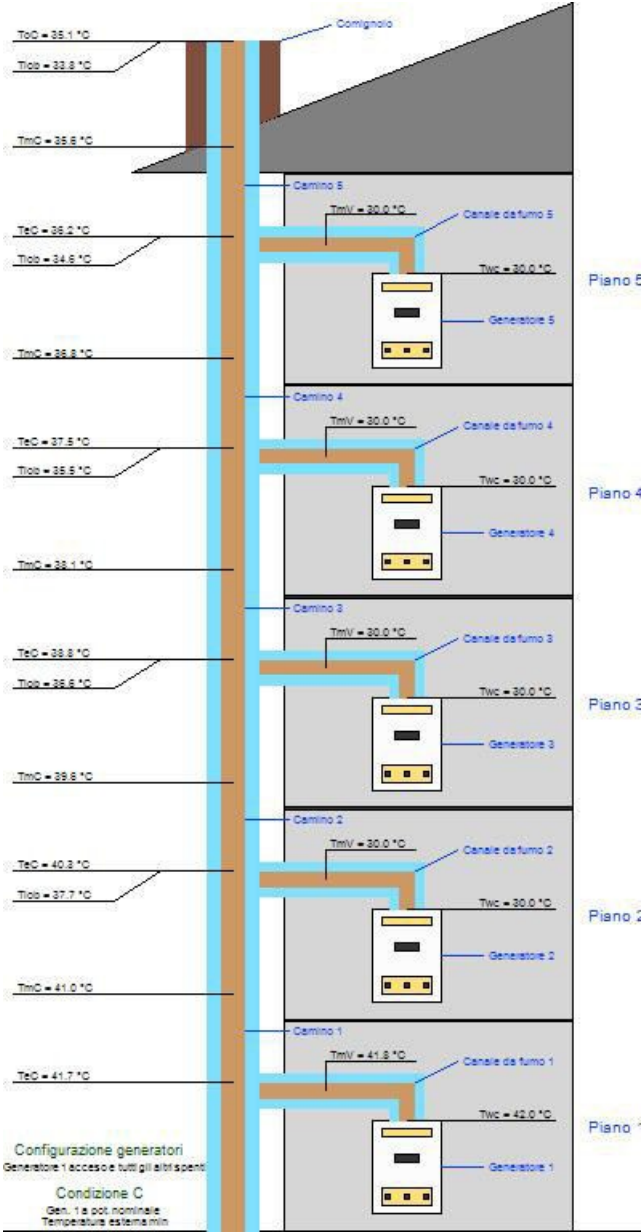
Temperature condizione A (Potenza nominale, Temperatura esterna massima)



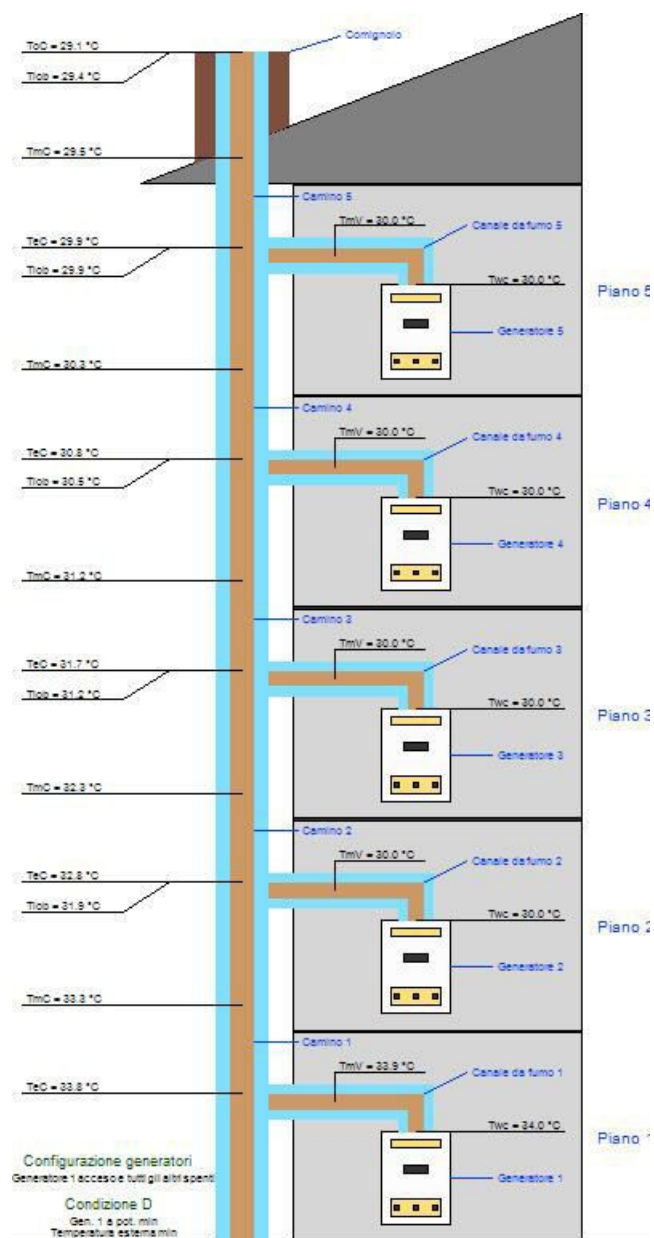
Temperature condizione B (Potenza minima, Temperatura esterna massima)



Temperature condizione C (Potenza nominale, Temperatura esterna minima)

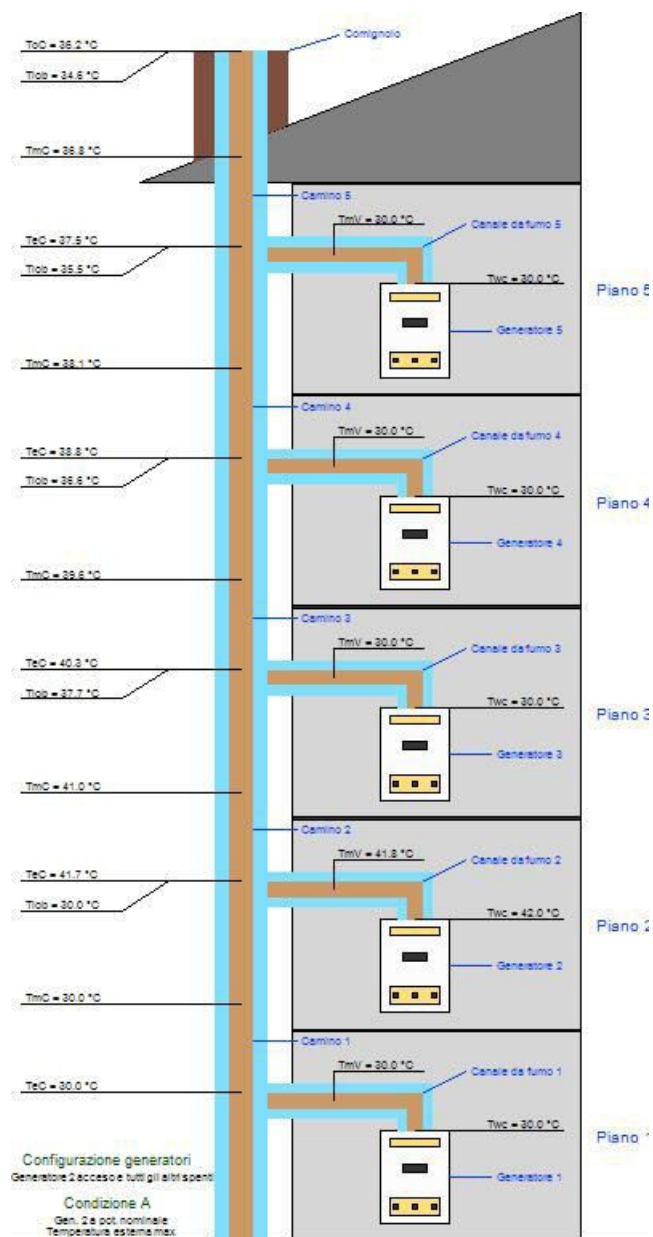


Temperature condizione D (Potenza minima, Temperatura esterna minima)

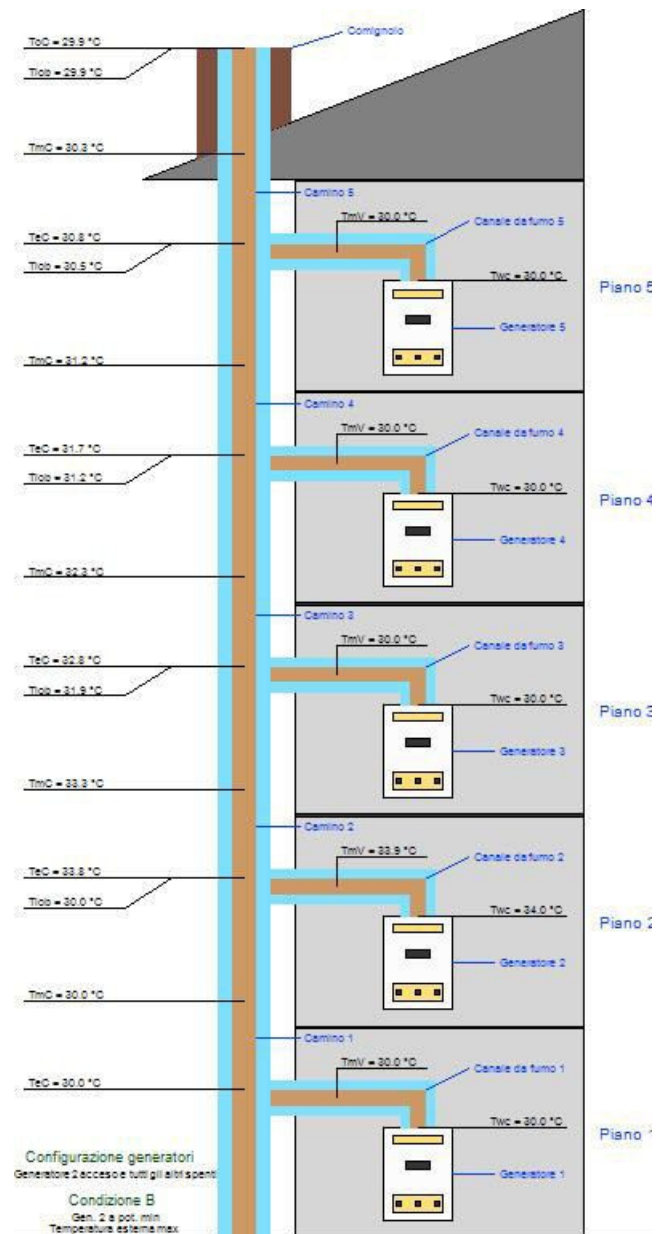


Generatore 2 acceso e tutti gli altri spenti

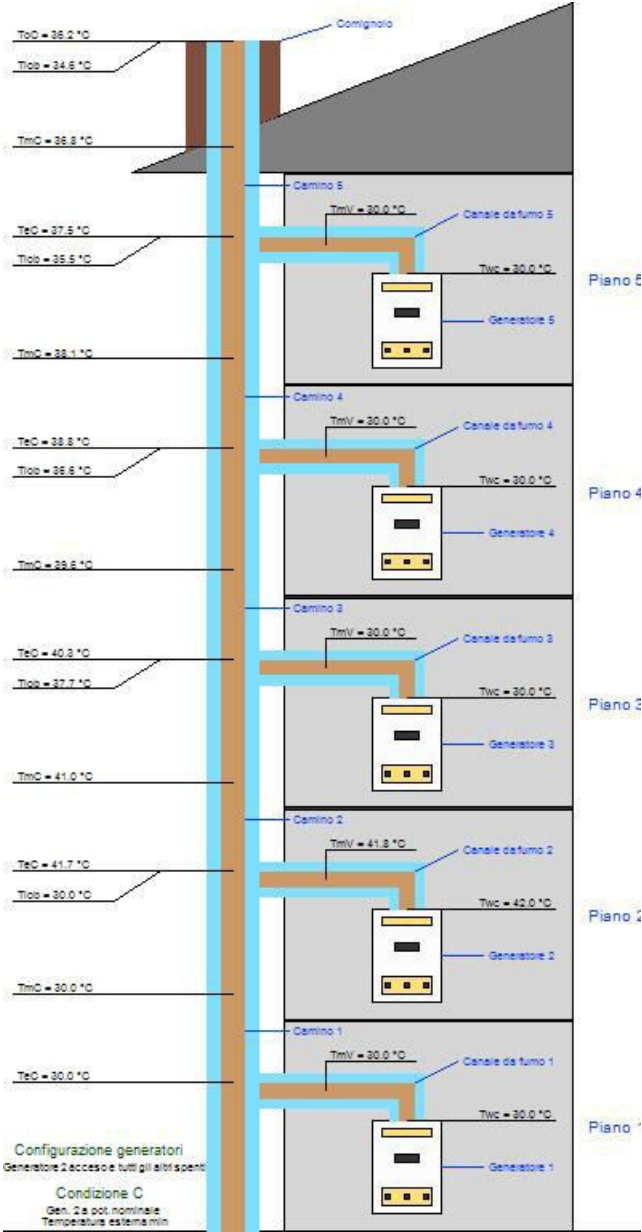
Temperature condizione A (Potenza nominale, Temperatura esterna massima)



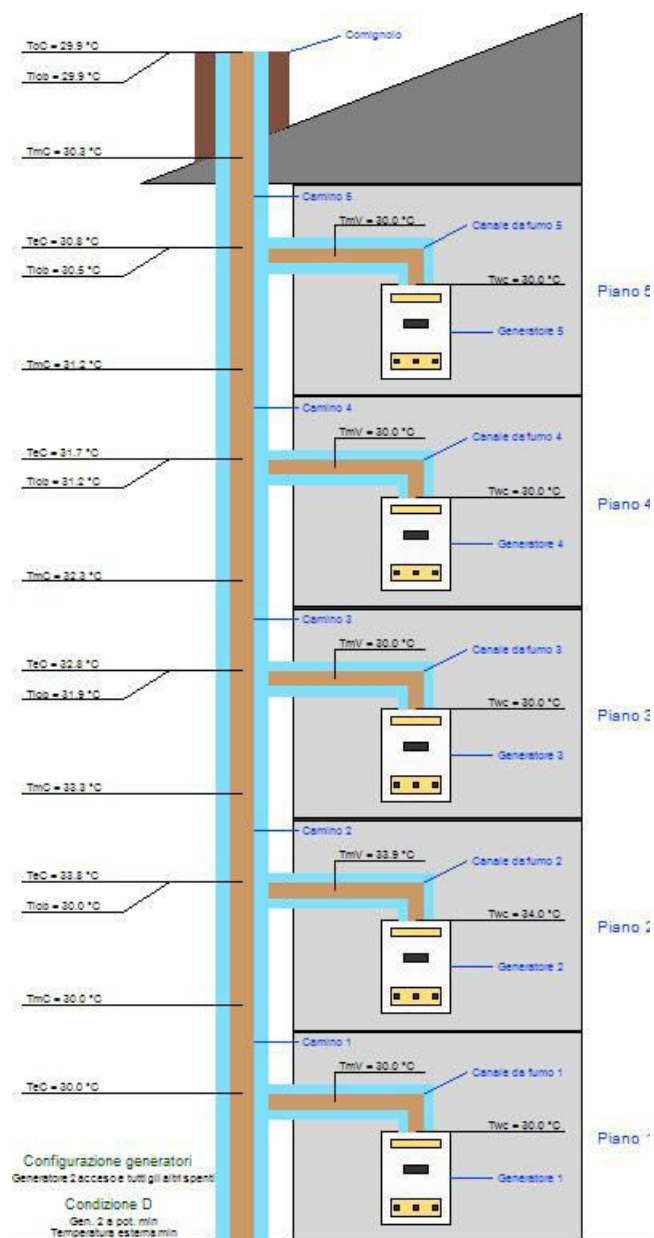
Temperature condizione B (Potenza minima, Temperatura esterna massima)



Temperature condizione C (Potenza nominale, Temperatura esterna minima)

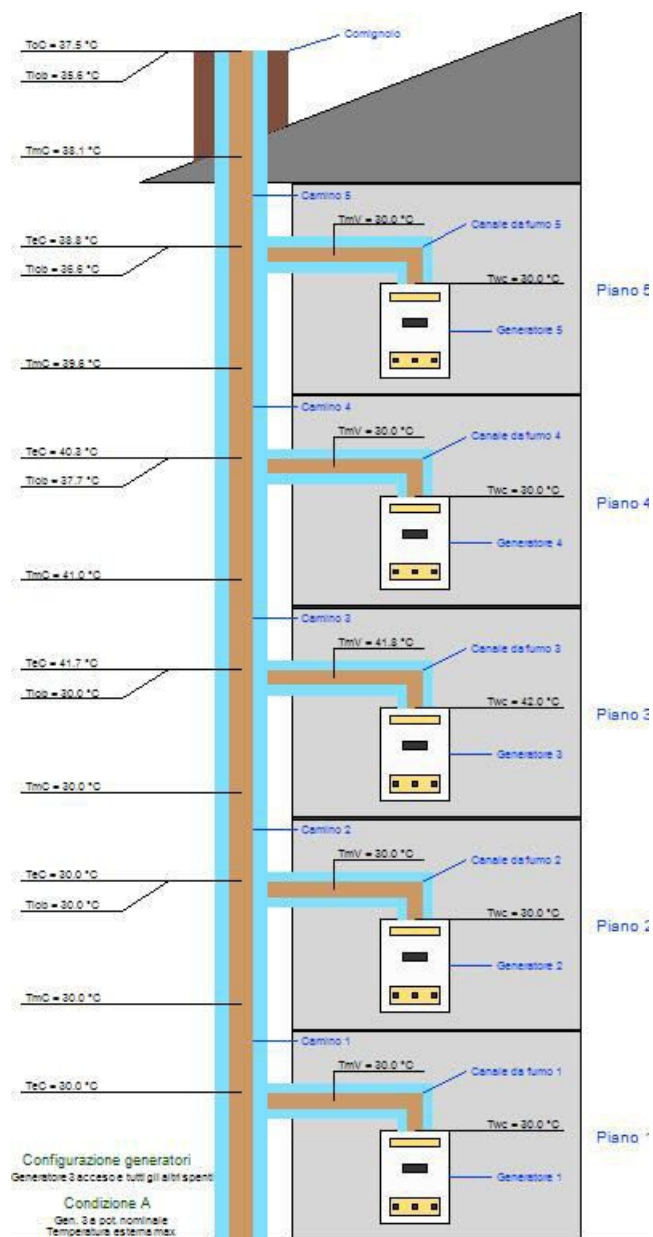


Temperature condizione D (Potenza minima, Temperatura esterna minima)

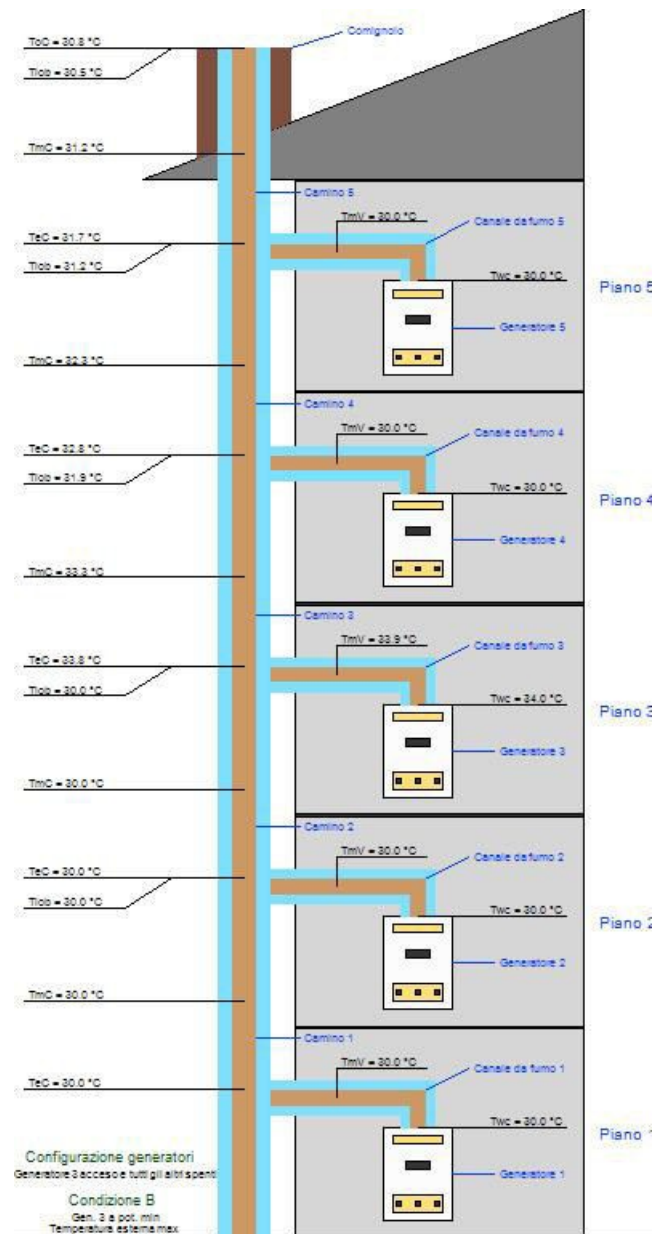


Generatore 3 acceso e tutti gli altri spenti

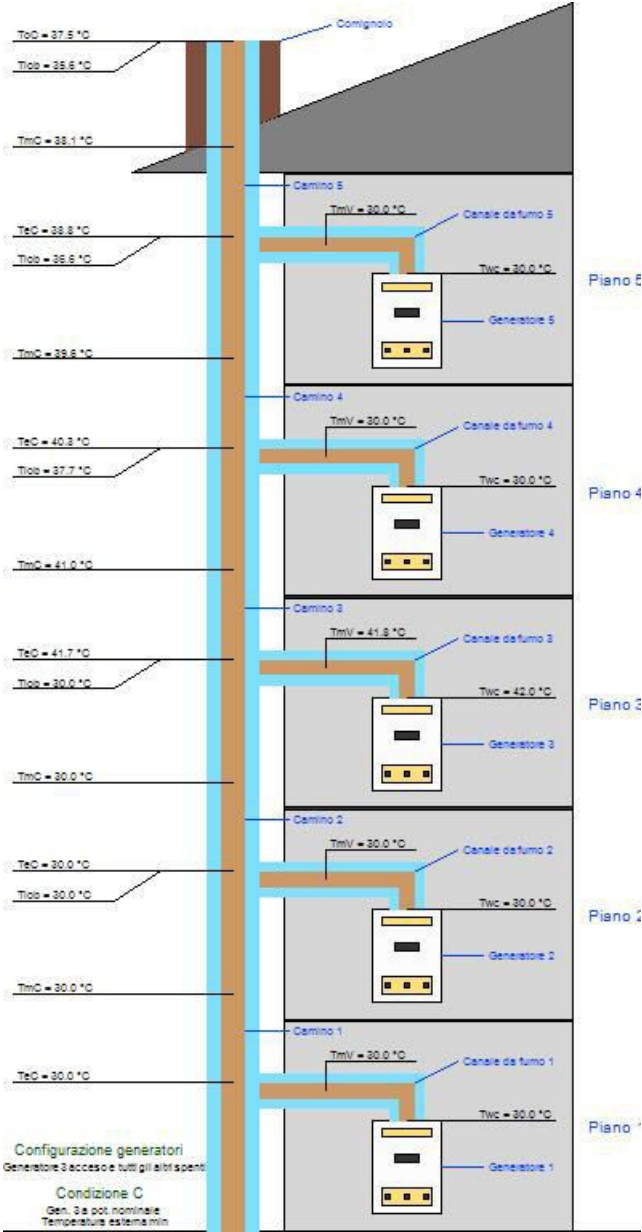
Temperature condizione A (Potenza nominale, Temperatura esterna massima)



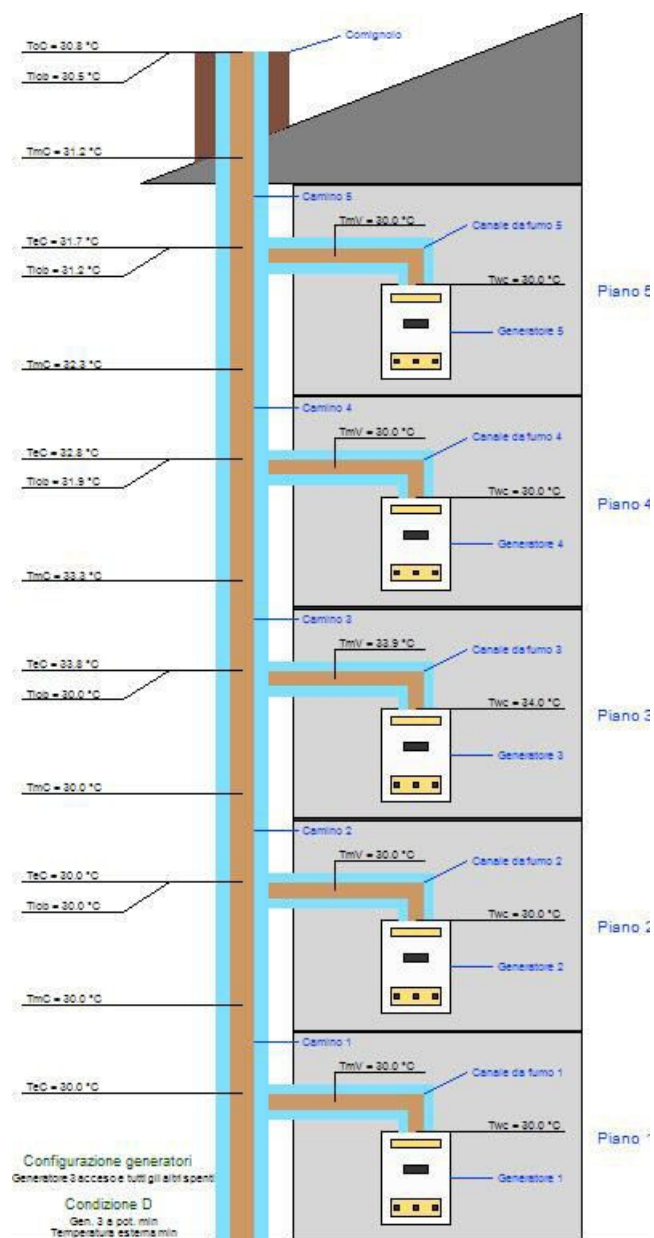
Temperature condizione B (Potenza minima, Temperatura esterna massima)



Temperature condizione C (Potenza nominale, Temperatura esterna minima)

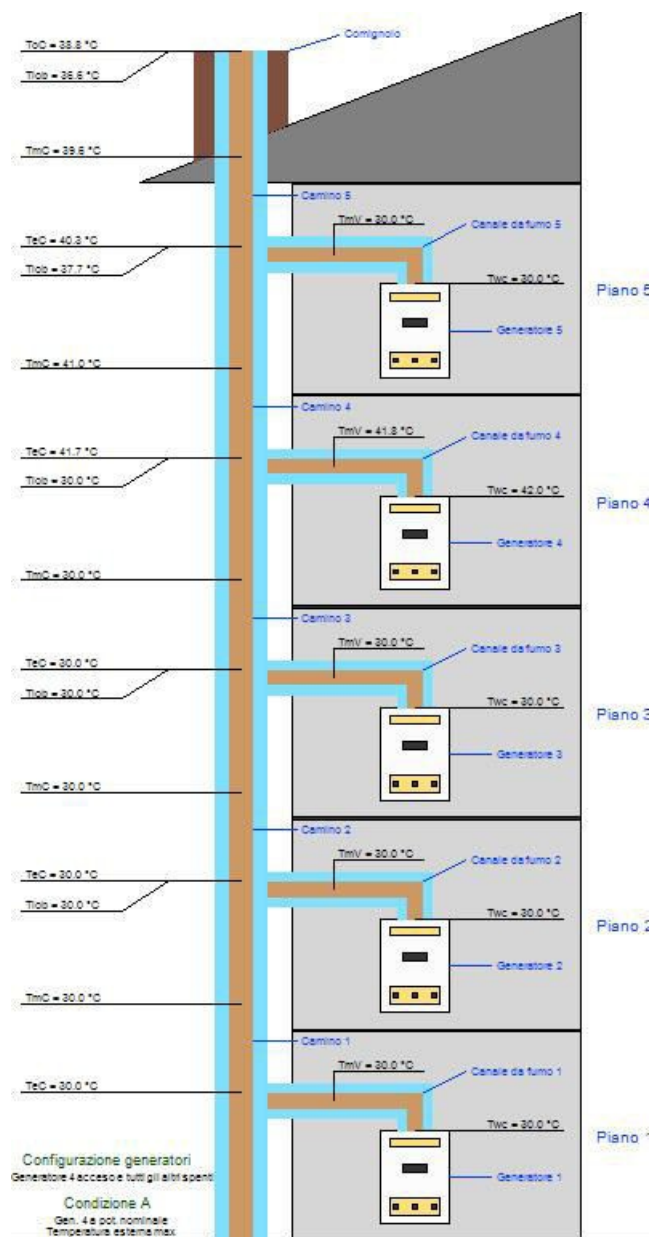


Temperature condizione D (Potenza minima, Temperatura esterna minima)

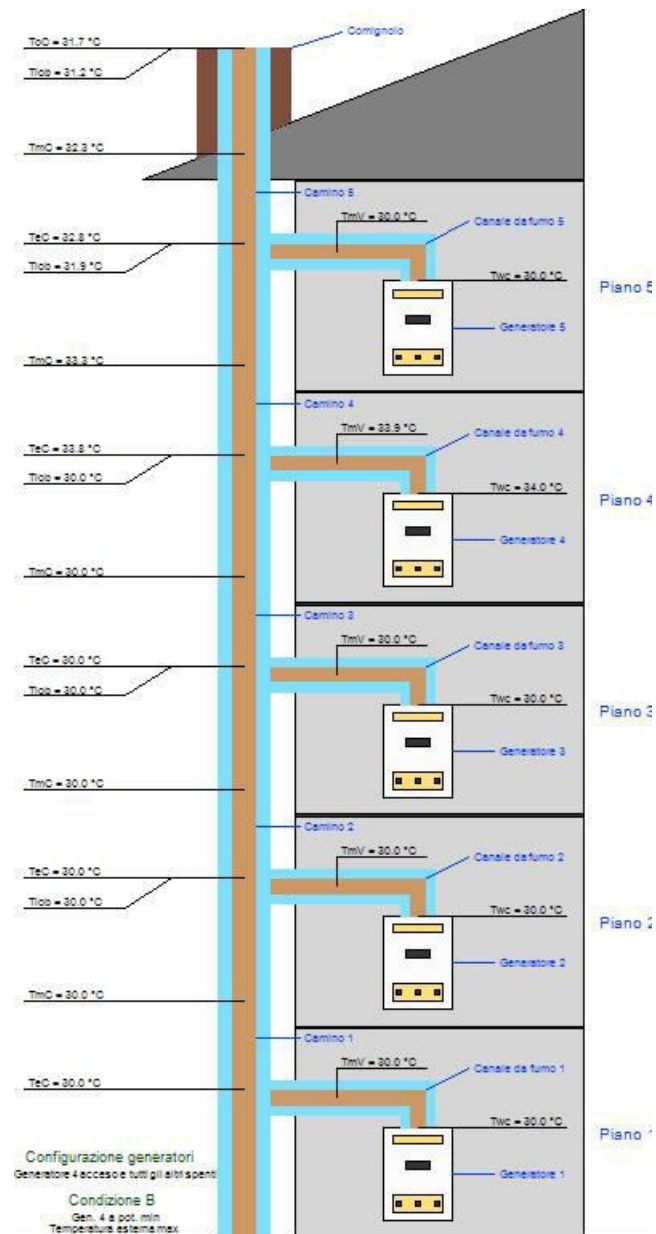


Generatore 4 acceso e tutti gli altri spenti

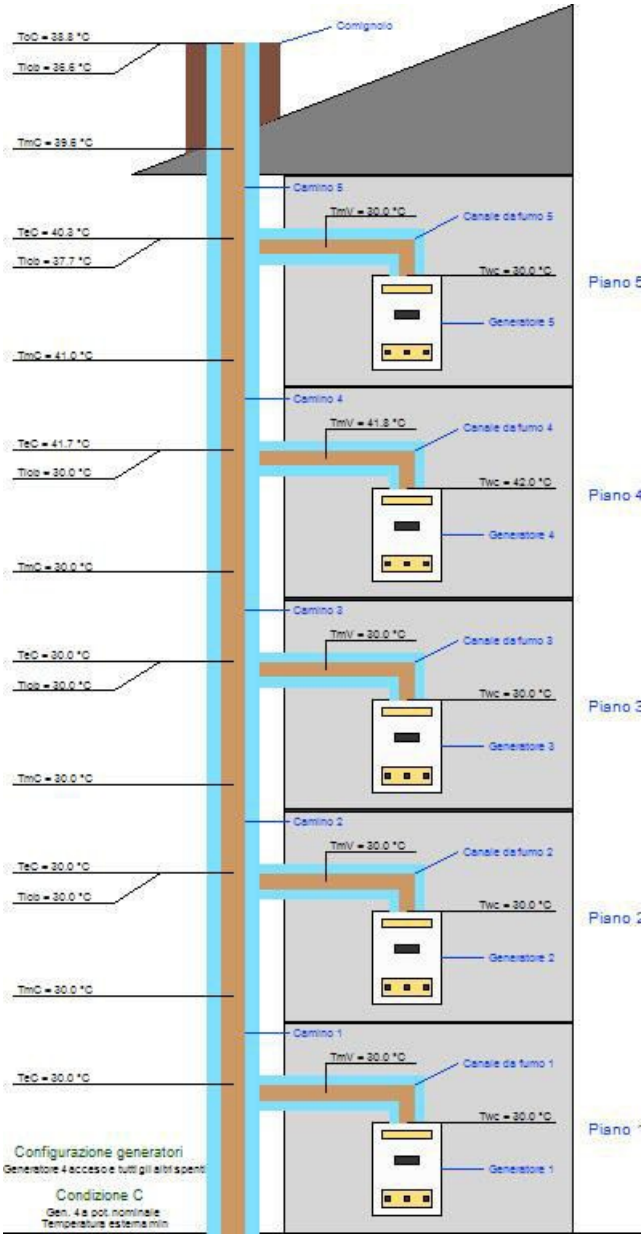
Temperature condizione A (Potenza nominale, Temperatura esterna massima)



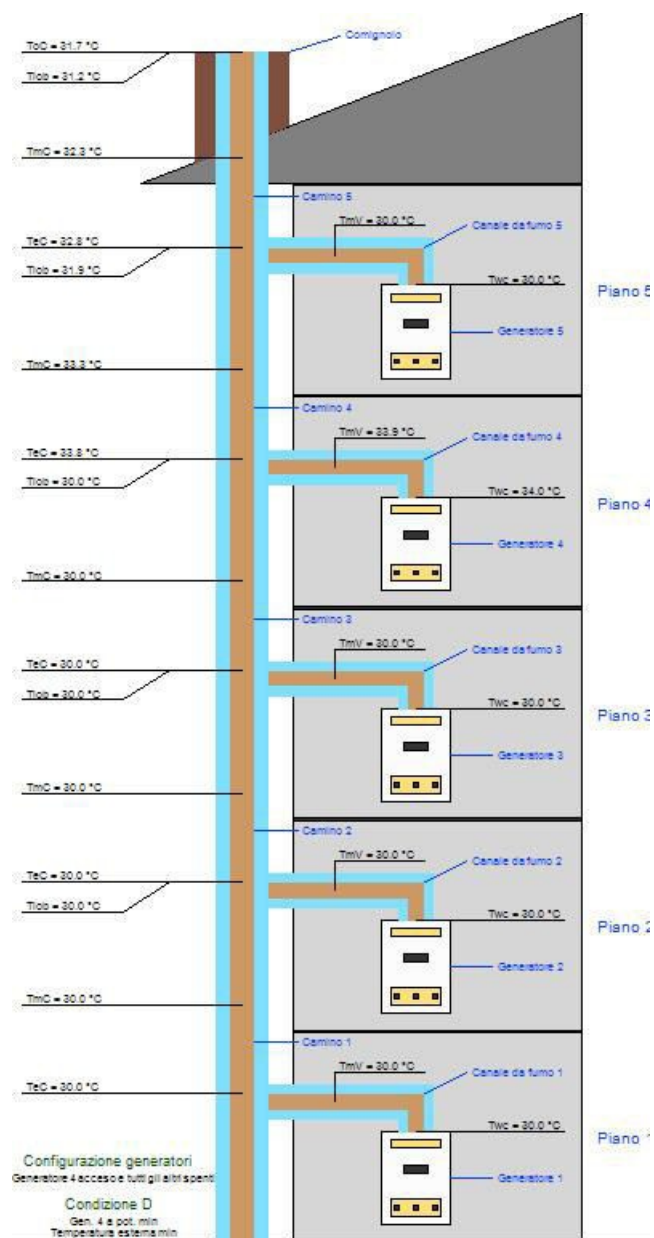
Temperature condizione B (Potenza minima, Temperatura esterna massima)



Temperature condizione C (Potenza nominale, Temperatura esterna minima)

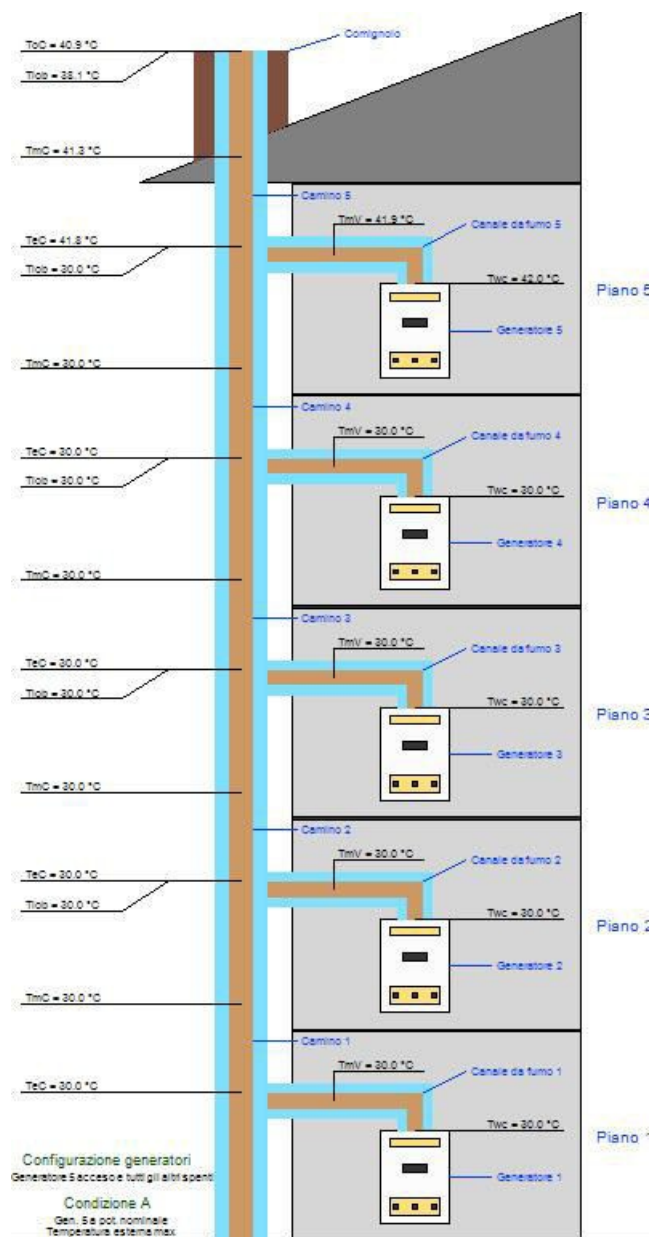


Temperature condizione D (Potenza minima, Temperatura esterna minima)

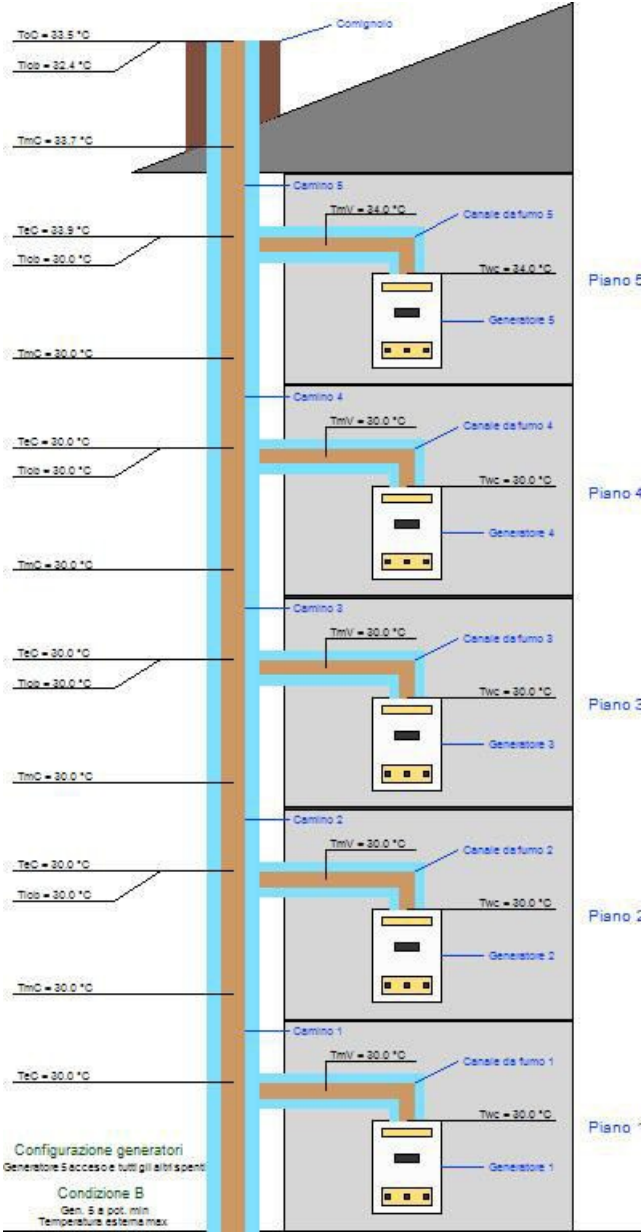


Generatore 5 acceso e tutti gli altri spenti

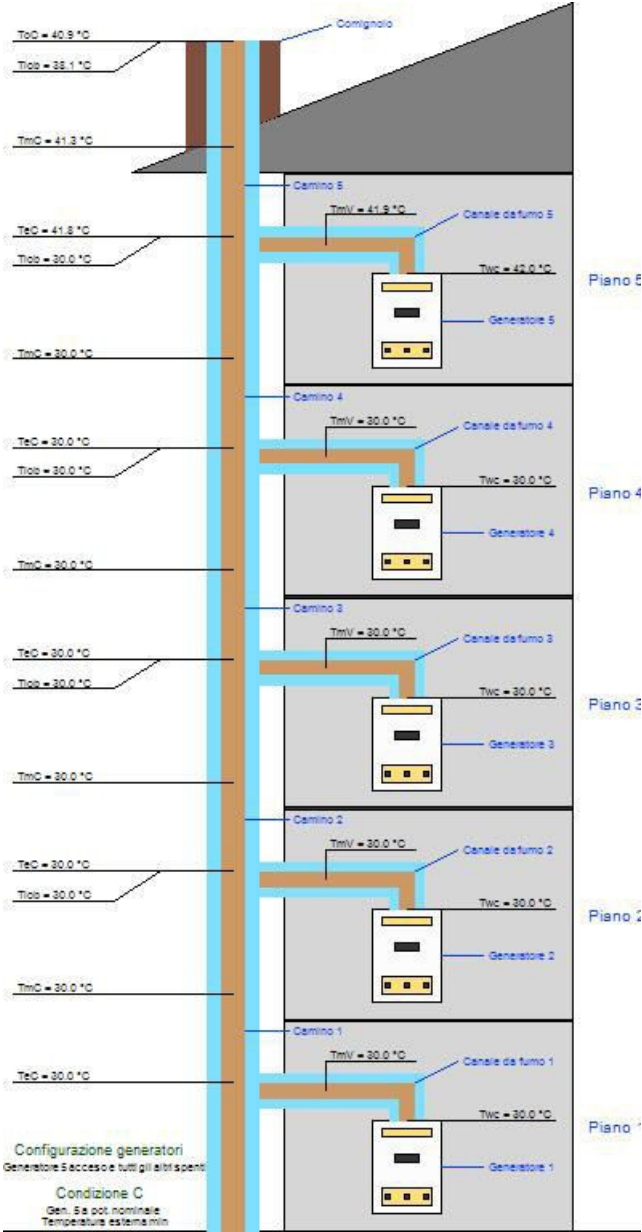
Temperature condizione A (Potenza nominale, Temperatura esterna massima)



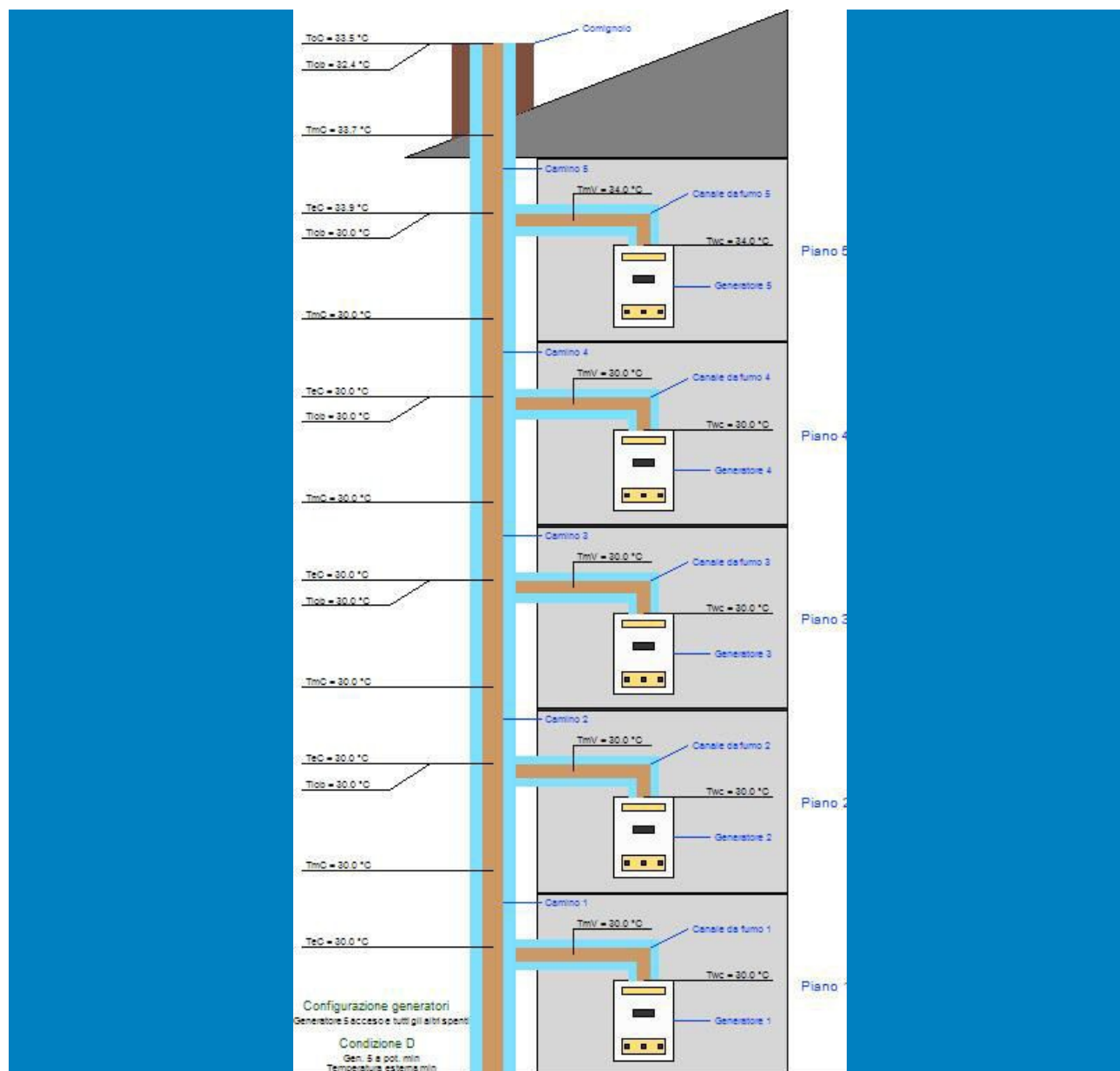
Temperature condizione B (Potenza minima, Temperatura esterna massima)



Temperature condizione C (Potenza nominale, Temperatura esterna minima)



Temperature condizione D (Potenza minima, Temperatura esterna minima)



ALLEGATI

Allegato 1: corografia

Allegato 2: piante, prospetti e sezioni

Allegato 3: documentazione fotografica

INDICE

DATI GENERALI	2
Committente	2
Tecnico	2
Edificio	2
PREMESSA	3
Normativa di riferimento e inquadramento dell'intervento	3
DIMENSIONAMENTO DELL'IMPIANTO	5
Descrizione dell'intervento	5
Configurazione	5
Dati generali	6
Generatore 1	7
Generatore 2	8
Generatore 3	9
Generatore 4	10
Generatore 5	11
Canale da fumo 1	12
Elementi di resistenza al flusso	12
Strati del condotto (dall'interno verso l'esterno)	13
Canale da fumo 2	14
Elementi di resistenza al flusso	14
Strati del condotto (dall'interno verso l'esterno)	14
Canale da fumo 3	16
Elementi di resistenza al flusso	16
Strati del condotto (dall'interno verso l'esterno)	16
Canale da fumo 4	18
Elementi di resistenza al flusso	18
Strati del condotto (dall'interno verso l'esterno)	18
Canale da fumo 5	20
Elementi di resistenza al flusso	20
Strati del condotto (dall'interno verso l'esterno)	20
Canale adduzione aria 1	22
Elementi di resistenza al flusso	22
Strati del condotto (dall'interno verso l'esterno)	22
Canale adduzione aria 2	24
Elementi di resistenza al flusso	24
Strati del condotto (dall'interno verso l'esterno)	24
Canale adduzione aria 3	26
Elementi di resistenza al flusso	26
Strati del condotto (dall'interno verso l'esterno)	26
Canale adduzione aria 4	28
Elementi di resistenza al flusso	28
Strati del condotto (dall'interno verso l'esterno)	28
Canale adduzione aria 5	30
Elementi di resistenza al flusso	30
Strati del condotto (dall'interno verso l'esterno)	30
Camino 1	32
Strati del condotto (dall'interno verso l'esterno)	32
Camino 2	33
Strati del condotto (dall'interno verso l'esterno)	33
Camino 3	34
Strati del condotto (dall'interno verso l'esterno)	34
Camino 4	35
Strati del condotto (dall'interno verso l'esterno)	35
Camino 5	36
Strati del condotto (dall'interno verso l'esterno)	36
Condotto adduzione aria 1	37
Strati del condotto (dall'interno verso l'esterno)	37

Condotto adduzione aria 2	38
Strati del condotto (dall'interno verso l'esterno)	38
Condotto adduzione aria 3	39
Strati del condotto (dall'interno verso l'esterno)	39
Condotto adduzione aria 4	40
Strati del condotto (dall'interno verso l'esterno)	40
Condotto adduzione aria 5	41
Strati del condotto (dall'interno verso l'esterno)	41
Comignolo	42
RISULTATI DI CALCOLO	43
Verifiche	43
Tutti i generatori accesi	43
Generatore 1 acceso e tutti gli altri spenti	48
Generatore 2 acceso e tutti gli altri spenti	53
Generatore 3 acceso e tutti gli altri spenti	58
Generatore 4 acceso e tutti gli altri spenti	63
Generatore 5 acceso e tutti gli altri spenti	68
Risultati	74
Condizioni di funzionamento	74
Tutti i generatori accesi	74
Generatore 1 acceso e tutti gli altri spenti	92
Generatore 2 acceso e tutti gli altri spenti	110
Generatore 3 acceso e tutti gli altri spenti	128
Generatore 4 acceso e tutti gli altri spenti	146
Generatore 5 acceso e tutti gli altri spenti	164
Riepilogo temperature	182
Tutti i generatori accesi	182
Generatore 1 acceso e tutti gli altri spenti	186
Generatore 2 acceso e tutti gli altri spenti	190
Generatore 3 acceso e tutti gli altri spenti	194
Generatore 4 acceso e tutti gli altri spenti	198
Generatore 5 acceso e tutti gli altri spenti	202
ALLEGATI	205
INDICE	207

Il Tecnico

